

6. 安全上重要な建物・構築物の耐震安全性評価

【目 次】

6.1. 評価方針	6-1
6.2. 原子炉建屋の耐震安全性評価	6-2
6.2.1. 地震応答解析	6-2
6.2.1.1. 原子炉建屋の概要	6-2
6.2.1.2. 地震応答解析モデル	6-6
6.2.1.3. 地震応答解析結果	6-27
6.2.1.4. 接地率	6-42
6.2.1.5. 接地圧	6-43
6.2.2. 評価基準	6-46
6.2.3. 耐震安全性評価結果	6-47
6.2.3.1. 耐震壁	6-47
6.2.3.2. 局所的に発生する応答の影響	6-58
6.3. タービン建屋の耐震安全性評価	6-66
6.3.1. 地震応答解析	6-66
6.3.1.1. タービン建屋の概要	6-66
6.3.1.2. 地震応答解析モデル	6-71
6.3.1.3. 地震応答解析結果	6-95
6.3.1.4. 接地率	6-110
6.3.1.5. 接地圧	6-111

6.3.2. 評価基準	6—114
6.3.3. 耐震安全性評価結果	6—115
6.4. 排気筒の耐震安全性評価	6—124
6.4.1. 地震応答解析	6—124
6.4.1.1. 排気筒の概要	6—124
6.4.1.2. 地震応答解析モデル	6—127
6.4.1.3. 地震応答解析結果	6—132
6.4.2. 耐震安全性評価結果	6—144
6.4.2.1. 鉄塔部および筒身部	6—144
6.4.2.2. 基礎	6—148
6.4.2.3. 非常用ガス処理系用排気筒	6—150
6.4.2.4. 制震装置（オイルダンパー）	6—155
6.4.2.5. つなぎ材（第一支持点）	6—156
6.5. 原子炉格納容器の耐震安全性評価	6—157
6.5.1. 原子炉格納容器の構造概要	6—157
6.5.2. RCCV の耐震安全性評価	6—159
6.5.2.1. 検討概要	6—159
6.5.2.2. 応力解析	6—161
6.5.2.3. 評価基準	6—168
6.5.2.4. 耐震安全性評価結果	6—172

6.5.3. RCCV 底部の耐震安全性評価	6-179
6.5.3.1. 検討概要	6-179
6.5.3.2. 応力解析	6-181
6.5.3.3. 評価基準	6-186
6.5.3.4. 耐震安全性評価結果	6-188
6.6. 使用済燃料貯蔵プールの耐震安全性評価	6-191
6.6.1. 使用済燃料貯蔵プールの構造概要	6-191
6.6.2. 検討概要	6-194
6.6.3. 応力解析	6-195
6.6.4. 評価基準	6-195
6.6.5. 耐震安全性評価結果	6-197
6.7. コントロール建屋の耐震安全性評価	6-200
6.8. 参考文献	6-201

【添付】

添付 6.1 6号機原子炉建屋の入力地震動に関する検討資料

【参考資料】

参考資料 6.1 原子炉建屋 補助壁の評価について

参考資料 6.2 屋根トラス・排気筒の解析に用いる原子炉建屋の応答波形

参考資料 6.3 原子炉建屋 誘発上下動を考慮した影響検討

6. 安全上重要な建物・構築物の耐震安全性評価

6.1. 評価方針

安全上重要な建物・構築物の耐震安全性評価は、基準地震動 Ss に対する耐震設計上重要な施設の安全機能を保持する観点から実施する。

新耐震指針による S クラスの建物・構築物としては、原子炉建屋があり、これに対しては「遮へい機能」、「耐漏洩機能（気密性）」、「支持機能」および「波及的影響の防止機能」の保持が地震時に要求される。

建物・構築物の評価は原子炉建屋、タービン建屋、排気筒、原子炉格納容器（鉄筋コンクリート部）、使用済燃料貯蔵プール、コントロール建屋を対象とする。

建物・構築物の耐震安全性評価は、基準地震動 Ss を用いた地震応答解析（時刻歴応答解析法）によることとし、建物・構築物や地盤の特性を適切に表現できるモデルを設定した上で行う。

耐震安全性評価は、地震応答解析により得られた耐震壁のせん断ひずみと評価基準値との比較により行う。

局所的な応答による構造物の安全性への影響の評価は、水平地震動と鉛直地震動による地震応答解析結果より評価する。

6.2. 原子炉建屋の耐震安全性評価

6.2.1. 地震応答解析

6.2.1.1. 原子炉建屋の概要

原子炉建屋は、地上4階、地下3階建ての鉄筋コンクリート造を主体とした建物で、屋根部分が鉄骨造（トラス構造）となっている。原子炉建屋の概略平面図および概略断面図を第6.2.1-1図および第6.2.1-2図に、物性値を第6.2.1-1表に示す。

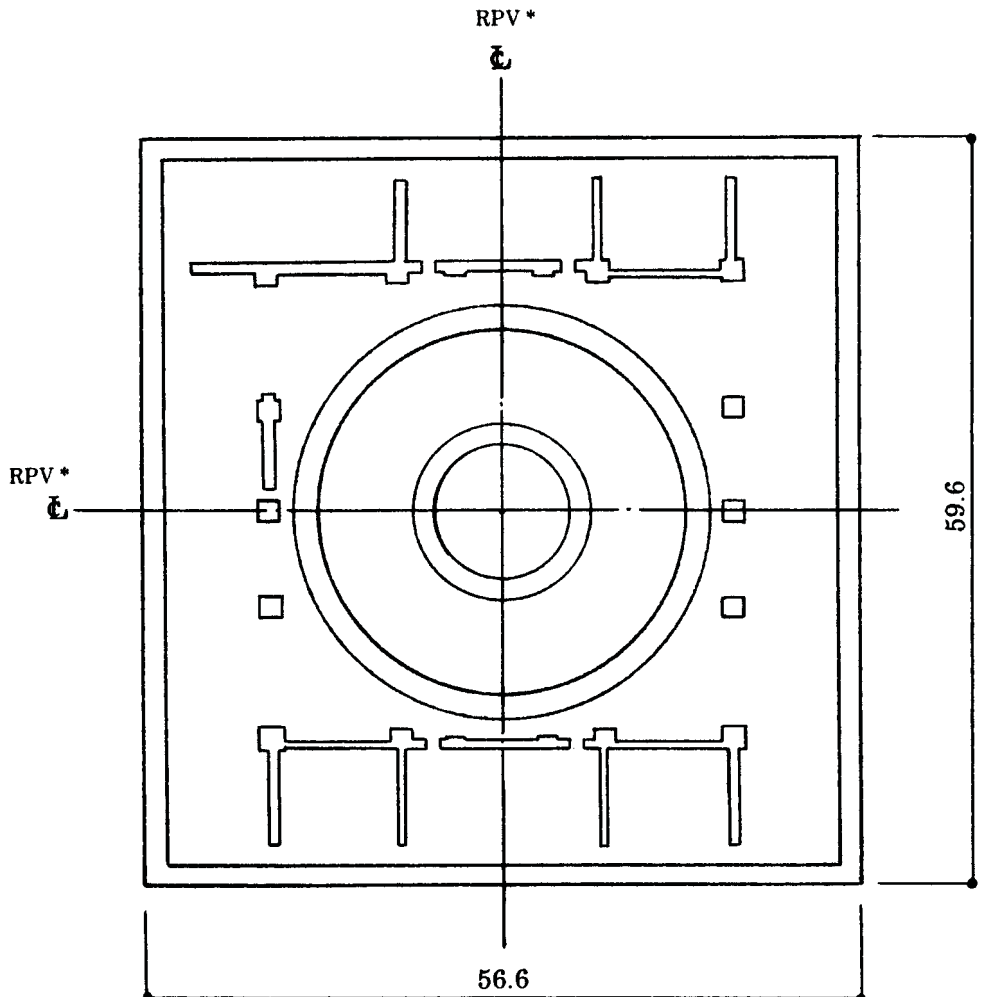
原子炉建屋の平面は、地下部分では $56.6\text{m}^{\ast 1}$ (NS方向) $\times 59.6\text{m}^{\ast 1}$ (EW方向)、最上階は $39.0\text{m}^{\ast 1}$ (NS方向) $\times 59.6\text{m}^{\ast 1}$ (EW方向) である。基礎版底面からの高さは63.4mであり、地上高さは37.7mである。なお、原子炉建屋の屋根部分には排気筒が設置されている。また、原子炉建屋は隣接する他の建屋と構造的に分離している。

原子炉建屋の基礎は厚さ5.5mのべた基礎で、支持地盤である新第三紀層の泥岩上にマンメイドロックを介して設置している。

原子炉建屋の中央部には原子炉圧力容器を収容している鉄筋コンクリート製原子炉格納容器（以下、「RCCV」という）がある。RCCVは円筒形で基礎版上から立ち上がり、床スラブによって原子炉建屋と一体構造になっている。このRCCVの高さは底部上端からトップスラブ部下端まで29.5m、内径は29.0mであり、壁厚は2.0mである。

原子炉建屋の主な耐震壁は、RCCVと外壁である。主要な耐震壁は建屋の中心に対してほぼ対称に配置しており、開口部も少なく、建屋は全体として非常に剛性の高い構造となっている。

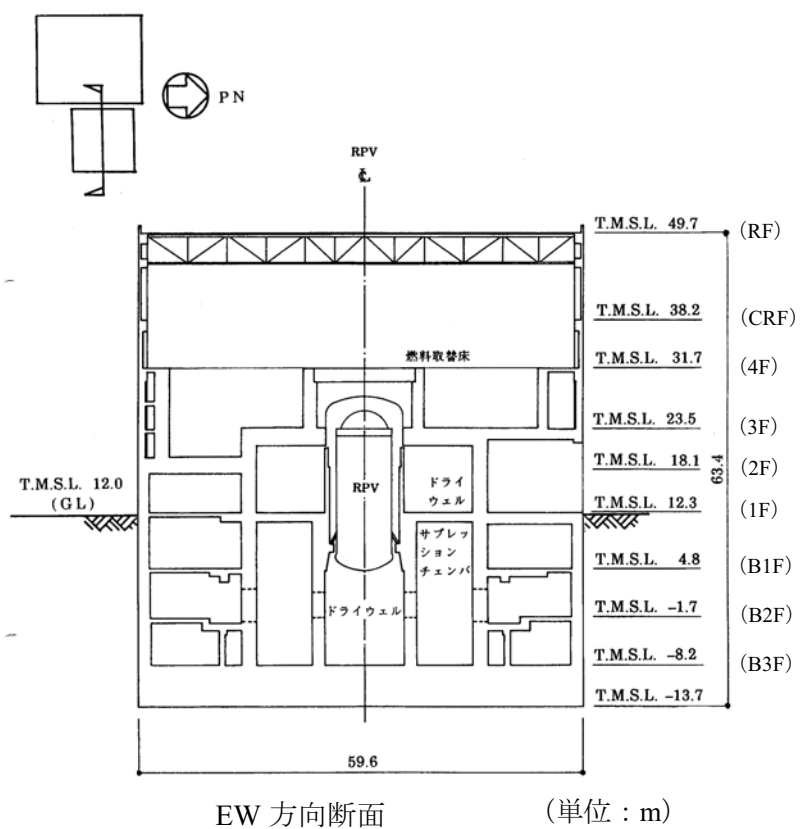
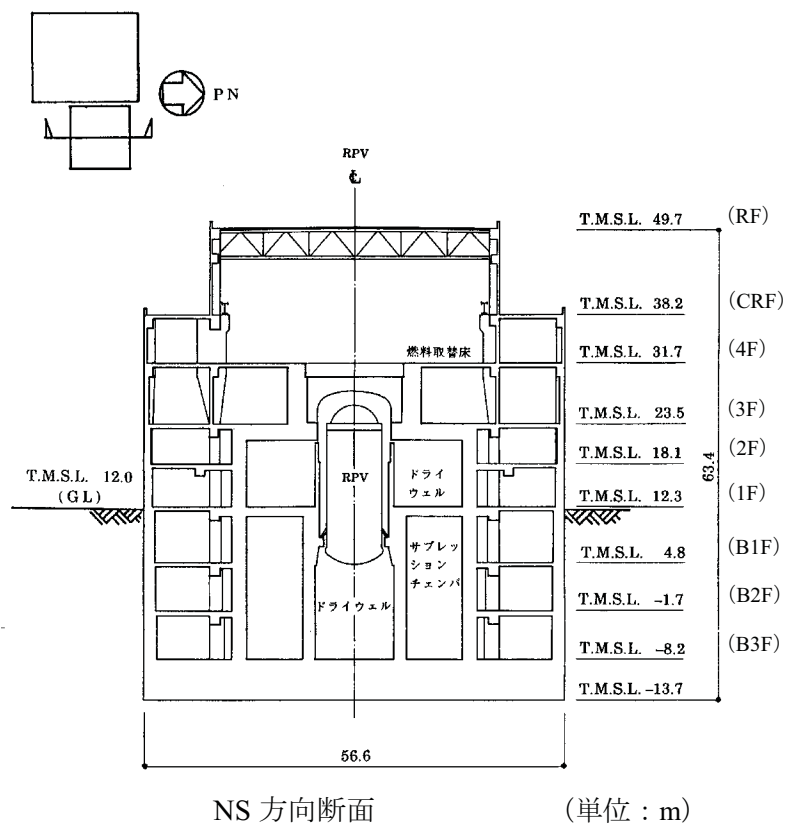
※1 建屋寸法は壁外面押えとする。



(单位 : m)

注記 * : 原子炉圧力容器(以下、「RPV」と略す。)

第 6.2.1-1 図 原子炉建屋の概略平面図



第 6.2.1-2 図 原子炉建屋の概略断面図

第 6.2.1-1 表 原子炉建屋の物性値

コンクリート	コンクリート強度 ^{*1} Fc (N/mm ²)	ヤング係数 E (N/mm ²)	せん断弾性係数 G (N/mm ²)	ボアソン比 ν	単位体積重量 ^{*2} γ (kN/m ³)
	49.0	3.13×10^4	1.31×10^4	0.2	25.0
鉄 筋	SD345 相当 (SD35)				
鋼 材	SS400, SM400A, SM490A 相当 (SS41, SM41A, SM50A)				

*1：実強度に基づくコンクリート強度。

*2：鉄筋コンクリートの値を示す。

6.2.1.2. 地震応答解析モデル

地震応答解析モデルは、次の4項目について設計時に用いた解析モデルから修正を行うこととする。

- ① 設計時にはコンクリートの設計基準強度を基に算定していた鉄筋コンクリートの剛性評価を、コンクリートの実際の平均的な強度を基に算定して見直すこととする。
- ② 設計時には耐震要素として考慮していなかった補助壁について、上下階に応力伝達が可能と考えられる壁を再評価して、新たに耐震要素に取り入れることとする。(参考資料6.1を参照)
- ③ 設計時には、建物と地盤の相互作用を反映するために側面ばねとしてNovak^[1]の水平ばねを考慮していたが、Novakの回転ばねも新たに考慮することとする。(地盤表層部については④の通り)
- ④ 設計時には、地盤表層部も地盤ばねとして考慮していたが、基準地震動Ssによる地盤応答レベルを踏まえ、表層部については地盤一建屋相互作用が見込めないと判断し、この部分のばね評価を行わないとする。

(a) 水平方向の地震応答解析モデル

水平方向の地震応答解析モデルは、地盤との相互作用を考慮し、曲げおよびせん断剛性を考慮した質点系モデルとする。モデル化はNS方向、EW方向それぞれについて行っているが、EW方向においては、プール壁がRCCVの曲げ変形を拘束する影響を考慮して回転ばねを取り付けている。地震応答解析モデルを第6.2.1-3図に、解析モデルの諸元を第6.2.1-2表に示す。

地盤は、地盤調査に基づき水平成層地盤とし、基礎底面地盤ばねについては、「原子力発電所耐震設計技術指針 追補版 JEAG 4601-1991」(以下、

「JEAG 4601-1991」 という) により, 成層補正を行ったのち, 振動アドミッタンス理論に基づいて, スウェイおよびロッキングばね定数を近似法により評価する。基礎底面地盤ばねには, 基礎浮き上がりによる幾何学的非線形性を考慮する。第 6.2.1-4 図に回転ばねの曲げモーメントと回転角の関係を示す。

また, 埋め込み部分の建屋側面地盤ばねについては, 建屋側面位置の地盤定数を用いて, 水平および回転ばねを「JEAG 4601-1991」により Novak ばねに基づいて近似法により評価する。

なお, 第 6.2.1-3 表に地盤調査に基づく地盤定数を, 第 6.2.1-4 表に地震応答解析に用いる地盤のばね定数と減衰係数を示す。

復元力特性は, 建屋の方向別に, 層を単位とした水平断面形状より「JEAG 4601-1991」に基づいて設定する。

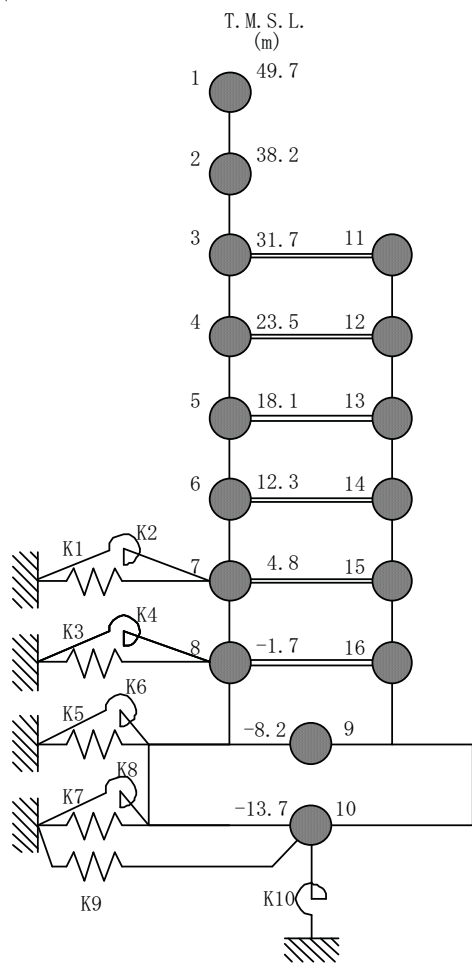
水平方向の地震応答解析は, 上記復元力特性を用いた弾塑性応答解析とする。

入力地震動は, 解放基盤表面レベルに想定する基準地震動 Ss を用いることとする。

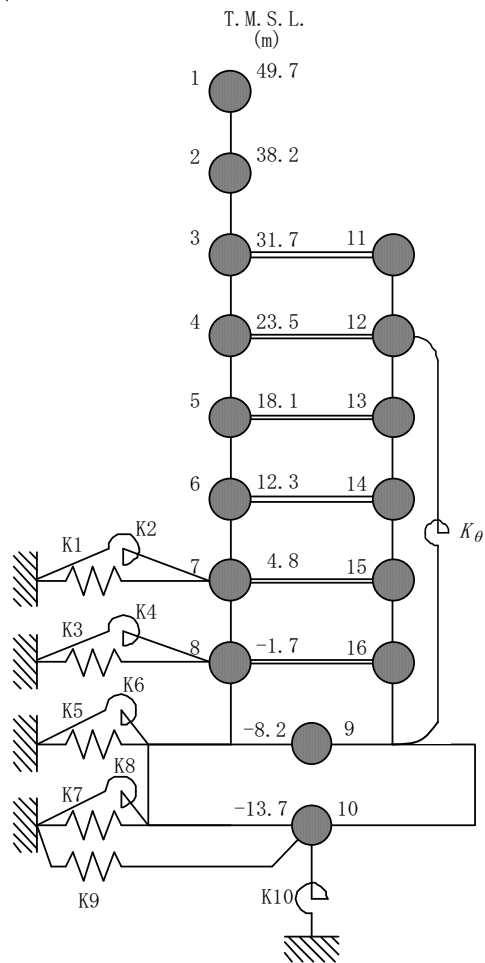
埋め込みを考慮した水平モデルであるため, モデルに入力する地震動は, 一次元波動論に基づき, 解放基盤表面レベルに想定する基準地震動 Ss に対する地盤の応答として評価する。また, 建屋基礎底面レベルにおけるせん断力 (以下, 「切欠き力」という) を入力地震動に付加することにより, 地盤の切欠き効果を考慮する。第 6.2.1-5 図に地震応答解析モデルに入力する地震動の概念図を示す。

なお, 「柏崎刈羽原子力発電所 6 号機新潟県中越沖地震後の設備健全性に係る点検・評価報告書 (建物・構築物編) (改訂 1)」(平成 21 年 2 月 4 日に原子力安全・保安院に提出)において, 床などの柔軟性を考慮した解析および地震観測記録に基づいた解析などによる検討を実施し, 水平方向の地

震応答解析モデルの妥当性について確認しており、耐震安全性の評価に問題が無いと判断している。



NS 方向



EW 方向

第 6.2.1-3 図 地震応答解析モデル（水平方向）

第 6.2.1-2 表(1) 解析モデルの諸元

(NS 方向)

質点番号	質点重量 W (kN)	回転慣性重量 I_G ($\times 10^5 \text{kNm}^2$)	せん断断面積 As (m ²)	断面 2 次モーメント I (m ⁴)	質点番号	質点重量 W (kN)	回転慣性重量 I_G ($\times 10^5 \text{kNm}^2$)	せん断断面積 As (m ²)	断面 2 次モーメント I (m ⁴)
1	39,540	70.7							
2	79,450	403.0	41.0	13,600					
3	86,670	484.3	82.4	50,500					
4	83,020	287.2	183.8	71,400					
5	55,470	199.9	126.5	70,400					
6	82,360	293.2	183.7	87,200					
7	78,650	291.3	180.2	103,000					
8	79,430	293.2	201.8	112,800					
9	339,800	936.5	271.5	119,000					
10	216,920	580.6	3,373.4	900,600					
合計	1,956,740								

①建屋部

ヤング係数 Ec $3.13 \times 10^4 \text{ (N/mm}^2\text{)}$ せん断弾性係数 G $1.31 \times 10^4 \text{ (N/mm}^2\text{)}$

ボアソン比 ν 0.20

減衰定数 h 5%

②基礎スラブ

ヤング係数 Ec $2.90 \times 10^4 \text{ (N/mm}^2\text{)}$ せん断弾性係数 G $1.21 \times 10^4 \text{ (N/mm}^2\text{)}$

ボアソン比 ν 0.20

減衰定数 h 5%

基礎形状 56.6m (NS 方向) × 59.6m (EW 方向)

第 6.2.1-2 表(2) 解析モデルの諸元

(EW 方向)

質点番号	質点重量 W (kN)	回転慣性重量 I _G ($\times 10^5$ kNm ²)	せん断断面積 As (m ²)	断面 2 次モーメント I (m ⁴)	質点番号	質点重量 W (kN)	回転慣性重量 I _G ($\times 10^5$ kNm ²)	せん断断面積 As (m ²)	断面 2 次モーメント I (m ⁴)
1	39,540	147.4							
2	79,450	301.3	54.7	29,900					
3	91,670	303.9	122.6	61,200					
4	67,180	275.6	166.9	89,400					
5	52,160	220.6	139.1	82,600					
6	81,290	330.4	153.8	96,200					
7	77,080	317.7	197.0	111,700					
8	77,960	320.7	215.7	124,000					
9	339,800	1030.7	280.2	131,000					
10	216,920	647.2	3,373.4	998,600					
合計	1,956,740								

①建屋部

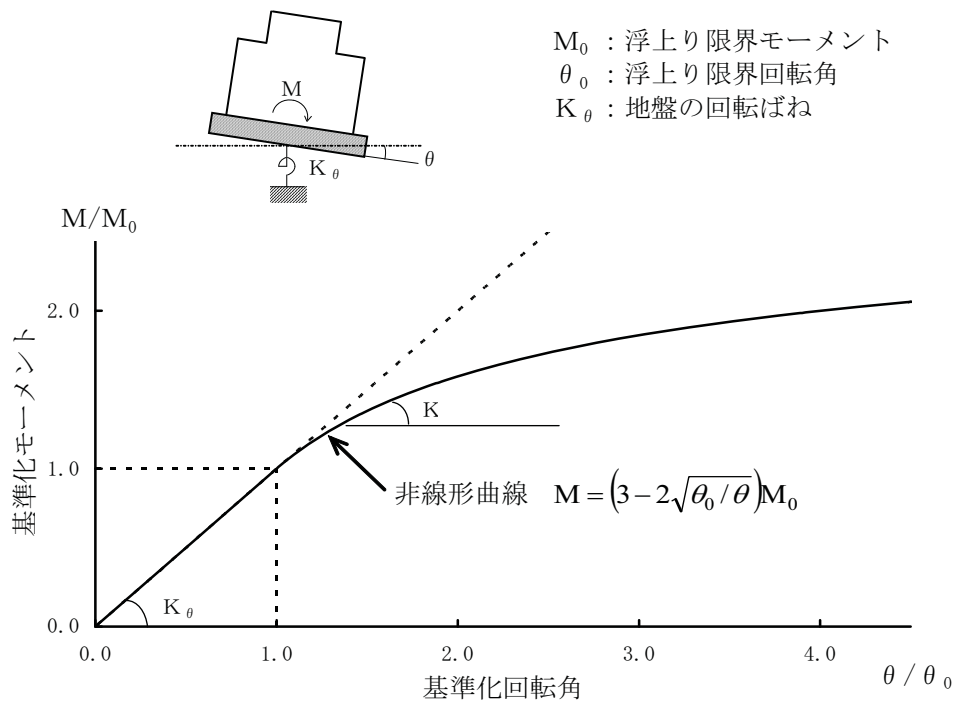
ヤング係数 E_c 3.13×10^4 (N/mm²)
 せん断弾性係数 G 1.31×10^4 (N/mm²)
 ポアソン比 ν 0.20
 減衰定数 h 5%

②基礎スラブ

ヤング係数 E_c 2.90×10^4 (N/mm²)
 せん断弾性係数 G 1.21×10^4 (N/mm²)
 ポアソン比 ν 0.20
 減衰定数 h 5%

基礎形状 56.6m (NS 方向) × 59.6m (EW 方向)

回転ばね K_θ 2.32×10^{10} (kNm/rad)



第 6.2.1-4 図 回転ばねの曲げモーメントと回転角の関係

第 6.2.1-3 表(3) 地盤定数

(Ss-3)

標高 T. M. S. L (m)	地層	せん断波 速度 Vs (m/s)	単位体積 重量 γ (kN/m ³)	ボアン比 ν	せん断 弾性係数 G ($\times 10^2$ N/mm ²)	初期せん断 弾性係数 G_0 ($\times 10^2$ N/mm ²)	剛性 低下率 G/G_0	ヤング 係数 E ($\times 10^2$ N/mm ²)	減衰 定数 h (%)	層厚 H (m)
+12.0	[砂層]	150	16.1	0.347	0.12	0.37	0.33	0.33	21	4.0
+8.0		200	16.1	0.308	0.11	0.66	0.16	0.27	27	4.0
+4.0		330	17.3	0.462	1.05	1.92	0.55	3.07	6	10.0
-6.0	西山層	490	17.0	0.451	3.86	4.16	0.93	11.20	3	27.0
-33.0		530	16.6	0.446	4.03	4.75	0.85	11.65	3	57.0
-90.0		590	17.3	0.432	5.15	6.14	0.84	14.75	3	46.0
-136.0		650	19.3	0.424	7.23	8.32	0.87	20.59	3	19.0
-155.0		720	19.9	0.416	10.50	10.50	1.00	29.74	-	-

第 6.2.1-3 表(4) 地盤定数

(Ss-4)

標高 T. M. S. L (m)	地層	せん断波 速度 Vs (m/s)	単位体積 重量 γ (kN/m ³)	ボアン比 ν	せん断 弾性係数 G ($\times 10^2$ N/mm ²)	初期せん断 弾性係数 G_0 ($\times 10^2$ N/mm ²)	剛性 低下率 G/G_0	ヤング 係数 E ($\times 10^2$ N/mm ²)	減衰 定数 h (%)	層厚 H (m)
+12.0	[砂層]	150	16.1	0.347	0.12	0.37	0.33	0.33	18	4.0
+8.0		200	16.1	0.308	0.11	0.66	0.16	0.27	24	4.0
+4.0		330	17.3	0.462	1.11	1.92	0.58	3.25	4	10.0
-6.0	西山層	490	17.0	0.451	3.95	4.16	0.95	11.46	3	27.0
-33.0		530	16.6	0.446	4.37	4.75	0.92	12.64	3	57.0
-90.0		590	17.3	0.432	5.64	6.14	0.92	16.15	3	46.0
-136.0		650	19.3	0.424	7.82	8.32	0.94	22.27	3	19.0
-155.0		720	19.9	0.416	10.50	10.50	1.00	29.74	-	-

第 6.2.1-3 表(5) 地盤定数

(Ss-5)

標高 T. M. S. L (m)	地層	せん断波 速度 Vs (m/s)	単位体積 重量 γ (kN/m ³)	ボアン比 ν	せん断 弾性係数 G ($\times 10^2$ N/mm ²)	初期せん断 弾性係数 G_0 ($\times 10^2$ N/mm ²)	剛性 低下率 G/G_0	ヤング 係数 E ($\times 10^2$ N/mm ²)	減衰 定数 h (%)	層厚 H (m)
+12.0	[砂層]	150	16.1	0.347	0.11	0.37	0.31	0.31	16	4.0
+8.0		200	16.1	0.308	0.11	0.66	0.16	0.27	22	4.0
+4.0		330	17.3	0.462	1.07	1.92	0.56	3.13	4	10.0
-6.0	西山層	490	17.0	0.451	3.91	4.16	0.94	11.35	3	27.0
-33.0		530	16.6	0.446	4.32	4.75	0.91	12.49	3	57.0
-90.0		590	17.3	0.432	5.46	6.14	0.89	15.64	3	46.0
-136.0		650	19.3	0.424	7.48	8.32	0.90	21.30	3	19.0
-155.0		720	19.9	0.416	10.50	10.50	1.00	29.74	-	-

第 6.2.1-4 表(1) 地震応答解析に用いる基礎地盤のばね定数と減衰係数

(NS 方向, Ss-1)

ばね番号	質点番号	地盤ばね成分	ばね		減衰	
			ばね定数 ^{(*)1} K _c	採用振動数 (Hz)	減衰係数 ^{(*)2} C _c	採用振動数 ^{(*)3} f ₁ (Hz)
K1	7	側面・並進	1.07×10^6	0.60	4.25×10^5	2.30
K2	7	側面・回転	8.33×10^8	0.01	1.05×10^8	2.30
K3	8	側面・並進	2.85×10^6	0.60	1.13×10^6	2.30
K4	8	側面・回転	2.21×10^8	0.01	2.80×10^8	2.30
K5	9	側面・並進	8.53×10^6	1.17	1.73×10^6	2.30
K6	9	側面・回転	6.73×10^8	0.01	3.99×10^8	2.30
K7	10	側面・並進	4.52×10^6	1.26	8.61×10^5	2.30
K8	10	側面・回転	3.54×10^8	0.01	1.96×10^8	2.30
K9	10	底面・並進	7.28×10^7	0.00	2.84×10^6	2.30
K10	10	底面・回転	7.06×10^{10}	0.00	6.15×10^8	2.30

(*1) K1, K3, K5, K7, K9 は kN/m K2, K4, K6, K8, K10 は kNm/rad

(*2) K1, K3, K5, K7, K9 は kNs/m K2, K4, K6, K8, K10 は kNsm/rad

(*3) f₁ は連成系の 1 次固有振動数

(EW 方向, Ss-1)

ばね番号	質点番号	地盤ばね成分	ばね		減衰	
			ばね定数 ^{(*)1} K _c	採用振動数 (Hz)	減衰係数 ^{(*)2} C _c	採用振動数 ^{(*)3} f ₁ (Hz)
K1	7	側面・並進	1.07×10^6	0.60	4.26×10^5	2.35
K2	7	側面・回転	8.33×10^8	0.01	1.06×10^8	2.35
K3	8	側面・並進	2.85×10^6	0.60	1.13×10^6	2.35
K4	8	側面・回転	2.21×10^8	0.01	2.81×10^8	2.35
K5	9	側面・並進	8.53×10^6	1.17	1.73×10^6	2.35
K6	9	側面・回転	6.73×10^8	0.01	4.01×10^8	2.35
K7	10	側面・並進	4.52×10^6	1.26	8.61×10^5	2.35
K8	10	側面・回転	3.54×10^8	0.01	1.98×10^8	2.35
K9	10	底面・並進	7.25×10^7	0.00	2.82×10^6	2.35
K10	10	底面・回転	7.60×10^{10}	0.00	7.17×10^8	2.35

(*1) K1, K3, K5, K7, K9 は kN/m K2, K4, K6, K8, K10 は kNm/rad

(*2) K1, K3, K5, K7, K9 は kNs/m K2, K4, K6, K8, K10 は kNsm/rad

(*3) f₁ は連成系の 1 次固有振動数

第 6.2.1-4 表(2) 地震応答解析に用いる基礎地盤のばね定数と減衰係数

(NS 方向, Ss-2)

ばね番号	質点番号	地盤ばね成分	ばね		減衰	
			ばね定数 ^{(*)1} K _c	採用振動数 (Hz)	減衰係数 ^{(*)2} C _c	採用振動数 ^{(*)3} f ₁ (Hz)
K1	7	側面・並進	1.04×10^6	0.59	4.19×10^5	2.30
K2	7	側面・回転	8.05×10^8	0.01	1.04×10^8	2.30
K3	8	側面・並進	2.75×10^6	0.59	1.11×10^6	2.30
K4	8	側面・回転	2.14×10^8	0.01	2.76×10^8	2.30
K5	9	側面・並進	8.51×10^6	1.17	1.73×10^6	2.30
K6	9	側面・回転	6.72×10^8	0.01	3.98×10^8	2.30
K7	10	側面・並進	4.52×10^6	1.26	8.61×10^5	2.30
K8	10	側面・回転	3.54×10^8	0.01	1.96×10^8	2.30
K9	10	底面・並進	7.34×10^7	0.00	2.85×10^6	2.30
K10	10	底面・回転	7.15×10^{10}	0.00	6.13×10^8	2.30

(*1) K1, K3, K5, K7, K9 は kN/m K2, K4, K6, K8, K10 は kNm/rad

(*2) K1, K3, K5, K7, K9 は kNs/m K2, K4, K6, K8, K10 は kNsm/rad

(*3) f₁ は連成系の 1 次固有振動数

(EW 方向, Ss-2)

ばね番号	質点番号	地盤ばね成分	ばね		減衰	
			ばね定数 ^{(*)1} K _c	採用振動数 (Hz)	減衰係数 ^{(*)2} C _c	採用振動数 ^{(*)3} f ₁ (Hz)
K1	7	側面・並進	1.04×10^6	0.59	4.20×10^5	2.35
K2	7	側面・回転	8.05×10^8	0.01	1.04×10^8	2.35
K3	8	側面・並進	2.75×10^6	0.59	1.12×10^6	2.35
K4	8	側面・回転	2.14×10^8	0.01	2.77×10^8	2.35
K5	9	側面・並進	8.51×10^6	1.17	1.73×10^6	2.35
K6	9	側面・回転	6.72×10^8	0.01	4.01×10^8	2.35
K7	10	側面・並進	4.52×10^6	1.26	8.61×10^5	2.35
K8	10	側面・回転	3.54×10^8	0.01	1.98×10^8	2.35
K9	10	底面・並進	7.31×10^7	0.00	2.83×10^6	2.35
K10	10	底面・回転	7.70×10^{10}	0.00	7.15×10^8	2.35

(*1) K1, K3, K5, K7, K9 は kN/m K2, K4, K6, K8, K10 は kNm/rad

(*2) K1, K3, K5, K7, K9 は kNs/m K2, K4, K6, K8, K10 は kNsm/rad

(*3) f₁ は連成系の 1 次固有振動数

第 6.2.1-4 表(3) 地震応答解析に用いる基礎地盤のばね定数と減衰係数

(NS 方向, Ss-3)

ばね番号	質点番号	地盤ばね成分	ばね		減衰	
			ばね定数 ^{(*)1} K _c	採用振動数 (Hz)	減衰係数 ^{(*)2} C _c	採用振動数 ^{(*)3} f ₁ (Hz)
K1	7	側面・並進	1.11×10^6	0.61	4.30×10^5	2.28
K2	7	側面・回転	8.61×10^8	0.01	1.07×10^8	2.28
K3	8	側面・並進	2.94×10^6	0.61	1.14×10^6	2.28
K4	8	側面・回転	2.28×10^8	0.01	2.84×10^8	2.28
K5	9	側面・並進	8.62×10^6	1.18	1.74×10^6	2.28
K6	9	側面・回転	6.79×10^8	0.01	3.99×10^8	2.28
K7	10	側面・並進	4.56×10^6	1.27	8.65×10^5	2.28
K8	10	側面・回転	3.57×10^8	0.01	1.96×10^8	2.28
K9	10	底面・並進	7.16×10^7	0.00	2.82×10^6	2.28
K10	10	底面・回転	6.89×10^{10}	0.00	6.09×10^8	2.28

(*1) K1, K3, K5, K7, K9 は kN/m K2, K4, K6, K8, K10 は kNm/rad

(*2) K1, K3, K5, K7, K9 は kNs/m K2, K4, K6, K8, K10 は kNsm/rad

(*3) f₁ は連成系の 1 次固有振動数

(EW 方向, Ss-3)

ばね番号	質点番号	地盤ばね成分	ばね		減衰	
			ばね定数 ^{(*)1} K _c	採用振動数 (Hz)	減衰係数 ^{(*)2} C _c	採用振動数 ^{(*)3} f ₁ (Hz)
K1	7	側面・並進	1.11×10^6	0.61	4.32×10^5	2.33
K2	7	側面・回転	8.61×10^8	0.01	1.07×10^8	2.33
K3	8	側面・並進	2.94×10^6	0.61	1.15×10^6	2.33
K4	8	側面・回転	2.28×10^8	0.01	2.84×10^8	2.33
K5	9	側面・並進	8.62×10^6	1.18	1.74×10^6	2.33
K6	9	側面・回転	6.79×10^8	0.01	4.02×10^8	2.33
K7	10	側面・並進	4.56×10^6	1.27	8.65×10^5	2.33
K8	10	側面・回転	3.57×10^8	0.01	1.98×10^8	2.33
K9	10	底面・並進	7.13×10^7	0.00	2.79×10^6	2.33
K10	10	底面・回転	7.42×10^{10}	0.00	7.10×10^8	2.33

(*1) K1, K3, K5, K7, K9 は kN/m K2, K4, K6, K8, K10 は kNm/rad

(*2) K1, K3, K5, K7, K9 は kNs/m K2, K4, K6, K8, K10 は kNsm/rad

(*3) f₁ は連成系の 1 次固有振動数

第 6.2.1-4 表(4) 地震応答解析に用いる基礎地盤のばね定数と減衰係数

(NS 方向, Ss-4)

ばね番号	質点番号	地盤ばね成分	ばね		減衰	
			ばね定数 ^{(*)1} K _c	採用振動数 (Hz)	減衰係数 ^{(*)2} C _c	採用振動数 ^{(*)3} f ₁ (Hz)
K1	7	側面・並進	1.17×10^6	0.63	4.42×10^5	2.33
K2	7	側面・回転	9.12×10^8	0.01	1.10×10^8	2.33
K3	8	側面・並進	3.11×10^6	0.63	1.17×10^6	2.33
K4	8	側面・回転	2.42×10^8	0.01	2.91×10^8	2.33
K5	9	側面・並進	8.85×10^6	1.19	1.77×10^6	2.33
K6	9	側面・回転	6.98×10^8	0.01	4.06×10^8	2.33
K7	10	側面・並進	4.68×10^6	1.29	8.76×10^5	2.33
K8	10	側面・回転	3.66×10^8	0.01	1.99×10^8	2.33
K9	10	底面・並進	7.52×10^7	0.00	2.88×10^6	2.33
K10	10	底面・回転	7.33×10^{10}	0.00	6.22×10^8	2.33

(*1) K1, K3, K5, K7, K9 は kN/m K2, K4, K6, K8, K10 は kNm/rad

(*2) K1, K3, K5, K7, K9 は kNs/m K2, K4, K6, K8, K10 は kNsm/rad

(*3) f₁ は連成系の 1 次固有振動数

(EW 方向, Ss-4)

ばね番号	質点番号	地盤ばね成分	ばね		減衰	
			ばね定数 ^{(*)1} K _c	採用振動数 (Hz)	減衰係数 ^{(*)2} C _c	採用振動数 ^{(*)3} f ₁ (Hz)
K1	7	側面・並進	1.17×10^6	0.63	4.44×10^5	2.38
K2	7	側面・回転	9.12×10^8	0.01	1.10×10^8	2.38
K3	8	側面・並進	3.11×10^6	0.63	1.18×10^6	2.38
K4	8	側面・回転	2.42×10^8	0.01	2.92×10^8	2.38
K5	9	側面・並進	8.85×10^6	1.19	1.77×10^6	2.38
K6	9	側面・回転	6.98×10^8	0.01	4.09×10^8	2.38
K7	10	側面・並進	4.68×10^6	1.29	8.76×10^5	2.38
K8	10	側面・回転	3.66×10^8	0.01	2.01×10^8	2.38
K9	10	底面・並進	7.48×10^7	0.00	2.86×10^6	2.38
K10	10	底面・回転	7.89×10^{10}	0.00	7.24×10^8	2.38

(*1) K1, K3, K5, K7, K9 は kN/m K2, K4, K6, K8, K10 は kNm/rad

(*2) K1, K3, K5, K7, K9 は kNs/m K2, K4, K6, K8, K10 は kNsm/rad

(*3) f₁ は連成系の 1 次固有振動数

第 6.2.1-4 表(5) 地震応答解析に用いる基礎地盤のばね定数と減衰係数

(NS 方向, Ss-5)

ばね番号	質点番号	地盤ばね成分	ばね		減衰	
			ばね定数 ^{(*)1} K _c	採用振動数 (Hz)	減衰係数 ^{(*)2} C _c	採用振動数 ^{(*)3} f ₁ (Hz)
K1	7	側面・並進	1.14×10^6	0.62	4.36×10^5	2.32
K2	7	側面・回転	8.83×10^8	0.01	1.08×10^8	2.32
K3	8	側面・並進	3.01×10^6	0.62	1.16×10^6	2.32
K4	8	側面・回転	2.34×10^8	0.01	2.87×10^8	2.32
K5	9	側面・並進	8.73×10^6	1.18	1.75×10^6	2.32
K6	9	側面・回転	6.89×10^8	0.01	4.03×10^8	2.32
K7	10	側面・並進	4.62×10^6	1.28	8.71×10^5	2.32
K8	10	側面・回転	3.62×10^8	0.01	1.98×10^8	2.32
K9	10	底面・並進	7.43×10^7	0.00	2.87×10^6	2.32
K10	10	底面・回転	7.21×10^{10}	0.00	6.20×10^8	2.32

(*1) K1, K3, K5, K7, K9 は kN/m K2, K4, K6, K8, K10 は kNm/rad

(*2) K1, K3, K5, K7, K9 は kNs/m K2, K4, K6, K8, K10 は kNsm/rad

(*3) f₁ は連成系の 1 次固有振動数

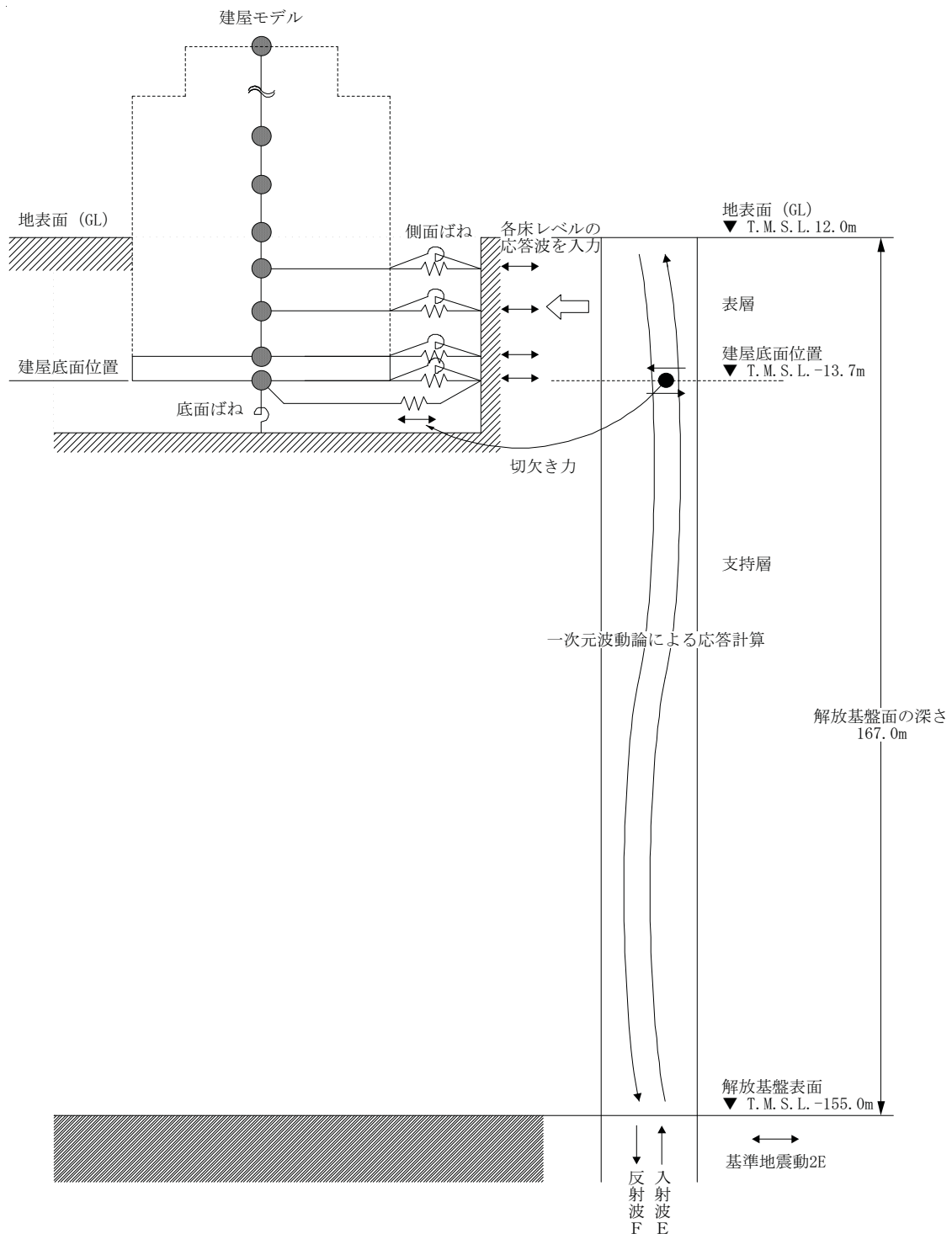
(EW 方向, Ss-5)

ばね番号	質点番号	地盤ばね成分	ばね		減衰	
			ばね定数 ^{(*)1} K _c	採用振動数 (Hz)	減衰係数 ^{(*)2} C _c	採用振動数 ^{(*)3} f ₁ (Hz)
K1	7	側面・並進	1.14×10^6	0.62	4.37×10^5	2.37
K2	7	側面・回転	8.83×10^8	0.01	1.09×10^8	2.37
K3	8	側面・並進	3.01×10^6	0.62	1.16×10^6	2.37
K4	8	側面・回転	2.34×10^8	0.01	2.88×10^8	2.37
K5	9	側面・並進	8.73×10^6	1.18	1.75×10^6	2.37
K6	9	側面・回転	6.89×10^8	0.01	4.06×10^8	2.37
K7	10	側面・並進	4.62×10^6	1.28	8.70×10^5	2.37
K8	10	側面・回転	3.62×10^8	0.01	2.00×10^8	2.37
K9	10	底面・並進	7.40×10^7	0.00	2.84×10^6	2.37
K10	10	底面・回転	7.76×10^{10}	0.00	7.22×10^8	2.37

(*1) K1, K3, K5, K7, K9 は kN/m K2, K4, K6, K8, K10 は kNm/rad

(*2) K1, K3, K5, K7, K9 は kNs/m K2, K4, K6, K8, K10 は kNsm/rad

(*3) f₁ は連成系の 1 次固有振動数



第 6.2.1-5 図 地震応答解析モデルに入力する地震動の概念図
(水平方向)

(b) 鉛直方向の地震応答解析モデル

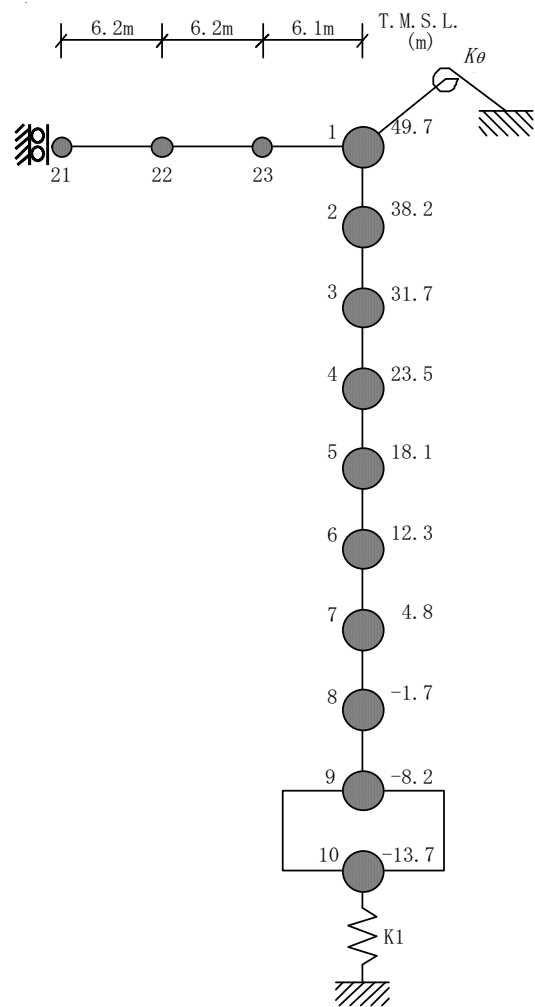
鉛直方向の地震応答解析モデルは、耐震壁の軸剛性および屋根トラスの曲げせん断剛性を評価した質点系モデルとする。鉛直方向の地震応答解析モデルを第 6.2.1-6 図に、解析モデルの諸元を第 6.2.1-5 表に示す。

地盤は、地盤調査に基づき水平成層地盤とし、基礎底面地盤ばねについては、スウェイおよびロッキングばね定数の評価法と同様、成層補正を行ったのち、振動アドミッタンス理論に基づいて、鉛直ばね定数を近似法により評価する。

第 6.2.1-6 表に地震応答解析に用いる地盤のばね定数と減衰係数を示す。なお、地盤調査に基づく地盤定数は第 6.2.1-3 表に示すとおりである。

鉛直方向の地震応答解析は、弾性応答解析とする。

入力地震動は、一次元波動論に基づき、解放基盤表面レベルに想定する基準地震動 S_s に対する地盤の応答として評価したものであり、基礎底面レベルに直接入力する。第 6.2.1-7 図に地震応答解析モデルに入力する地震動の概念図を示す。



第 6.2.1-6 図 地震応答解析モデル（鉛直方向）

第 6.2.1-5 表 解析モデルの諸元

(鉛直方向)

建屋			屋根		
質点番号	質点重量 W (kN)	軸断面積 A_N (m^2)	質点番号	質点重量 W (kN)	せん断断面積 A_s ($\times 10^{-2}m^2$)
1	30,760	89.0	1	—	21.25
2	79,450	199.2	23	3,520	16.82
3	180,810	587.3	22	3,510	7.94
4	240,420	585.5	21	1,750	2.00
5	157,360	616.0			
6	281,730	619.8			
7	204,570	705.4			
8	216,140	806.3			
9	339,800	3,373.4			
10	216,920				
合計	1,956,740				

①コンクリート部 建屋

ヤング係数 $E_c = 3.13 \times 10^4$ (N/mm²)

せん断弾性係数 $G = 1.31 \times 10^4$ (N/mm²)

ボアソン比 $\nu = 0.20$

減衰 $h = 5\%$

②コンクリート部 基礎スラブ

ヤング係数 $E_c = 2.90 \times 10^4$ (N/mm²)

せん断弾性係数 $G = 1.21 \times 10^4$ (N/mm²)

ボアソン比 $\nu = 0.20$

減衰 $h = 5\%$

③鉄骨部

ヤング係数 $E_s = 2.05 \times 10^5$ (N/mm²)

せん断弾性係数 $G = 7.90 \times 10^4$ (N/mm²)

ボアソン比 $\nu = 0.30$

減衰 $h = 2\%$

基礎形状 56.6m(NS 方向) × 59.6m(EW 方向)

トラス端部回転拘束ばね $K_\theta = 4.24 \times 10^7$ (kNm/rad)

第 6.2.1-6 表 地震応答解析に用いる基礎地盤のばね定数と減衰係数

(Ss-1)

ばね番号	質点番号	地盤ばね成分	ばね		減衰	
			ばね定数 K_c (kN/m)	採用振動数 (Hz)	減衰係数 C_c (kNs/m)	採用振動数 ^{(*)1} f_1 (Hz)
K1	10	底面・鉛直	1.20×10^8	0.00	6.51×10^6	3.89

(*)1) f_1 は連成系の 1 次固有振動数

(Ss-2)

ばね番号	質点番号	地盤ばね成分	ばね		減衰	
			ばね定数 K_c (kN/m)	採用振動数 (Hz)	減衰係数 C_c (kNs/m)	採用振動数 ^{(*)1} f_1 (Hz)
K1	10	底面・鉛直	1.22×10^8	0.00	6.57×10^6	3.91

(*)1) f_1 は連成系の 1 次固有振動数

(Ss-3)

ばね番号	質点番号	地盤ばね成分	ばね		減衰	
			ばね定数 K_c (kN/m)	採用振動数 (Hz)	減衰係数 C_c (kNs/m)	採用振動数 ^{(*)1} f_1 (Hz)
K1	10	底面・鉛直	1.16×10^8	0.00	6.41×10^6	3.85

(*)1) f_1 は連成系の 1 次固有振動数

(Ss-4)

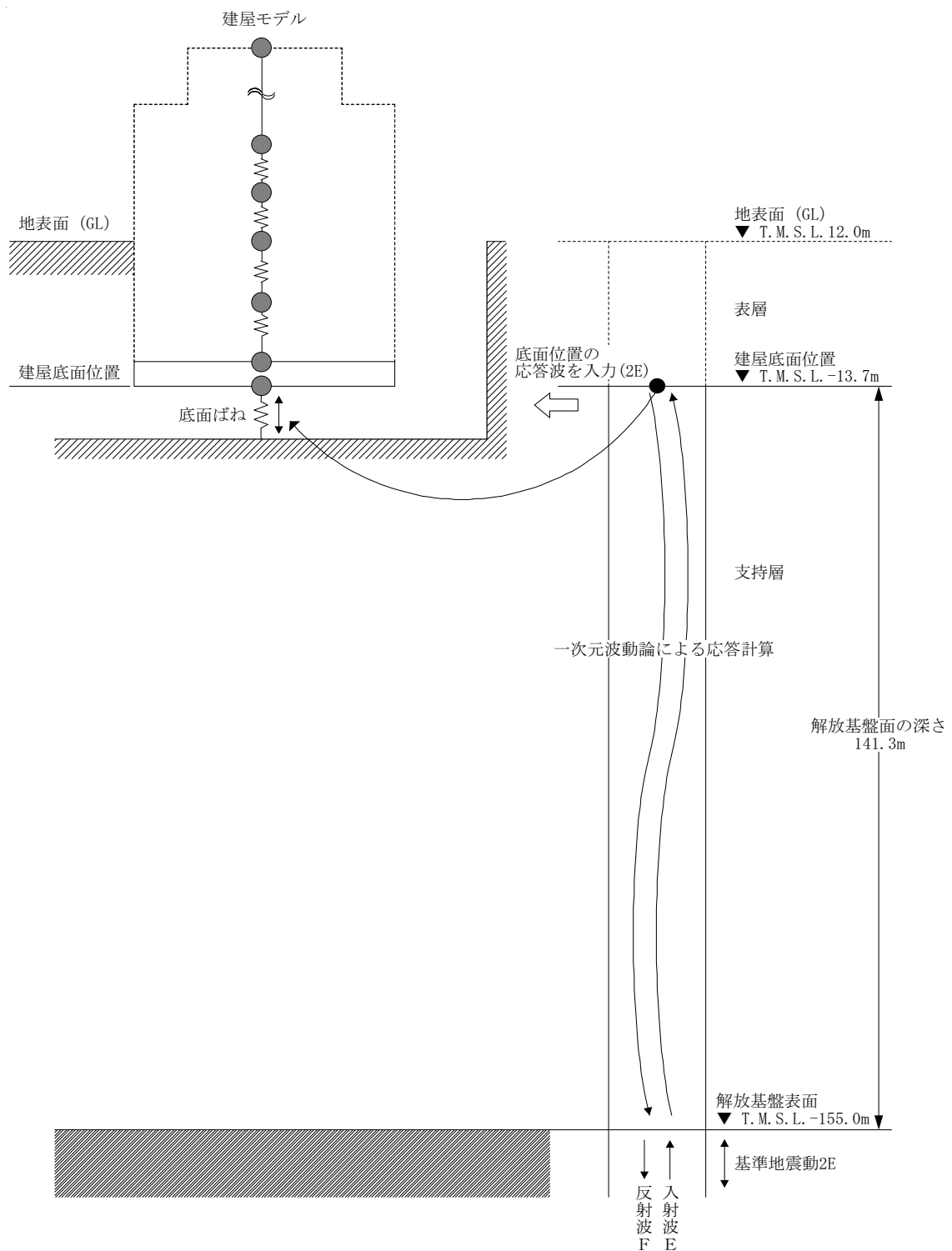
ばね番号	質点番号	地盤ばね成分	ばね		減衰	
			ばね定数 K_c (kN/m)	採用振動数 (Hz)	減衰係数 C_c (kNs/m)	採用振動数 ^{(*)1} f_1 (Hz)
K1	10	底面・鉛直	1.24×10^8	0.00	6.62×10^6	3.94

(*)1) f_1 は連成系の 1 次固有振動数

(Ss-5)

ばね番号	質点番号	地盤ばね成分	ばね		減衰	
			ばね定数 K_c (kN/m)	採用振動数 (Hz)	減衰係数 C_c (kNs/m)	採用振動数 ^{(*)1} f_1 (Hz)
K1	10	底面・鉛直	1.22×10^8	0.00	6.56×10^6	3.91

(*)1) f_1 は連成系の 1 次固有振動数



第 6.2.1-7 図 地震応答解析モデルに入力する地震動の概念図

(鉛直方向)

6.2.1.3. 地震応答解析結果

地震応答解析モデルの固有値（固有周期、固有振動数）および刺激係数を第 6.2.1-7 表および第 6.2.1-8 表に示す。

基準地震動 Ss(水平)による最大応答値を、それぞれ第 6.2.1-8 図～第 6.2.1-13 図に示す。

基準地震動 Ss(鉛直)による最大応答値を、それぞれ第 6.2.1-14 図、第 6.2.1-15 図に示す。

第 6.2.1-7 表(1) 固有値（固有周期、固有振動数）および刺激係数
(水平方向)

(NS 方向, Ss-1)

次数	固有周期 (s)	固有振動数 (Hz)	刺激係数*	備考
1	0.436	2.30	1.579	地盤建屋連成一次
2	0.191	5.24	-0.678	
3	0.087	11.51	0.040	
4	0.075	13.29	0.107	
5	0.074	13.52	-0.008	

(NS 方向, Ss-2)

次数	固有周期 (s)	固有振動数 (Hz)	刺激係数*	備考
1	0.435	2.30	1.579	地盤建屋連成一次
2	0.190	5.26	-0.679	
3	0.087	11.51	0.040	
4	0.075	13.30	0.107	
5	0.074	13.53	-0.006	

(NS 方向, Ss-3)

次数	固有周期 (s)	固有振動数 (Hz)	刺激係数*	備考
1	0.438	2.28	1.578	地盤建屋連成一次
2	0.192	5.21	-0.676	
3	0.087	11.51	0.040	
4	0.075	13.29	0.109	
5	0.074	13.50	-0.012	

注* : モードごとに固有ベクトルの最大値を 1 に基準化して得られる刺激係数を示す。

第 6.2.1-7 表(2) 固有値（固有周期、固有振動数）および刺激係数
(水平方向)

(NS 方向, Ss-4)

次数	固有周期 (s)	固有振動数 (Hz)	刺激係数*	備考
1	0.429	2.33	1.581	地盤建屋連成一次
2	0.188	5.32	-0.684	
3	0.087	11.51	0.041	
4	0.075	13.31	0.106	
5	0.074	13.57	-0.002	

(NS 方向, Ss-5)

次数	固有周期 (s)	固有振動数 (Hz)	刺激係数*	備考
1	0.431	2.32	1.580	地盤建屋連成一次
2	0.189	5.29	-0.682	
3	0.087	11.51	0.041	
4	0.075	13.30	0.107	
5	0.074	13.55	-0.005	

注*：モードごとに固有ベクトルの最大値を1に基準化して得られる刺激係数を示す。

第 6.2.1-7 表(3) 固有値（固有周期、固有振動数）および刺激係数
(水平方向)

(EW 方向, Ss-1)

次数	固有周期 (s)	固有振動数 (Hz)	刺激係数*	備考
1	0.426	2.35	1.541	地盤建屋連成一次
2	0.190	5.28	-0.605	
3	0.079	12.66	-0.042	
4	0.074	13.47	0.137	
5	0.070	14.36	-0.035	

(EW 方向, Ss-2)

次数	固有周期 (s)	固有振動数 (Hz)	刺激係数*	備考
1	0.425	2.35	1.542	地盤建屋連成一次
2	0.189	5.29	-0.605	
3	0.079	12.66	-0.042	
4	0.074	13.47	0.137	
5	0.070	14.37	-0.034	

(EW 方向, Ss-3)

次数	固有周期 (s)	固有振動数 (Hz)	刺激係数*	備考
1	0.429	2.33	1.541	地盤建屋連成一次
2	0.191	5.25	-0.603	
3	0.079	12.66	-0.041	
4	0.074	13.47	0.135	
5	0.070	14.34	-0.035	

注* : モードごとに固有ベクトルの最大値を 1 に基準化して得られる刺激係数を示す。

第 6.2.1-7 表(4) 固有値（固有周期、固有振動数）および刺激係数
(水平方向)

(EW 方向, Ss-4)

次数	固有周期 (s)	固有振動数 (Hz)	刺激係数*	備考
1	0.420	2.38	1.543	地盤建屋連成一次
2	0.187	5.36	-0.609	
3	0.079	12.66	-0.043	
4	0.074	13.48	0.141	
5	0.069	14.40	-0.035	

(EW 方向, Ss-5)

次数	固有周期 (s)	固有振動数 (Hz)	刺激係数*	備考
1	0.422	2.37	1.543	地盤建屋連成一次
2	0.188	5.36	-0.607	
3	0.079	12.66	-0.043	
4	0.074	13.48	0.139	
5	0.070	14.38	-0.035	

注*：モードごとに固有ベクトルの最大値を 1 に基準化して得られる刺激係数を示す。

第 6.2.1-8 表(1) 固有値(固有周期, 固有振動数)および刺激係数
(鉛直方向)

(Ss-1)

次数	固有周期 (s)	固有振動数 (Hz)	刺激係数*	備考
1	0.276	3.62	10.202	屋根トラス一次
2	0.257	3.89	-9.262	地盤建屋連成一次
3	0.077	13.03	0.089	
4	0.051	19.54	-0.102	
5	0.046	21.61	0.097	

(Ss-2)

次数	固有周期 (s)	固有振動数 (Hz)	刺激係数*	備考
1	0.275	3.63	9.818	屋根トラス一次
2	0.256	3.91	-8.879	地盤建屋連成一次
3	0.077	13.03	0.090	
4	0.051	19.54	-0.103	
5	0.046	21.61	0.098	

(Ss-3)

次数	固有周期 (s)	固有振動数 (Hz)	刺激係数*	備考
1	0.278	3.60	10.732	屋根トラス一次
2	0.260	3.85	-9.789	地盤建屋連成一次
3	0.077	13.03	0.086	
4	0.051	19.54	-0.099	
5	0.046	21.59	0.094	

注* : モードごとに固有ベクトルの最大値を 1 に基準化して得られる刺激係数を示す。

第 6.2.1-8 表(2) 固有値(固有周期, 固有振動数)および刺激係数
(鉛直方向)

(Ss-4)

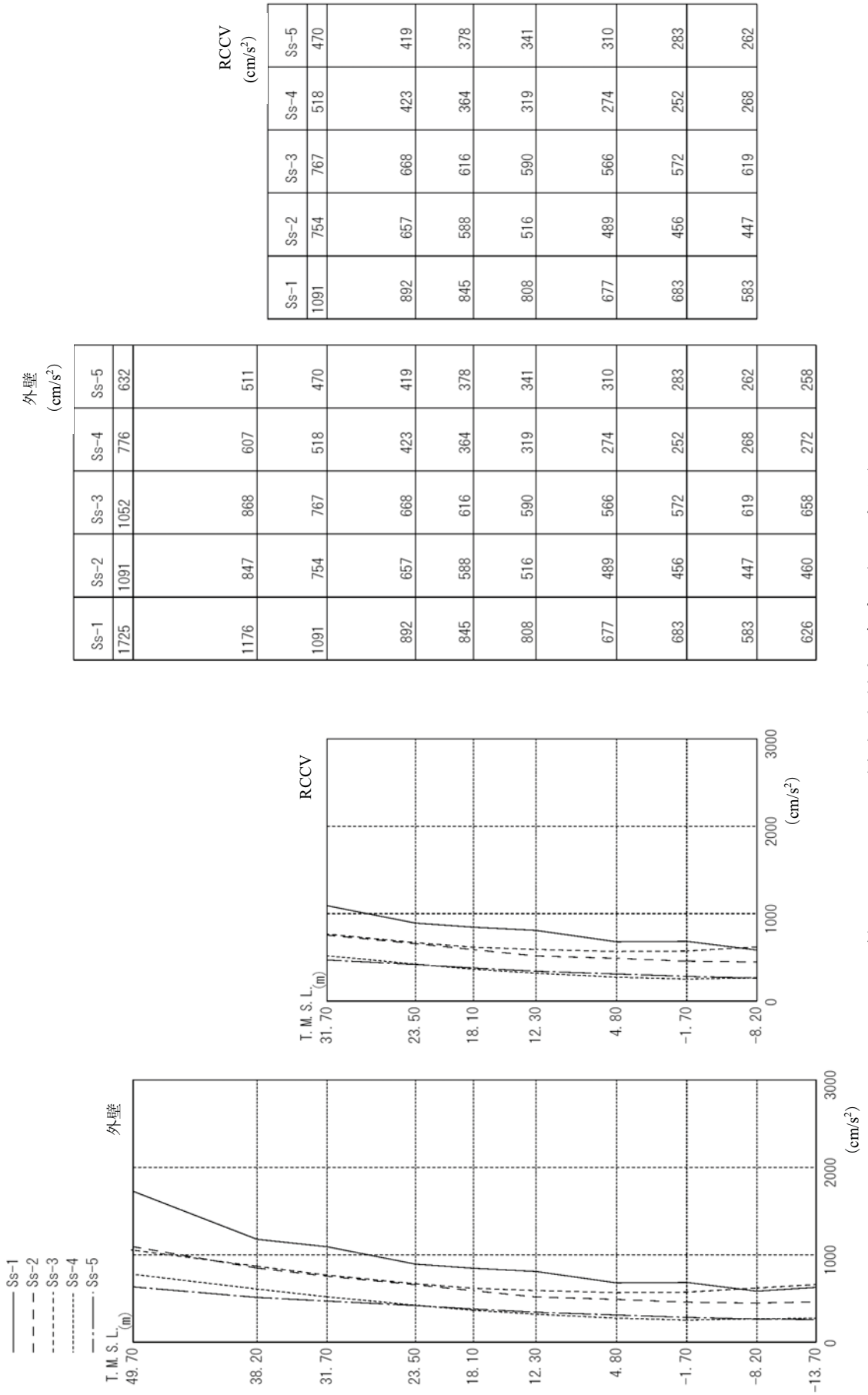
次数	固有周期 (s)	固有振動数 (Hz)	刺激係数*	備考
1	0.275	3.64	9.398	屋根トラス一次
2	0.254	3.94	-8.460	地盤建屋連成一次
3	0.077	13.03	0.092	
4	0.051	19.54	-0.105	
5	0.046	21.62	0.099	

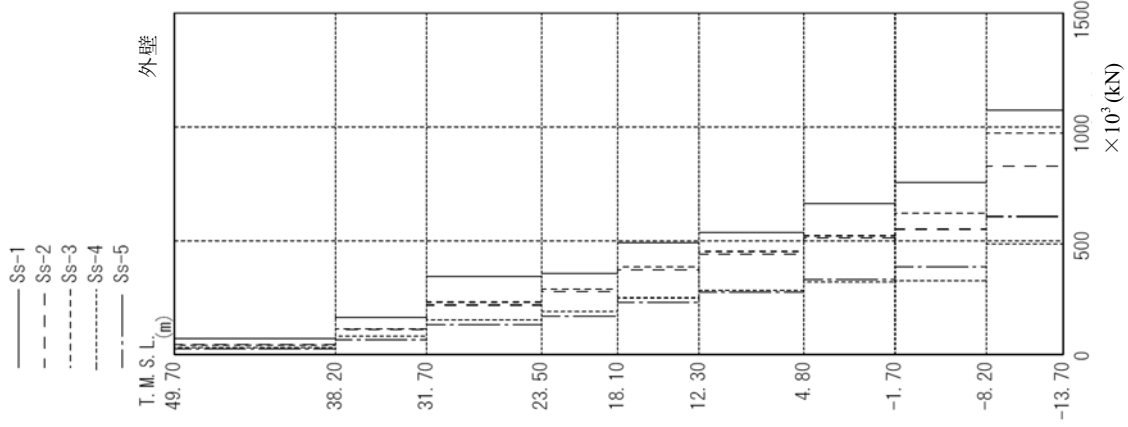
(Ss-5)

次数	固有周期 (s)	固有振動数 (Hz)	刺激係数*	備考
1	0.275	3.63	9.818	屋根トラス一次
2	0.256	3.91	-8.879	地盤建屋連成一次
3	0.077	13.03	-0.090	
4	0.051	19.54	-0.103	
5	0.046	21.61	0.098	

注* : モードごとに固有ベクトルの最大値を 1 に基準化して得られる刺激係数を示す。

第 6.2.1-8 図 最大応答加速度 (NS 方向)





外壁
外壁

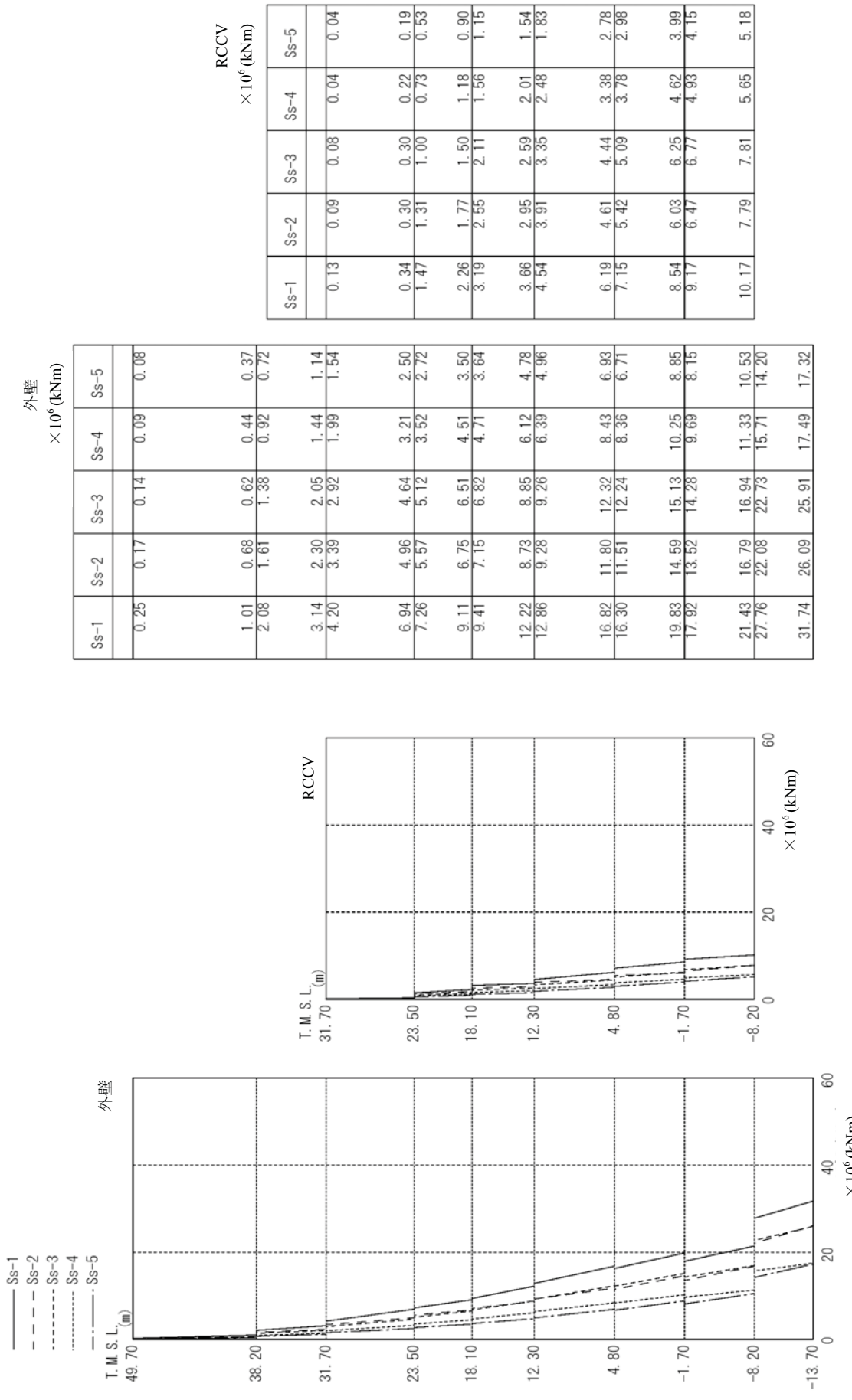
$\times 10^3$ (kN)

	Ss-1	Ss-2	Ss-3	Ss-4	Ss-5	
69.79	44.53	42.24	31.05	25.84		
161.79	110.40	112.29	79.78	64.67		
342.08	216.96	230.37	152.27	129.93		
354.93	275.53	286.85	188.15	168.34		
489.88	372.21	383.95	248.76	229.17		
537.02	440.04	452.65	281.96	273.97		
663.05	511.02	521.17	317.85	329.64		
755.70	550.29	620.48	323.25	385.63		
1073.70	827.33	971.60	485.19	606.04		

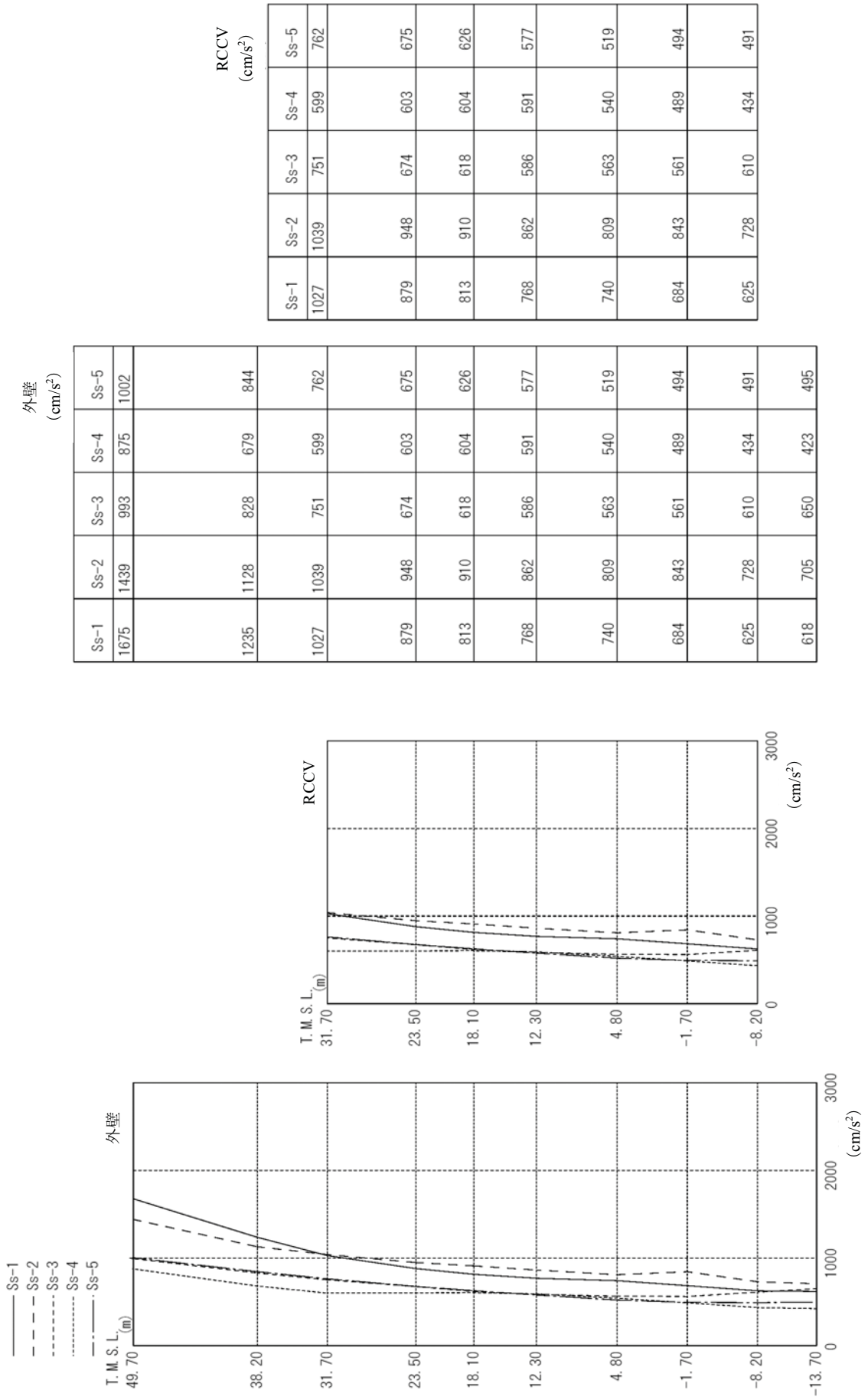
RCCV
 $\times 10^3$ (kN)

$\times 10^3$ (kN)

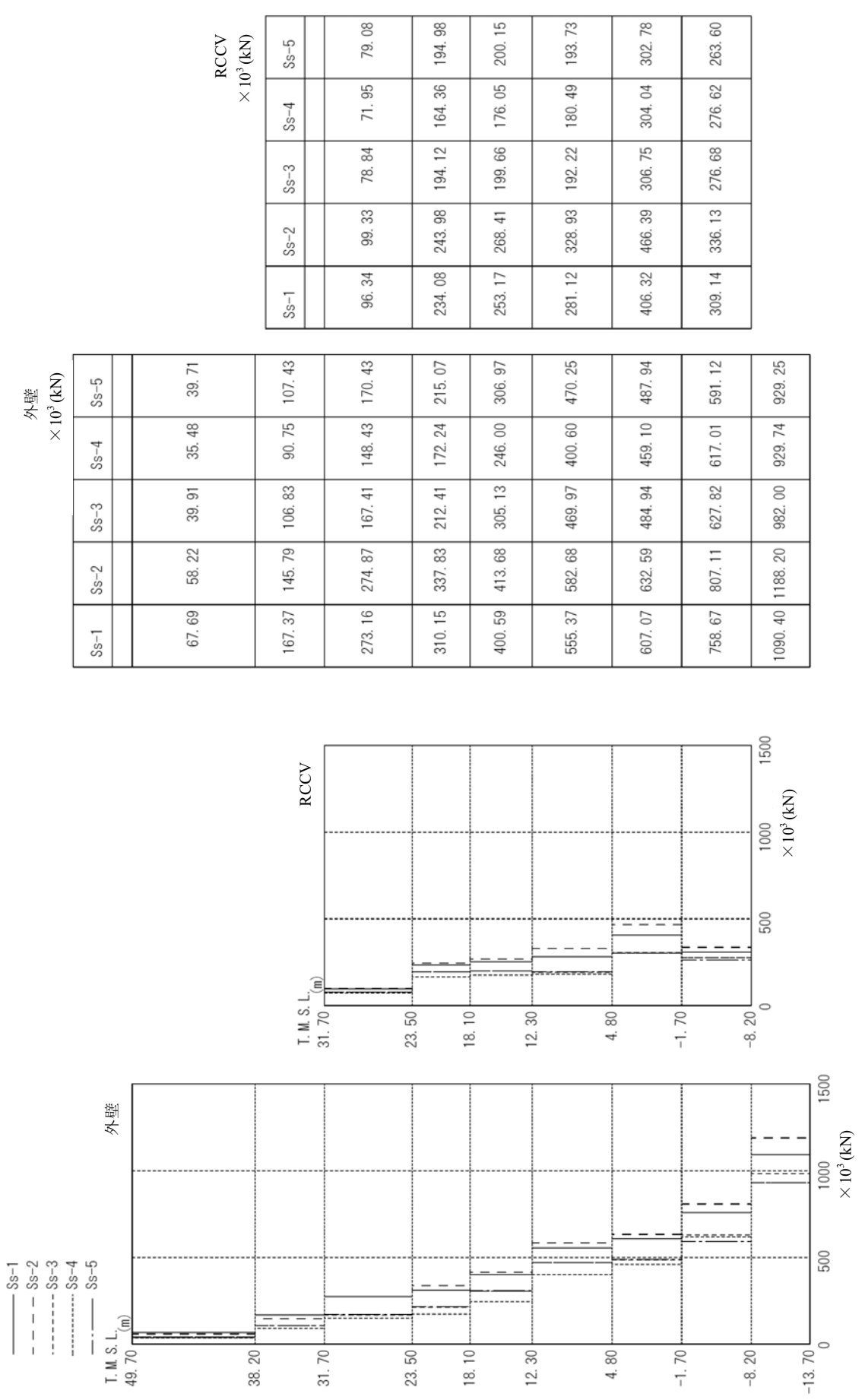
第 6.2.1-9 図 最大応答せん断力 (NS 方向)



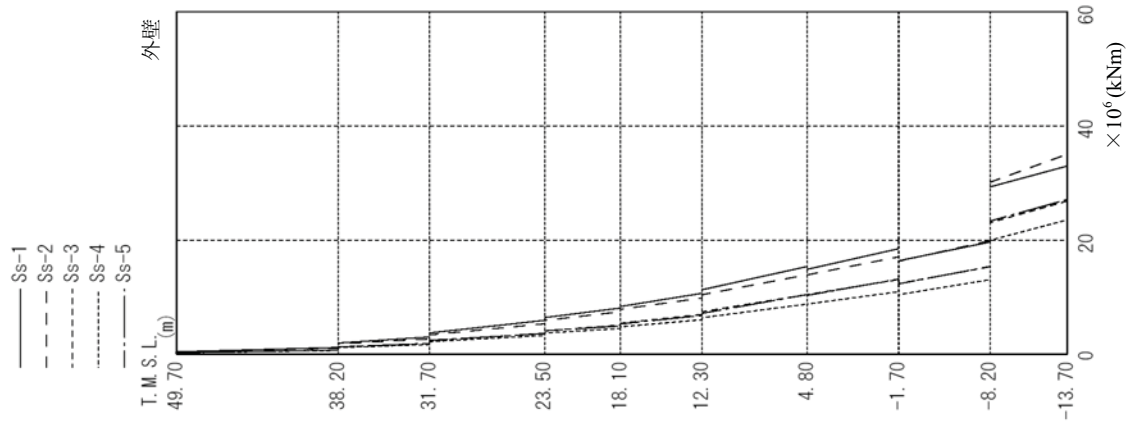
第 6.2.1-10 図 最大応答曲げモーメント (NS 方向)



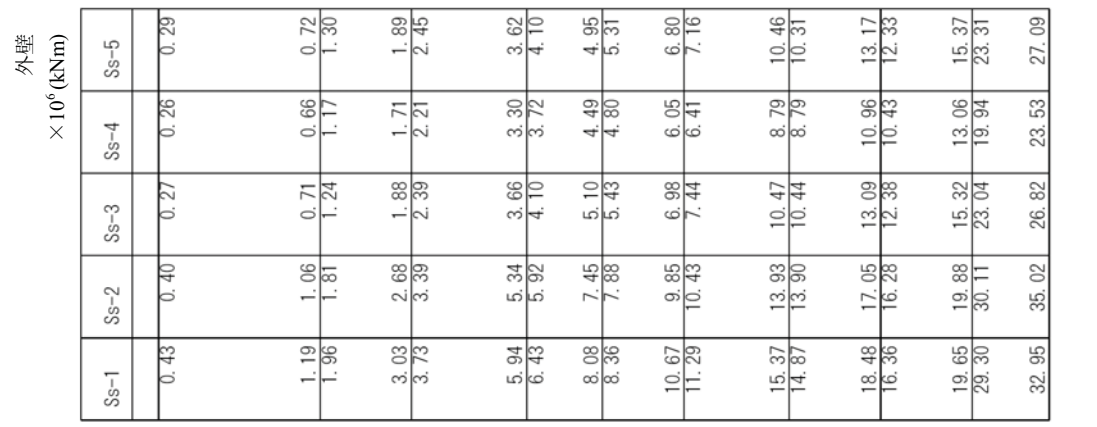
第 6.2.1-11 図 最大応答加速度 (EW 方向)

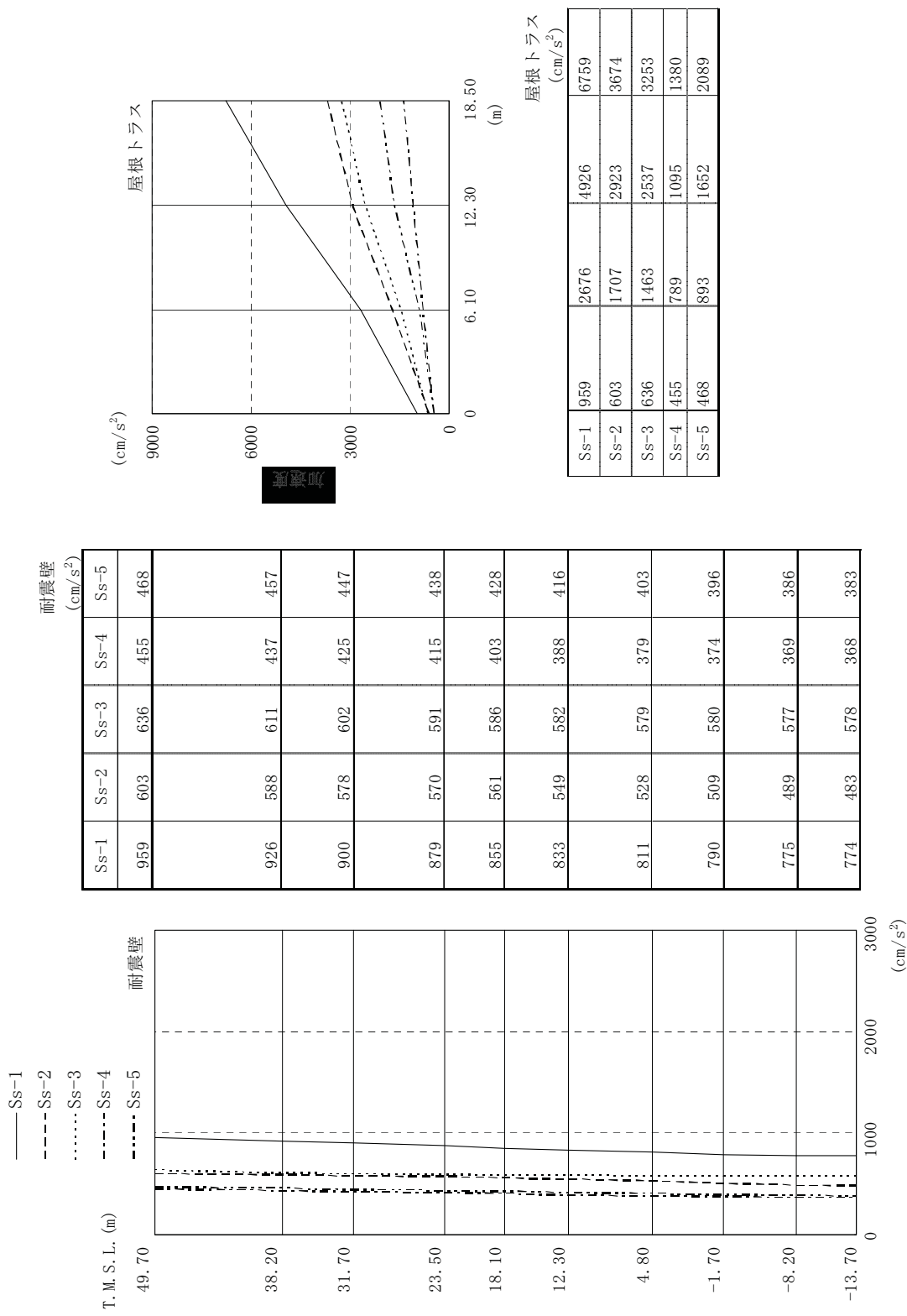


第 6.2.1-12 図 最大応答せん断力 (EW 方向)

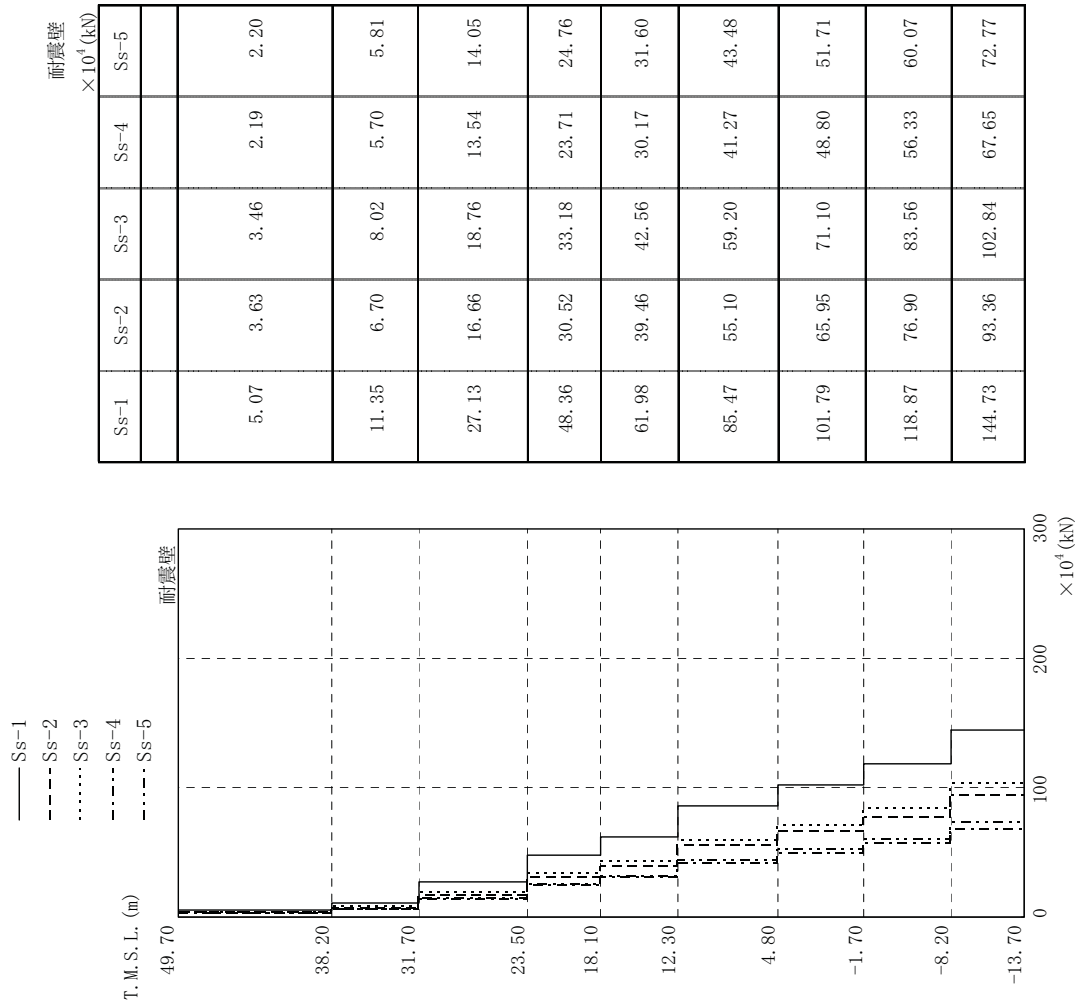


第 6.2.1-13 図 最大応答曲げモーメント (EW 方向)





第 6.2.1-14 図 最大応答加速度（鉛直方向）



第 6.2.1-15 図 最大応答軸力（鉛直方向）

6.2.1.4. 接地率

地震応答解析により得られた基礎版底面位置の最大転倒モーメントと、この結果から算出した接地率の検討結果を第 6.2.1-9 表に示す。

なお、接地率は下式により算出している。

$$\eta = \frac{1}{2} \left(3 - \frac{M}{M_0} \right) = 3 \left(\frac{1}{2} - \frac{M}{WL} \right)$$

ここに、

η : 接地率 (>1.0 の場合は =100%とする。)

M : 最大転倒モーメント (基礎下端の最大応答モーメント)

M_0 : 浮上り限界転倒モーメント

W : 建屋総重量 (鉛直地震力および浮力は無視)

L : 加振方向の基礎長さ

第 6.2.1-9 表 基準地震動 Ss による地震応答解析結果に基づく接地率

	基準地震動 Ss	Ss-1	Ss-2	Ss-3	Ss-4	Ss-5
NS 方 向	浮上り限界モーメント ($\times 10^7 \text{kNm}$)	1.85	1.85	1.85	1.85	1.85
	最大転倒モーメント M_{max} ($\times 10^7 \text{kNm}$)	3.01	2.49	2.47	1.67	1.65
	接地率 η (%)	68.5	82.6	83.1	100.0	100.0
EW 方 向	浮上り限界モーメント ($\times 10^7 \text{kNm}$)	1.94	1.94	1.94	1.94	1.94
	最大転倒モーメント M_{max} ($\times 10^7 \text{kNm}$)	3.13	3.31	2.56	2.25	2.59
	接地率 η (%)	69.4	64.8 [※]	84.1	92.1	83.3

※ : 接地率が 65% を下回っていることから、「JEAG 4601-1991」に記載されている誘発上下動を考慮した地震応答解析を実施し、その影響が小さいことを別途確認している。(参考資料 6.3 参照)

6.2.1.5. 接地圧

基準地震動 Ss による地震応答解析結果^{※1}に基づく接地圧を第 6.2.1-10 表に示す。地盤の支持力試験の最大荷重は、 5982kN/m^2 (610tf/m^2) であり、地震時接地圧に対して十分な余裕がある。

※1　　水平地震動による応力と組み合わせる場合の鉛直地震動による応力
は、組合せ係数法により、係数 0.4 を考慮する。

第 6.2.1-10 表 (1) 基準地震動 Ss による地震応答解析結果に基づく接地圧

(Ss-1)

		NS	EW	反力分布図 ()内は下向き地震時
鉛直力 N (kN)		上向き	1, 513, 380	<p>[NS 方向] 2010.2 kN/m² (1702.9 kN/m²)</p>
		下向き	2, 400, 100	
転倒モーメント M (×10 ⁵ kNm)		300.84	313.41	<p>[EW 方向] 1960.8 kN/m² (1688.6 kN/m²)</p>
		上向き	2010.2	
最大接地圧※ (kN/m ²)		1702.9	1688.6	

※：地盤の支持力試験の最大荷重

5982kN/m²

(Ss-2)

		NS	EW	反力分布図 ()内は下向き地震時
鉛直力 N (kN)		上向き	1, 726, 956	<p>[NS 方向] 1391.0 kN/m² (1445.8 kN/m²)</p>
		下向き	2, 186, 524	
転倒モーメント M (×10 ⁵ kNm)		248.91	331.40	<p>[EW 方向] 1917.1 kN/m² (1758.7 kN/m²)</p>
		上向き	1391.0	
最大接地圧※ (kN/m ²)		1445.8	1758.7	

※：地盤の支持力試験の最大荷重

5982kN/m²

(Ss-3)

		NS	EW	反力分布図 ()内は下向き地震時
鉛直力 N (kN)		上向き	1, 572, 368	<p>[NS 方向] 1396.2 kN/m² (1475.0 kN/m²)</p>
		下向き	2, 341, 112	
転倒モーメント M (×10 ⁵ kNm)		246.91	256.35	<p>[EW 方向] 1372.2 kN/m² (1462.9 kN/m²)</p>
		上向き	1396.2	
最大接地圧※ (kN/m ²)		1475.0	1462.9	

※：地盤の支持力試験の最大荷重

5982kN/m²

第 6.2.1-10 表 (2) 基準地震動 Ss による地震応答解析結果に基づく接地圧

(Ss-4)

		NS	EW	反力分布図 ()内は下向き地震時
鉛直力 N (kN)	上向き	1,746,876		[NS 方向] 1044.1 kN/m ² (1168.4 kN/m ²)
	下向き	2,166,604		
転倒モーメント M ($\times 10^5$ kNm)		167.44	225.24	
最大接地圧※ (kN/m ²)	上向き	1044.1	1217.1	[EW 方向] 1217.1 kN/m ² (1315.2 kN/m ²)
	下向き	1168.4	1315.2	

※ : 地盤の支持力試験の最大荷重

5982kN/m²

(Ss-5)

		NS	EW	反力分布図 ()内は下向き地震時
鉛直力 N (kN)	上向き	1,732,168		[NS 方向] 1033.0 kN/m ² (1166.1 kN/m ²)
	下向き	2,181,312		
転倒モーメント M ($\times 10^5$ kNm)		165.31	259.44	
最大接地圧※ (kN/m ²)	上向き	1033.0	1376.5	[EW 方向] 1376.5 kN/m ² (1434.8 kN/m ²)
	下向き	1166.1	1434.8	

※ : 地盤の支持力試験の最大荷重

5982kN/m²

6.2.2. 評価基準

耐震安全性評価に当たっては、建物が構造物全体として変形能力（終局耐力時の変形）について十分な余裕を有し、建物の終局耐力に対し、妥当な安全余裕を有していることを確認する観点から、原子炉建屋の主たる耐震要素である耐震壁の安全性について評価する。

評価は、基準地震動 Ss による各層における耐震壁の最大せん断ひずみが、評価基準値 (2.0×10^{-3}) を超えないことを確認する（「JEAG 4601-1991」に準拠）。

6.2.3. 耐震安全性評価結果

6.2.3.1. 耐震壁

第 6.2.3-1 表および第 6.2.3-2 表に耐震壁のせん断ひずみ一覧を示す。また、
第 6.2.3-1 図～第 6.2.3-16 図に基準地震動 Ss に対する最大応答値を耐震壁の
せん断スケルトン曲線上に示す。せん断ひずみは、最大で 0.46×10^{-3} (Ss-1,
NS 方向, B2F) であり、評価基準値 (2.0×10^{-3}) を満足している。

第6.2.3-1表 耐震壁のせん断ひずみ一覧 (NS方向)

階	外壁					(× 10 ⁻³)
	Ss-1	Ss-2	Ss-3	Ss-4	Ss-5	
CRF	0.13	0.08	0.08	0.06	0.05	2.0以下
4F	0.15	0.10	0.10	0.07	0.06	
3F	0.14	0.09	0.10	0.06	0.05	
2F	0.30	0.17	0.17	0.11	0.10	
1F	0.28	0.16	0.16	0.10	0.10	
B1F	0.34	0.19	0.19	0.12	0.12	
B2F	0.46	0.20	0.22	0.12	0.13	
B3F	0.21	0.16	0.17	0.09	0.11	

RCCV (× 10⁻³)

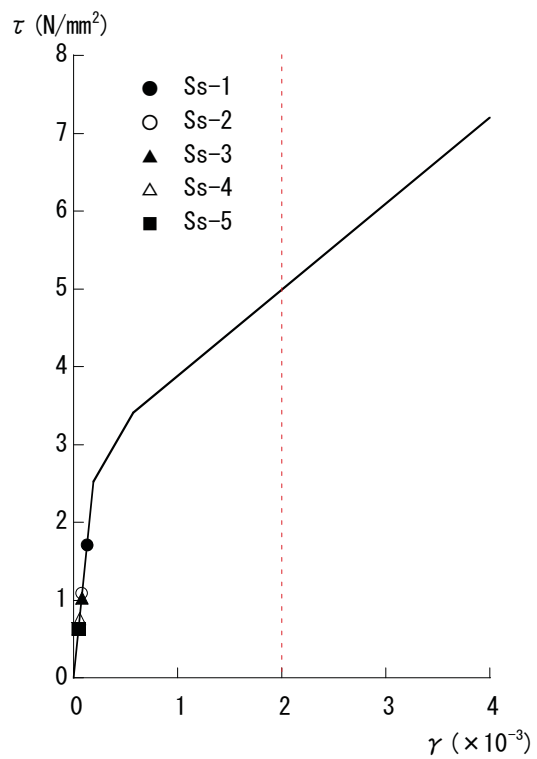
階	Ss-1	Ss-2	Ss-3	Ss-4	Ss-5	評価基準値
3F	0.03	0.02	0.02	0.01	0.01	2.0以下
2F	0.13	0.09	0.09	0.06	0.06	
1F	0.11	0.08	0.08	0.05	0.05	
B1F	0.17	0.12	0.12	0.08	0.08	
B2F	0.33	0.14	0.18	0.09	0.10	
B3F	0.18	0.15	0.16	0.08	0.10	

第6.2.3-2表 耐震壁のせん断ひずみ一覧 (EW方向)

階	外壁					(× 10 ⁻³)
	Ss-1	Ss-2	Ss-3	Ss-4	Ss-5	
CRF	0.09	0.08	0.06	0.05	0.06	2.0以下
4F	0.10	0.09	0.07	0.06	0.07	
3F	0.13	0.13	0.08	0.07	0.08	
2F	0.17	0.19	0.12	0.10	0.12	
1F	0.22	0.26	0.15	0.12	0.15	
B1F	0.29	0.36	0.18	0.16	0.18	
B2F	0.27	0.32	0.17	0.16	0.17	
B3F	0.30	0.40	0.17	0.17	0.16	

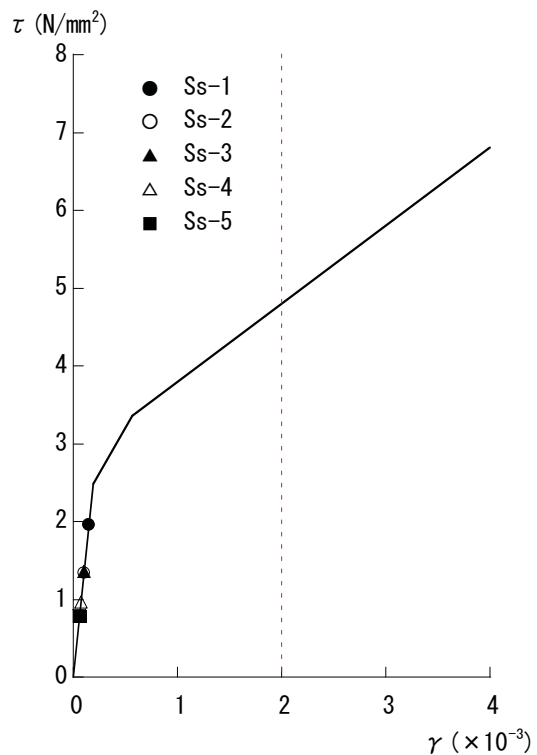
RCCV (× 10⁻³)

階	Ss-1	Ss-2	Ss-3	Ss-4	Ss-5	評価基準値
3F	0.03	0.03	0.03	0.02	0.03	2.0以下
2F	0.08	0.09	0.07	0.06	0.07	
1F	0.12	0.13	0.09	0.08	0.09	
B1F	0.18	0.21	0.12	0.12	0.13	
B2F	0.17	0.20	0.13	0.13	0.13	
B3F	0.26	0.35	0.16	0.16	0.15	



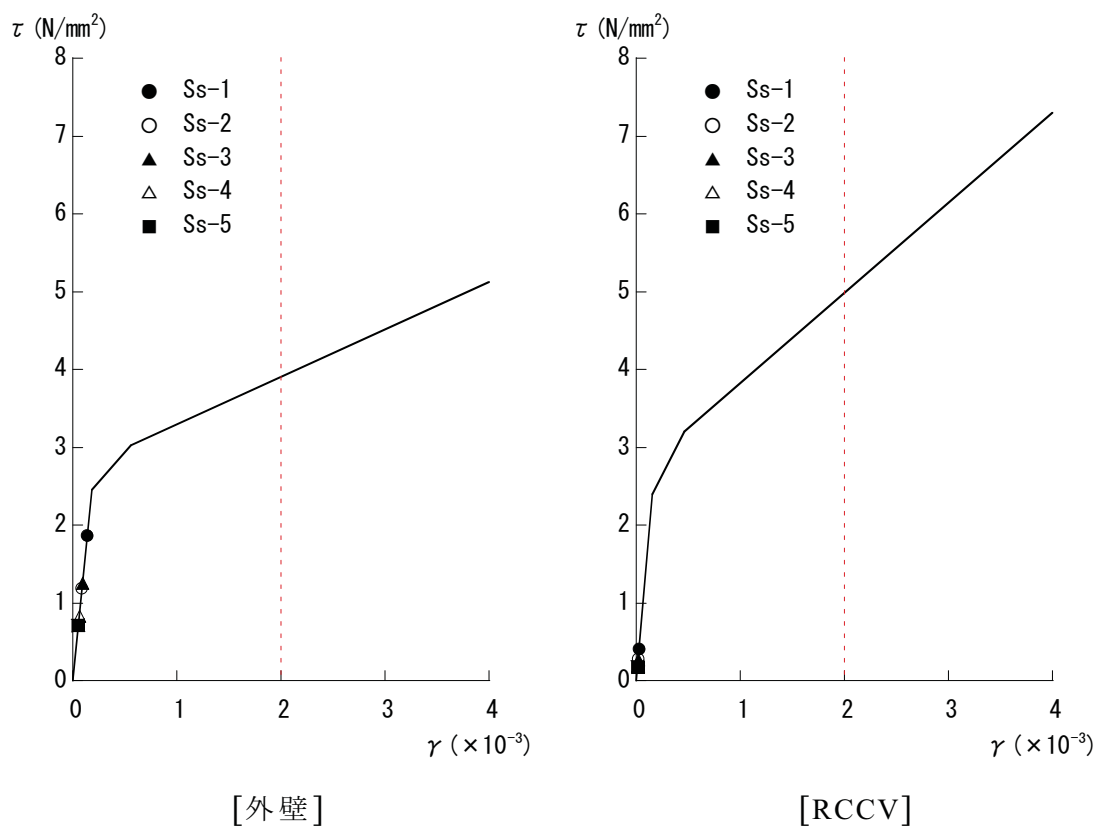
[外壁]

第 6.2.3-1 図 せん断スケルトン曲線上の最大応答値 (NS 方向, CRF)

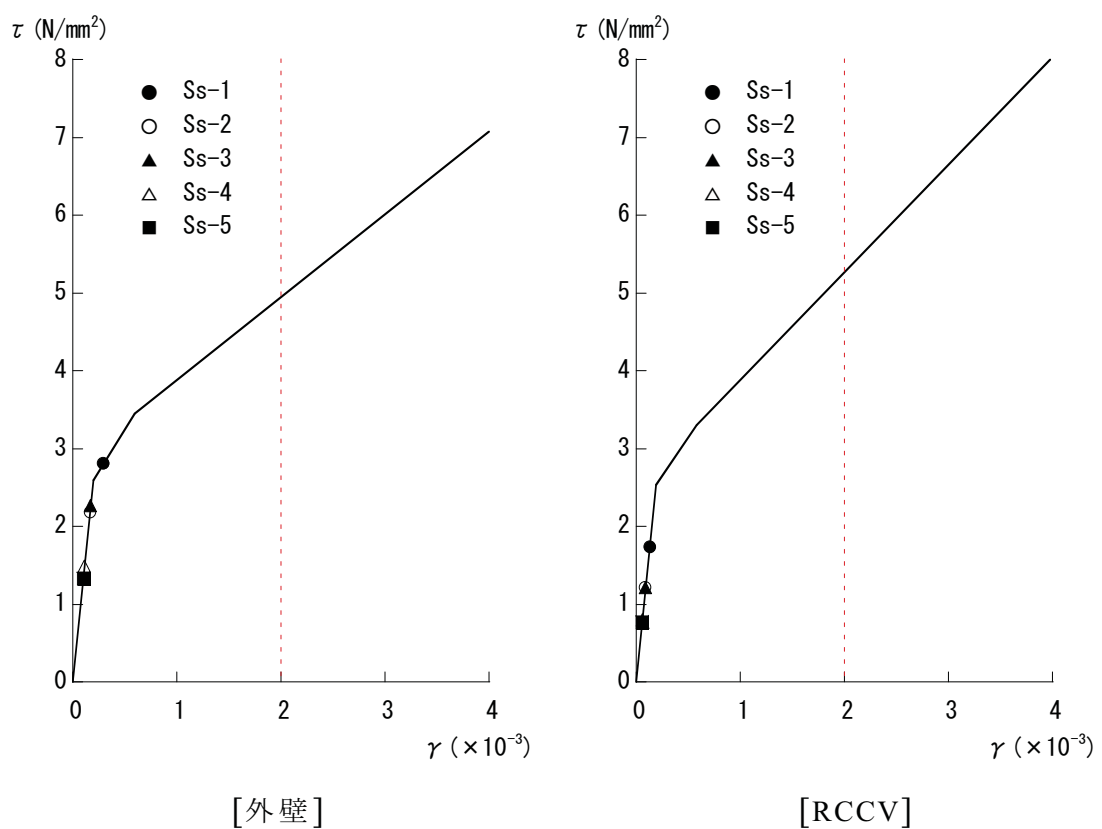


[外壁]

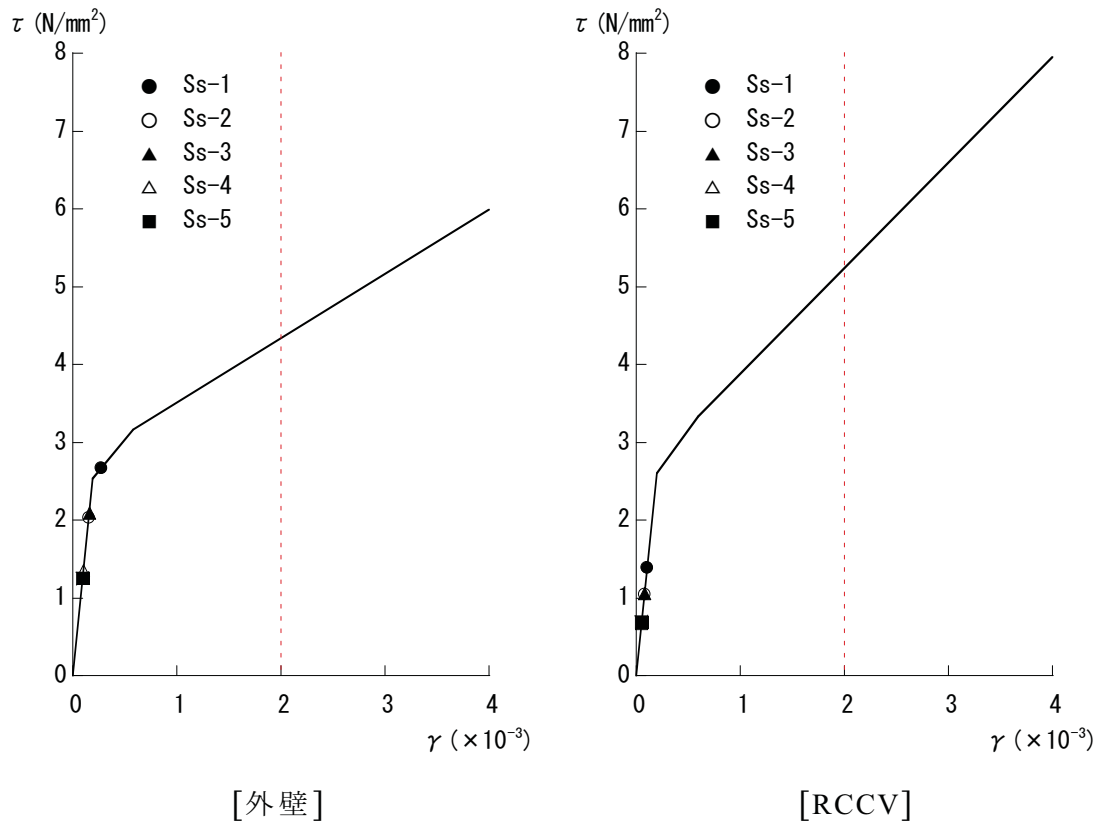
第 6.2.3-2 図 せん断スケルトン曲線上の最大応答値 (NS 方向, 4F)



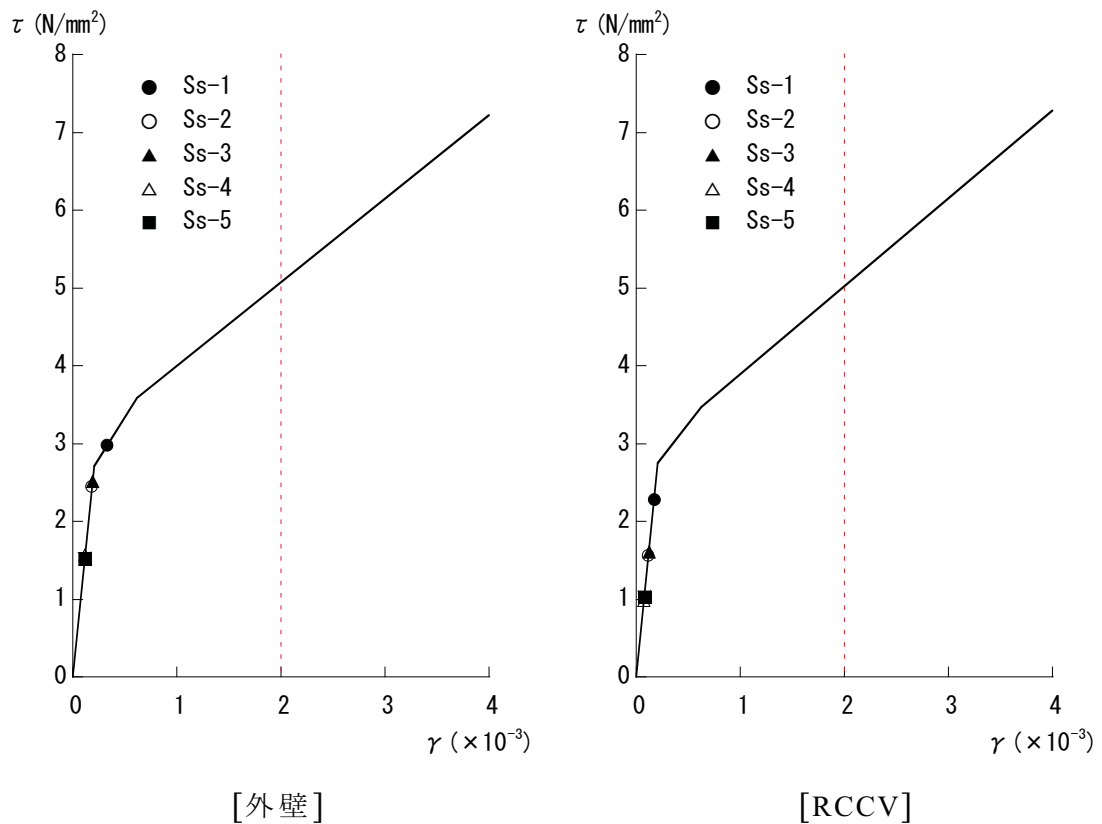
第 6.2.3-3 図 せん断スケルトン曲線上の最大応答値 (NS 方向, 3F)



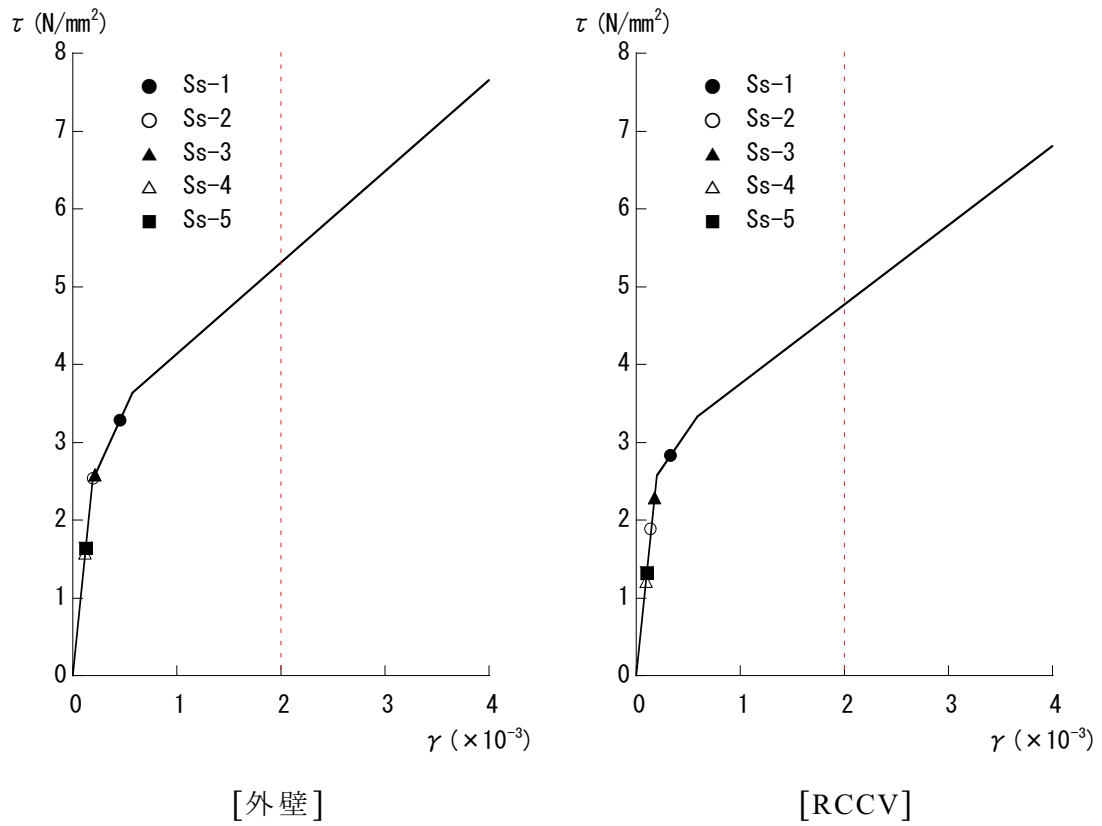
第 6.2.3-4 図 せん断スケルトン曲線上の最大応答値 (NS 方向, 2F)



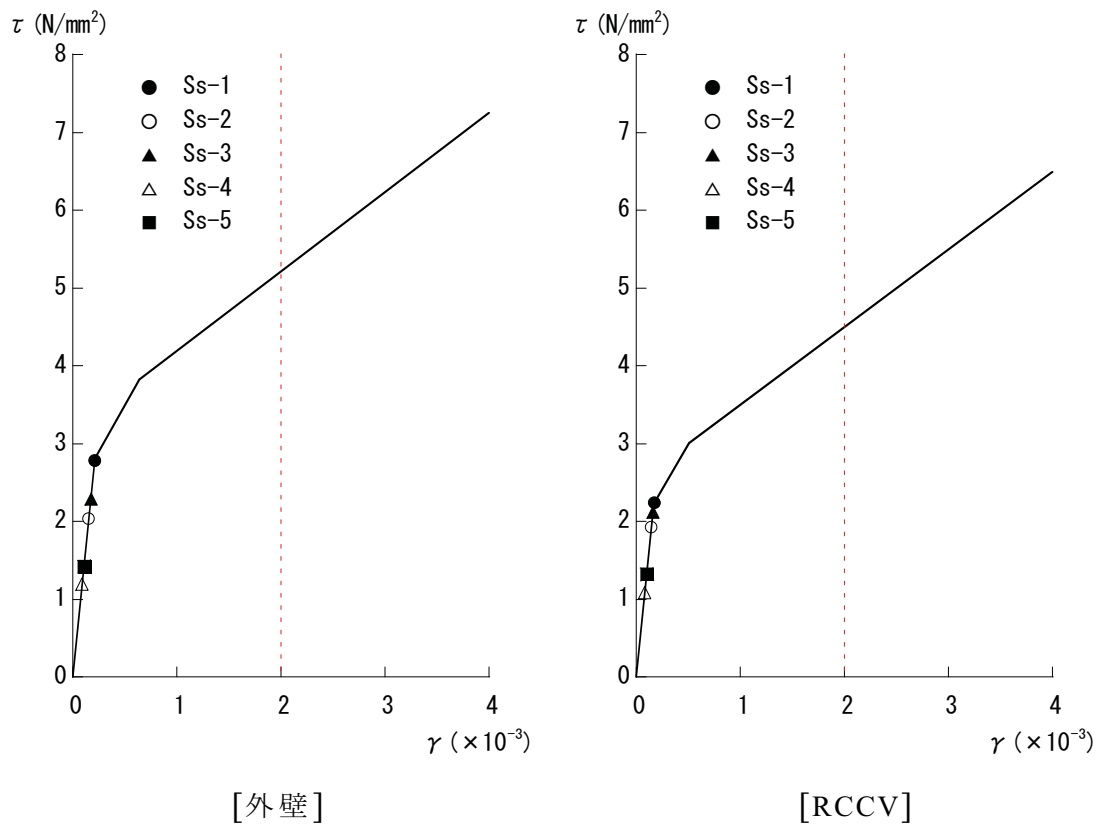
第 6.2.3-5 図 せん断スケルトン曲線上の最大応答値 (NS 方向, 1F)



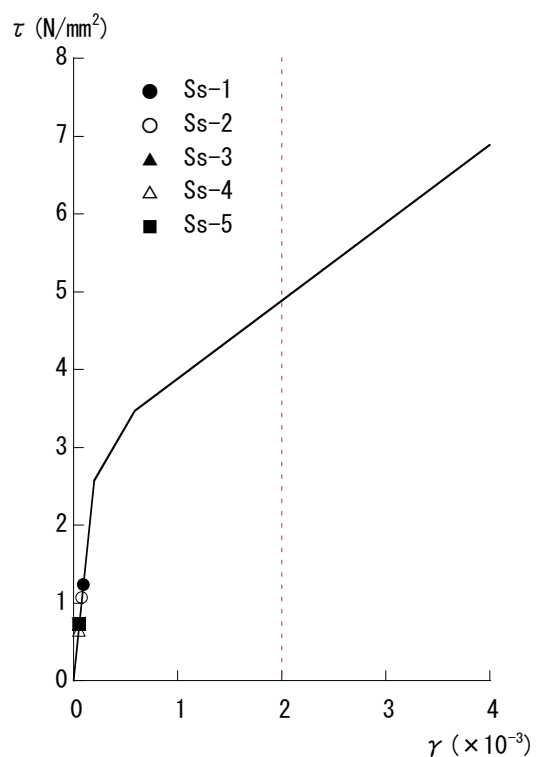
第 6.2.3-6 図 せん断スケルトン曲線上の最大応答値 (NS 方向, B1F)



第 6.2.3-7 図 せん断スケルトン曲線上の最大応答値 (NS 方向, B2F)

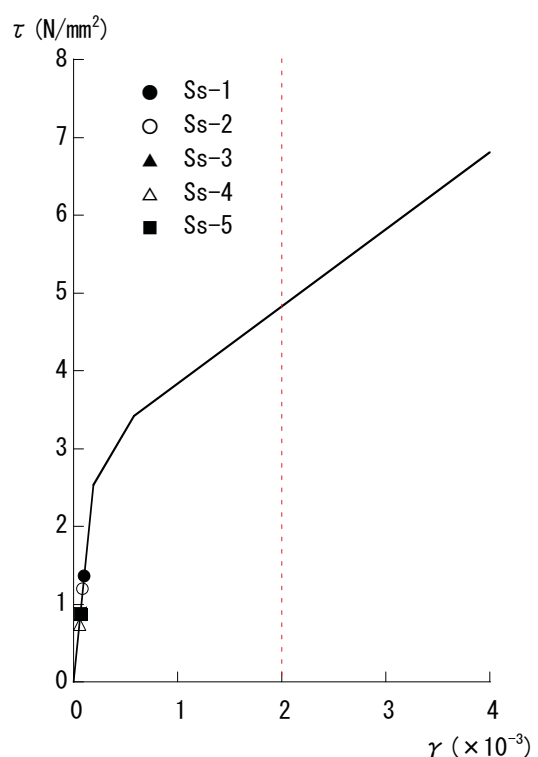


第 6.2.3-8 図 せん断スケルトン曲線上の最大応答値 (NS 方向, B3F)



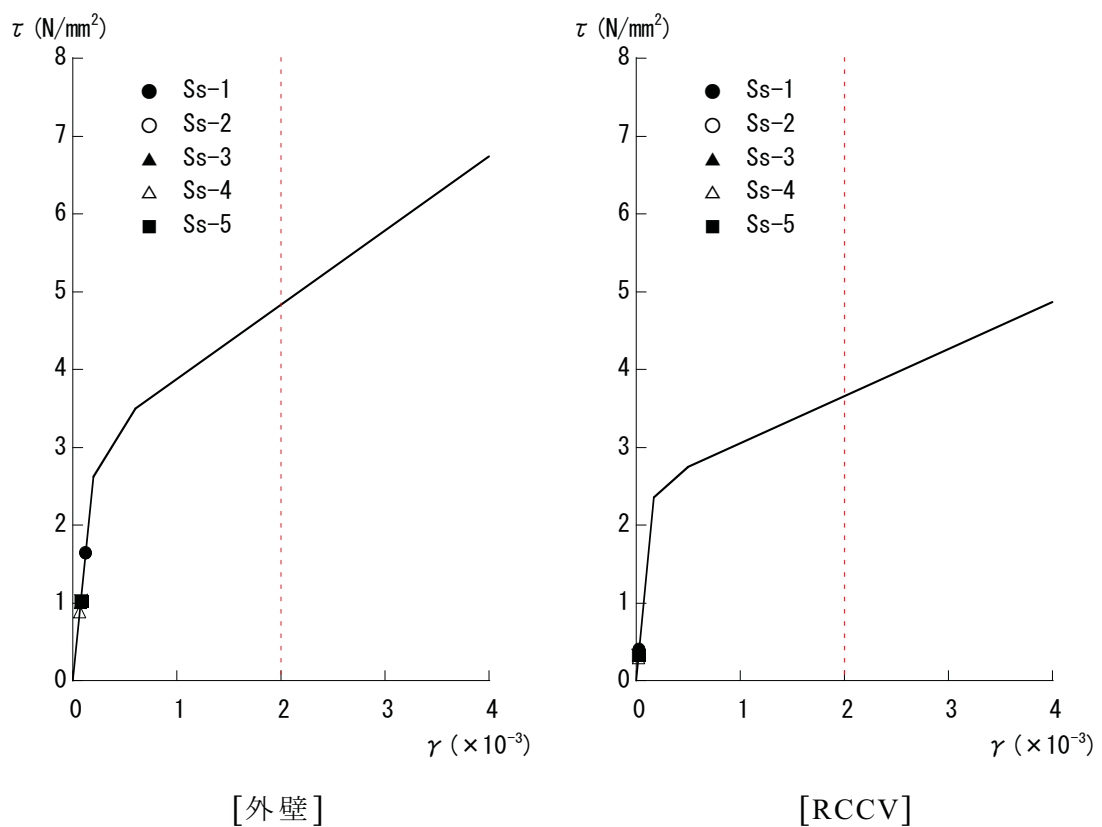
[外壁]

第 6.2.3-9 図 せん断スケルトン曲線上の最大応答値 (EW 方向, CRF)

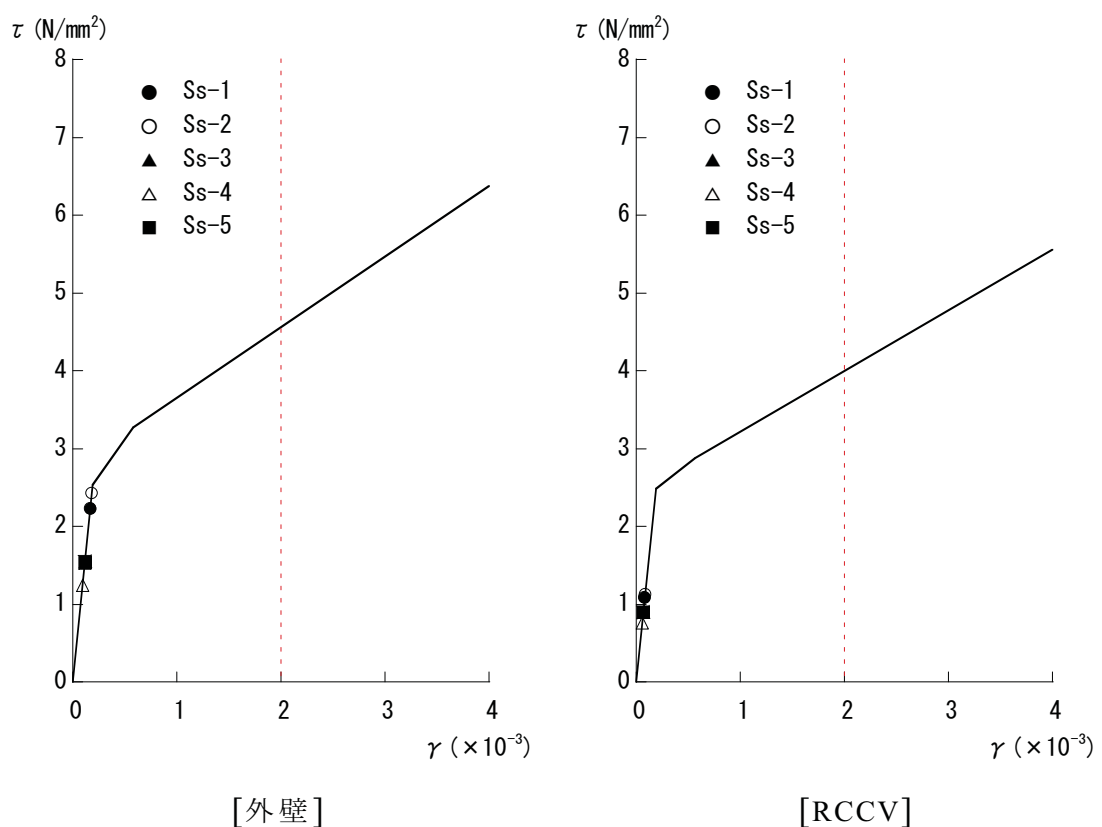


[外壁]

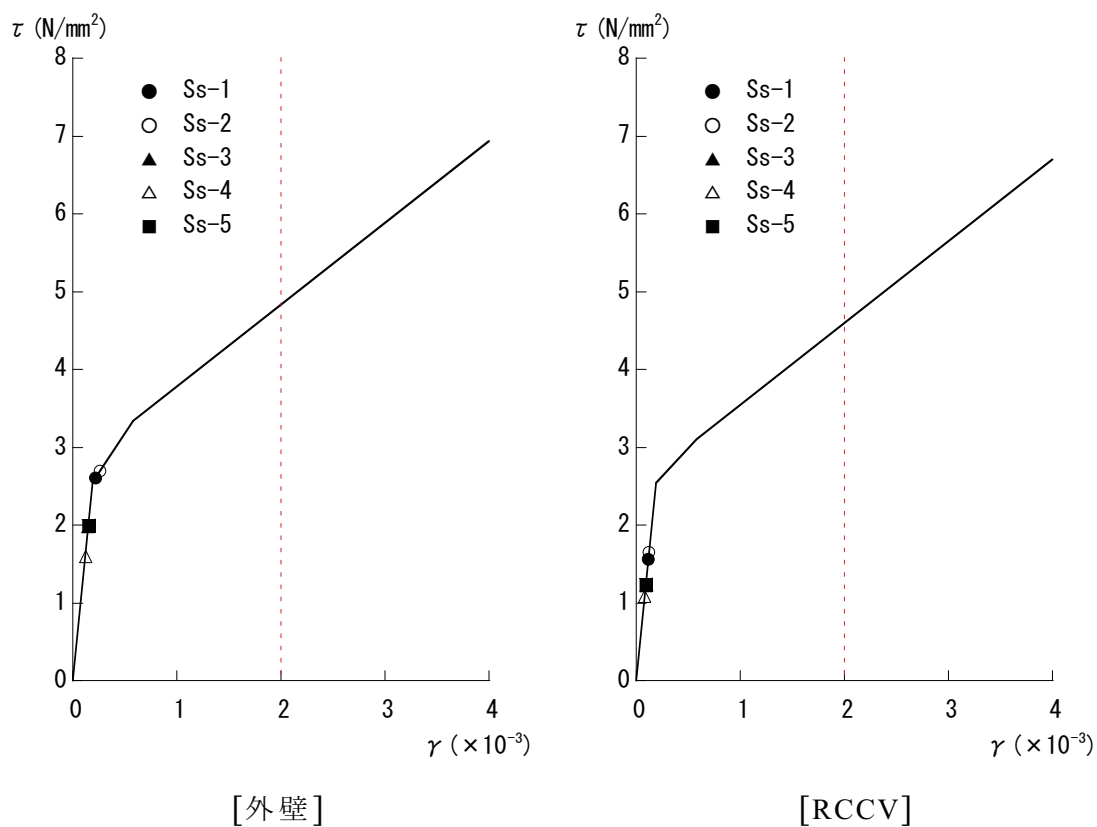
第 6.2.3-10 図 せん断スケルトン曲線上の最大応答値 (EW 方向, 4F)



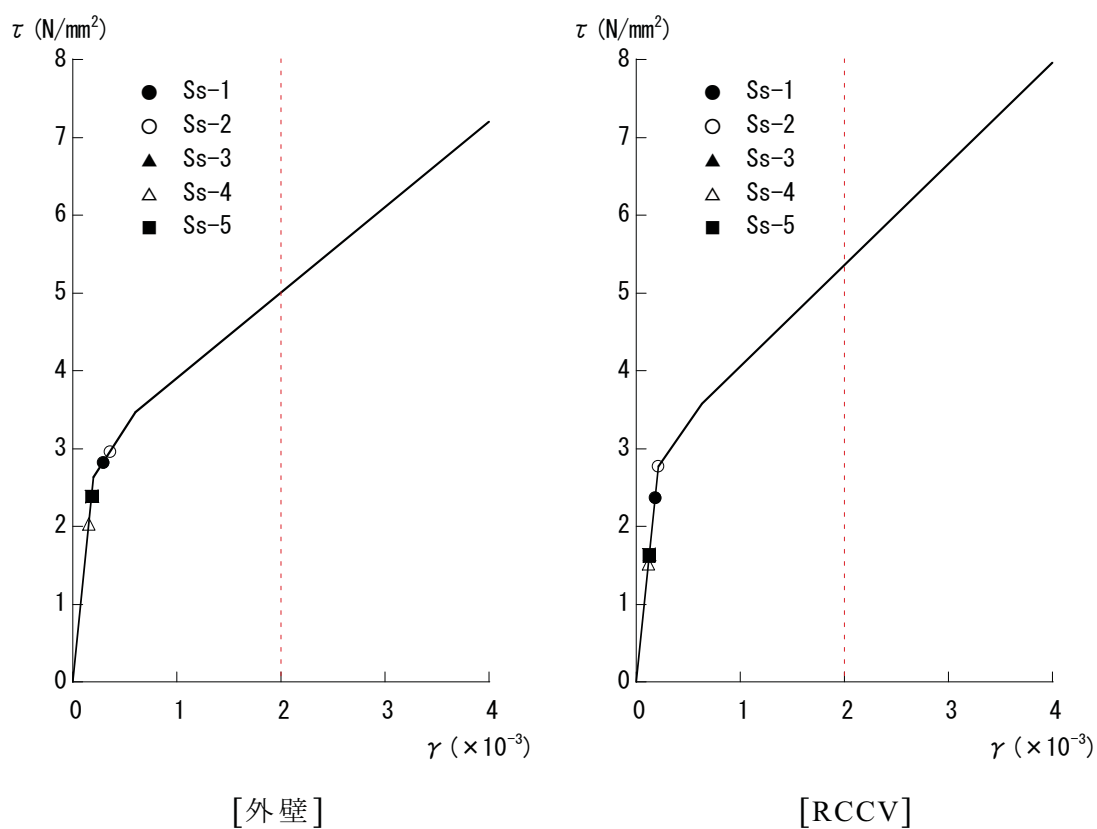
第 6.2.3-11 図 せん断スケルトン曲線上の最大応答値 (EW 方向, 3F)



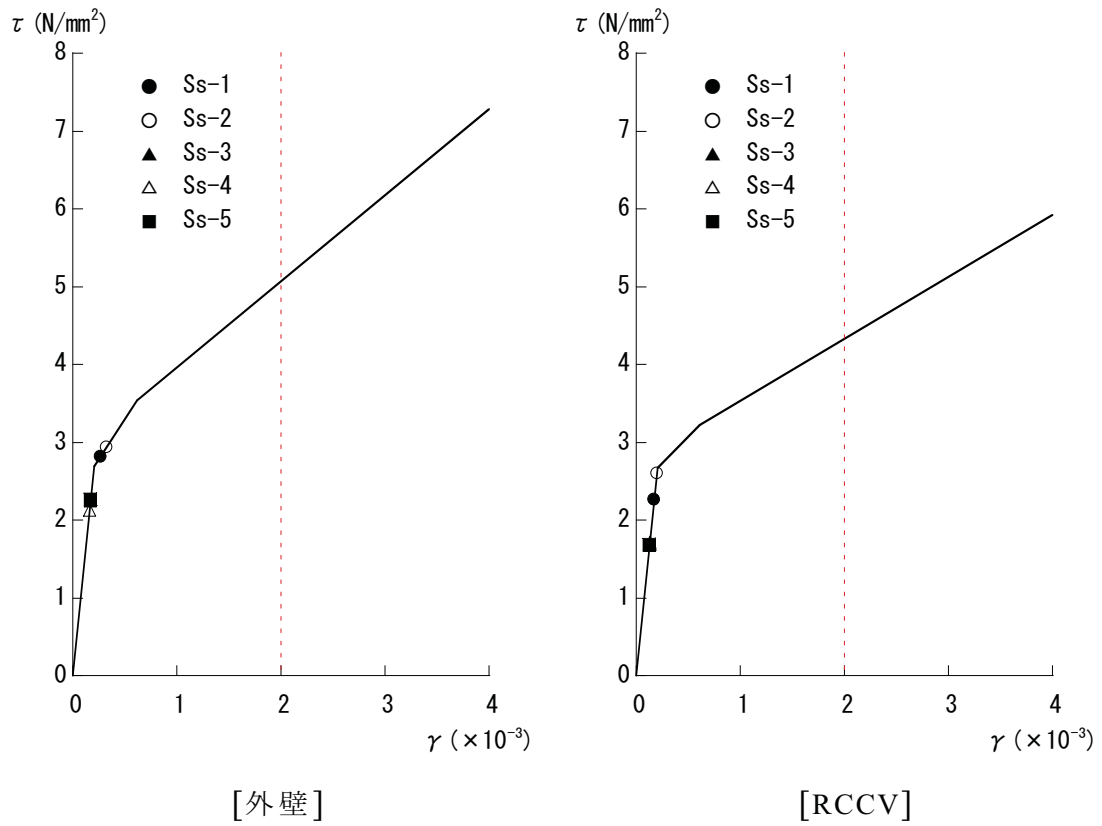
第 6.2.3-12 図 せん断スケルトン曲線上の最大応答値 (EW 方向, 2F)



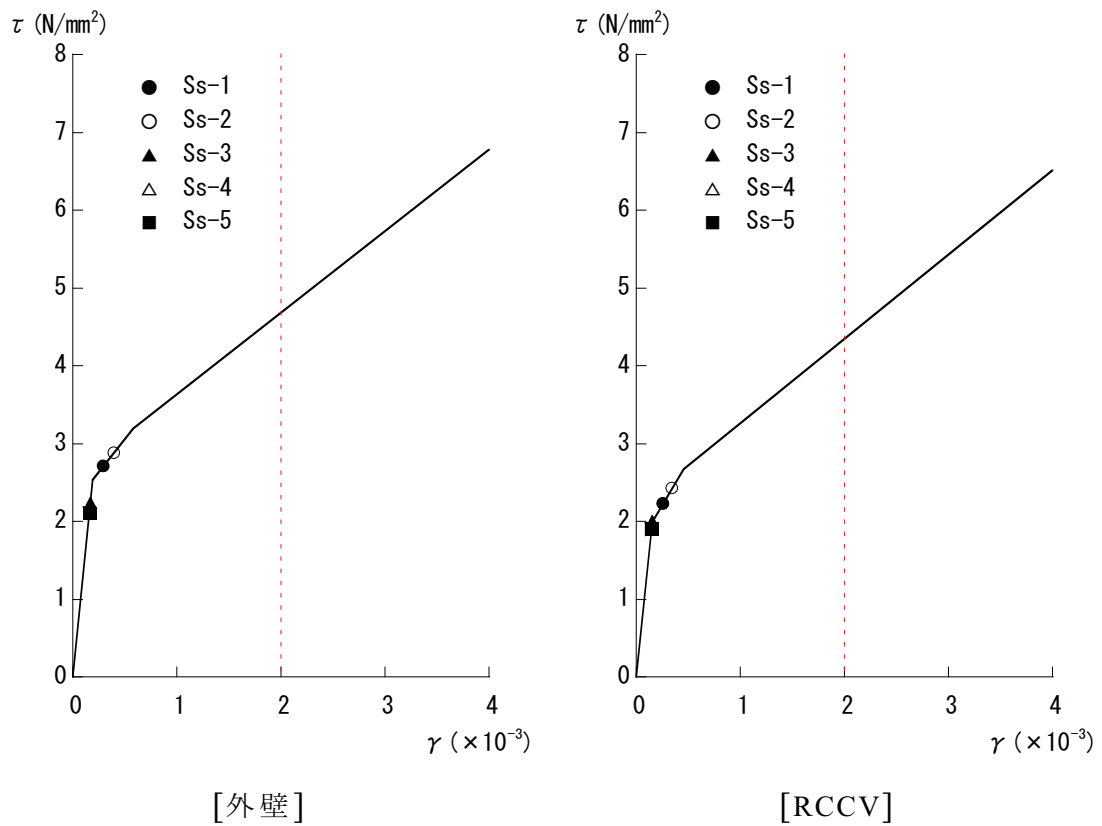
第 6.2.3-13 図 せん断スケルトン曲線上の最大応答値 (EW 方向, 1F)



第 6.2.3-14 図 せん断スケルトン曲線上の最大応答値 (EW 方向, B1F)



第 6.2.3-15 図 せん断スケルトン曲線上の最大応答値 (EW 方向, B2F)



第 6.2.3-16 図 せん断スケルトン曲線上の最大応答値 (EW 方向, B3F)

6.2.3.2. 局所的に発生する応答の影響

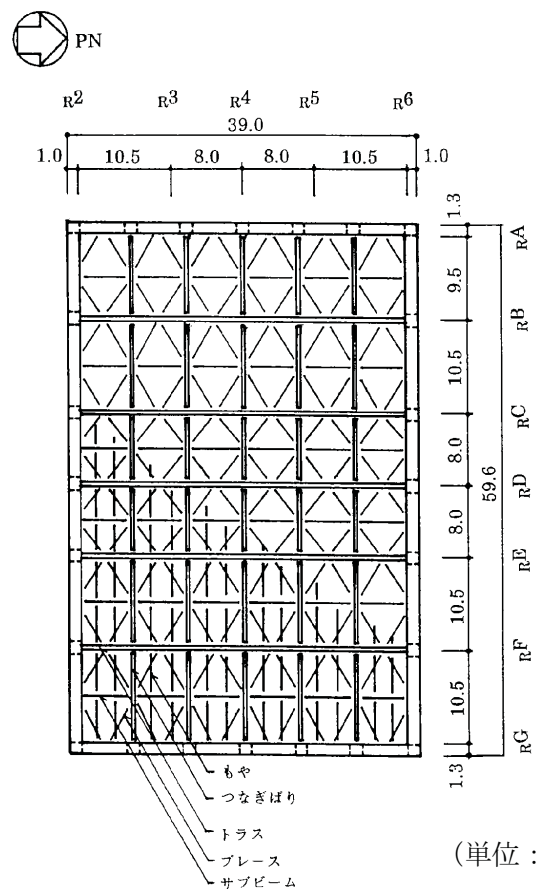
基準地震動 Ss による局所的に発生する応答の影響評価として、鉛直地震動による影響の大きい部位である屋根トラスの評価結果を示す。

なお、屋根トラスは裕度向上を目的として耐震強化工事（付録 1 参照）を実施しており、本検討においてはこの耐震強化後の状況を取り込んでいる。

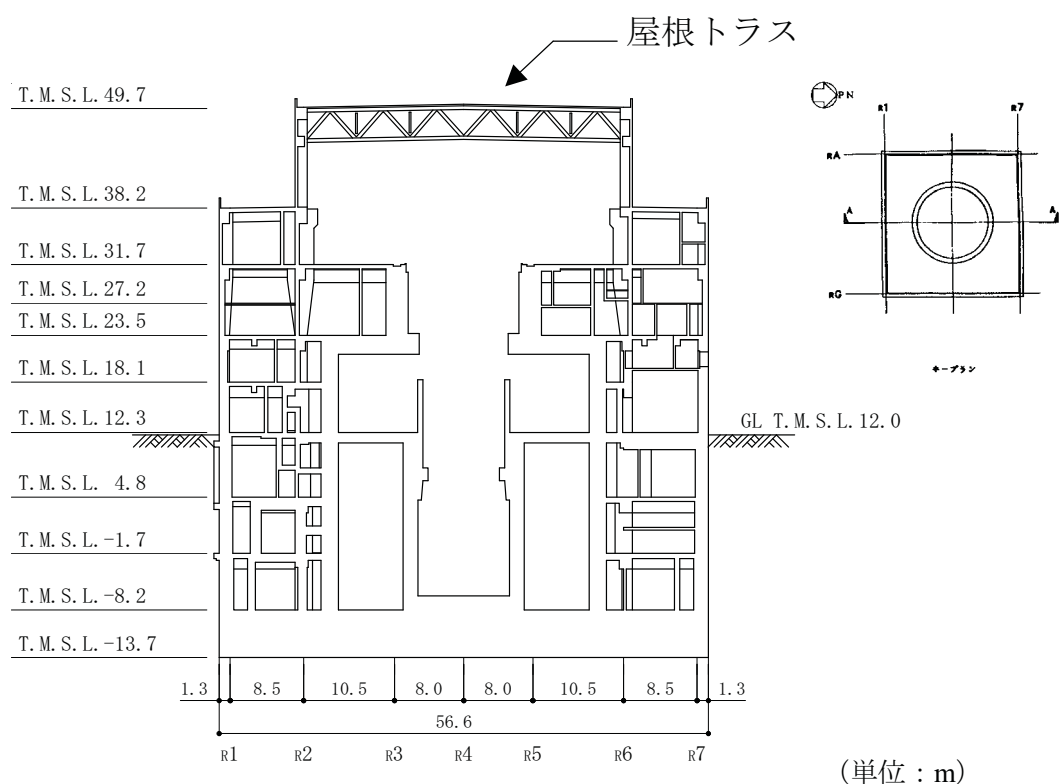
(a) 屋根トラスの概要

原子炉建屋の上部構造は、鉄骨造陸屋根をもつ屋根トラスで構成されている。屋根トラスの平面は、39.0m (NS 方向) × 59.6m (EW 方向) の長方形をなしており、オペフロレベル (T.M.S.L. 31.7m) からの高さは 18.0m である。

屋根トラスの概要を第 6.2.3-17 図に示す。



屋根伏図 (T.M.S.L. 49.7m)



断面図
第 6.2.3-17 図 屋根トラスの概要

(b) 地震応答解析モデル

屋根トラスは、鉛直方向の地震動の影響を受けやすいと考え、水平方向と鉛直方向の同時入力による評価を行うため、3次元モデルによる地震応答解析を行う。

地震応答解析モデルは、オペフロレベル（T.M.S.L. 31.7m）より上部の鉄筋コンクリート造の柱、梁、壁および鉄骨造の屋根トラス、屋根面水平ブレース等を線材、面材により立体的にモデル化した立体架構モデルとする。

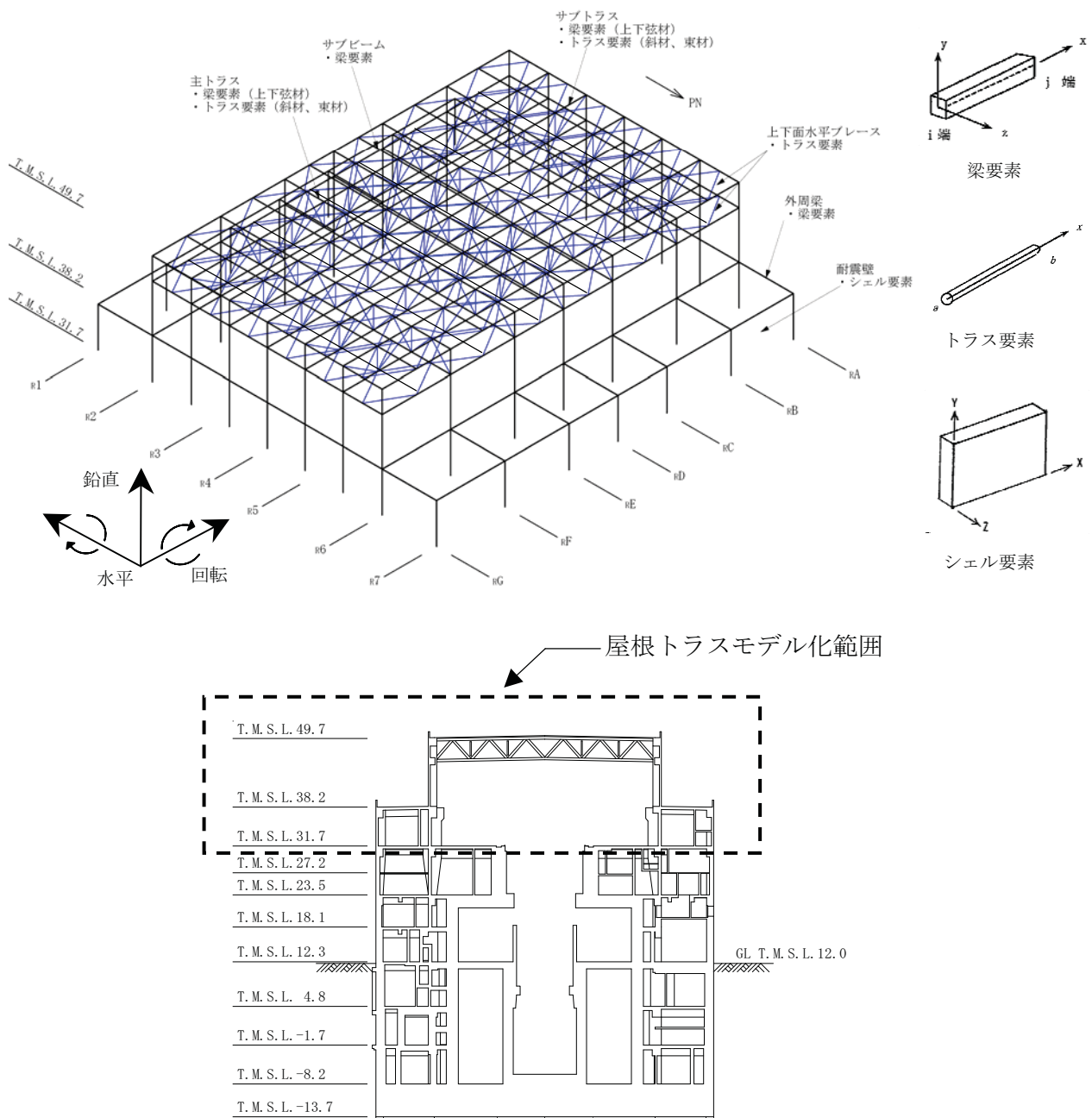
母屋、胴縁を除く構造部材を全てモデル化する。屋根トラス部は、主トラス、サブトラス、屋根上下面水平ブレース、サブビームをモデル化する。各鉄骨部材は軸、曲げ変形を考慮した梁要素（トラスの上下弦材）と軸変形のみを考慮したトラス要素（屋根面水平ブレース、トラスの斜材、束材等）としてモデル化する。また、耐震壁および外周梁は各々シェル要素および軸、曲げ変形を考慮した梁要素としてモデル化し、耐震壁の開口部についても考慮する。柱脚の条件は固定とする。

解析モデルの概要を第 6.2.3-18 図に示す。また、解析に用いる材料諸元を第 6.2.3-3 表に示す。

解析モデルへの入力は、前述した原子炉建屋全体の地震応答解析結果から得られるオペフロレベル（T.M.S.L. 31.7m）の応答結果を用いることとし、オペフロ位置を固定として入力する。

代表として、Ss-2 による応答波を第 6.2.3-19 図に示す（参考資料 6.2 を参照）。

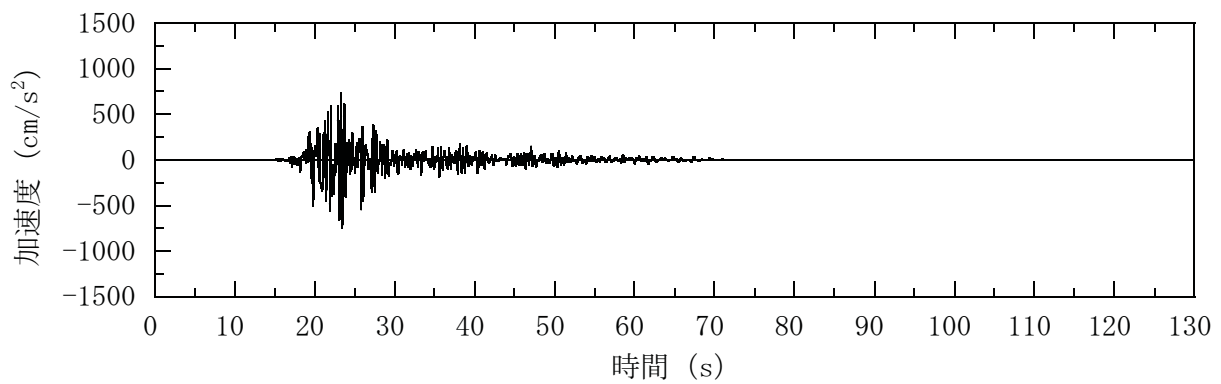
また、地震応答解析における減衰評価は、剛性比例型減衰を用いている（鉄骨造の減衰として 2%，コンクリート造の減衰として 5%を与えることとしている）。



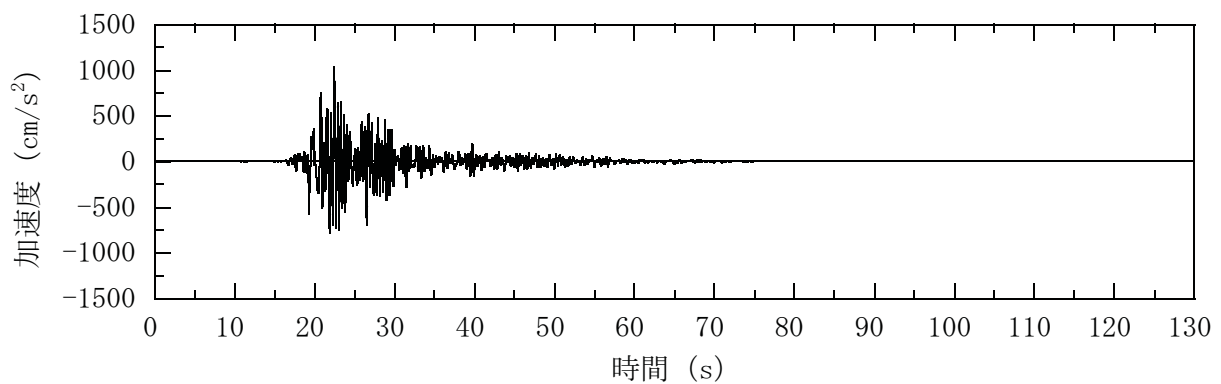
第 6.2.3-18 図 屋根トラス（オペフロ上部架構）の解析モデル図と
入力イメージ

第 6.2.3-3 表 解析に用いた材料諸元

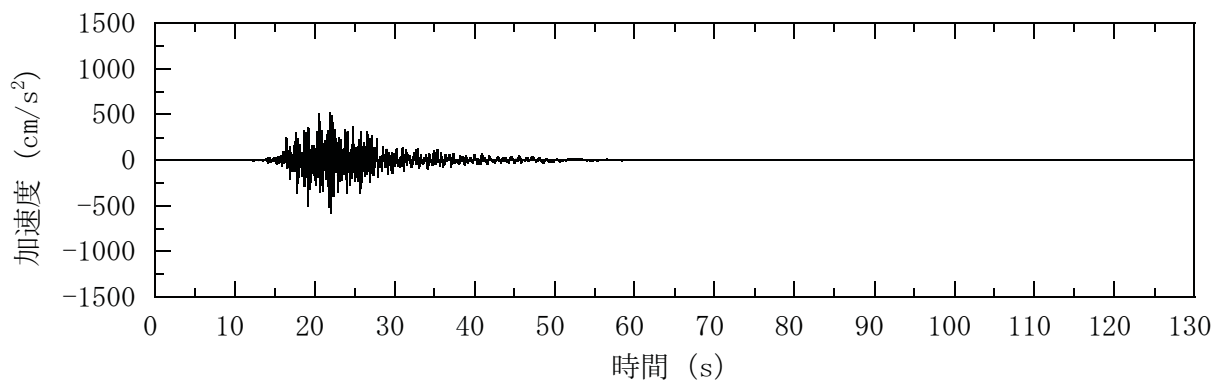
部位	材料	ヤング係数 E (N/mm ²)	ポアソン比 ν	単位体積重量 γ (kN/m ³)	減衰定数 h (%)
屋根トラス	鉄骨	2.05×10^5	0.3	77.0	2
躯体	コンクリート	3.13×10^4	0.2	25.0	5



(a) NS 方向 (水平)

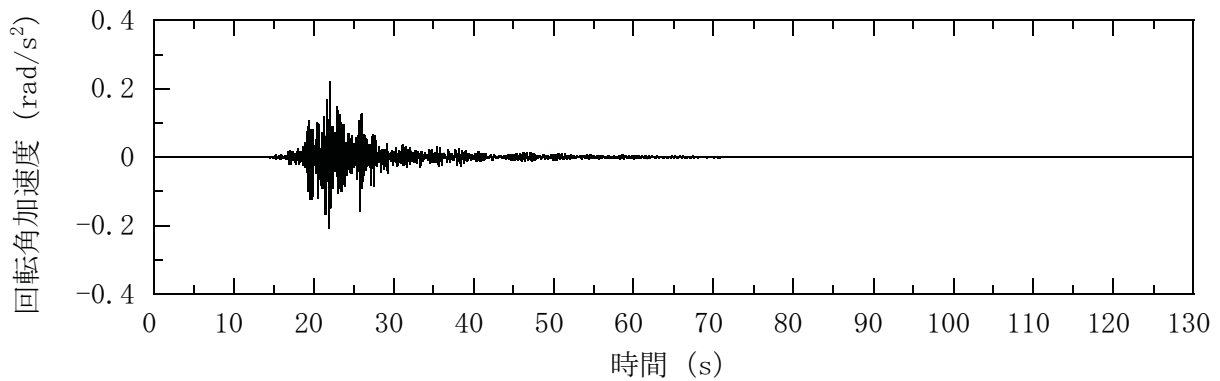


(b) EW 方向 (水平)

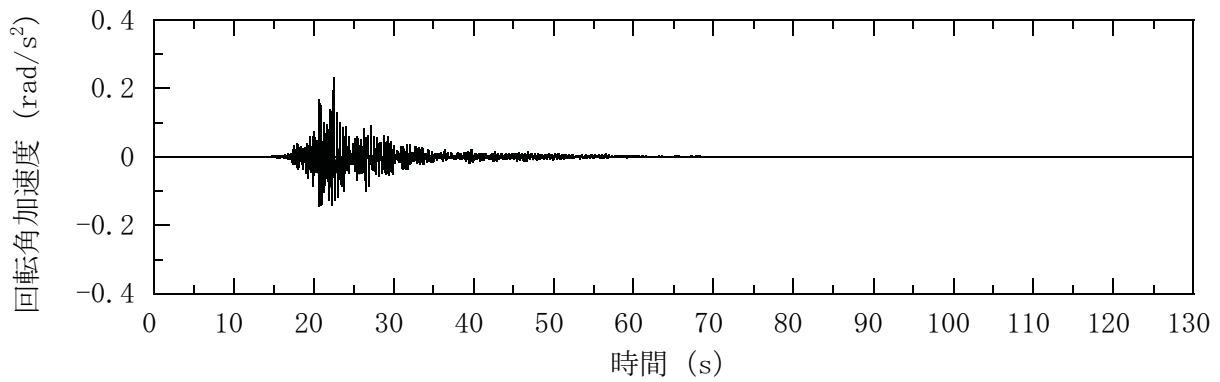


(c) 鉛直方向

第 6.2.3-19 図(1) オペプロレベル (T.M.S.L.31.7m) の加速度波形
(Ss-2, 水平, 鉛直成分)



(d) NS 方向 (回転)



(e) EW 方向 (回転)

第 6.2.3-19 図(2) オペプロレベル (T.M.S.L.31.7m) の加速度波形
(Ss-2, 回転成分)

(c) 評価基準

3 次元モデルの時刻歴地震応答解析により生じる各部材応力が評価基準値以下であることを確認する（日本建築学会「鋼構造設計規準 - 許容応力度設計法 - 」に準拠）。

屋根トラスを構成する各構面の上下弦材、斜材、束材を対象として、地震時に生じる軸力および曲げモーメントより評価基準値に対する断面検定について、下式を用いて行う。

(圧縮)

$$\frac{s\sigma_N}{sf_c} + \frac{s\sigma_b}{sf_b} \leq 1.0$$

ここに, $s\sigma_N$: 地震時における部材の軸応力

$s\sigma_b$: 地震時における部材の曲げ応力

sf_c : 圧縮応力に対する許容値^{※1}

(座屈の影響を考慮して細長比等により求めた数値)

sf_b : 曲げ応力に対する許容値^{※1}

(引張)

$$\frac{s\sigma_N}{sf_t} + \frac{s\sigma_b}{sf_b} \leq 1.0$$

ここに, $s\sigma_N$: 地震時における部材の軸応力

$s\sigma_b$: 地震時における部材の曲げ応力

sf_t : 引張応力に対する許容値^{※1}

sf_b : 曲げ応力に対する許容値^{※1}

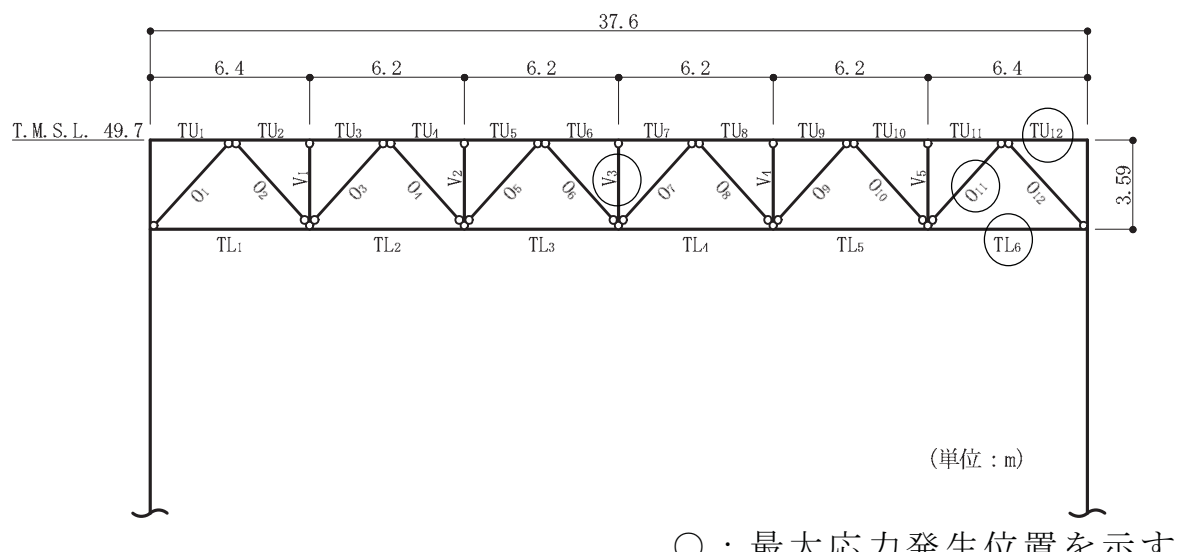
※1 建築基準法に基づく鋼材の材料強度

(F値の1.1倍) による許容値

(d) 評価結果

基準地震動 Ss に対する各部材の評価結果のうち、屋根トラスを構成する主トラス方向の発生応力と評価基準値の比（発生応力／評価基準値）が最も大きい部材を含む _RC 通りについて、評価部位を第 6.2.3-20 図に、評価結果を第 6.2.3-4 表に示す。

屋根トラスについて各部材の発生応力は、評価基準値以下であり、耐震安全性は確保されている。



第 6.2.3-20 図 評価部位 (_RC 通り)

第 6.2.3-4 表 屋根トラスの鉄骨部における評価結果

部材		発生応力 (N/mm ²)	評価基準値 (N/mm ²)	発生応力／評価基準値	位置	使用部材
上弦材	(引張)	137.8	357	0.68	TU ₁₂	H-428×407×20×35
	(曲げ)	101.4	357			
下弦材	(圧縮)	146.1	313	0.82	TL ₆	H-400×408×21×21
	(曲げ)	125.9	357			
斜材	(引張)	201.6	357	0.57	0 ₁₁	H-400×400×13×21
束材	(圧縮)	92.4	206	0.45	V ₃	2[s-200×90×8×13.5]

注：評価基準値は、建築基準法に基づく鋼材の材料強度 (F 値の 1.1 倍) による許容値を示す。

6.3. タービン建屋の耐震安全性評価

6.3.1. 地震応答解析

6.3.1.1. タービン建屋の概要

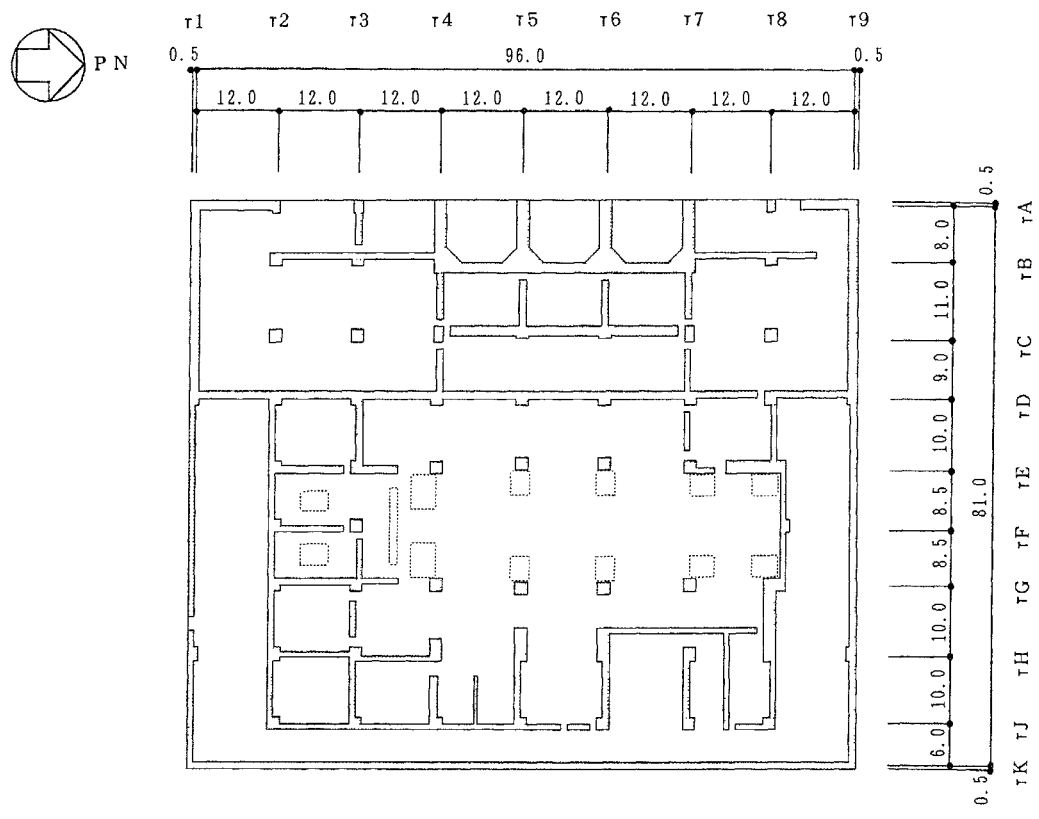
タービン建屋は、地上 2 階(一部 3 階)、地下 2 階の鉄筋コンクリート造（一部鉄骨鉄筋コンクリート造および鉄骨造）の建物で、屋根部分がトラス構造となっている。タービン建屋の概略平面図および概略断面図を第 6.3.1-1 図および第 6.3.1-2 図に、物性値を第 6.3.1-1 表に示す。

タービン建屋は、基礎底面からの高さが 52.2m(地上部 32.3m、地下部 19.9m) で全高の約 1/3 が地中に埋め込まれている。平面形状は、約 97m(NS 方向) × 82m(EW 方向)^{※1} の長方形で、厚さ 2.0m (蒸気タービン架台部分およびその周辺部は厚さ 2.8m) の鉄筋コンクリート造の基礎版を介して、支持地盤である新第三紀層の泥岩上に直接またはマンメイドロック上に支持されている。

タービン建屋は隣接する原子炉建屋および廃棄物処理建屋と構造的に分離している。

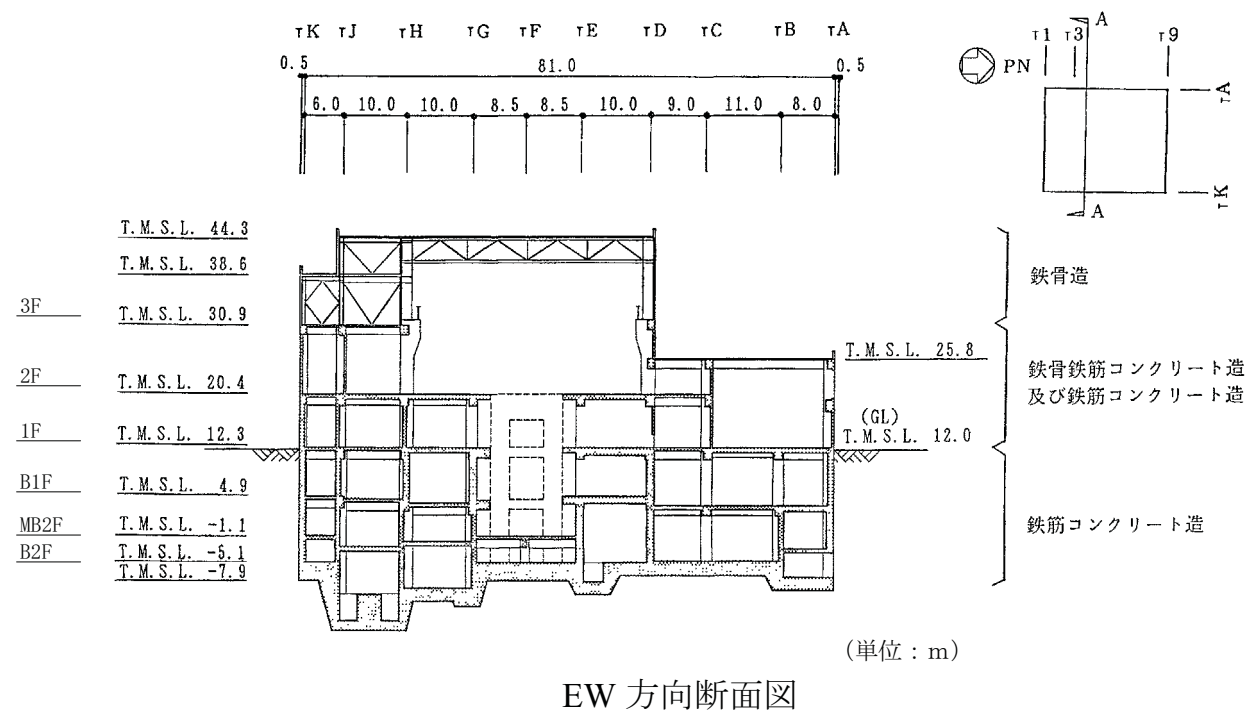
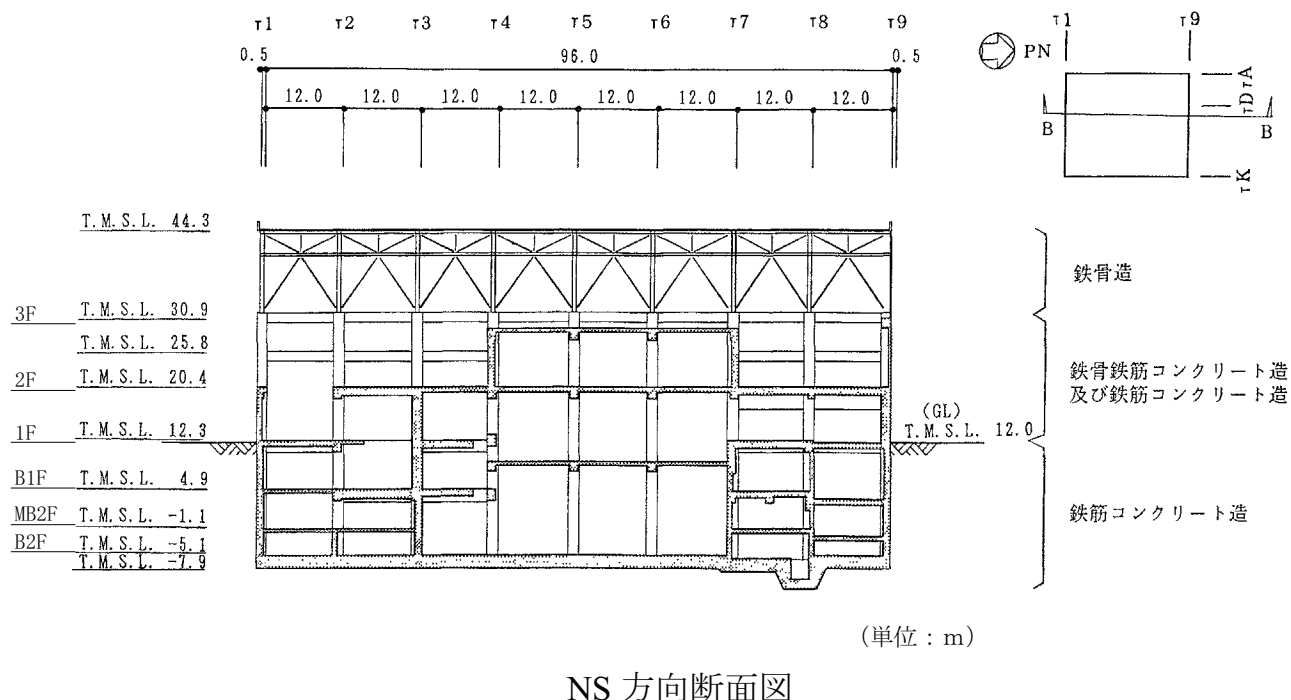
タービン建屋は耐震重要度分類による B クラスに属する施設であり、建屋そのものに動的解析を要求されていないが、建屋の一部に耐震上重要な機器・配管系が設置されていることから、基準地震動 Ss に対する地震応答解析を行い、当該部分の耐震安全性を評価する。機能維持部位を第 6.3.1-3 図に示す。

※1 建屋寸法は壁外面押えとする。



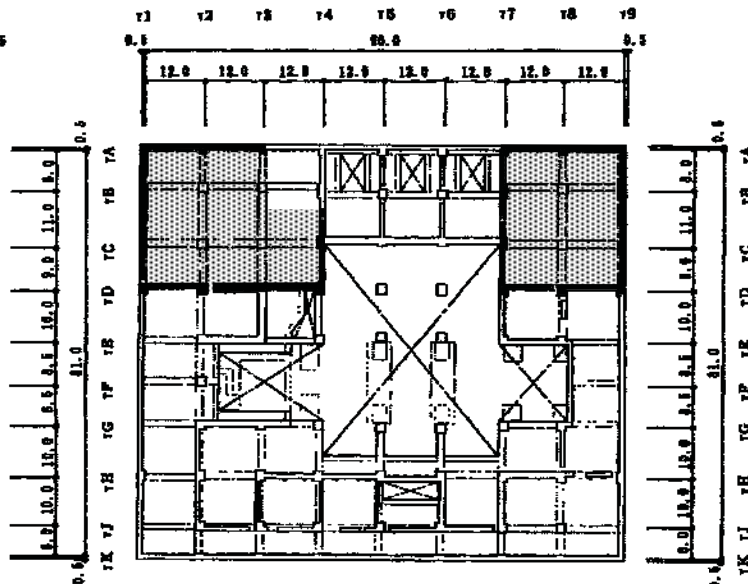
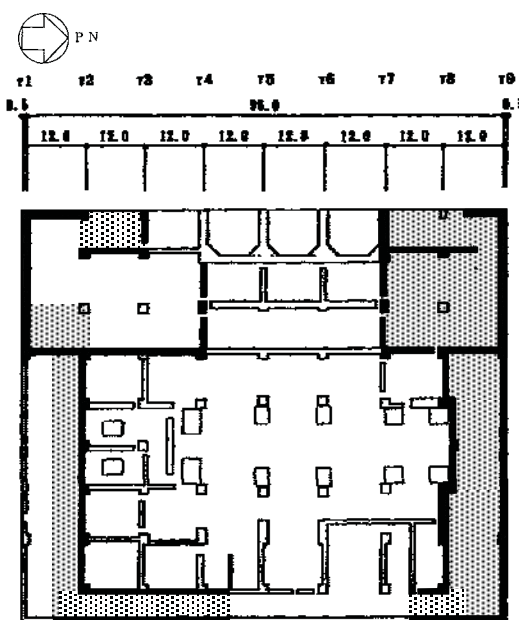
(単位: m)

第 6.3.1-1 図 タービン建屋の概略平面図



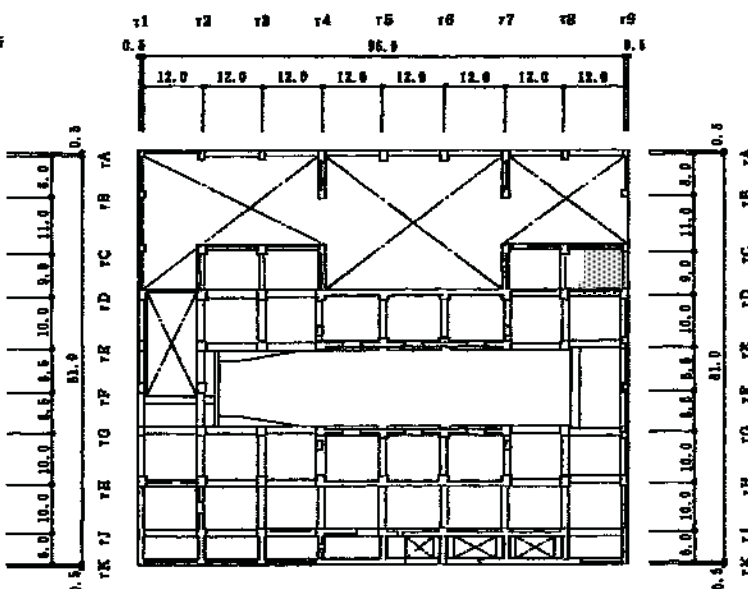
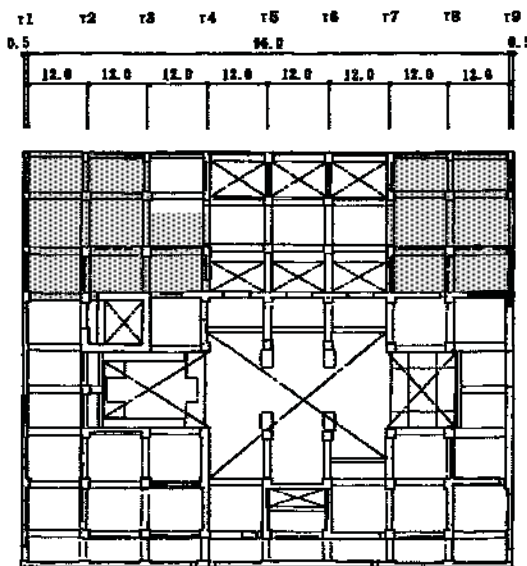
第 6.3.1-2 図 タービン建屋の概略断面図

■ 機能維持要求部位の壁
▨ 機能維持要求部位の床



a) 地下 2 階伏図 (T.M.S.L.-5.1m)

b) 地下 1 階伏図 (T.M.S.L. 4.9m)



c) 1 階伏図 (T.M.S.L. 12.3m)

d) 2 階伏図 (T.M.S.L. 20.4m)

第 6.3.1-3 図 6 号機タービン建屋の機能維持部

第 6.3.1-1 表 タービン建屋の物性値

	コンクリート強度 ^{*1} Fc (N/mm ²)	ヤング係数 E (N/mm ²)	せん断弾性係数 G (N/mm ²)	ボアソン比 ν	単位体積重量 ^{*2} γ (kN/m ³)
コンクリート	49.0	3.13×10^4	1.31×10^4	0.2	25.0
鉄筋	SD345 相当 (SD35)				
鋼材	SS400, SM400A, SM490A 相当 (SS41, SM41A, SM50A)				

*1 : 実強度に基づくコンクリート強度。

*2 : 鉄筋コンクリートの値を示す。

6.3.1.2. 地震応答解析モデル

地震応答解析モデルは、次の4項目について設計時に用いた解析モデルから修正を行うこととする。

- ①設計時にはコンクリートの設計基準強度を基に算定していた鉄筋コンクリートの剛性評価を、コンクリートの実際の平均的な強度を基に算定して見直すこととする。
- ②設計時には耐震要素として考慮していなかった補助壁について、上下階に応力伝達が可能と考えられる壁を再評価して、新たに耐震要素に取り入れることとする。
- ③設計時には、建物と地盤の相互作用を反映するために側面ばねとしてNovakの水平ばねを考慮していたが、Novakの回転ばねも新たに考慮することとする。（地盤表層部については④の通り）
- ④設計時には、地盤表層部も地盤ばねとして考慮していたが、基準地震動Ssによる地盤応答レベルを踏まえ、表層部については地盤—建屋相互作用が見込めないと判断し、この部分のばね評価を行わないとする。

(a) 水平方向の地震応答解析モデル

水平方向の地震応答解析モデルは、地盤との相互作用を考慮し、曲げおよびせん断剛性を考慮した質点系モデルとする。モデル化はNS方向、EW方向それぞれについて行っている。地震応答解析モデルを第6.3.1-4図に、解析モデルの諸元および振動モデル図を第6.3.1-2表および第6.3.1-5図に示す。

地盤は、地盤調査に基づき水平成層地盤とし、基礎底面地盤ばねについては、「JEAG 4601 - 1991」により、成層補正を行ったのち、振動アドミッタンス理論に基づいて、スウェイおよびロッキングばね定数を近似法により評価する。基礎底面地盤ばねには、基礎浮き上がりによる幾何学的非線形性を考

慮する。第 6.3.1-6 図に回転ばねの曲げモーメントと回転角の関係を示す。

また、埋め込み部分の建屋側面地盤ばねについては、建屋側面位置の地盤定数を用いて、水平および回転ばねを「JEAG 4601 - 1991」により Novak ばねに基づいて近似法により評価する。

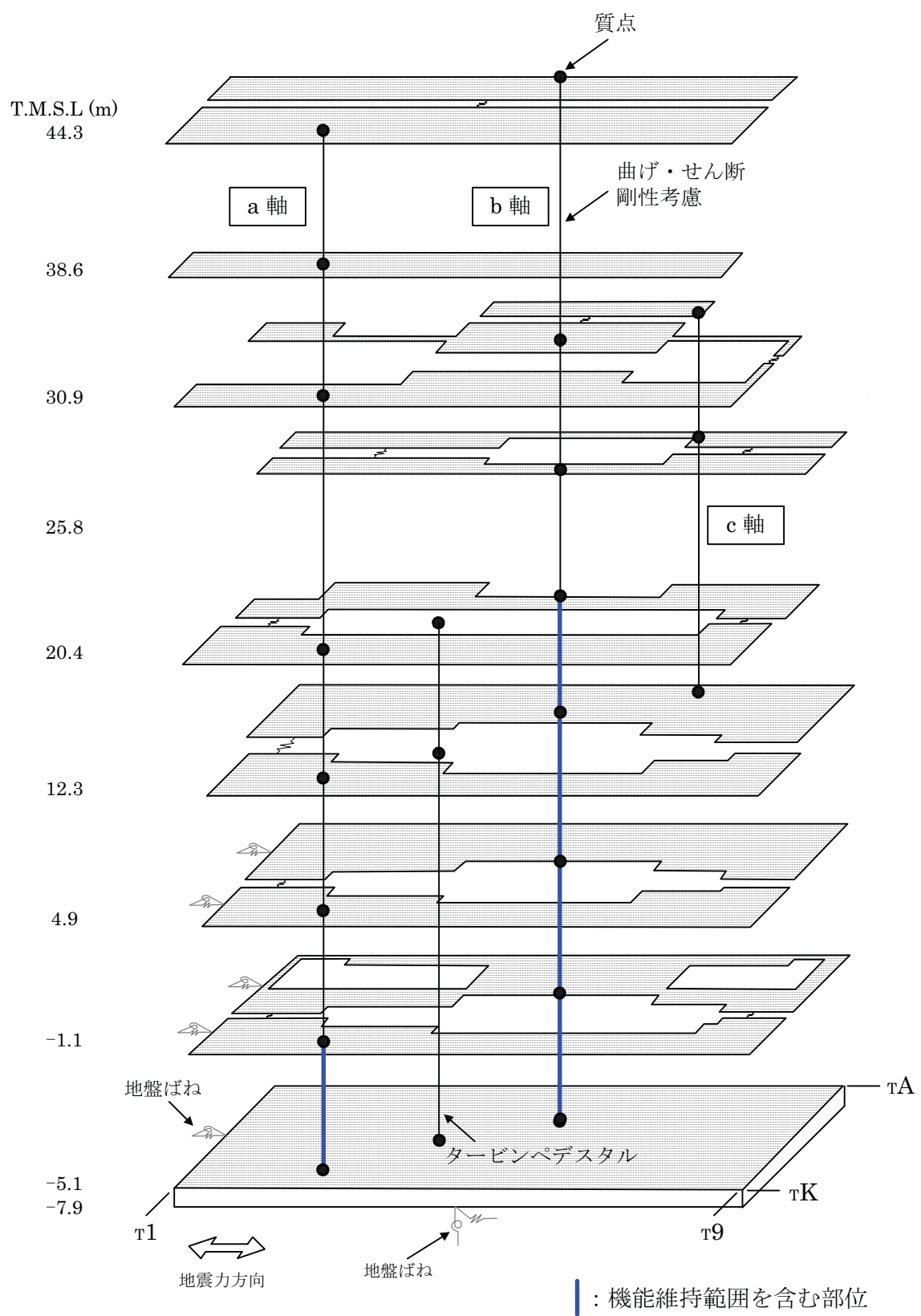
なお、第 6.3.1-3 表に地盤調査に基づく地盤定数を示す。また、地盤ばねの記号を第 6.3.1-7 図に、地震応答解析に用いる地盤のばね定数と減衰係数を第 6.3.1-4 表に示す。

復元力特性は、建屋の方向別に、振動モデル各軸のモデル化範囲における耐震要素の水平断面形状より「JEAG 4601 - 1991」に基づいて設定する。

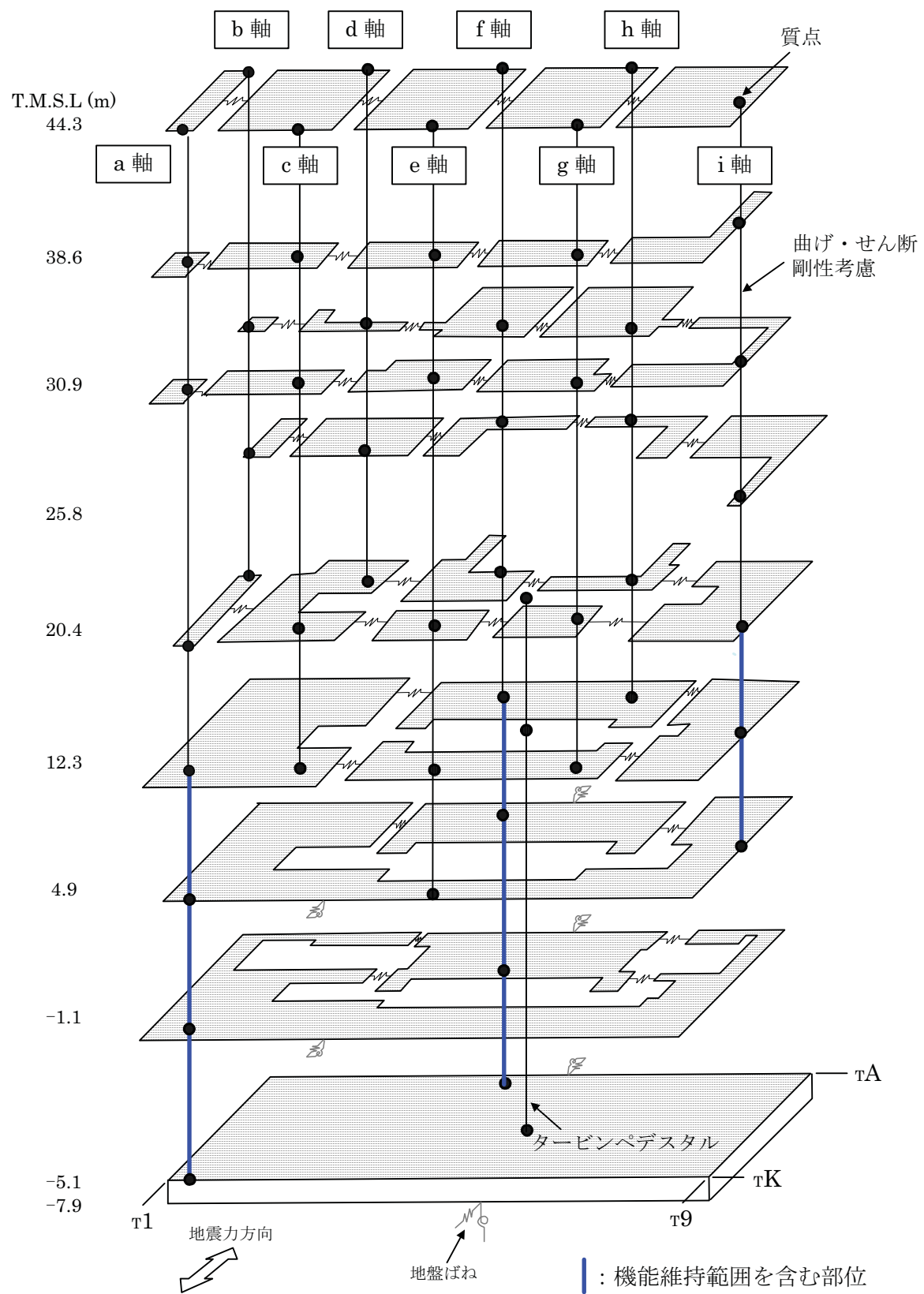
水平方向の地震応答解析は、上記復元力特性を用いた弾塑性応答解析とする。

入力地震動は、解放基盤表面レベルに想定する基準地震動 S_s を用いることとする。

なお、埋め込みを考慮した水平モデルであるため、モデルに入力する地震動は、一次元波動論に基づき、解放基盤表面レベルに想定する基準地震動 S_s に対する地盤の応答として評価する。また、切欠き力を入力地震動に付加することにより、地盤の切欠き効果を考慮する。第 6.3.1-8 図に、地震応答解析モデルに入力する地震動の概念図を示す。



第 6.3.1-4 図 (1) 地震応答解析モデルの概念図 (NS 方向)



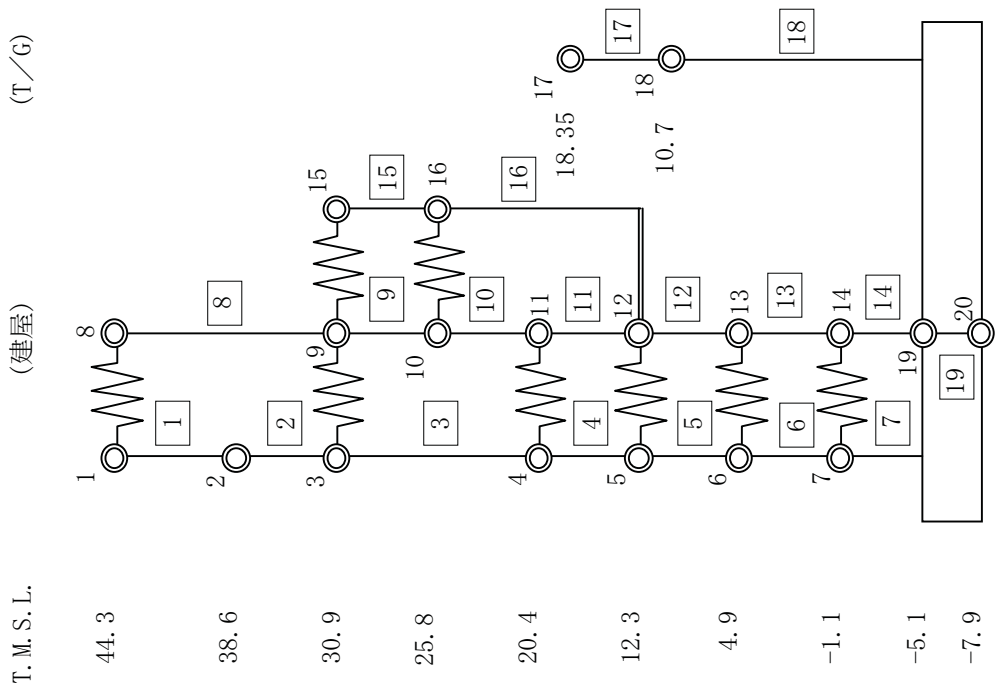
第 6.3.1-4 図 (2) 地震応答解析モデルの概念図 (EW 方向)

第 6.3.1-2 表(1) 解析モデルの諸元 (NS 方向)
質点重量および回転慣性重量

T. M. S. L. (T/G)	標準高 T. M. S. L. (m)	T/G 架台	建屋
44.3	44.3	(1) 32850 23600	(8) 20910 6700
38.6	38.6	(2) 46600 10000	
30.9	30.9	(3) 102410 29100	(9) 44160 138800
25.8	25.8		(15) 8340 14000
20.4	20.4	(10) 44940 479900	(16) 22900 243900
12.3	12.3	(17) 1.06240 68920	(11) 178190 331100
4.9	4.9	(18) — —	(12) 445800 16830 518300
1.1	-1.1	(6) 4.9 -1.1	(13) 204500 167480 122510 392100
-5.1	-5.1	(19) -5.1	(19) 490770 3771900
-5.1	-5.1	(20) -7.9	(20) 266390 1495200
-7.9	-7.9		

第 6.3.1-5 図 (1) 解析モデルの諸元 (NS 方向)
振動モデル図

質点重量 (kN)
回転慣性重量 ($\times 10^2 \text{ kNm}$)



第 6.3.1-2 表(2) 解析モデルの諸元 (NS 方向)

せん断面積および断面二次モーメント

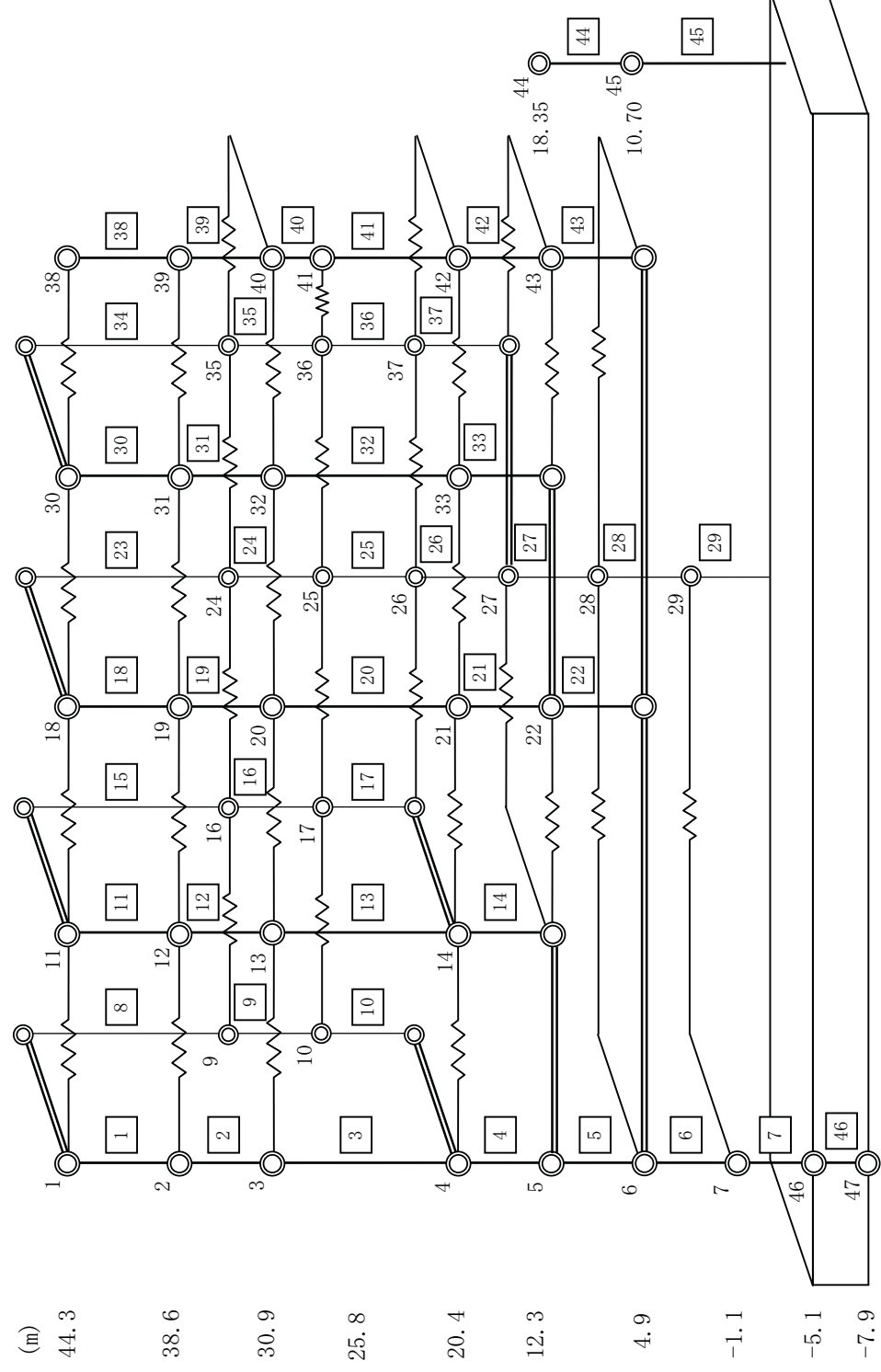
標準 T.M.S.L (m)		T/G 架台		建 屋		①コンクリート部 建屋 ヤング係数 Ec せん断弾性係数 G ボアソン比 ν 減衰 h 5%
(1)	(8)	(1)	(2)	(3)	(9)	
44.3		4.00	—	—	—	
			(2)	5.80	—	
38.6			—	—	—	
			(3)	—	(15)	
30.9				92.0	1.1	
				63290	—	
25.8				192.8	—	
				(10)	(16)	
20.4					109.5	
					61480	4.5
					52350	
14.3		(17)	(4)	(11)	—	
					187.5	
					135.4	
					75330	
12.3		(18)	(5)	(12)	—	
					242.1	
					258.6	
					106930	
4.9					146930	
					—	
11.1					—	
					268.8	
					384.0	
					200510	
-1.1					(7)	
					(14)	
					274.6	394.9
					158050	182470
-5.1					(19)	
					7954.0	
					—	
-7.9					(20)	

基礎形状
97.0m(NS 方向) × 82.0m(EW 方向)

せん断面積 (m²)
断面二次モーメント (m⁴)

T. M. S. L.

(m) (T/G)



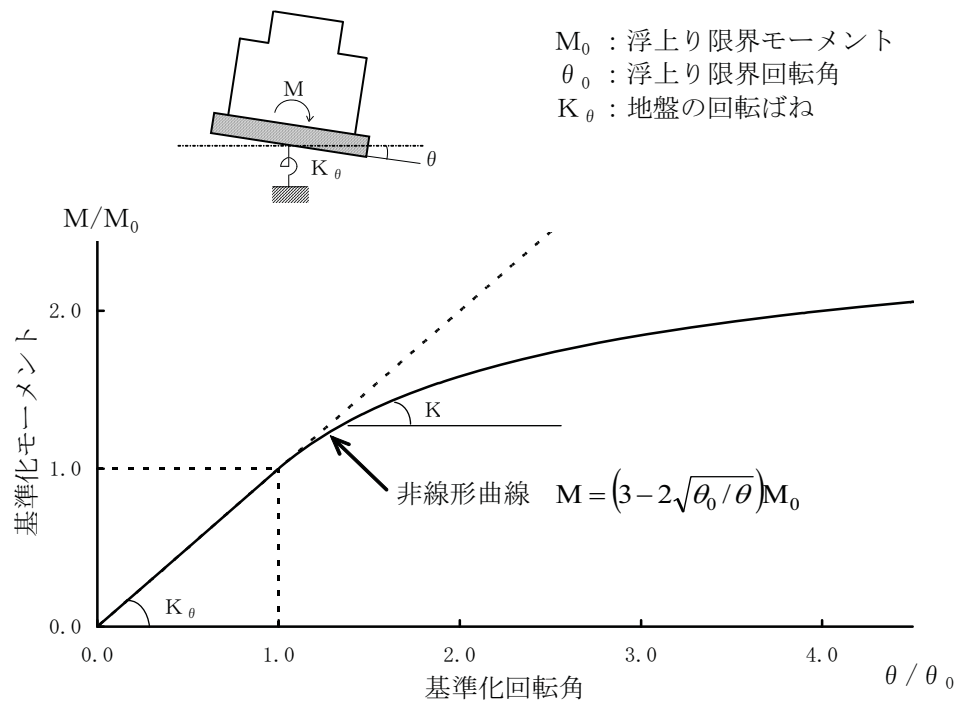
第6.3.1-5図 (2) 解析モデルの諸元 (EW 方向)
振動モデル図

第 6.3.1-2 表(3) 解析モデルの諸元 (EW 方向)
質点重量および回転慣性重量

標準 T.M.S.L (m)		建 屋												質点重量 (kN) 回転慣性重量 (×10 ² kNm)		
		(1)			(11)			(18)			(30)			(38)		
44.3	3770			12260				12910			13370			11460		
	100			5900				6200			6400			3300		
	(2)			(12)				(19)			(31)			(39)		
38.6	3120			111140				11910			10280			10150		
	100			5400				5800			5000			3000		
	(3)	(9)		(13)				(16)			(24)			(35)		(40)
30.9	6560	2000		16120				3960			21450			20890		
	500	100		7900				400			6600			6400		
	(10)			(17)				(19020			(25)			(36)		(41)
25.8	6570							9200			13140			12370		16740
	300										1100			900		4900
	(44)	(4)		(14)				(21)			(26)			(37)		(42)
20.4	106240	15600		56880				44450			26590			27200		60550
	-	800		153800				23100			25600			16600		82800
	(45)	(5)		(22)				(27)			(43)			91660		
12.3	68920	127790						72170			81010			192800		
	-	328600						139100			161200					
	(6)			(28)												
4.9											76170					
											154400					
											(29)					
-1.1											77150					
											102400					
				(46)												
-5.1																
-7.9																

第 6.3.1-2 表(4) 解析モデルの諸元 (EW 方向)
せん断面積および断面二次モーメント

標高 T.M.S.L (m)	T/G 架台	建屋									
		(1)	(8)	(11)	(15)	(18)	(23)	(30)	(34)	(38)	
44.3		0.36	0.72	0.72	0.72	0.72	0.72	0.72	0.72	0.72	
	—	—	—	—	—	—	—	—	—	—	
	(2)	0.05	0.08	0.08	0.08	0.09	0.09	0.09	0.09	0.09	
38.6		(12)	(19)	(19)	(19)	(31)	(31)	(31)	(31)	(31)	
	0.46	0.91	0.91	0.91	0.91	0.91	0.91	0.91	0.91	0.91	
	—	—	—	—	—	—	—	—	—	—	
(3)	(9)	(13)	(16)	(16)	(20)	(24)	(24)	(24)	(24)	(24)	
30.9		10.9	6.9	6.9	6.9	27.7	27.7	27.7	27.7	27.7	
	11.0	24.3	13.0	13.0	25.2	3570	3570	3570	3570	3570	
	(10)	(10)	(17)	(17)	(25)	(25)	(25)	(25)	(25)	(25)	
25.8		660	17.7	860	8.4	320	24.9	280	24.9	24.9	
	1300	1300	100	100	470	470	470	480	480	480	
	(44)	(4)	(48)	(14)	(49)	(21)	(26)	(33)	(37)	(42)	
20.4		58.6	43.2	43.2	40.1	25.1	17.7	16.2	103.0	103.0	
	—	37190	4780	4780	1670	410	160	160	370	370	
	(45)	(5)	(50)	(50)	(52)	(27)	(51)	(51)	(52)	(52)	
12.3		151.5	56570	56570	42.7	103.5	13600	13600	110.8	110.8	
	(6)	(6)	(6)	(6)	(53)	(28)	(53)	(53)	(53)	(53)	
	398.9	141570	141570	141570	105.3	105.3	12210	12210	2.05×10 ⁵	2.05×10 ⁵	
4.9	12.2	—	(7)	(7)	(29)	(29)	(29)	(29)	7.90×10 ⁴	7.90×10 ⁴	
-1.1	—	465.4	149880	149880	100.0	100.0	8510	8510	0.30	0.30	
	(46)	—	(47)	(47)	—	—	—	—	—	—	
-5.1		7954.0	—	—	—	—	—	—	—	—	
-7.9		(47)	—	—	—	—	—	—	—	—	



第 6.3.1-6 図 回転ばねの曲げモーメントと回転角の関係

第 6.3.1-3 表(1) 地盤定数

(Ss-1)

標高 T. M. S. L (m)	地層	せん断波 速度 Vs (m/s)	単位体積 重量 γ (kN/m ³)	ホ'アソブ比 ν	せん断 弾性係数 G ($\times 10^2$ N/mm ²)	初期せん断 弾性係数 G_0 ($\times 10^2$ N/mm ²)	剛性 低下率 G/G_0	ヤング 係数 E ($\times 10^2$ N/mm ²)	減衰 定数 h (%)	層厚 H (m)
+12.0	[砂層]	150	16.1	0.347	0.10	0.37	0.27	0.27	23	4.0
+8.0		200	16.1	0.308	0.08	0.66	0.12	0.21	28	4.0
+4.0	安田層	330	17.3	0.462	1.01	1.92	0.53	2.95	6	10.0
-6.0		490	17.0	0.451	3.82	4.16	0.92	11.09	3	27.0
-33.0		530	16.6	0.446	4.22	4.75	0.89	12.20	3	57.0
-90.0	西山層	590	17.3	0.432	5.28	6.14	0.86	15.12	3	46.0
-136.0		650	19.3	0.424	7.40	8.32	0.89	21.08	3	19.0
-155.0	[解放 基盤]	720	19.9	0.416	10.50	10.50	1.00	29.74	-	-

第 6.3.1-3 表(2) 地盤定数

(Ss-2)

標高 T. M. S. L (m)	地層	せん断波 速度 Vs (m/s)	単位体積 重量 γ (kN/m ³)	ホ'アソブ比 ν	せん断 弾性係数 G ($\times 10^2$ N/mm ²)	初期せん断 弾性係数 G_0 ($\times 10^2$ N/mm ²)	剛性 低下率 G/G_0	ヤング 係数 E ($\times 10^2$ N/mm ²)	減衰 定数 h (%)	層厚 H (m)
+12.0	[砂層]	150	16.1	0.347	0.11	0.37	0.29	0.29	19	4.0
+8.0		200	16.1	0.308	0.07	0.66	0.11	0.19	26	4.0
+4.0	安田層	330	17.3	0.462	0.98	1.92	0.51	2.86	5	10.0
-6.0		490	17.0	0.451	3.82	4.16	0.92	11.09	3	27.0
-33.0		530	16.6	0.446	4.32	4.75	0.91	12.49	3	57.0
-90.0	西山層	590	17.3	0.432	5.64	6.14	0.92	16.15	3	46.0
-136.0		650	19.3	0.424	7.82	8.32	0.94	22.27	3	19.0
-155.0	[解放 基盤]	720	19.9	0.416	10.50	10.50	1.00	29.74	-	-

第 6.3.1-3 表(3) 地盤定数

(Ss-3)

標高 T. M. S. L (m)	地層	せん断波 速度 Vs (m/s)	単位体積 重量 γ (kN/m ³)	ホ'アソブ比 ν	せん断 弾性係数 G ($\times 10^2$ N/mm ²)	初期せん断 弾性係数 G_0 ($\times 10^2$ N/mm ²)	剛性 低下率 G/G_0	ヤング 係数 E ($\times 10^2$ N/mm ²)	減衰 定数 h (%)	層厚 H (m)
+12.0	[砂層]	150	16.1	0.347	0.12	0.37	0.33	0.33	21	4.0
+8.0		200	16.1	0.308	0.11	0.66	0.16	0.27	27	4.0
+4.0	安田層	330	17.3	0.462	1.05	1.92	0.55	3.07	6	10.0
-6.0		490	17.0	0.451	3.86	4.16	0.93	11.20	3	27.0
-33.0		530	16.6	0.446	4.03	4.75	0.85	11.65	3	57.0
-90.0	西山層	590	17.3	0.432	5.15	6.14	0.84	14.75	3	46.0
-136.0		650	19.3	0.424	7.23	8.32	0.87	20.59	3	19.0
-155.0	[解放 基盤]	720	19.9	0.416	10.50	10.50	1.00	29.74	-	-

第 6.3.1-3 表(4) 地盤定数

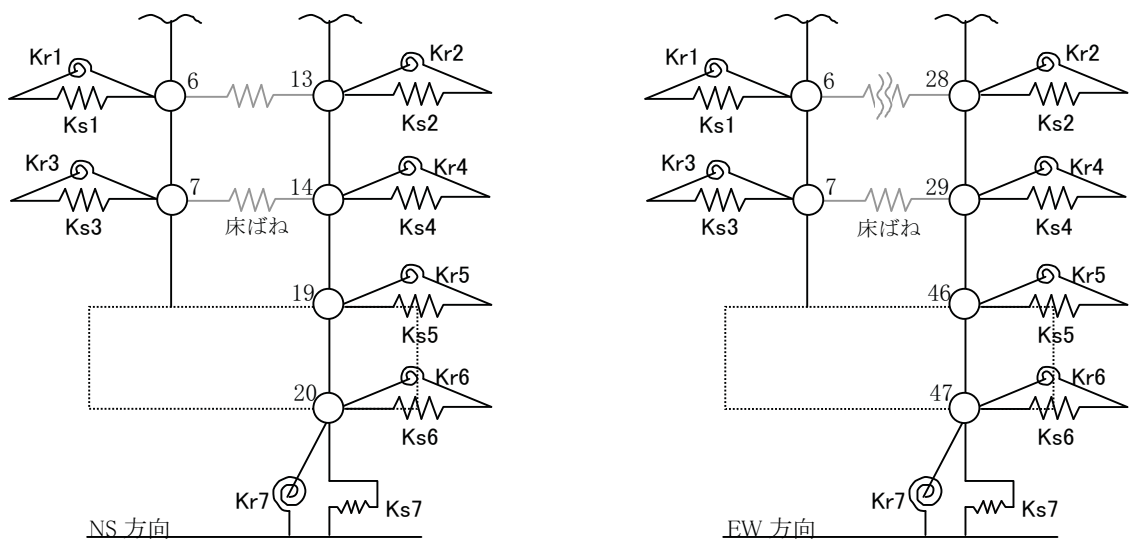
(Ss-4)

標高 T. M. S. L (m)	地層	せん断波 速度 Vs (m/s)	単位体積 重量 γ (kN/m ³)	ホ'アソブ比 ν	せん断 弾性係数 G ($\times 10^2$ N/mm ²)	初期せん断 弾性係数 G_0 ($\times 10^2$ N/mm ²)	剛性 低下率 G/G_0	ヤング 係数 E ($\times 10^2$ N/mm ²)	減衰 定数 h (%)	層厚 H (m)
+12.0	[砂層]	150	16.1	0.347	0.12	0.37	0.33	0.33	18	4.0
+8.0		200	16.1	0.308	0.11	0.66	0.16	0.27	24	4.0
+4.0	安田層	330	17.3	0.462	1.11	1.92	0.58	3.25	4	10.0
-6.0		490	17.0	0.451	3.95	4.16	0.95	11.46	3	27.0
-33.0		530	16.6	0.446	4.37	4.75	0.92	12.64	3	57.0
-90.0	西山層	590	17.3	0.432	5.64	6.14	0.92	16.15	3	46.0
-136.0		650	19.3	0.424	7.82	8.32	0.94	22.27	3	19.0
-155.0	[解放 基盤]	720	19.9	0.416	10.50	10.50	1.00	29.74	-	-

第 6.3.1-3 表(5) 地盤定数

(Ss-5)

標高 T. M. S. L (m)	地層	せん断波 速度 V_s (m/s)	単位体積 重量 γ (kN/m ³)	ボ'アツン比 ν	せん断 弾性係数 G ($\times 10^2$ N/mm ²)	初期せん断 弾性係数 G_0 ($\times 10^2$ N/mm ²)	剛性 低下率 G/G_0	ヤング 係数 E ($\times 10^2$ N/mm ²)	減衰 定数 h (%)	層厚 H (m)
+12.0	[砂層]	150	16.1	0.347	0.11	0.37	0.31	0.31	16	4.0
+8.0		200	16.1	0.308	0.11	0.66	0.16	0.27	22	4.0
+4.0	安田層	330	17.3	0.462	1.07	1.92	0.56	3.13	4	10.0
-6.0		490	17.0	0.451	3.91	4.16	0.94	11.35	3	27.0
-33.0		530	16.6	0.446	4.32	4.75	0.91	12.49	3	57.0
-90.0	西山層	590	17.3	0.432	5.46	6.14	0.89	15.64	3	46.0
-136.0		650	19.3	0.424	7.48	8.32	0.90	21.30	3	19.0
-155.0	[解放 基盤]	720	19.9	0.416	10.50	10.50	1.00	29.74	-	-



第 6.3.1-7 図 地盤ばねの記号

第 6.3.1-4 表(1) 地震応答解析に用いる基礎地盤のばね定数と減衰係数

(NS 方向, Ss-1)

ばね番号	質点番号	地盤ばね成分	ばね		減衰	
			ばね定数 ^(*)1) K_c	採用振動数 (Hz)	減衰係数 ^(*)2) C_c	採用振動数 ^(*)3) f_1 (Hz)
Ks1	6	側面・並進	3.92×10^5	0.39	2.69×10^5	2.83
Kr1	6	側面・回転	7.18×10^8	0.01	1.48×10^8	2.83
Ks2	13	側面・並進	5.26×10^5	0.39	3.62×10^5	2.83
Kr2	13	側面・回転	9.64×10^8	0.01	1.98×10^8	2.83
Ks3	7	側面・並進	9.34×10^5	0.39	6.42×10^5	2.83
Kr3	7	側面・回転	1.71×10^9	0.01	3.51×10^8	2.83
Ks4	14	側面・並進	1.25×10^6	0.39	8.61×10^5	2.83
Kr4	14	側面・回転	2.29×10^9	0.01	4.71×10^8	2.83
Ks5	19	側面・並進	2.09×10^6	0.48	1.12×10^6	2.83
Kr5	19	側面・回転	3.84×10^9	0.01	6.27×10^8	2.83
Ks6	20	側面・並進	2.30×10^6	0.82	6.92×10^5	2.83
Kr6	20	側面・回転	4.25×10^9	0.01	4.19×10^8	2.83
Ks7	20	底面・並進	1.15×10^8	0.00	6.93×10^6	2.83
Kr7	20	底面・回転	3.16×10^{11}	0.00	7.73×10^9	2.83

(*)1) Ks1, Ks2, Ks3, Ks4, Ks5, Ks6, Ks7 は kN/m Kr1, Kr2, Kr3, Kr4, Kr5, Kr6, Kr7 は kNm/rad

(*)2) Ks1, Ks2, Ks3, Ks4, Ks5, Ks6, Ks7 は kNs/m Kr1, Kr2, Kr3, Kr4, Kr5, Kr6, Kr7 は kNsm/rad

(*)3) f_1 は連成系の 1 次固有振動数

(EW 方向, Ss-1)

ばね番号	質点番号	地盤ばね成分	ばね		減衰	
			ばね定数 ^(*)1) K_c	採用振動数 (Hz)	減衰係数 ^(*)2) C_c	採用振動数 ^(*)3) f_1 (Hz)
Ks1	6	側面・並進	6.92×10^5	0.39	4.68×10^5	2.61
Kr1	6	側面・回転	1.27×10^9	0.01	2.59×10^8	2.61
Ks2	28	側面・並進	2.27×10^5	0.39	1.54×10^5	2.61
Kr2	28	側面・回転	4.15×10^8	0.01	8.50×10^7	2.61
Ks3	7	側面・並進	1.65×10^6	0.39	1.12×10^6	2.61
Kr3	7	側面・回転	3.02×10^9	0.01	6.17×10^8	2.61
Ks4	29	側面・並進	5.40×10^5	0.39	3.66×10^5	2.61
Kr4	29	側面・回転	9.89×10^8	0.01	2.02×10^8	2.61
Ks5	46	側面・並進	2.09×10^6	0.48	1.10×10^6	2.61
Kr5	46	側面・回転	3.84×10^9	0.01	6.23×10^8	2.61
Ks6	47	側面・並進	2.30×10^6	0.82	6.86×10^5	2.61
Kr6	47	側面・回転	4.25×10^9	0.01	4.14×10^8	2.61
Ks7	47	底面・並進	1.17×10^8	0.00	7.12×10^6	2.61
Kr7	47	底面・回転	2.45×10^{11}	0.00	4.97×10^9	2.61

(*)1) Ks1, Ks2, Ks3, Ks4, Ks5, Ks6, Ks7 は kN/m Kr1, Kr2, Kr3, Kr4, Kr5, Kr6, Kr7 は kNm/rad

(*)2) Ks1, Ks2, Ks3, Ks4, Ks5, Ks6, Ks7 は kNs/m Kr1, Kr2, Kr3, Kr4, Kr5, Kr6, Kr7 は kNsm/rad

(*)3) f_1 は連成系の 1 次固有振動数

第 6.3.1-4 表(2) 地震応答解析に用いる基礎地盤のばね定数と減衰係数

(NS 方向, Ss-2)

ばね番号	質点番号	地盤ばね成分	ばね		減衰	
			ばね定数 ^(*)1) K_c	採用振動数 (Hz)	減衰係数 ^(*)2) C_c	採用振動数 ^(*)3) f_1 (Hz)
Ks1	6	側面・並進	3.79×10^5	0.39	2.66×10^5	2.84
Kr1	6	側面・回転	6.94×10^8	0.01	1.45×10^8	2.84
Ks2	13	側面・並進	5.09×10^5	0.39	3.57×10^5	2.84
Kr2	13	側面・回転	9.32×10^8	0.01	1.95×10^8	2.84
Ks3	7	側面・並進	9.03×10^5	0.39	6.33×10^5	2.84
Kr3	7	側面・回転	1.65×10^9	0.01	3.46×10^8	2.84
Ks4	14	側面・並進	1.21×10^6	0.39	8.49×10^5	2.84
Kr4	14	側面・回転	2.22×10^9	0.01	4.64×10^8	2.84
Ks5	19	側面・並進	2.05×10^6	0.48	1.11×10^6	2.84
Kr5	19	側面・回転	3.76×10^9	0.01	6.19×10^8	2.84
Ks6	20	側面・並進	2.30×10^6	0.82	6.93×10^5	2.84
Kr6	20	側面・回転	4.25×10^9	0.01	4.19×10^8	2.84
Ks7	20	底面・並進	1.16×10^8	0.00	6.98×10^6	2.84
Kr7	20	底面・回転	3.22×10^{11}	0.00	7.79×10^9	2.84

(*)1) Ks1, Ks2, Ks3, Ks4, Ks5, Ks6, Ks7 は kN/m Kr1, Kr2, Kr3, Kr4, Kr5, Kr6, Kr7 は kNm/rad

(*)2) Ks1, Ks2, Ks3, Ks4, Ks5, Ks6, Ks7 は kNs/m Kr1, Kr2, Kr3, Kr4, Kr5, Kr6, Kr7 は kNsm/rad

(*)3) f_1 は連成系の 1 次固有振動数

(EW 方向, Ss-2)

ばね番号	質点番号	地盤ばね成分	ばね		減衰	
			ばね定数 ^(*)1) K_c	採用振動数 (Hz)	減衰係数 ^(*)2) C_c	採用振動数 ^(*)3) f_1 (Hz)
Ks1	6	側面・並進	6.69×10^5	0.39	4.62×10^5	2.62
Kr1	6	側面・回転	1.22×10^9	0.01	2.55×10^8	2.62
Ks2	28	側面・並進	2.19×10^5	0.39	1.52×10^5	2.62
Kr2	28	側面・回転	4.02×10^8	0.01	8.37×10^7	2.62
Ks3	7	側面・並進	1.59×10^6	0.39	1.10×10^6	2.62
Kr3	7	側面・回転	2.92×10^9	0.01	6.07×10^8	2.62
Ks4	29	側面・並進	5.22×10^5	0.39	3.61×10^5	2.62
Kr4	29	側面・回転	9.56×10^8	0.01	1.99×10^8	2.62
Ks5	46	側面・並進	2.05×10^6	0.48	1.09×10^6	2.62
Kr5	46	側面・回転	3.76×10^9	0.01	6.16×10^8	2.62
Ks6	47	側面・並進	2.30×10^6	0.82	6.86×10^5	2.62
Kr6	47	側面・回転	4.25×10^9	0.01	4.14×10^8	2.62
Ks7	47	底面・並進	1.19×10^8	0.00	7.18×10^6	2.62
Kr7	47	底面・回転	2.49×10^{11}	0.00	4.99×10^9	2.62

(*)1) Ks1, Ks2, Ks3, Ks4, Ks5, Ks6, Ks7 は kN/m Kr1, Kr2, Kr3, Kr4, Kr5, Kr6, Kr7 は kNm/rad

(*)2) Ks1, Ks2, Ks3, Ks4, Ks5, Ks6, Ks7 は kNs/m Kr1, Kr2, Kr3, Kr4, Kr5, Kr6, Kr7 は kNsm/rad

(*)3) f_1 は連成系の 1 次固有振動数

第 6.3.1-4 表(3) 地震応答解析に用いる基礎地盤のばね定数と減衰係数

(NS 方向, Ss-3)

ばね番号	質点番号	地盤ばね成分	ばね		減衰	
			ばね定数 ^(*)1) K_c	採用振動数 (Hz)	減衰係数 ^(*)2) C_c	採用振動数 ^(*)3) f_1 (Hz)
Ks1	6	側面・並進	4.05×10^5	0.40	2.73×10^5	2.82
Kr1	6	側面・回転	7.42×10^8	0.01	1.50×10^8	2.82
Ks2	13	側面・並進	5.44×10^5	0.40	3.66×10^5	2.82
Kr2	13	側面・回転	9.96×10^8	0.01	2.01×10^8	2.82
Ks3	7	側面・並進	9.65×10^5	0.40	6.50×10^5	2.82
Kr3	7	側面・回転	1.77×10^9	0.01	3.57×10^8	2.82
Ks4	14	側面・並進	1.30×10^6	0.40	8.72×10^5	2.82
Kr4	14	側面・回転	2.37×10^9	0.01	4.79×10^8	2.82
Ks5	19	側面・並進	2.14×10^6	0.48	1.13×10^6	2.82
Kr5	19	側面・回転	3.93×10^9	0.01	6.35×10^8	2.82
Ks6	20	側面・並進	2.32×10^6	0.83	6.95×10^5	2.82
Kr6	20	側面・回転	4.28×10^9	0.01	4.20×10^8	2.82
Ks7	20	底面・並進	1.13×10^8	0.00	6.89×10^6	2.82
Kr7	20	底面・回転	3.08×10^{11}	0.00	7.66×10^9	2.82

(*)1) Ks1, Ks2, Ks3, Ks4, Ks5, Ks6, Ks7 は kN/m Kr1, Kr2, Kr3, Kr4, Kr5, Kr6, Kr7 は kNm/rad

(*)2) Ks1, Ks2, Ks3, Ks4, Ks5, Ks6, Ks7 は kNs/m Kr1, Kr2, Kr3, Kr4, Kr5, Kr6, Kr7 は kNsm/rad

(*)3) f_1 は連成系の 1 次固有振動数

(EW 方向, Ss-3)

ばね番号	質点番号	地盤ばね成分	ばね		減衰	
			ばね定数 ^(*)1) K_c	採用振動数 (Hz)	減衰係数 ^(*)2) C_c	採用振動数 ^(*)3) f_1 (Hz)
Ks1	6	側面・並進	7.15×10^5	0.40	4.74×10^5	2.60
Kr1	6	側面・回転	1.31×10^9	0.01	2.63×10^8	2.60
Ks2	28	側面・並進	2.35×10^5	0.40	1.56×10^5	2.60
Kr2	28	側面・回転	4.29×10^8	0.01	8.63×10^7	2.60
Ks3	7	側面・並進	1.70×10^6	0.40	1.13×10^6	2.60
Kr3	7	側面・回転	3.12×10^9	0.01	6.27×10^8	2.60
Ks4	29	側面・並進	5.58×10^5	0.40	3.70×10^5	2.60
Kr4	29	側面・回転	1.02×10^9	0.01	2.06×10^8	2.60
Ks5	46	側面・並進	2.14×10^6	0.48	1.12×10^6	2.60
Kr5	46	側面・回転	3.93×10^9	0.01	6.31×10^8	2.60
Ks6	47	側面・並進	2.32×10^6	0.83	6.88×10^5	2.60
Kr6	47	側面・回転	4.28×10^9	0.01	4.15×10^8	2.60
Ks7	47	底面・並進	1.15×10^8	0.00	7.09×10^6	2.60
Kr7	47	底面・回転	2.39×10^{11}	0.00	4.93×10^9	2.60

(*)1) Ks1, Ks2, Ks3, Ks4, Ks5, Ks6, Ks7 は kN/m Kr1, Kr2, Kr3, Kr4, Kr5, Kr6, Kr7 は kNm/rad

(*)2) Ks1, Ks2, Ks3, Ks4, Ks5, Ks6, Ks7 は kNs/m Kr1, Kr2, Kr3, Kr4, Kr5, Kr6, Kr7 は kNsm/rad

(*)3) f_1 は連成系の 1 次固有振動数

第 6.3.1-4 表(4) 地震応答解析に用いる基礎地盤のばね定数と減衰係数

(NS 方向, Ss-4)

ばね番号	質点番号	地盤ばね成分	ばね		減衰	
			ばね定数 ^(*)1) K_c	採用振動数 (Hz)	減衰係数 ^(*)2) C_c	採用振動数 ^(*)3) f_1 (Hz)
Ks1	6	側面・並進	4.29×10^5	0.41	2.80×10^5	2.86
Kr1	6	側面・回転	7.86×10^8	0.01	1.54×10^8	2.86
Ks2	13	側面・並進	5.76×10^5	0.41	3.76×10^5	2.86
Kr2	13	側面・回転	1.05×10^9	0.01	2.07×10^8	2.86
Ks3	7	側面・並進	1.02×10^6	0.41	6.67×10^5	2.86
Kr3	7	側面・回転	1.87×10^9	0.01	3.67×10^8	2.86
Ks4	14	側面・並進	1.37×10^6	0.41	8.95×10^5	2.86
Kr4	14	側面・回転	2.51×10^9	0.01	4.92×10^8	2.86
Ks5	19	側面・並進	2.24×10^6	0.49	1.16×10^6	2.86
Kr5	19	側面・回転	4.11×10^9	0.01	6.50×10^8	2.86
Ks6	20	側面・並進	2.38×10^6	0.84	7.04×10^5	2.86
Kr6	20	側面・回転	4.39×10^9	0.01	4.25×10^8	2.86
Ks7	20	底面・並進	1.19×10^8	0.00	7.06×10^6	2.86
Kr7	20	底面・回転	3.29×10^{11}	0.00	7.82×10^9	2.86

(*)1) Ks1, Ks2, Ks3, Ks4, Ks5, Ks6, Ks7 は kN/m Kr1, Kr2, Kr3, Kr4, Kr5, Kr6, Kr7 は kNm/rad

(*)2) Ks1, Ks2, Ks3, Ks4, Ks5, Ks6, Ks7 は kNs/m Kr1, Kr2, Kr3, Kr4, Kr5, Kr6, Kr7 は kNsm/rad

(*)3) f_1 は連成系の 1 次固有振動数

(EW 方向, Ss-4)

ばね番号	質点番号	地盤ばね成分	ばね		減衰	
			ばね定数 ^(*)1) K_c	採用振動数 (Hz)	減衰係数 ^(*)2) C_c	採用振動数 ^(*)3) f_1 (Hz)
Ks1	6	側面・並進	7.57×10^5	0.41	4.86×10^5	2.63
Kr1	6	側面・回転	1.39×10^9	0.01	2.71×10^8	2.63
Ks2	28	側面・並進	2.48×10^5	0.41	1.60×10^5	2.63
Kr2	28	側面・回転	4.55×10^8	0.01	8.87×10^7	2.63
Ks3	7	側面・並進	1.80×10^6	0.41	1.16×10^6	2.63
Kr3	7	側面・回転	3.30×10^9	0.01	6.44×10^8	2.63
Ks4	29	側面・並進	5.91×10^5	0.41	3.80×10^5	2.63
Kr4	29	側面・回転	1.08×10^9	0.01	2.11×10^8	2.63
Ks5	46	側面・並進	2.24×10^6	0.49	1.14×10^6	2.63
Kr5	46	側面・回転	4.11×10^9	0.01	6.46×10^8	2.63
Ks6	47	側面・並進	2.38×10^6	0.84	6.97×10^5	2.63
Kr6	47	側面・回転	4.39×10^9	0.01	4.20×10^8	2.63
Ks7	47	底面・並進	1.21×10^8	0.00	7.26×10^6	2.63
Kr7	47	底面・回転	2.54×10^{11}	0.00	5.03×10^9	2.63

(*)1) Ks1, Ks2, Ks3, Ks4, Ks5, Ks6, Ks7 は kN/m Kr1, Kr2, Kr3, Kr4, Kr5, Kr6, Kr7 は kNm/rad

(*)2) Ks1, Ks2, Ks3, Ks4, Ks5, Ks6, Ks7 は kNs/m Kr1, Kr2, Kr3, Kr4, Kr5, Kr6, Kr7 は kNsm/rad

(*)3) f_1 は連成系の 1 次固有振動数

第 6.3.1-4 表(5) 地震応答解析に用いる基礎地盤のばね定数と減衰係数

(NS 方向, Ss-5)

ばね番号	質点番号	地盤ばね成分	ばね		減衰	
			ばね定数 ^(*)1) K_c	採用振動数 (Hz)	減衰係数 ^(*)2) C_c	採用振動数 ^(*)3) f_1 (Hz)
Ks1	6	側面・並進	4.16×10^5	0.40	2.76×10^5	2.85
Kr1	6	側面・回転	7.61×10^8	0.01	1.52×10^8	2.85
Ks2	13	側面・並進	5.58×10^5	0.40	3.71×10^5	2.85
Kr2	13	側面・回転	1.02×10^9	0.01	2.04×10^8	2.85
Ks3	7	側面・並進	9.89×10^5	0.40	6.58×10^5	2.85
Kr3	7	側面・回転	1.81×10^9	0.01	3.61×10^8	2.85
Ks4	14	側面・並進	1.33×10^6	0.40	8.83×10^5	2.85
Kr4	14	側面・回転	2.43×10^9	0.01	4.85×10^8	2.85
Ks5	19	側面・並進	2.18×10^6	0.48	1.14×10^6	2.85
Kr5	19	側面・回転	4.01×10^9	0.01	6.42×10^8	2.85
Ks6	20	側面・並進	2.35×10^6	0.83	6.99×10^5	2.85
Kr6	20	側面・回転	4.34×10^9	0.01	4.23×10^8	2.85
Ks7	20	底面・並進	1.17×10^8	0.00	7.00×10^6	2.85
Kr7	20	底面・回転	3.24×10^{11}	0.00	7.79×10^9	2.85

(*)1) Ks1, Ks2, Ks3, Ks4, Ks5, Ks6, Ks7 は kN/m Kr1, Kr2, Kr3, Kr4, Kr5, Kr6, Kr7 は kNm/rad

(*)2) Ks1, Ks2, Ks3, Ks4, Ks5, Ks6, Ks7 は kNs/m Kr1, Kr2, Kr3, Kr4, Kr5, Kr6, Kr7 は kNsm/rad

(*)3) f_1 は連成系の 1 次固有振動数

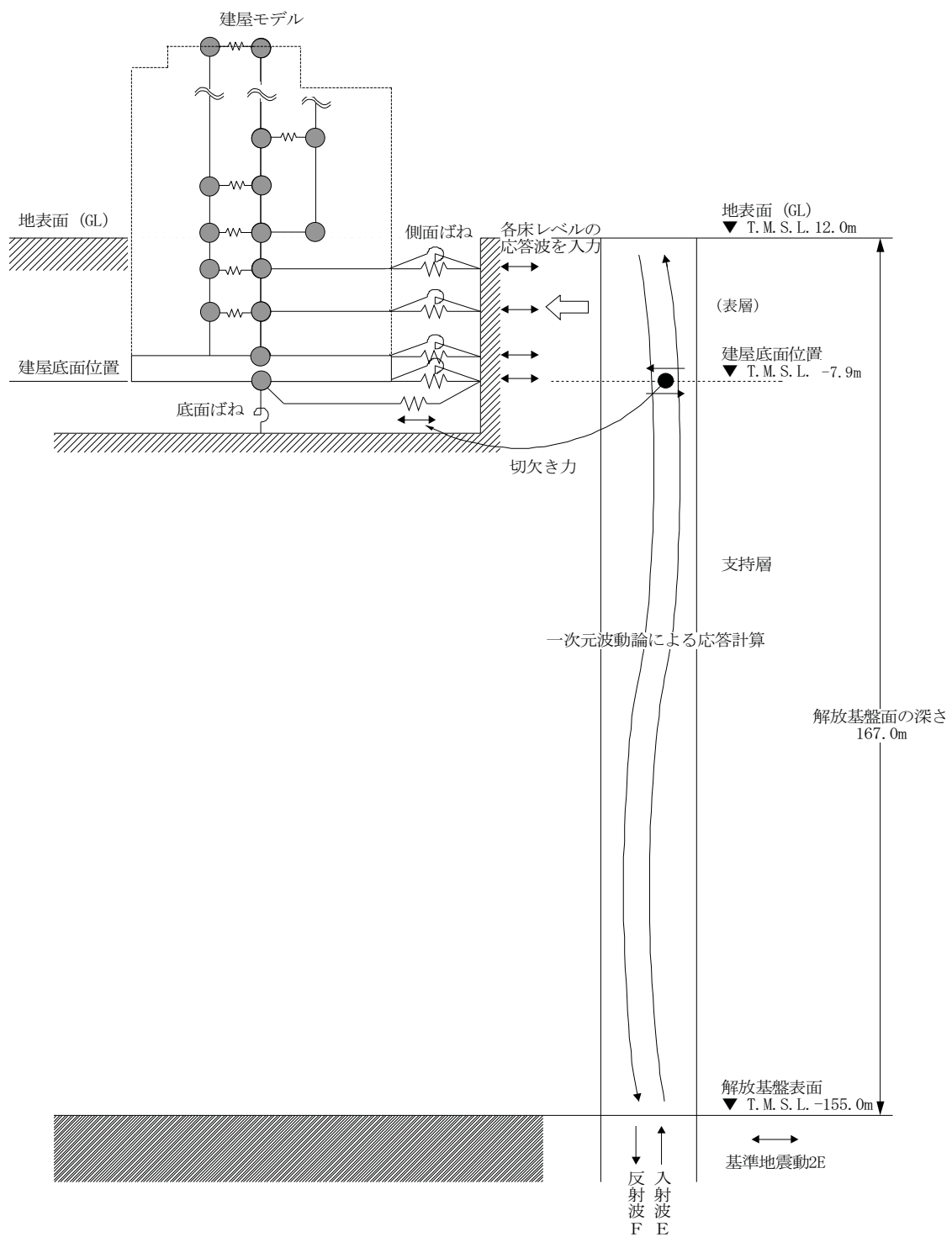
(EW 方向, Ss-5)

ばね番号	質点番号	地盤ばね成分	ばね		減衰	
			ばね定数 ^(*)1) K_c	採用振動数 (Hz)	減衰係数 ^(*)2) C_c	採用振動数 ^(*)3) f_1 (Hz)
Ks1	6	側面・並進	7.33×10^5	0.40	4.80×10^5	2.62
Kr1	6	側面・回転	1.34×10^9	0.01	2.66×10^8	2.62
Ks2	28	側面・並進	2.40×10^5	0.40	1.57×10^5	2.62
Kr2	28	側面・回転	4.40×10^8	0.01	8.74×10^7	2.62
Ks3	7	側面・並進	1.74×10^6	0.40	1.14×10^6	2.62
Kr3	7	側面・回転	3.19×10^9	0.01	6.34×10^8	2.62
Ks4	29	側面・並進	5.72×10^5	0.40	3.75×10^5	2.62
Kr4	29	側面・回転	1.05×10^9	0.01	2.08×10^8	2.62
Ks5	46	側面・並進	2.18×10^6	0.48	1.13×10^6	2.62
Kr5	46	側面・回転	4.01×10^9	0.01	6.38×10^8	2.62
Ks6	47	側面・並進	2.35×10^6	0.83	6.93×10^5	2.62
Kr6	47	側面・回転	4.34×10^9	0.01	4.17×10^8	2.62
Ks7	47	底面・並進	1.20×10^8	0.00	7.20×10^6	2.62
Kr7	47	底面・回転	2.50×10^{11}	0.00	4.98×10^9	2.62

(*)1) Ks1, Ks2, Ks3, Ks4, Ks5, Ks6, Ks7 は kN/m Kr1, Kr2, Kr3, Kr4, Kr5, Kr6, Kr7 は kNm/rad

(*)2) Ks1, Ks2, Ks3, Ks4, Ks5, Ks6, Ks7 は kNs/m Kr1, Kr2, Kr3, Kr4, Kr5, Kr6, Kr7 は kNsm/rad

(*)3) f_1 は連成系の 1 次固有振動数



第 6.3.1-8 図 地震応答解析モデルに入力する地震動の概念図

(水平方向)

(b) 鉛直方向の地震応答解析モデル

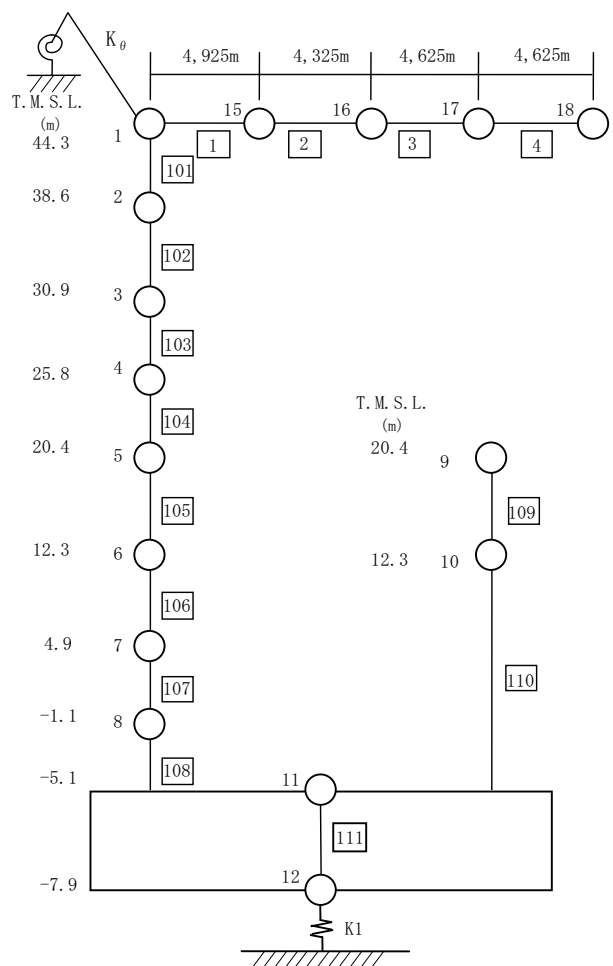
鉛直方向の地震応答解析モデルは、耐震壁の軸剛性および屋根トラスの曲げせん断剛性を評価した質点系モデルとする。鉛直方向の地震応答解析モデルを第 6.3.1-9 図に、解析モデルの諸元を第 6.3.1-5 表に示す。

地盤は、地盤調査に基づき水平成層地盤とし、基礎底面地盤ばねについては、スウェイおよびロッキングばね定数の評価法と同様、成層補正を行ったのち、振動アドミッタンス理論に基づいて、鉛直ばね定数を近似法により評価する。

第 6.3.1-6 表に地震応答解析に用いる地盤のばね定数と減衰係数を示す。なお、地盤調査に基づく地盤定数は第 6.3.1-3 表に示すとおりである。

鉛直方向の地震応答解析は、弾性応答解析とする。

入力地震動は、一次元波動論に基づき、解放基盤表面レベルに想定する基準地震動 Ss に対する地盤の応答として評価したものであり、基礎底面レベルに直接入力する。第 6.3.1-10 図に地震応答解析モデルに入力する地震動の概念図を示す。



第 6.3.1-9 図 地震応答解析モデル（鉛直方向）

第 6.3.1-5 表 解析モデルの諸元

(鉛直方向)

質点番号	①	⑯	⑰	⑱
質点重量 W (kN)	—	5,677	5,875	6,072
部材番号 せん断面積 As ($\times 10^{-2} \text{m}^2$) 断面 2 次モーメン ト I_B (m^4)	1	2	3	4
	29.28	29.28	20.04	20.04
	3.19	3.19	2.54	2.54
質点番号	質点重量 W (kN)	部材番号	軸断面積 A (m^2)	
①	33,100	101	20.7	
②	46,600	102	24.9	
③	154,910	103	580.8	
④	67,840	104	548.9	
⑤	279,730	105	693.0	
⑥	372,630	106	966.7	
⑦	369,720	107	1222.1	
⑧	272,720	108	1234.2	
⑪	490,770	111	7954.0	
⑫	266,390	109	138.8	
⑯	106,240	110	154.0	
⑰	68,920			

①コンクリート部 建屋

ヤング係数 Ec 3.13×10^4 (N/mm²)
 せん断弾性係数 G 1.31×10^4 (N/mm²)
 ポアソン比 ν 0.20
 減衰 h 5%

②コンクリート部 基礎スラブ

ヤング係数 Ec 2.90×10^4 (N/mm²)
 せん断弾性係数 G 1.21×10^4 (N/mm²)
 ポアソン比 ν 0.20
 減衰 h 5%

③鉄骨部

ヤング係数 Es 2.05×10^5 (N/mm²)
 せん断弾性係数 G 7.90×10^4 (N/mm²)
 ポアソン比 ν 0.30
 減衰 h 2%

基礎形状 97.0m(NS 方向) × 82.0m(EW 方向)

トラス端部回転拘束ばね K_θ 2.69×10^7 (kNm/rad)

第6.3.1-6表 地震応答解析に用いる基礎地盤のばね定数と減衰係数

(Ss-1)

ばね番号	質点番号	地盤ばね成分	ばね		減衰	
			ばね定数 Kc (kN/m)	採用振動数 (Hz)	減衰係数 Cc (kNs/m)	採用振動数 ^{(*)1} f_1 (Hz)
K1	12	底面・鉛直	2.00×10^6	0.00	1.74×10^7	4.36

(*)1 f_1 は連成系の1次固有振動数

(Ss-2)

ばね番号	質点番号	地盤ばね成分	ばね		減衰	
			ばね定数 Kc (kN/m)	採用振動数 (Hz)	減衰係数 Cc (kNs/m)	採用振動数 ^{(*)1} f_1 (Hz)
K1	12	底面・鉛直	2.06×10^8	0.00	1.76×10^7	4.42

(*)1 f_1 は連成系の1次固有振動数

(Ss-3)

ばね番号	質点番号	地盤ばね成分	ばね		減衰	
			ばね定数 Kc (kN/m)	採用振動数 (Hz)	減衰係数 Cc (kNs/m)	採用振動数 ^{(*)1} f_1 (Hz)
K1	12	底面・鉛直	1.95×10^8	0.00	1.71×10^7	4.30

(*)1 f_1 は連成系の1次固有振動数

(Ss-4)

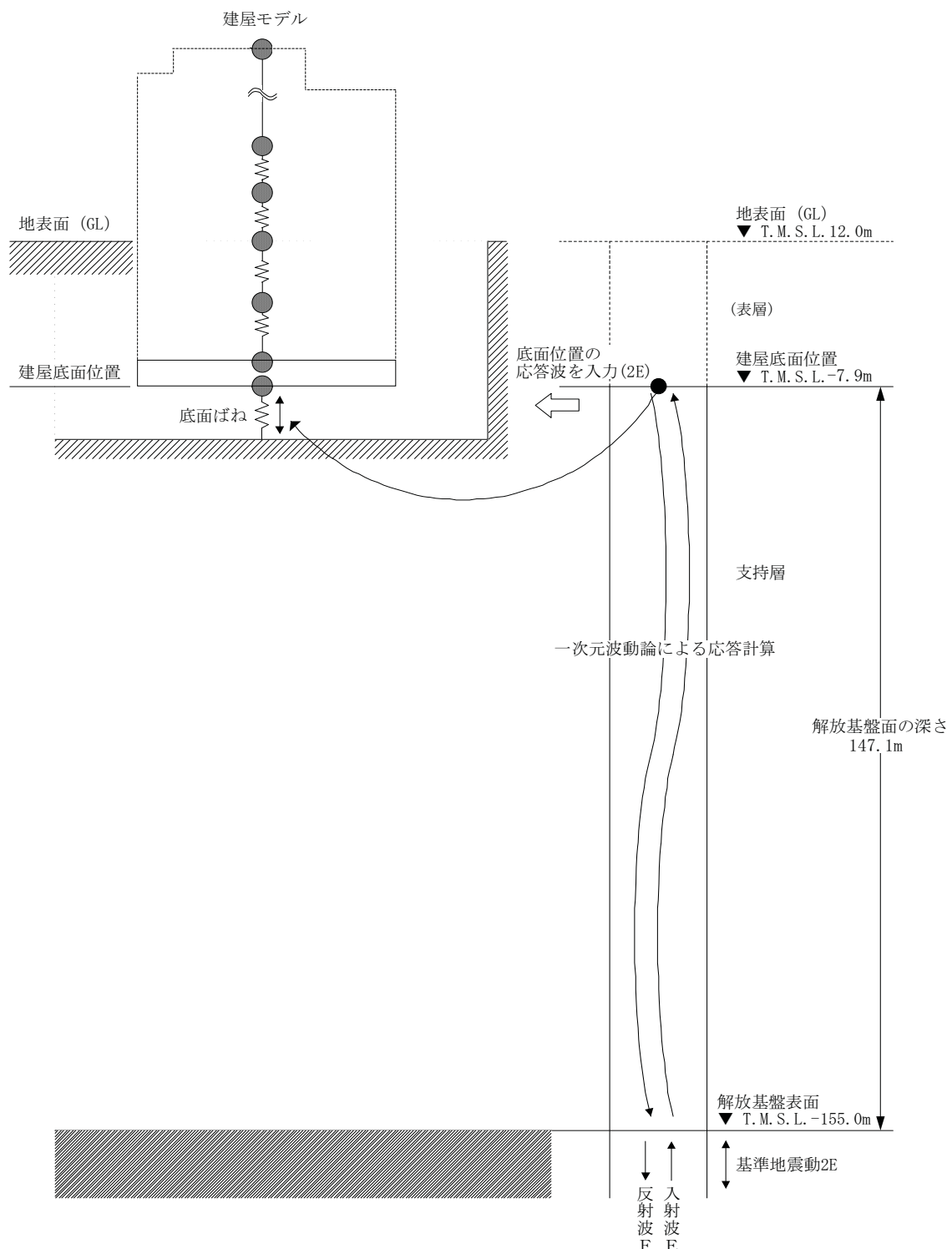
ばね番号	質点番号	地盤ばね成分	ばね		減衰	
			ばね定数 Kc (kN/m)	採用振動数 (Hz)	減衰係数 Cc (kNs/m)	採用振動数 ^{(*)1} f_1 (Hz)
K1	12	底面・鉛直	2.08×10^8	0.00	1.77×10^7	4.44

(*)1 f_1 は連成系の1次固有振動数

(Ss-5)

ばね番号	質点番号	地盤ばね成分	ばね		減衰	
			ばね定数 Kc (kN/m)	採用振動数 (Hz)	減衰係数 Cc (kNs/m)	採用振動数 ^{(*)1} f_1 (Hz)
K1	12	底面・鉛直	2.05×10^8	0.00	1.76×10^7	4.41

(*)1 f_1 は連成系の1次固有振動数



第 6.3.1-10 図 地震応答解析モデルに入力する地震動の概念図
(鉛直方向)

6.3.1.3. 地震応答解析結果

地震応答解析モデルの固有値（固有周期、固有振動数）および刺激係数を第 6.3.1-7 表および第 6.3.1-8 表に示す。

基準地震動 Ss（水平）による最大応答値を、それぞれ第 6.3.1-11 図～第 6.3.1-16 図に示す。

基準地震動 Ss（鉛直）による最大応答値を、それぞれ第 6.3.1-17 図、第 6.3.1-18 図に示す。

第 6.3.1-7 表(1) 固有値（固有周期、固有振動数）および刺激係数
(水平方向)

(NS 方向, Ss-1)

次数	固有周期 (s)	固有振動数 (Hz)	刺激係数 *	備考
1	0.353	2.83	2.217	地盤建屋連成一次
2	0.278	3.60	-0.969	
3	0.215	4.66	-1.694	
4	0.185	5.42	-1.103	
5	0.182	5.50	-0.516	

(NS 方向, Ss-2)

次数	固有周期 (s)	固有振動数 (Hz)	刺激係数 *	備考
1	0.352	2.84	2.227	地盤建屋連成一次
2	0.278	3.60	-0.977	
3	0.214	4.66	-1.699	
4	0.185	5.42	-1.113	
5	0.182	5.50	-0.530	

(NS 方向, Ss-3)

次数	固有周期 (s)	固有振動数 (Hz)	刺激係数 *	備考
1	0.355	2.82	2.199	地盤建屋連成一次
2	0.278	3.59	-0.954	
3	0.215	4.65	-1.682	
4	0.185	5.41	-1.080	
5	0.182	5.50	-0.490	

注* : モードごとに固有ベクトルの最大値を 1 に基準化して得られる刺激係数を示す。

第 6.3.1-7 表(2) 固有値（固有周期、固有振動数）および刺激係数
(水平方向)

(NS 方向, Ss-4)

次数	固有周期 (s)	固有振動数 (Hz)	刺激係数 [*]	備考
1	0.349	2.86	2.258	地盤建屋連成一次
2	0.277	3.61	-1.001	
3	0.214	4.68	-1.728	
4	0.184	5.42	-1.166	
5	0.182	5.51	-0.589	

(NS 方向, Ss-5)

次数	固有周期 (s)	固有振動数 (Hz)	刺激係数 [*]	備考
1	0.351	2.85	2.239	地盤建屋連成一次
2	0.278	3.60	-0.987	
3	0.214	4.67	-1.711	
4	0.185	5.42	-1.134	
5	0.182	5.50	-0.552	

注*：モードごとに固有ベクトルの最大値を 1 に基準化して得られる刺激係数を示す。

第 6.3.1-7 表(3) 固有値（固有周期、固有振動数）および刺激係数
(水平方向)

(EW 方向, Ss-1)

次数	固有周期 (s)	固有振動数 (Hz)	刺激係数 [*]	備考
1	0.384	2.61	3.379	地盤建屋連成一次
2	0.297	3.37	-1.640	
3	0.246	4.07	-1.396	
4	0.218	4.59	0.729	
5	0.173	5.80	-0.995	

(EW 方向, Ss-2)

次数	固有周期 (s)	固有振動数 (Hz)	刺激係数 [*]	備考
1	0.382	2.62	3.391	地盤建屋連成一次
2	0.296	3.38	-1.630	
3	0.245	4.08	-1.428	
4	0.218	4.59	-0.743	
5	0.172	5.80	-0.991	

(EW 方向, Ss-3)

次数	固有周期 (s)	固有振動数 (Hz)	刺激係数 [*]	備考
1	0.385	2.60	3.364	地盤建屋連成一次
2	0.297	3.37	-1.648	
3	0.246	4.06	-1.364	
4	0.218	4.59	0.716	
5	0.173	5.79	-1.004	

注* : モードごとに固有ベクトルの最大値を 1 に基準化して得られる刺激係数を示す。

第 6.3.1-7 表(4) 固有値（固有周期、固有振動数）および刺激係数
(水平方向)

(EW 方向, Ss-4)

次数	固有周期 (s)	固有振動数 (Hz)	刺激係数 [*]	備考
1	0.380	2.63	3.410	地盤建屋連成一次
2	0.296	3.38	-1.616	
3	0.245	4.09	-1.477	
4	0.218	4.59	-0.768	
5	0.172	5.81	-0.981	

(EW 方向, Ss-5)

次数	固有周期 (s)	固有振動数 (Hz)	刺激係数 [*]	備考
1	0.381	2.62	3.400	地盤建屋連成一次
2	0.296	3.38	-1.622	
3	0.245	4.08	-1.454	
4	0.218	4.59	-0.757	
5	0.172	5.81	-0.989	

注*：モードごとに固有ベクトルの最大値を 1 に基準化して得られる刺激係数を示す。

第 6.3.1-8 表(1) 固有値(固有周期, 固有振動数)および刺激係数
(鉛直方向)

(Ss-1)

次数	固有周期 (s)	固有振動数 (Hz)	刺激係数 *	備考
1	0.390	2.56	2.029	屋根トラス一次
2	0.230	4.36	-1.132	地盤建屋連成一次
3	0.085	11.76	0.187	
4	0.063	15.87	-0.125	
5	0.054	18.48	-0.040	

(Ss-2)

次数	固有周期 (s)	固有振動数 (Hz)	刺激係数 *	備考
1	0.390	2.56	2.000	屋根トラス一次
2	0.226	4.42	1.117	地盤建屋連成一次
3	0.085	11.76	0.193	
4	0.063	15.87	-0.129	
5	0.054	18.48	-0.041	

(Ss-3)

次数	固有周期 (s)	固有振動数 (Hz)	刺激係数 *	備考
1	0.390	2.56	2.055	屋根トラス一次
2	0.232	4.30	-1.155	地盤建屋連成一次
3	0.085	11.76	0.182	
4	0.063	15.87	-0.122	
5	0.054	18.48	-0.039	

注* : モードごとに固有ベクトルの最大値を 1 に基準化して得られる刺激係数を示す。

第 6.3.1-8 表(2) 固有値(固有周期, 固有振動数)および刺激係数
(鉛直方向)

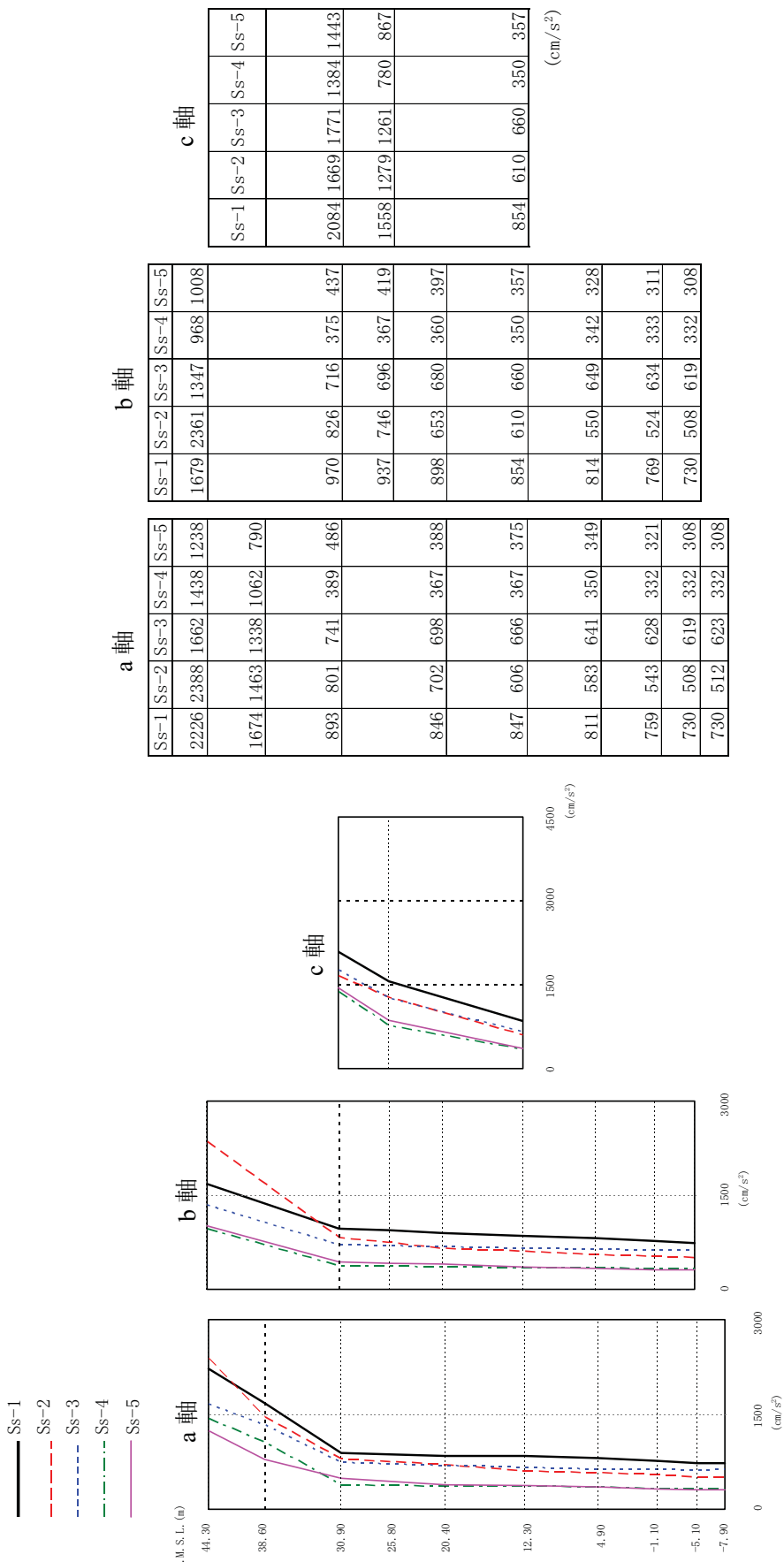
(Ss-4)

次数	固有周期 (s)	固有振動数 (Hz)	刺激係数 [*]	備考
1	0.390	2.56	1.991	屋根トラス一次
2	0.225	4.44	1.119	地盤建屋連成一次
3	0.085	11.76	0.196	
4	0.063	15.87	-0.130	
5	0.054	18.48	-0.041	

(Ss-5)

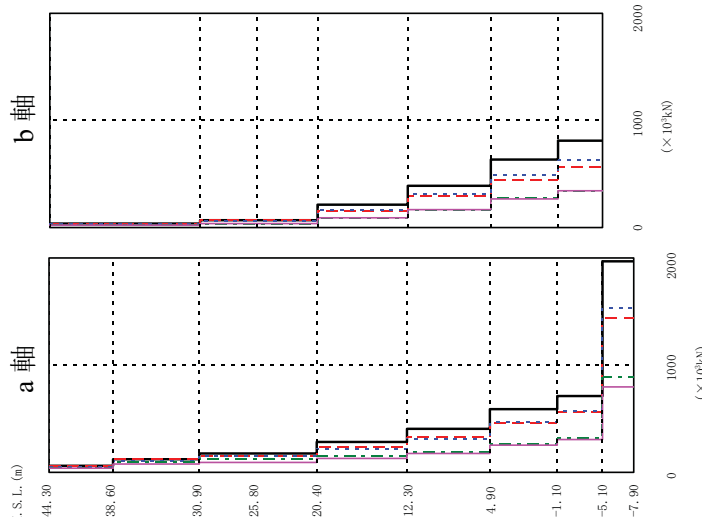
次数	固有周期 (s)	固有振動数 (Hz)	刺激係数 [*]	備考
1	0.390	2.56	2.005	屋根トラス一次
2	0.227	4.41	1.116	地盤建屋連成一次
3	0.085	11.76	0.192	
4	0.063	15.87	-0.128	
5	0.054	18.48	-0.041	

注*：モードごとに固有ベクトルの最大値を 1 に基準化して得られる刺激係数を示す。

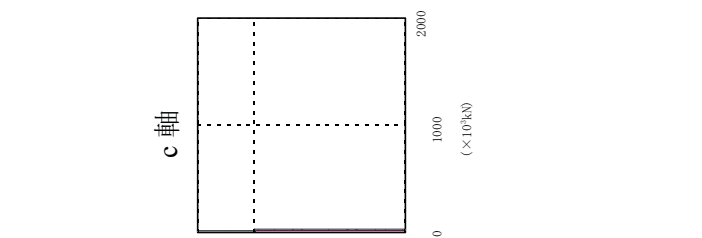


第 6.3.1-11 図 最大応答加速度 (NS 方向)

— Ss-1
 - - Ss-2
 - - - Ss-3
 - · - Ss-4
 - - - - Ss-5



a 車両 b 車両



b 車両

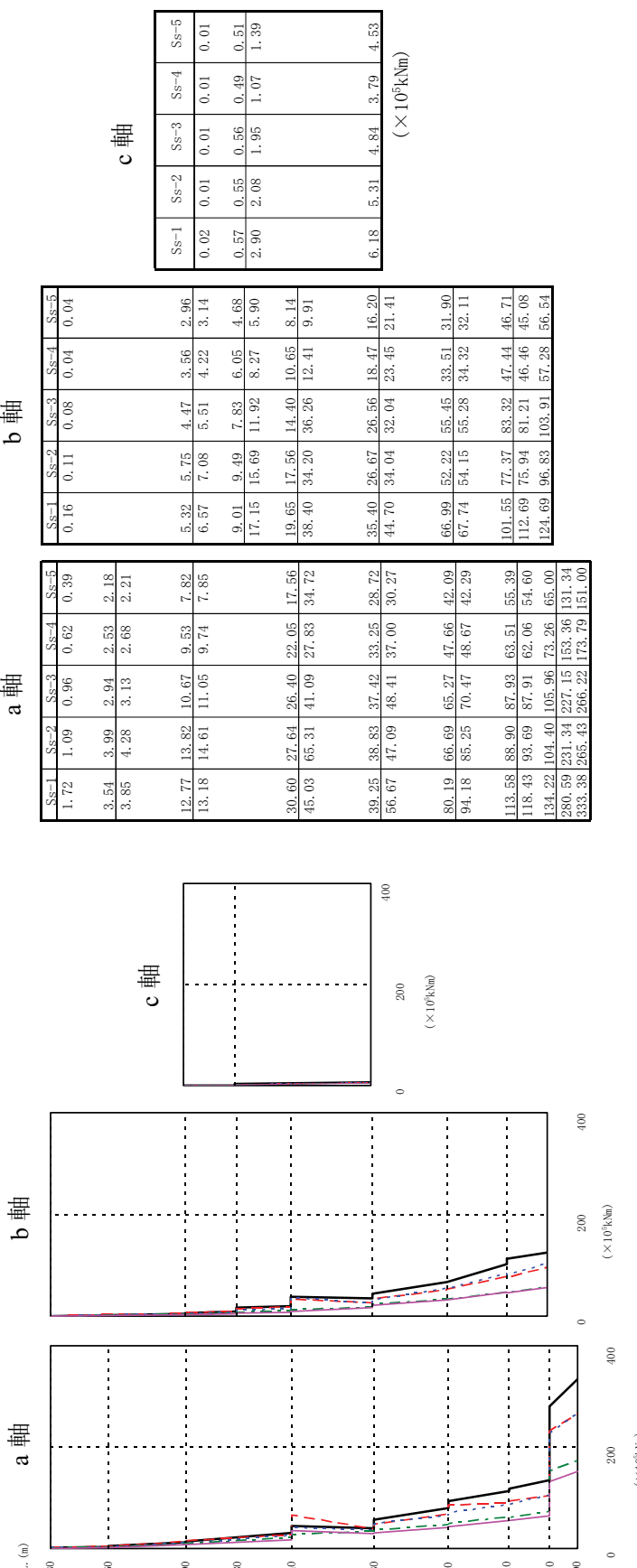
	Ss-1	Ss-2	Ss-3	Ss-4	Ss-5	Ss-1	Ss-2	Ss-3	Ss-4	Ss-5
61.52	63.63	46.40	41.93	37.53		39.61	40.66	32.98	26.36	22.03
125.32	125.07	106.69	91.85	73.65						
178.95	152.87	156.74	118.80	94.12	67.31	71.71	58.33	38.95	34.69	10.84
285.85	234.43	223.67	154.85	131.50	107.44	100.58	91.62	53.33	49.07	
405.38	326.21	315.88	194.88	178.44	210.98	153.35	171.28	92.95	89.59	
590.69	458.19	466.20	266.00	254.99	393.24	289.38	316.41	171.15	171.61	
711.46	563.97	573.95	318.24	309.78	635.87	443.75	488.78	273.20	271.07	
1972.00	1437.60	1530.50	890.39	798.44	813.76	569.81	627.93	348.31	347.83	

c 車両

(× 10³kN)

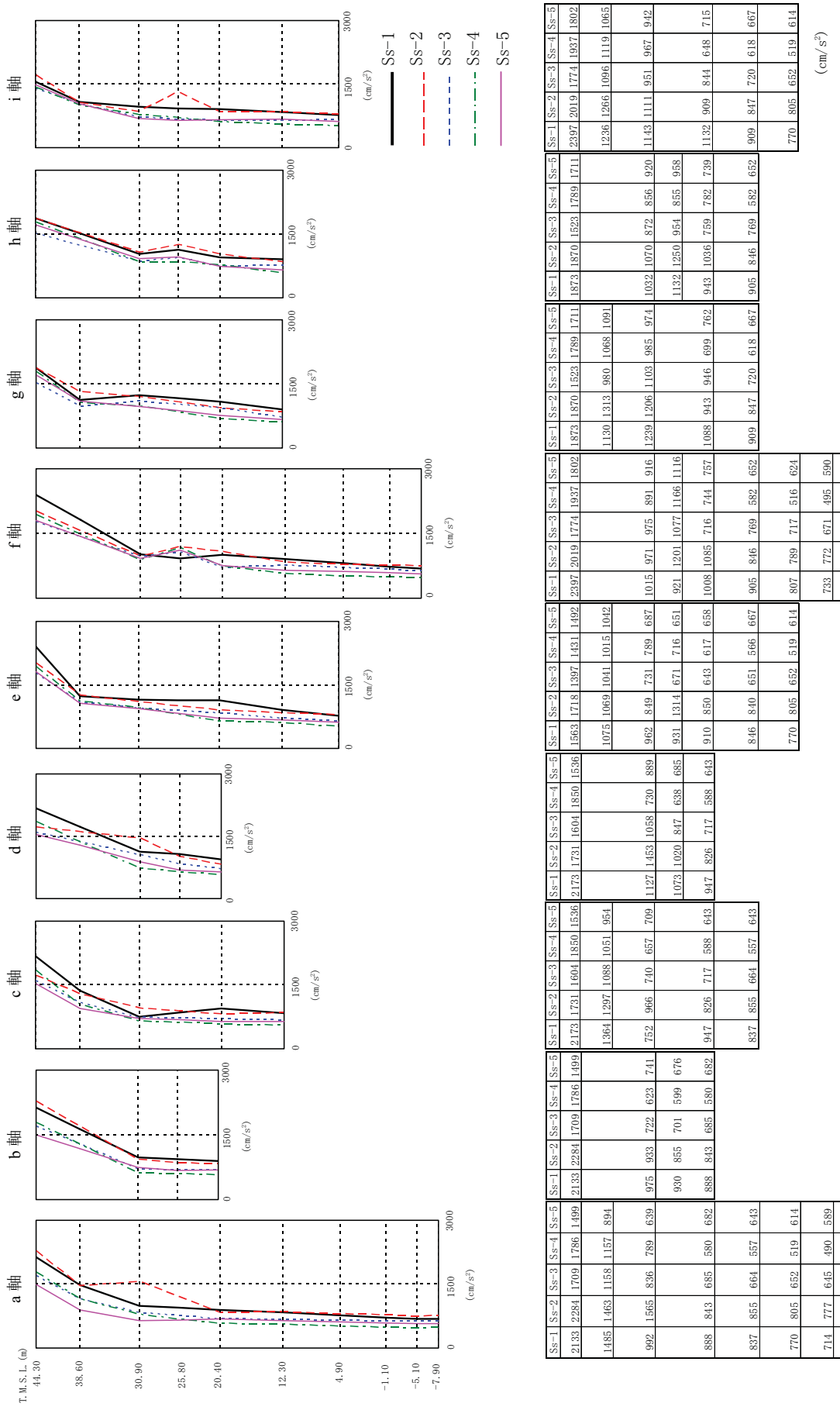
第 6.3.1-12 図 最大応答せん断力 (NS 方向)

Ss-1
 Ss-2
 Ss-3
 Ss-4
 Ss-5

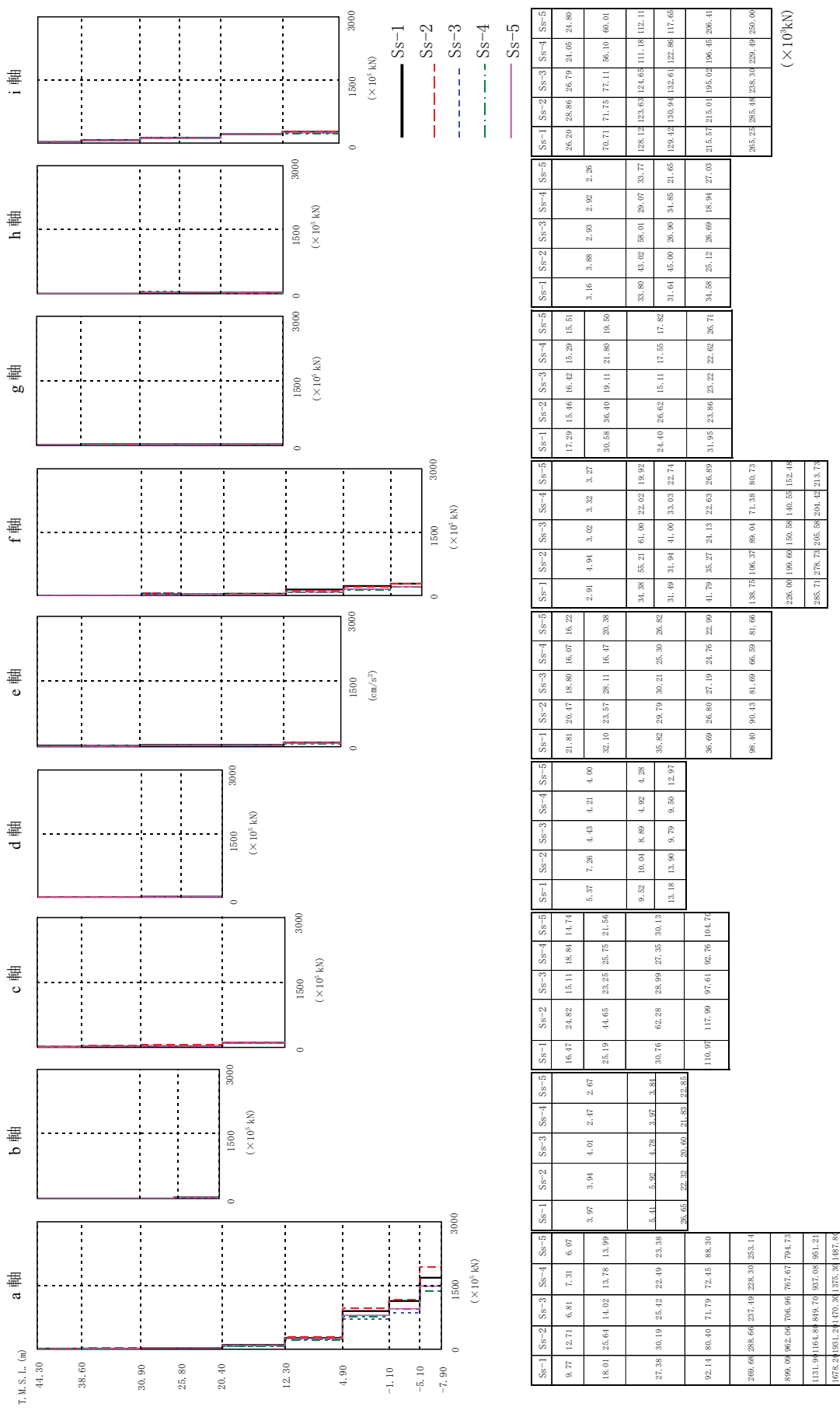


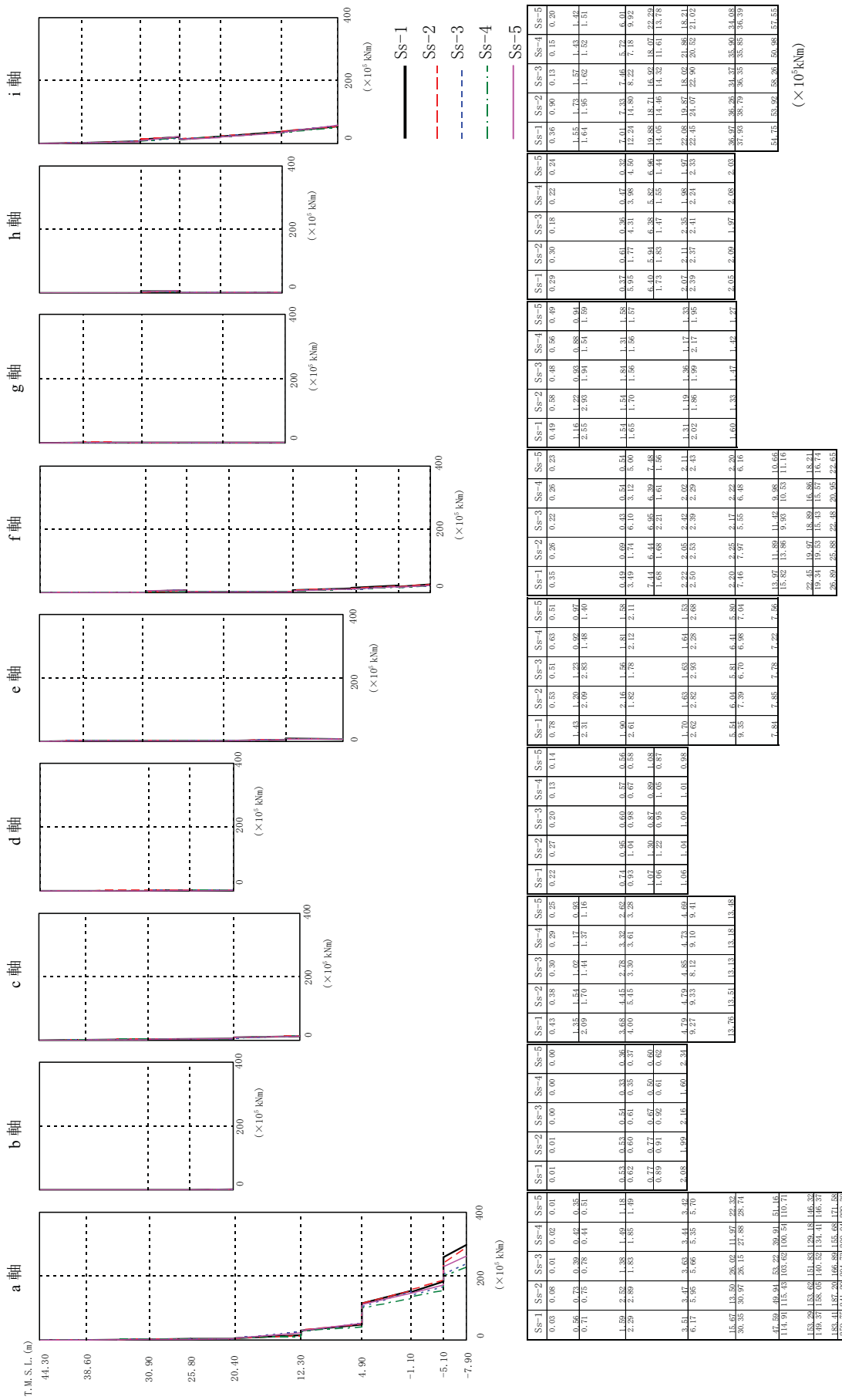
第6.3.1-13 図 最大応答曲げモーメント (NS 方向)

第 6.3.1-14 図 最大応答加速度 (EW 方向)

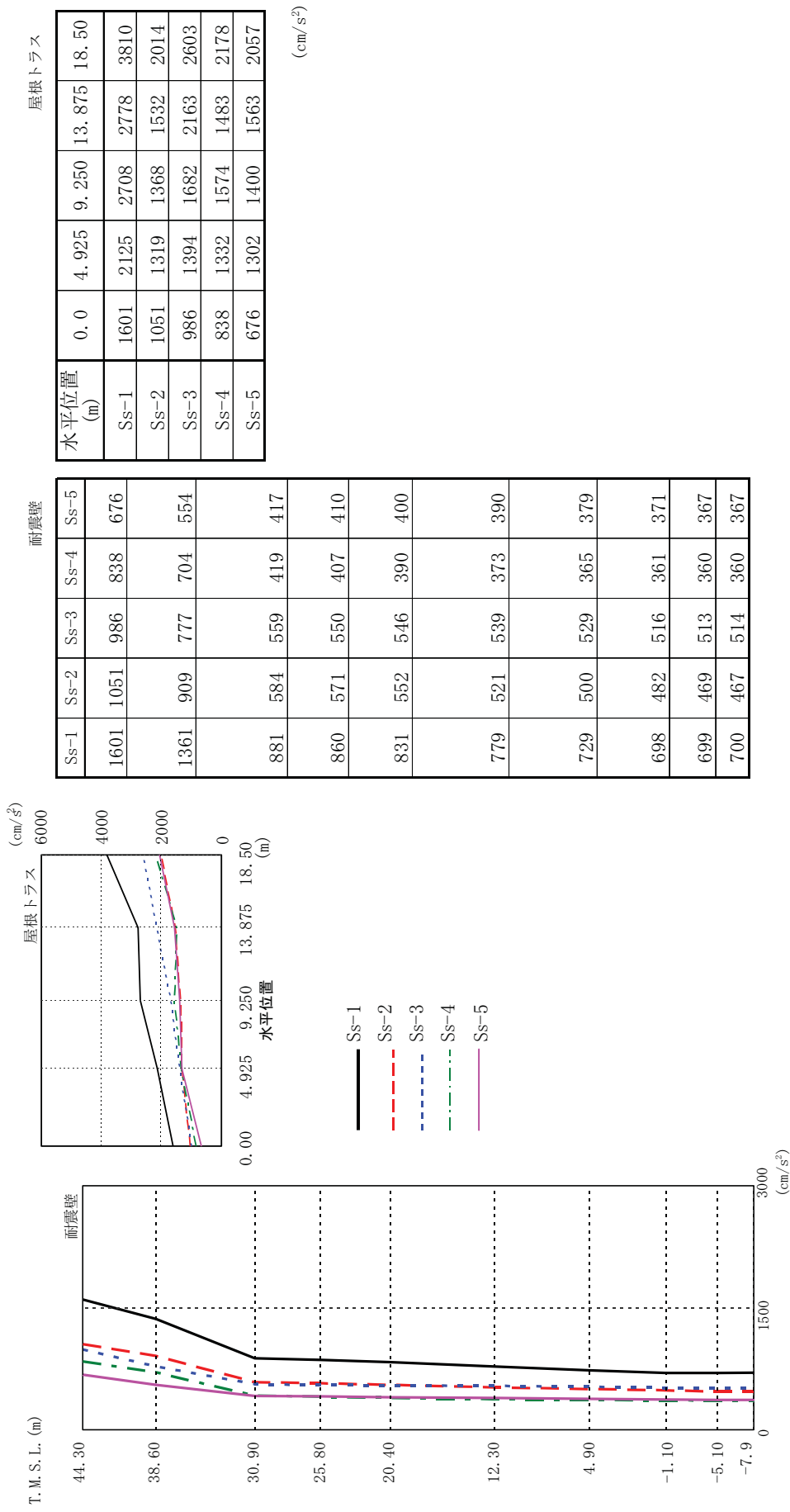


第 6.3.1-15 図 最大応答せん断力 (EW 方向)

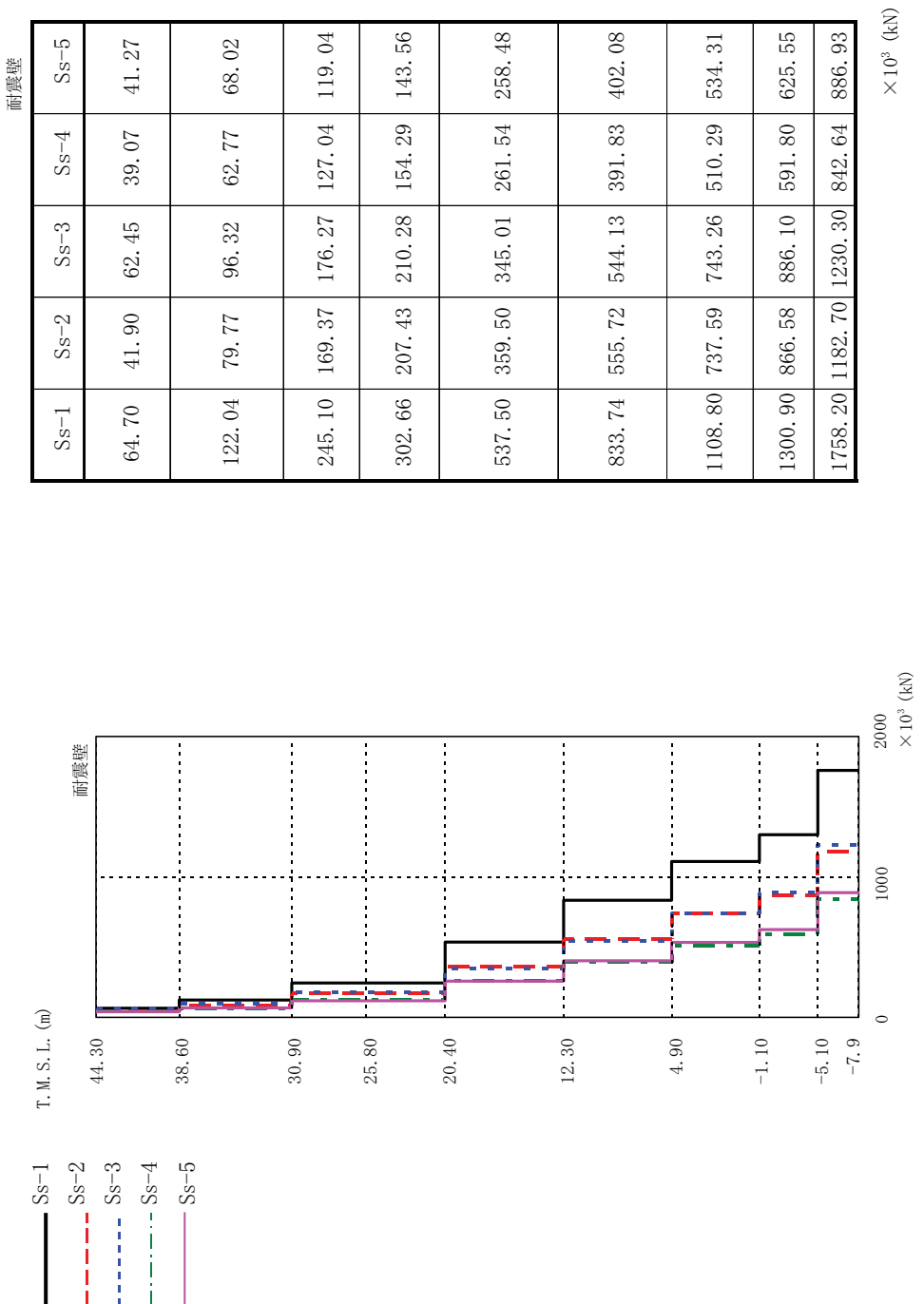




第 6.3.1-16 図 最大応答曲げモーメント (EW 方向)



第 6.3.1-17 図 最大応答加速度（鉛直方向）



第 6.3.1-18 図 最大応答軸力（鉛直方向）

6.3.1.4. 接地率

地震応答解析により得られた基礎版底面位置の最大転倒モーメントと、この結果から算出した接地率の検討結果を第6.3.1-9表に示す。

第 6.3.1-9 表 基準地震動 Ss による地震応答解析結果に基づく接地率

	基準地震動 Ss	Ss-1	Ss-2	Ss-3	Ss-4	Ss-5
NS 方 向	浮上り限界モーメント ($\times 10^7 \text{kNm}$)	4.12	4.12	4.12	4.12	4.12
	最大転倒モーメント M_{max} ($\times 10^7 \text{kNm}$)	3.11	2.36	2.44	1.56	1.44
	接地率 η (%)	100.0	100.0	100.0	100.0	100.0
EW 方 向	浮上り限界モーメント ($\times 10^7 \text{kNm}$)	3.49	3.49	3.49	3.49	3.49
	最大転倒モーメント M_{max} ($\times 10^7 \text{kNm}$)	2.86	2.75	2.25	2.13	2.51
	接地率 η (%)	100.0	100.0	100.0	100.0	100.0

6.3.1.5. 接地圧

基準地震動Ssによる地震応答解析結果^{※1}に基づく接地圧を第6.3.1-10表に示す。地盤の支持力試験の最大荷重は、 5982kN/m^2 (610tf/m^2) であり、地震時接地圧に対して十分な余裕がある。

※1 水平地震動による応力と組み合わせる場合の鉛直地震動による応力は、組み合わせ係数法により、係数0.4を考慮する。

第 6.3.1-10 表(1) 基準地震動 Ss による地震応答解析結果に基づく接地圧

(Ss-1)

		NS	EW	反力分布図 () 内は下向き地震時
鉛直力 N(kN)		上向き	2,127,150	<p>[NS 方向]</p> <p>509.1 kN/m² (615.5 kN/m²)</p>
		下向き	2,973,310	
転倒モーメント M($\times 10^5$ kNm)		310.80	285.69	<p>[EW 方向]</p> <p>530.2 kN/m² (636.6 kN/m²)</p>
		上向き	509.1	
最大接地圧 (kN/m ²)		下向き	615.5	
		上向き	530.2	
下向き		636.6		

※：地盤の支持力試験の最大荷重 5982kN/m²

(Ss-2)

		NS	EW	反力分布図 () 内は下向き地震時
鉛直力 N(kN)		上向き	2,317,810	<p>[NS 方向]</p> <p>475.2 kN/m² (533.7 kN/m²)</p>
		下向き	2,782,650	
転倒モーメント M($\times 10^5$ kNm)		236.38	274.80	<p>[EW 方向]</p> <p>544.2 kN/m² (602.6 kN/m²)</p>
		上向き	475.2	
最大接地圧 (kN/m ²)		下向き	533.7	
		上向き	544.2	
下向き		602.6		

※：地盤の支持力試験の最大荷重 5982kN/m²

(Ss-3)

		NS	EW	反力分布図 () 内は下向き地震時
鉛直力 N(kN)		上向き	2,153,774	<p>[NS 方向]</p> <p>460.4 kN/m² (560.1 kN/m²)</p>
		下向き	2,946,686	
転倒モーメント M($\times 10^5$ kNm)		243.89	224.76	<p>[EW 方向]</p> <p>477.5 kN/m² (577.2 kN/m²)</p>
		上向き	460.4	
最大接地圧 (kN/m ²)		下向き	560.1	
		上向き	477.5	
下向き		577.2		

※：地盤の支持力試験の最大荷重 5982kN/m²

第 6.3.1-10 表(2) 基準地震動 Ss による地震応答解析結果に基づく接地圧
(Ss-4)

		NS	EW	反力分布図 () 内は下向き地震時
鉛直力 N(kN)		上向き	2,354,042	<p>[NS 方向] 417.6 kN/m² (466.9 kN/m²)</p>
		下向き	2,746,418	
転倒モーメント M(×10 ⁵ kNm)		156.42	212.52	
最大接地圧 (kN/m ²)	上向き	417.6	491.5	<p>[EW 方向] 491.5 kN/m² (540.8 kN/m²)</p>
	下向き	466.9	540.8	

※：地盤の支持力試験の最大荷重 5982kN/m²

(Ss-5)

		NS	EW	反力分布図 () 内は下向き地震時
鉛直力 N(kN)		上向き	2,316,414	<p>[NS 方向] 403.2 kN/m² (462.0 kN/m²)</p>
		下向き	2,784,046	
転倒モーメント M(×10 ⁵ kNm)		144.03	250.98	
最大接地圧 (kN/m ²)	上向き	403.2	522.1	<p>[EW 方向] 522.1 kN/m² (580.9 kN/m²)</p>
	下向き	462.0	580.9	

※：地盤の支持力試験の最大荷重 5982kN/m²

6.3.2. 評価基準

耐震安全性評価に当たっては、機能維持部位が構造物として変形能力（終局耐力時の変形）について十分な余裕を有し、建物の終局耐力に対し、妥当な安全余裕を有していることを確認する観点から、タービン建屋の主たる耐震要素である耐震壁の安全性について評価する。

評価は、機能維持部位における耐震壁の基準地震動Ssによる最大せん断ひずみが、評価基準値 (2.0×10^{-3}) を超えないことを確認する（「JEAG 4601 - 1991」に準拠）。

6.3.3. 耐震安全性評価結果

第6.3.3-1表および第6.3.3-2表に機能維持部位における耐震壁のせん断ひずみ一覧を、第6.3.3-1図および第6.3.3-2図に振動モデルの概念図を示す。また、第6.3.3-3図～第6.3.3-10図に基準地震動Ssに対する最大応答値を耐震壁のせん断スケルトン曲線上に示す。せん断ひずみは、最大で 0.22×10^{-3} (Ss-1, EW方向,B2F) であり、評価基準値 (2.0×10^{-3}) を満足している。

第6.3.3-1表 機能維持部位における耐震壁のせん断ひずみ一覧

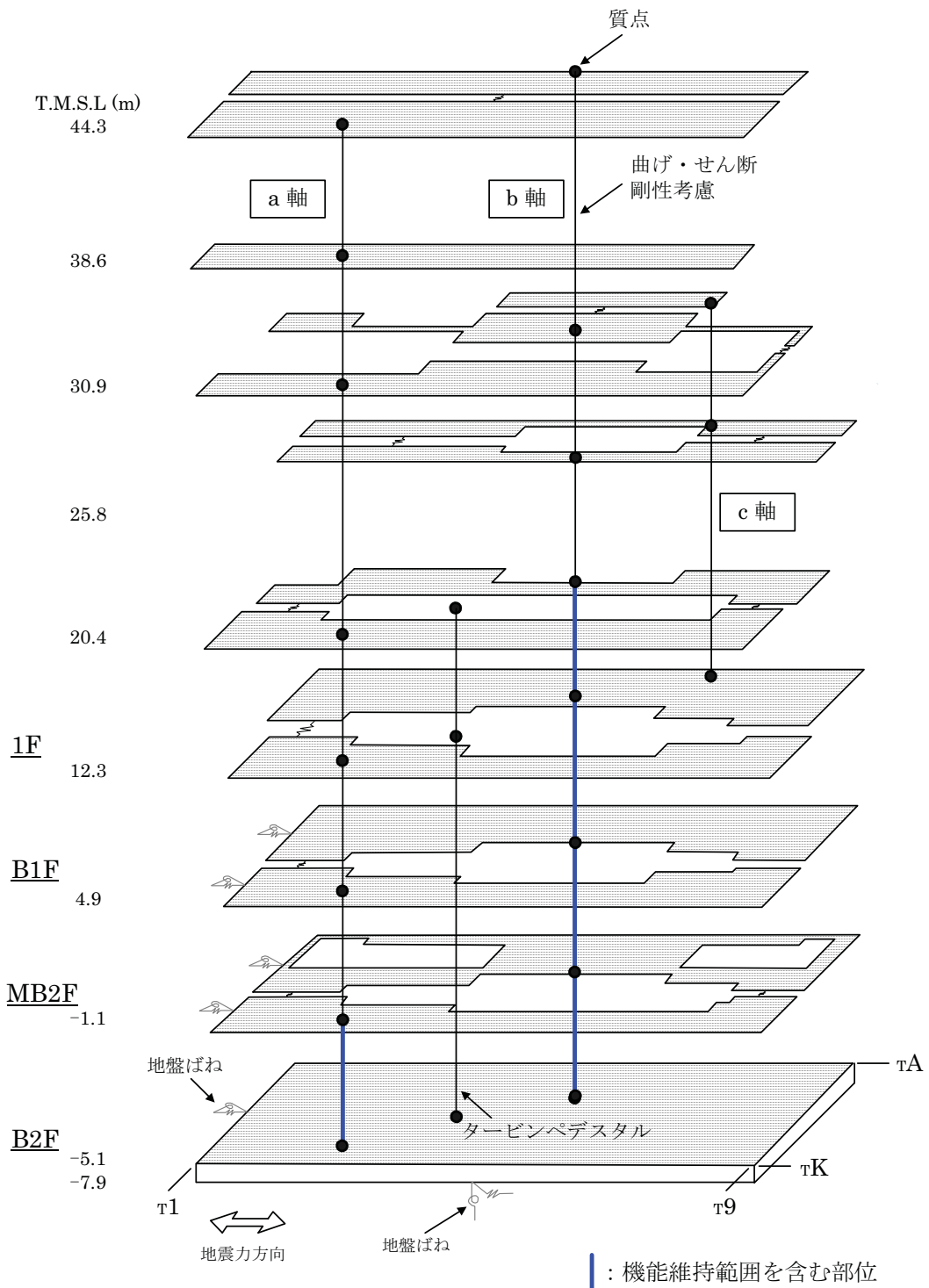
(NS方向)

a軸 ($\times 10^{-3}$)

階	Ss-1	Ss-2	Ss-3	Ss-4	Ss-5	評価基準値
B2F	0.20	0.16	0.16	0.09	0.09	2.0以下

b軸 ($\times 10^{-3}$)

階	Ss-1	Ss-2	Ss-3	Ss-4	Ss-5	評価基準値
1F	0.12	0.09	0.10	0.05	0.05	2.0以下
B1F	0.12	0.09	0.09	0.05	0.05	
MB2F	0.13	0.09	0.10	0.05	0.05	
B2F	0.16	0.11	0.12	0.07	0.07	



第 6.3.3-1 図 振動モデルの概念図 (NS 方向)

第 6.3.3-2 表 機能維持部位における耐震壁のせん断ひずみ一覧

(EW方向)

a軸 ($\times 10^{-3}$)

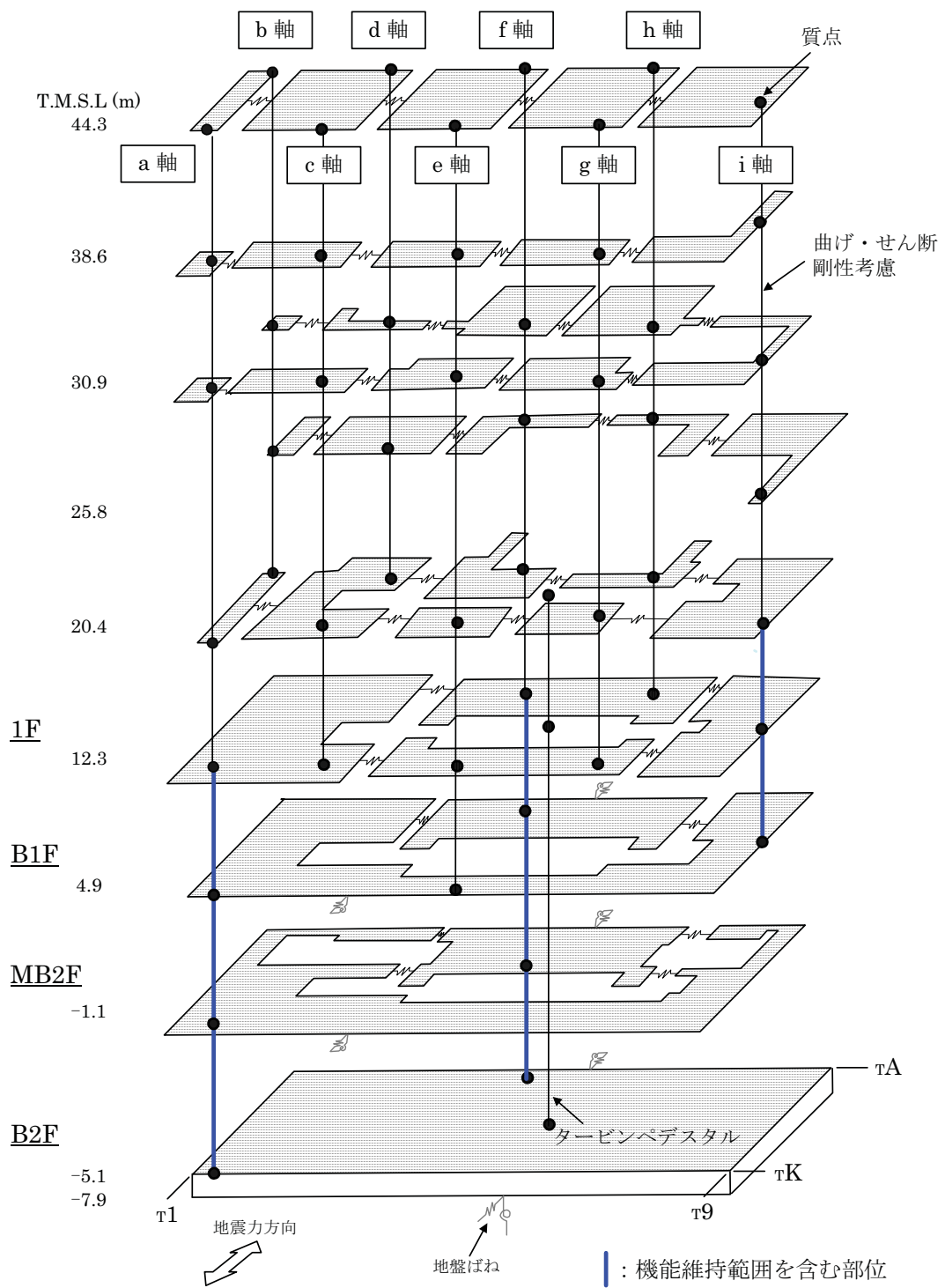
階	Ss-1	Ss-2	Ss-3	Ss-4	Ss-5	評価基準値
B1F	0.14	0.15	0.12	0.11	0.13	2.0以下
MB2F	0.17	0.18	0.14	0.15	0.15	
B2F	0.19	0.19	0.14	0.15	0.16	

f軸 ($\times 10^{-3}$)

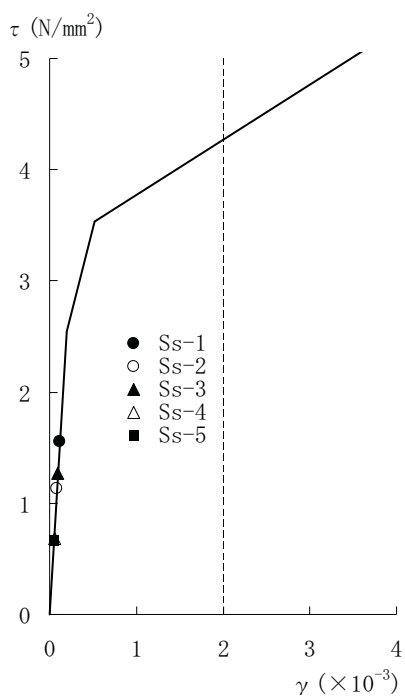
階	Ss-1	Ss-2	Ss-3	Ss-4	Ss-5	評価基準値
B1F	0.10	0.08	0.07	0.05	0.06	2.0以下
MB2F	0.16	0.14	0.11	0.10	0.11	
B2F	0.22	0.21	0.16	0.16	0.16	

i軸 ($\times 10^{-3}$)

階	Ss-1	Ss-2	Ss-3	Ss-4	Ss-5	評価基準値
1F	0.16	0.16	0.17	0.14	0.15	2.0以下
B1F	0.18	0.20	0.16	0.16	0.17	

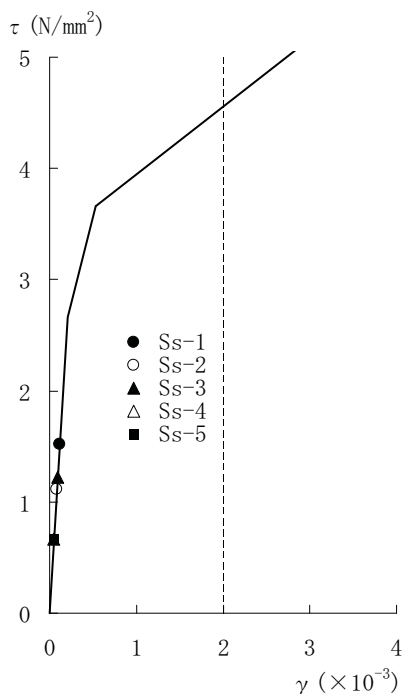


第 6.3.3-2 図 振動モデルの概念図 (EW 方向)



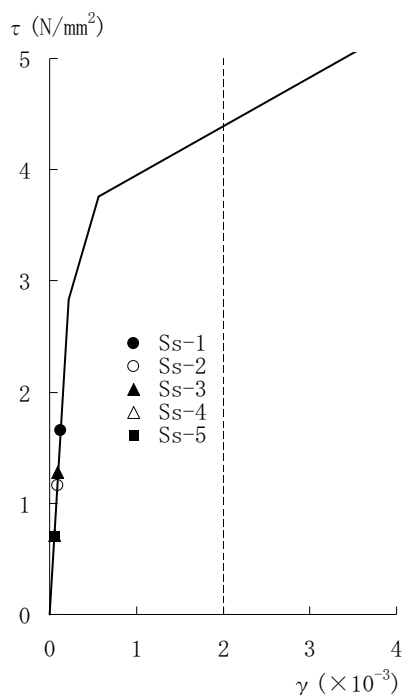
[b 軸]

第 6.3.3-3 図 せん断スケルトン曲線上の最大応答値
(NS 方向, 1F)



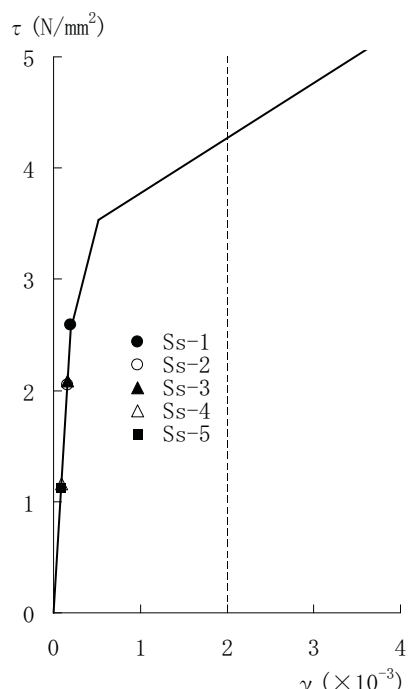
[b 軸]

第 6.3.3-4 図 せん断スケルトン曲線上の最大応答値
(NS 方向, B1F)

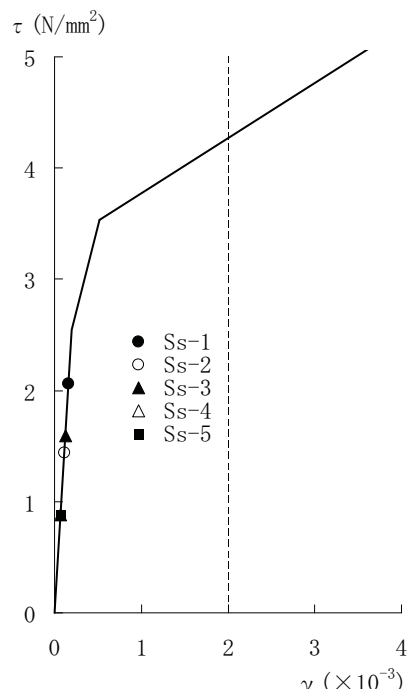


[b 軸]

第 6.3.3-5 図 せん断スケルトン曲線上の最大応答値
(NS 方向, MB2F)

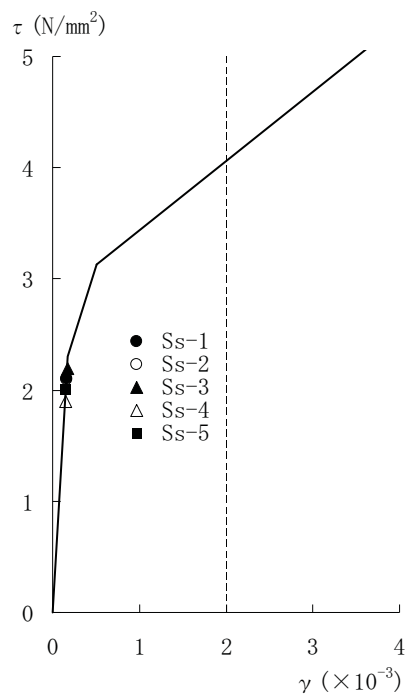


[a 軸]



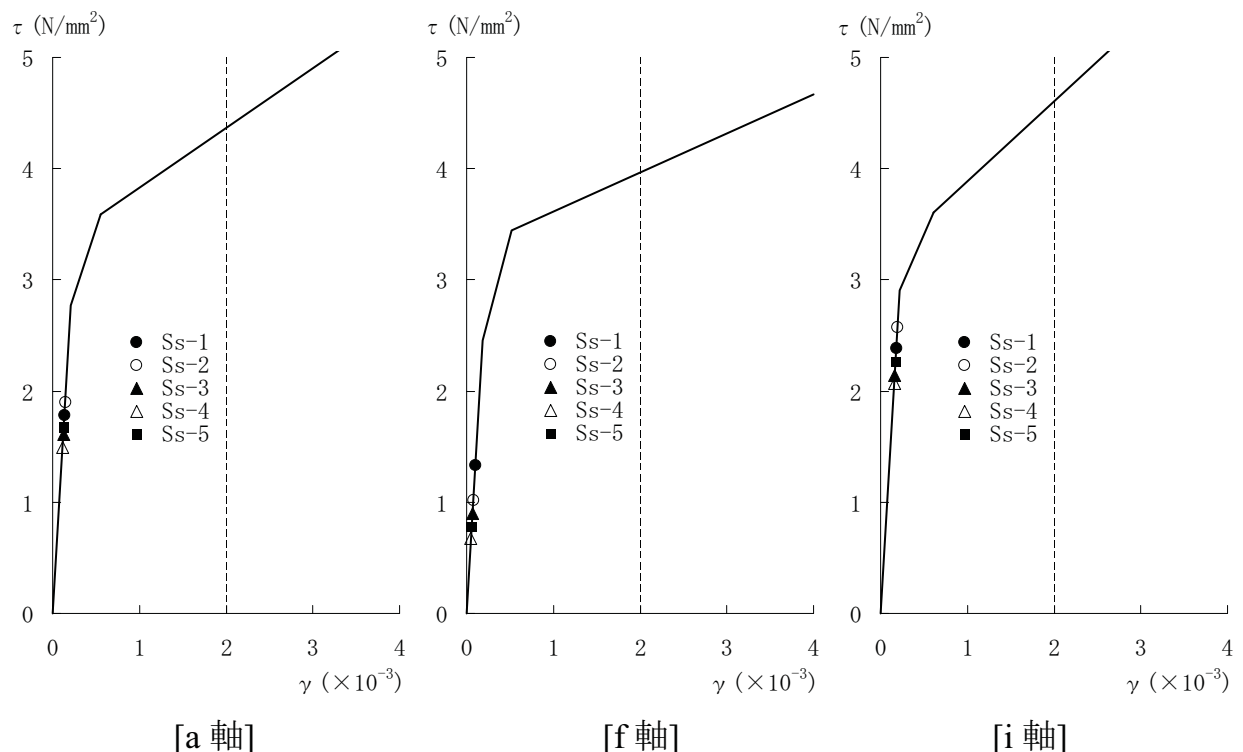
[b 軸]

第 6.3.3-6 図 せん断スケルトン曲線上の最大応答値
(NS 方向, B2F)

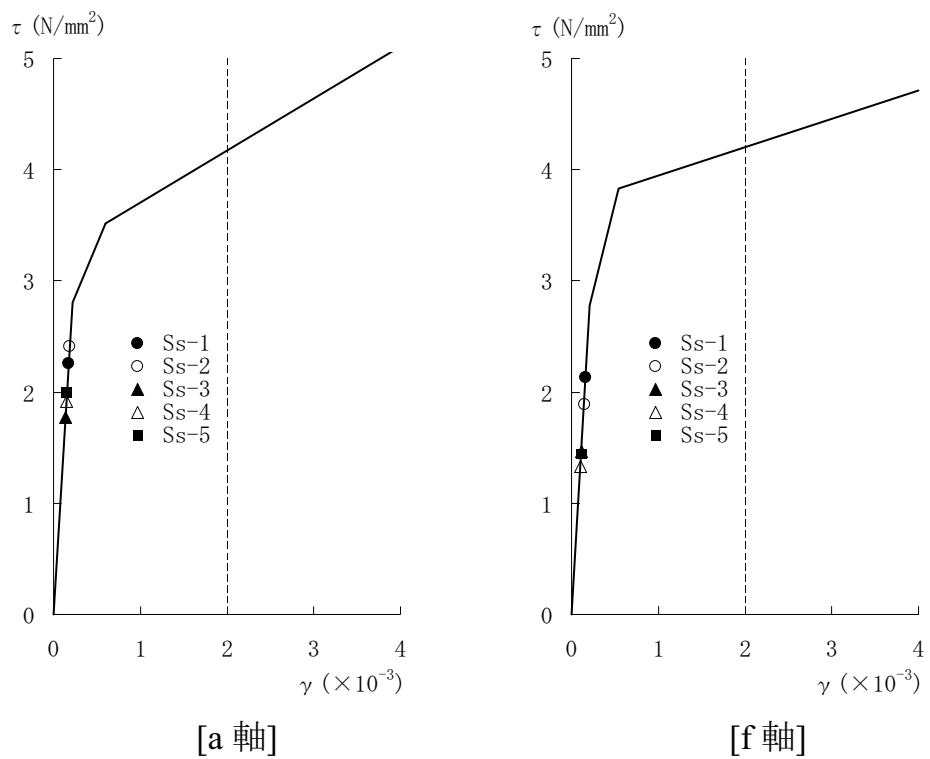


[i 軸]

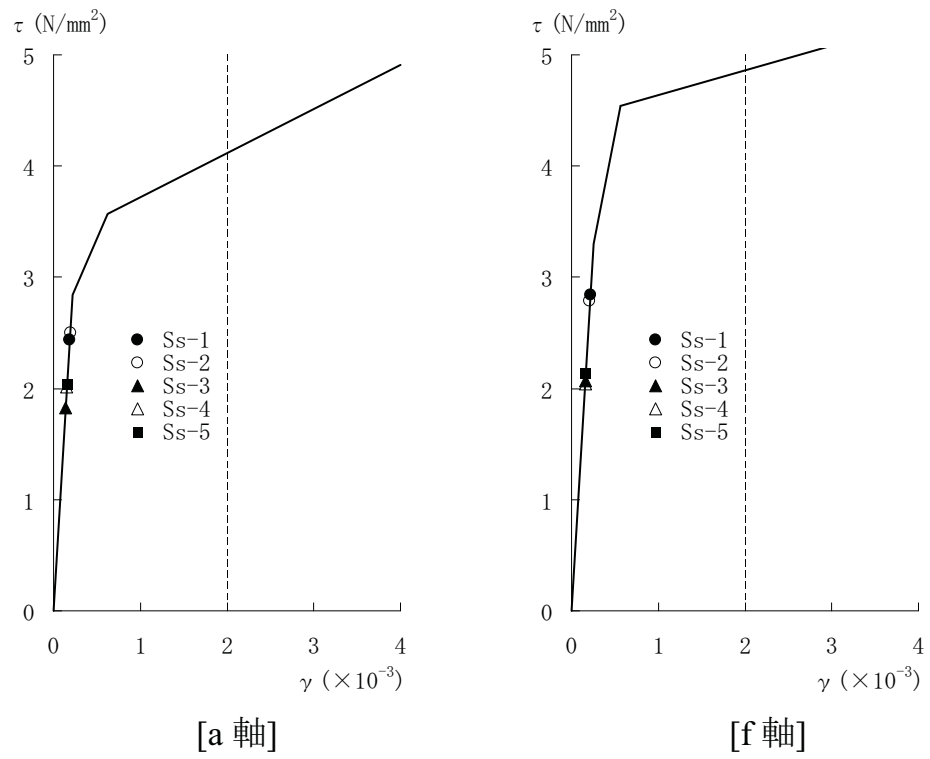
第 6.3.3-7 図 せん断スケルトン曲線上の最大応答値
(EW 方向, 1F)



第 6.3.3-8 図 せん断スケルトン曲線上の最大応答値
(EW 方向, B1F)



第 6.3.3-9 図 せん断スケルトン曲線上の最大応答値
(EW 方向, MB2F)



第 6.3.3-10 図 せん断スケルトン曲線上の最大応答値
(EW 方向, B2F)

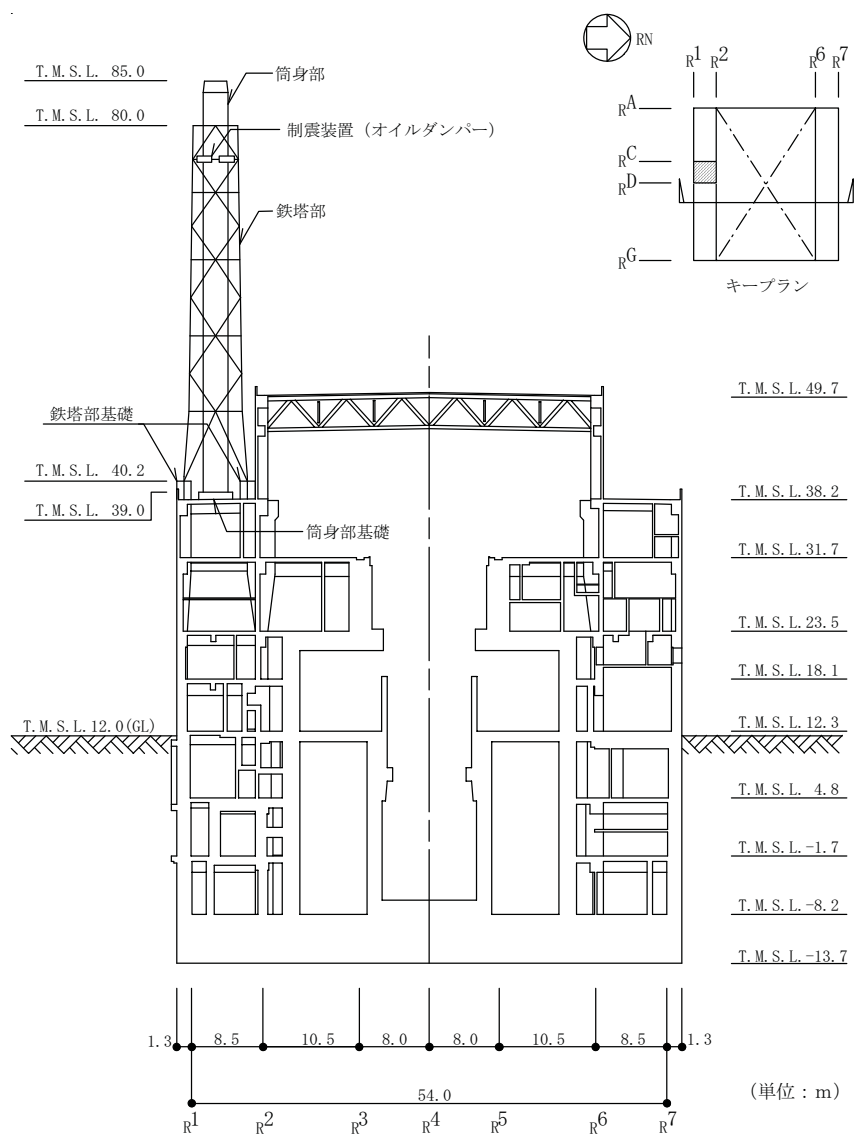
6.4. 排気筒の耐震安全性評価

6.4.1. 地震応答解析

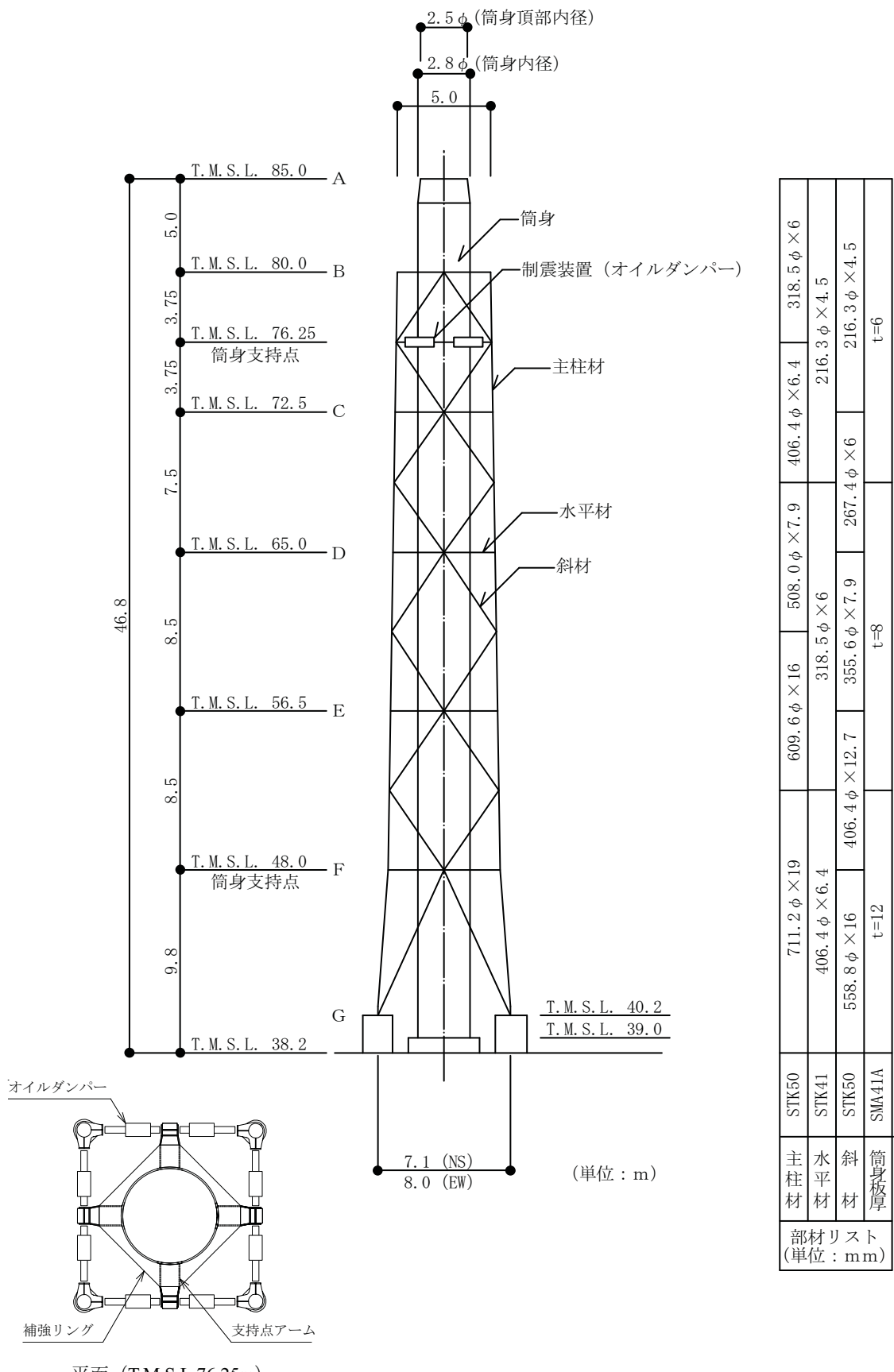
6.4.1.1. 排気筒の概要

排気筒は、原子炉建屋 $R^1 \sim R^2$, $R^C \sim R^D$ 間の屋上 (T.M.S.L. 38.2m) に位置し、内径 2.8m の鋼板製筒身（換気空調系用排気筒）を鋼管四角形鉄塔（制震装置付）で支えた鉄塔支持形排気筒である。また、筒身内部には、非常用ガス処理系（以下、「SGTS」という）用排気筒が筒身に支持されている。

排気筒の概要を第 6.4.1-1 図および第 6.4.1-2 図に、材料諸元を第 6.4.1-1 表に示す。



第 6.4.1-1 図 排気筒の概要 (その 1)



第 6.4.1-2 図 排気筒の概要 (その 2)

第 6.4.1-1 表 排気筒の材料諸元

部位	材料	ヤング係数 E (N/mm ²)	ポアソン比 ν	単位体積重量 γ (kN/m ³)	減衰定数 h (%)
鉄塔部 筒身部	鉄骨	2.05×10^5	0.3	77.0	2
基礎	コンクリート	3.13×10^4	0.2	25.0	5

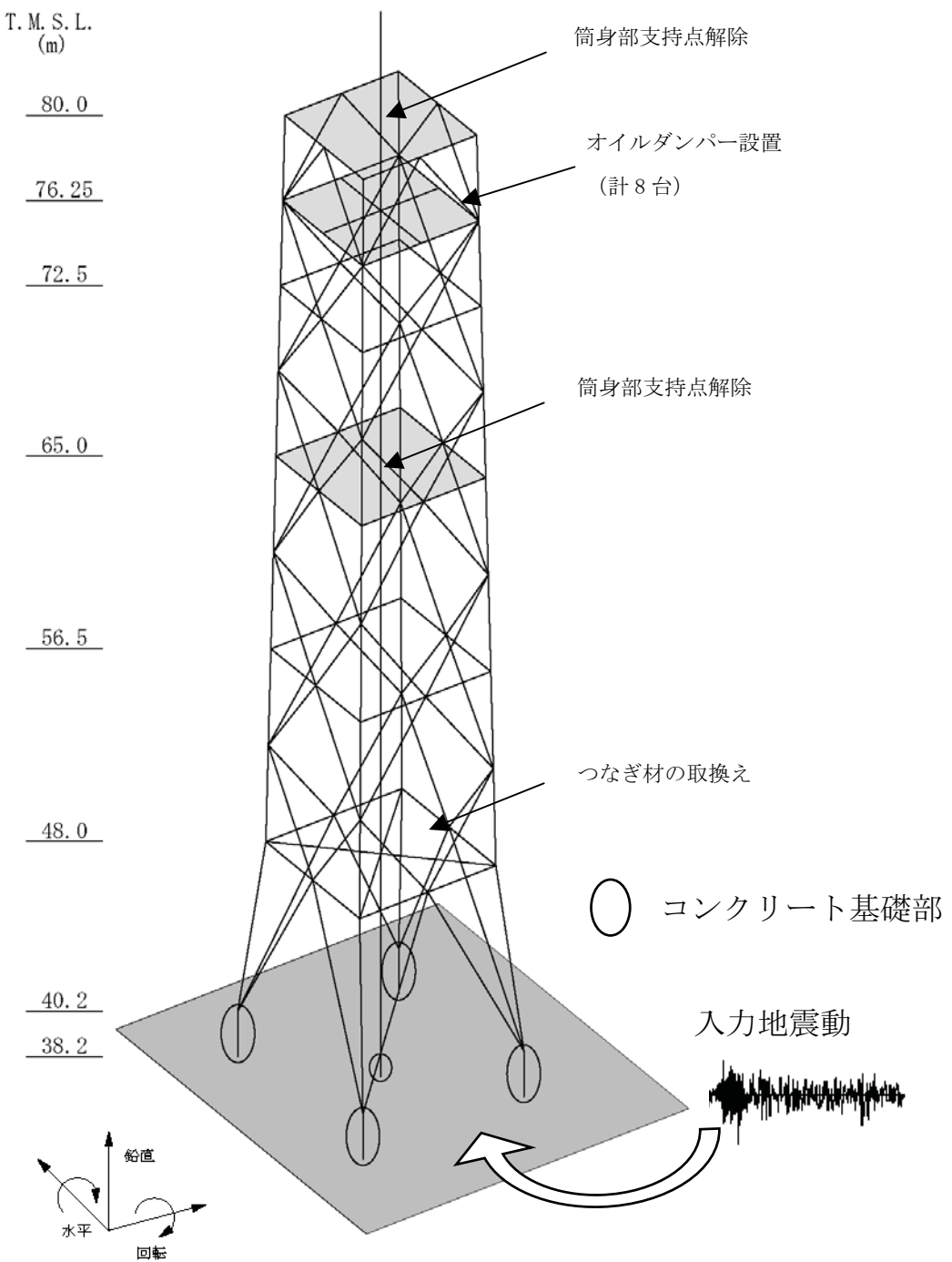
6.4.1.2. 地震応答解析モデル

排気筒の地震応答解析モデルは、屋上（T.M.S.L.38.2m）より上部を立体的にモデル化した立体架構モデルとする。

解析モデルの概要を第 6.4.1-3 図に示す。また、制震装置（オイルダンパー）の概要を第 6.4.1-4 図に、諸元を第 6.4.1-2 表に示す。

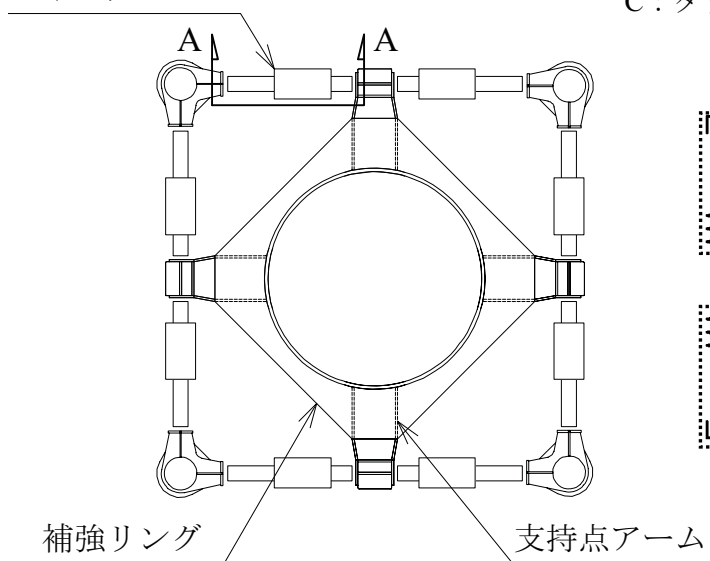
解析モデルへの入力は、原子炉建屋全体の地震応答解析結果から得られる屋上レベル（T.M.S.L.38.2m）における応答結果を用いることとし、排気筒の基礎位置を固定として入力する（水平、鉛直、回転成分）。代表として Ss-2 による応答波を第 6.4.1-5 図に示す（参考資料 6.2 を参照）。

また、地震応答解析における減衰評価は、剛性比例型減衰を用いている（鉄骨造の減衰として 2%，コンクリート造の減衰として 5%を与えることとしている）。

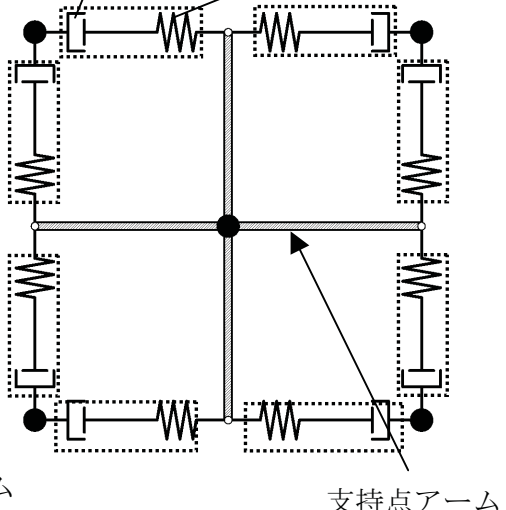


第 6.4.1-3 図 排気筒の地震応答解析モデル

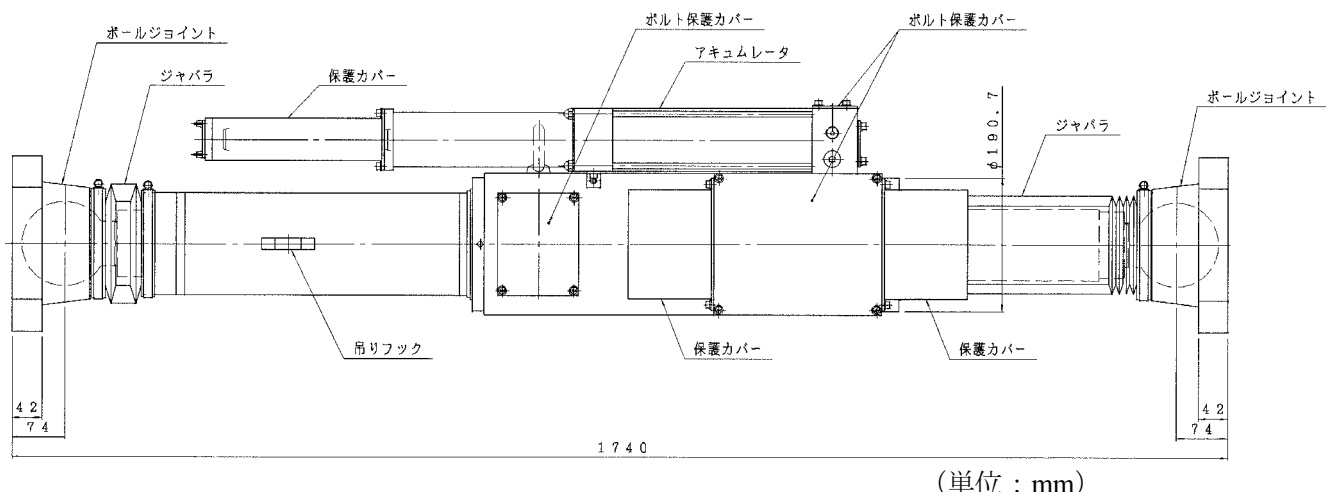
オイルダンパー



平面図 (T.M.S.L.76.25m)

オイルダンパー
C: ダッシュポット K: ばね

モデル概要図

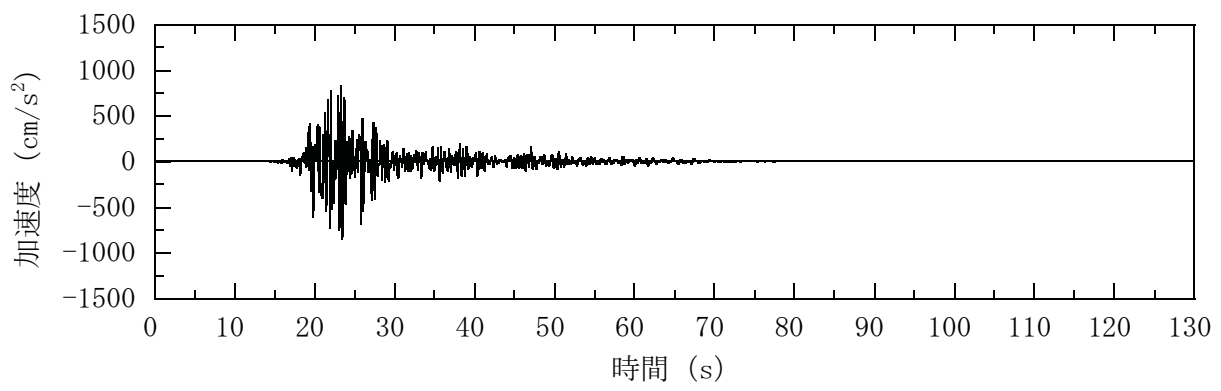


オイルダンパー詳細図

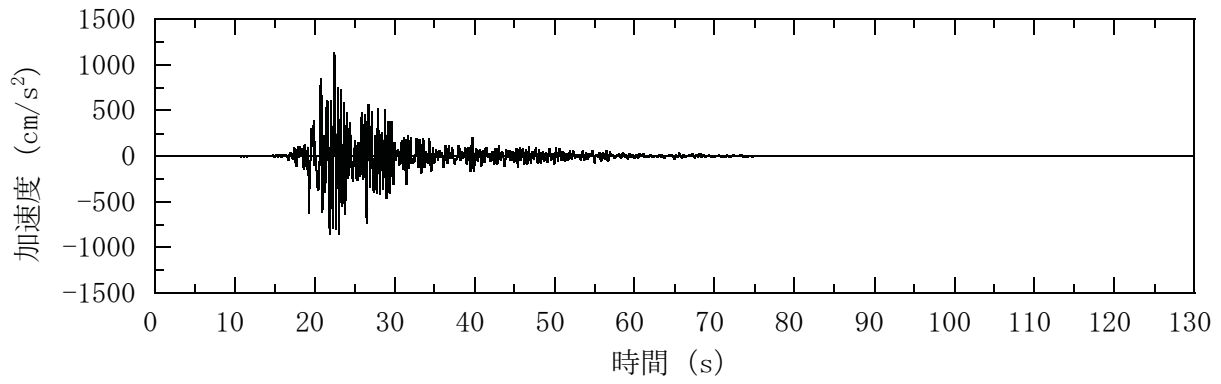
第 6.4.1-4 図 オイルダンパーの概要

第 6.4.1-2 表 オイルダンパー諸元

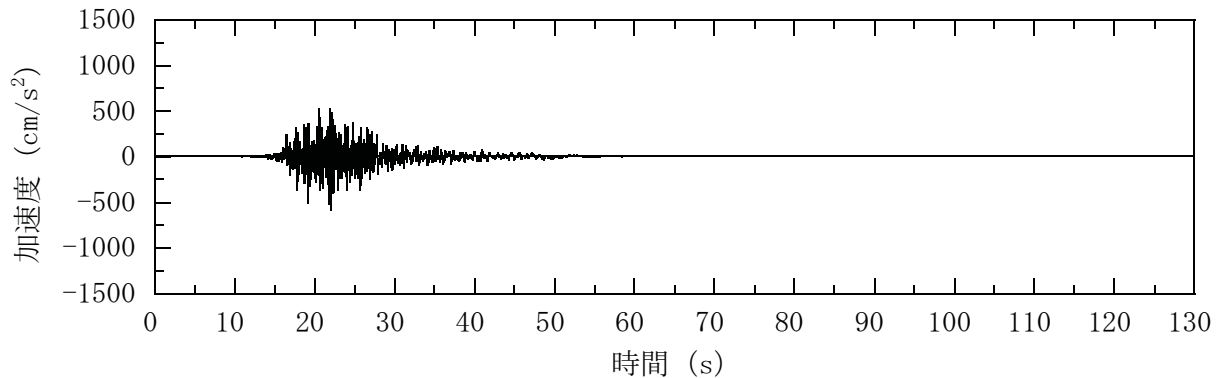
重量	6.0	(kN/台)
ばね定数	$K = 0.3 \times 10^5$	(kN/m)
減衰係数	$C = 1.05 \times 10^2$	(kNs/m)



(a) NS 方向 (水平)

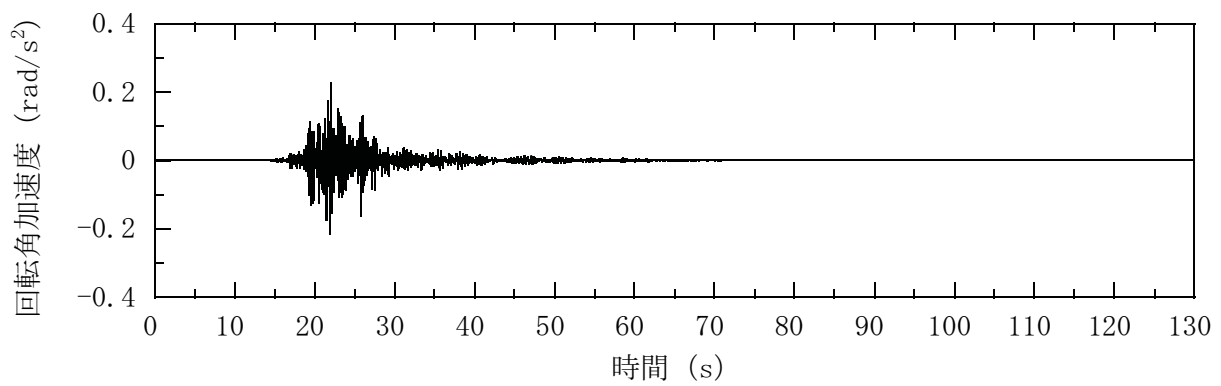


(b) EW 方向 (水平)

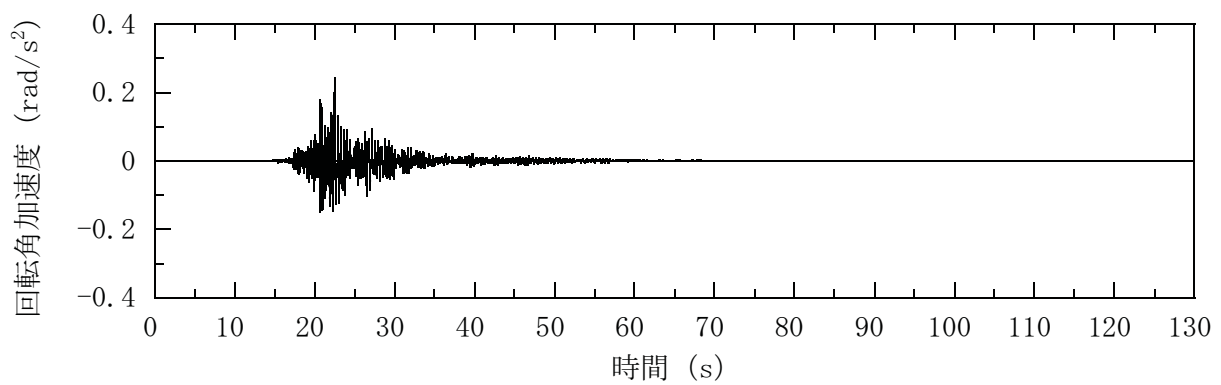


(c) 鉛直方向

第 6.4.1-5 図(1) 屋上レベル (T.M.S.L.38.2m) の加速度波形
(Ss-2, 水平, 鉛直成分)



(d) NS 方向 (回転)



(e) EW 方向 (回転)

第 6.4.1-5 図(2) 屋上レベル (T.M.S.L.38.2m) の加速度波形
(Ss-2, 回転成分)

6.4.1.3. 地震応答解析結果

地震応答解析モデルの固有値（固有周期、固有振動数）および刺激係数を第 6.4.1-3 表および第 6.4.1-6 図に示す。

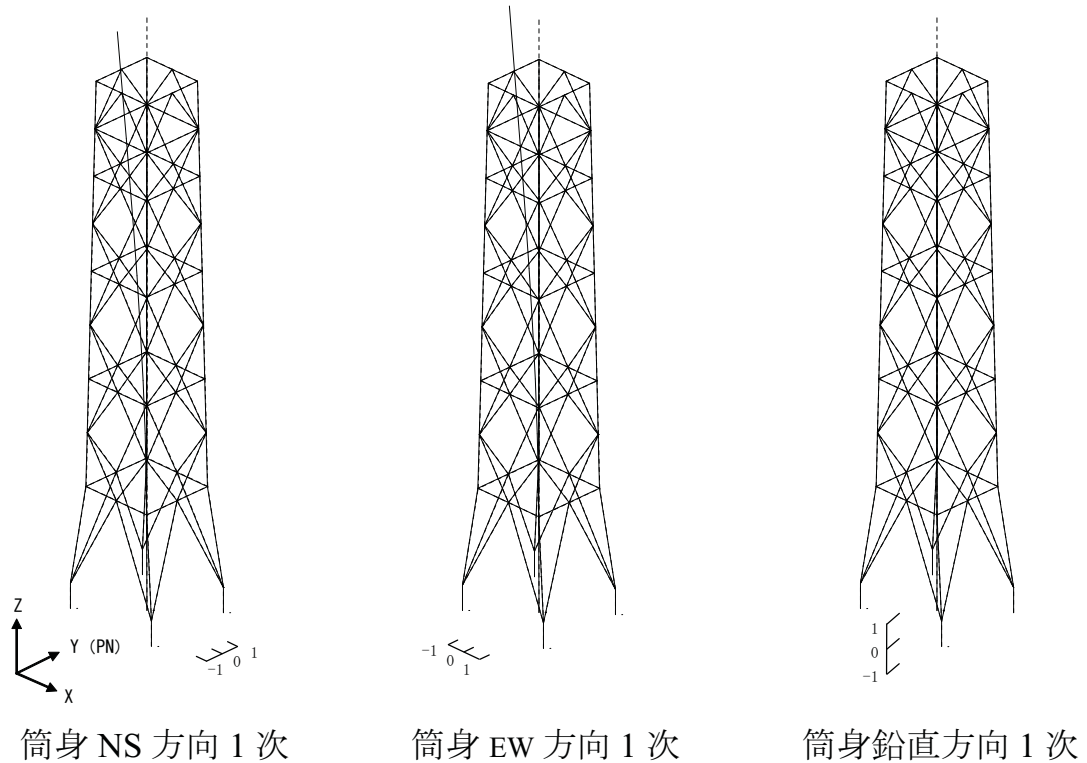
基準地震動 Ss による鉄塔部および筒身部の最大応答加速度、最大応答変位、最大応答軸力および最大応答曲げモーメントを第 6.4.1-7 図～第 6.4.1-11 図に示す。

第 6.4.1-3 表 固有値（固有周期、固有振動数）および刺激係数

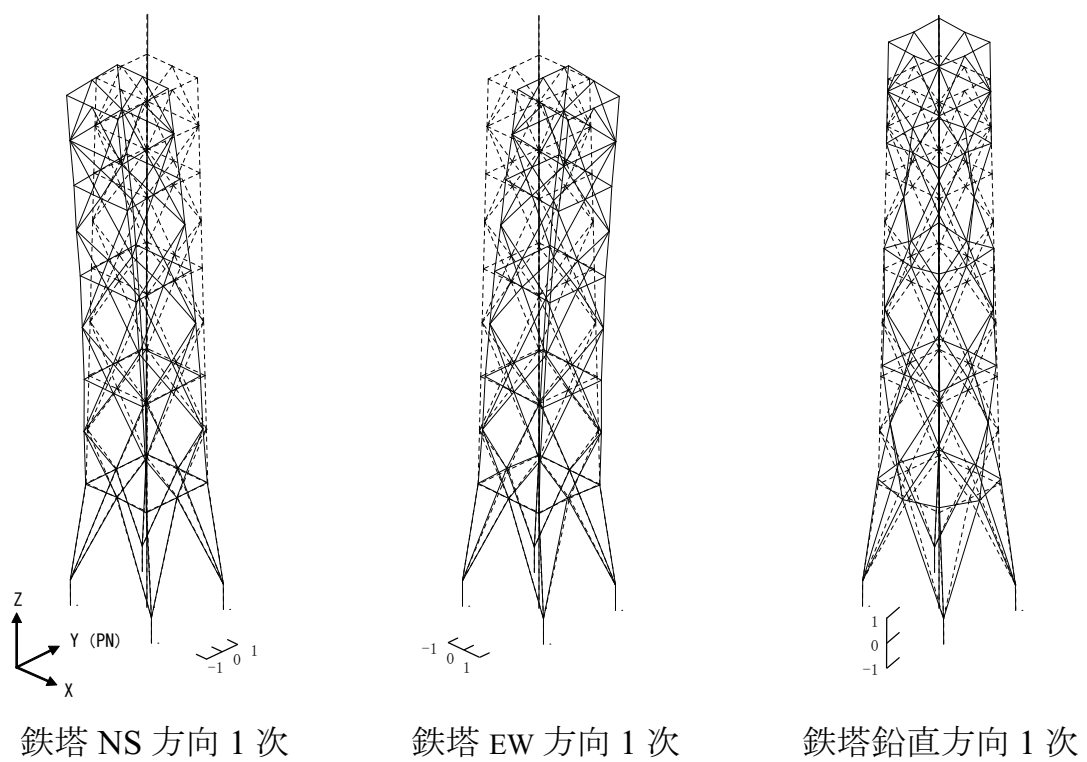
次数	振動数 (Hz)	周期 (s)	刺激係数 *			備考
			X	Y	Z	
1	1.20	0.832	0.000	-1.566	0.000	筒身NS方向1次
2	1.21	0.828	-1.543	0.000	0.000	筒身EW方向1次
4	3.66	0.273	0.000	-1.565	0.000	鉄塔NS方向1次
5	3.67	0.272	1.524	0.000	0.000	鉄塔EW方向1次
7	7.73	0.129	0.000	1.433	0.000	筒身NS方向2次
8	7.85	0.127	-1.376	0.000	0.000	筒身EW方向2次
10	11.00	0.091	0.000	-0.843	0.000	鉄塔NS方向2次
11	11.33	0.088	0.869	0.000	-0.001	鉄塔EW方向2次
18	20.24	0.049	0.006	0.000	1.612	鉄塔鉛直方向1次
19	20.39	0.049	0.000	0.000	-1.266	筒身鉛直方向1次

注*：モードごとに固有ベクトルの最大値を 1 に基準化して得られる刺激係数を示す。

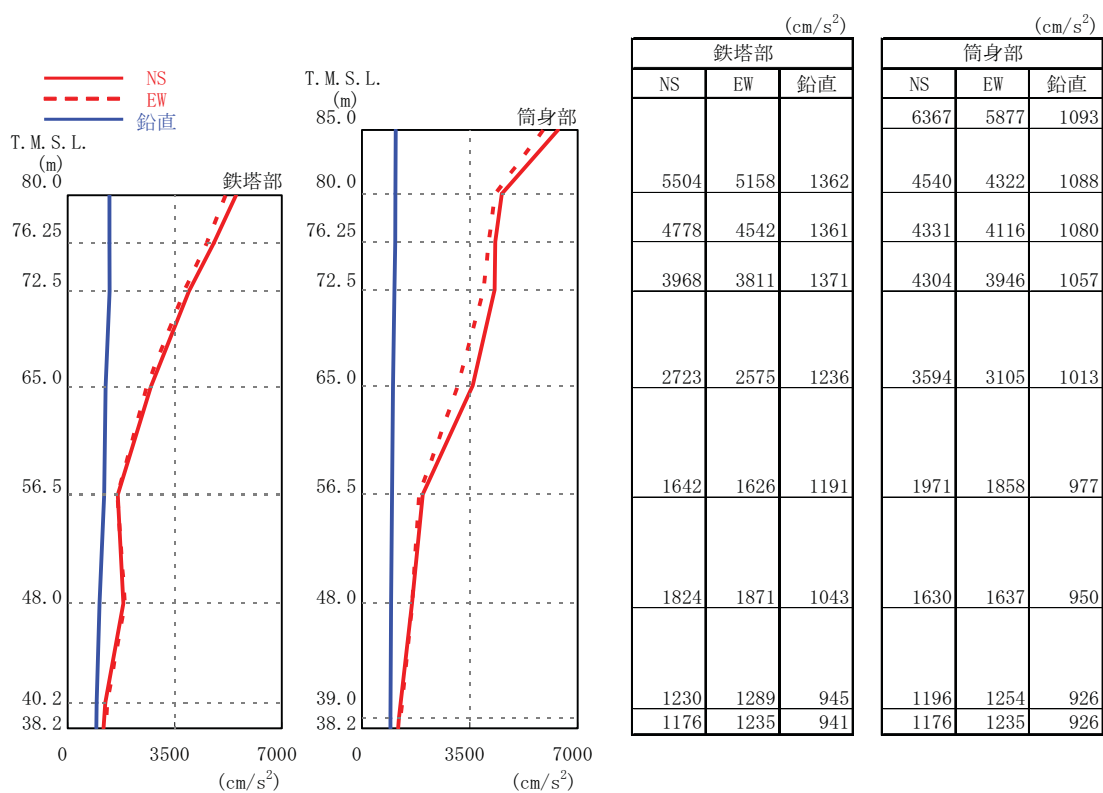
(筒身部)



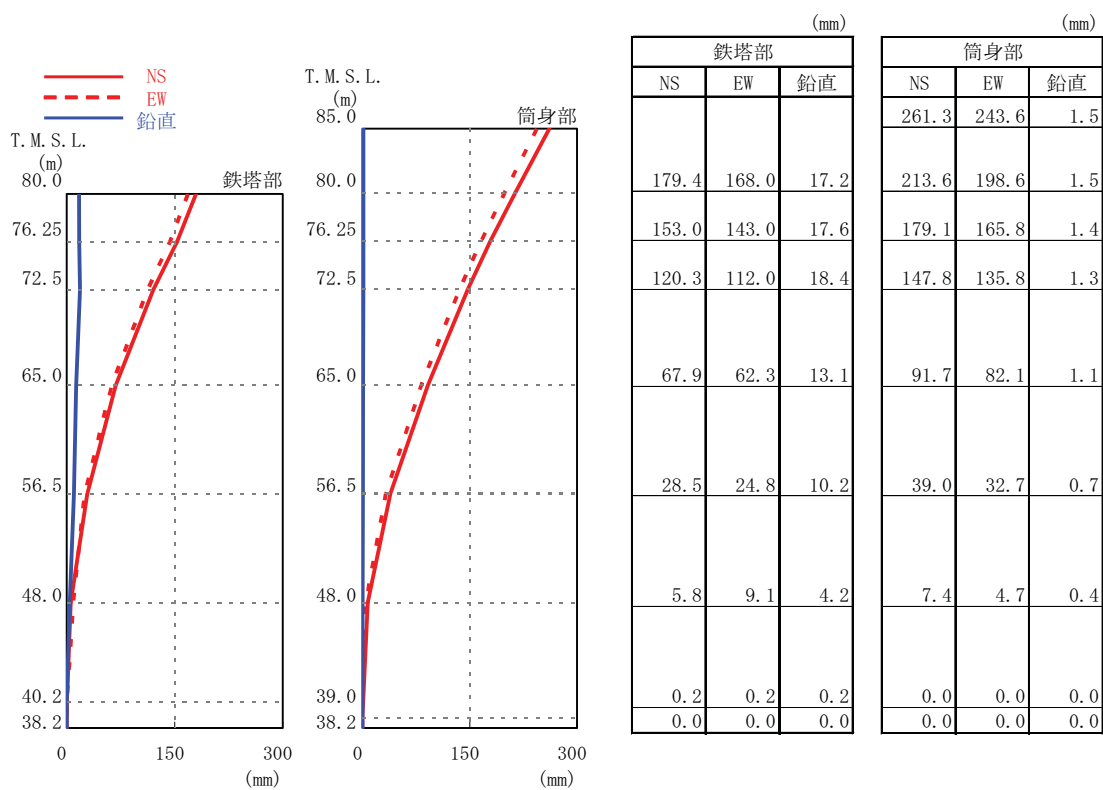
(鉄塔部)



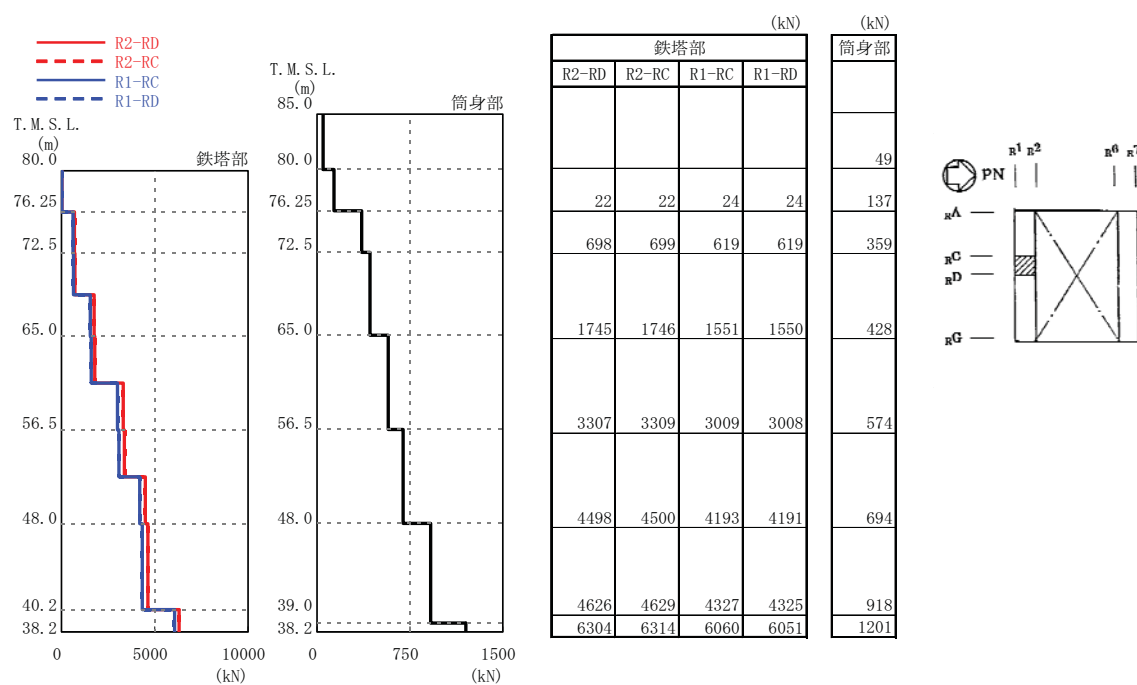
第 6.4.1-6 図 固有値解析結果 (刺激係数)



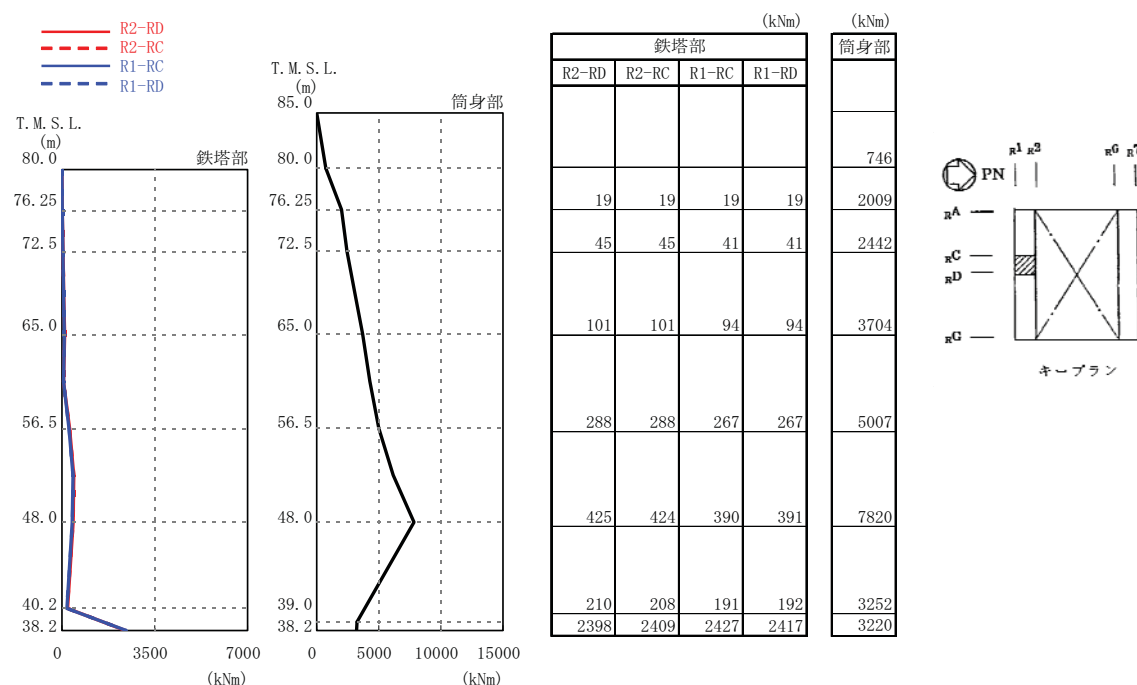
第 6.4.1-7 図(1) 最大応答加速度 (Ss-1)



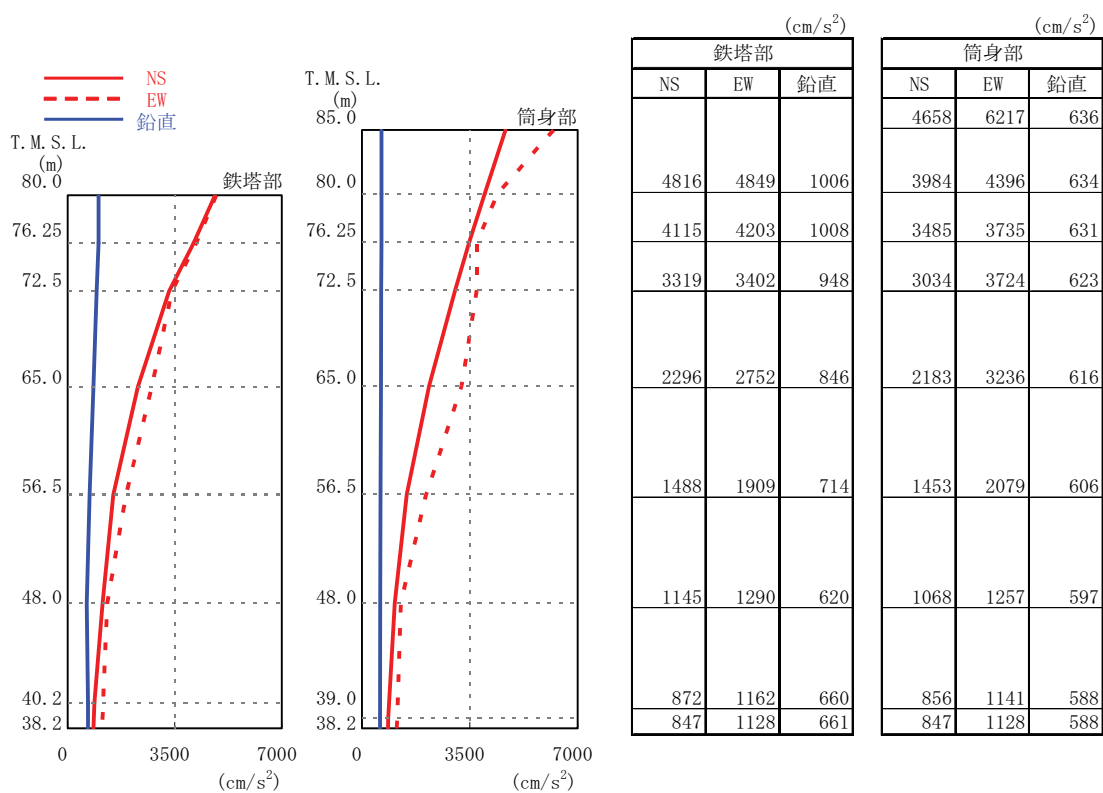
第 6.4.1-7 図(2) 最大応答変位 (Ss-1)



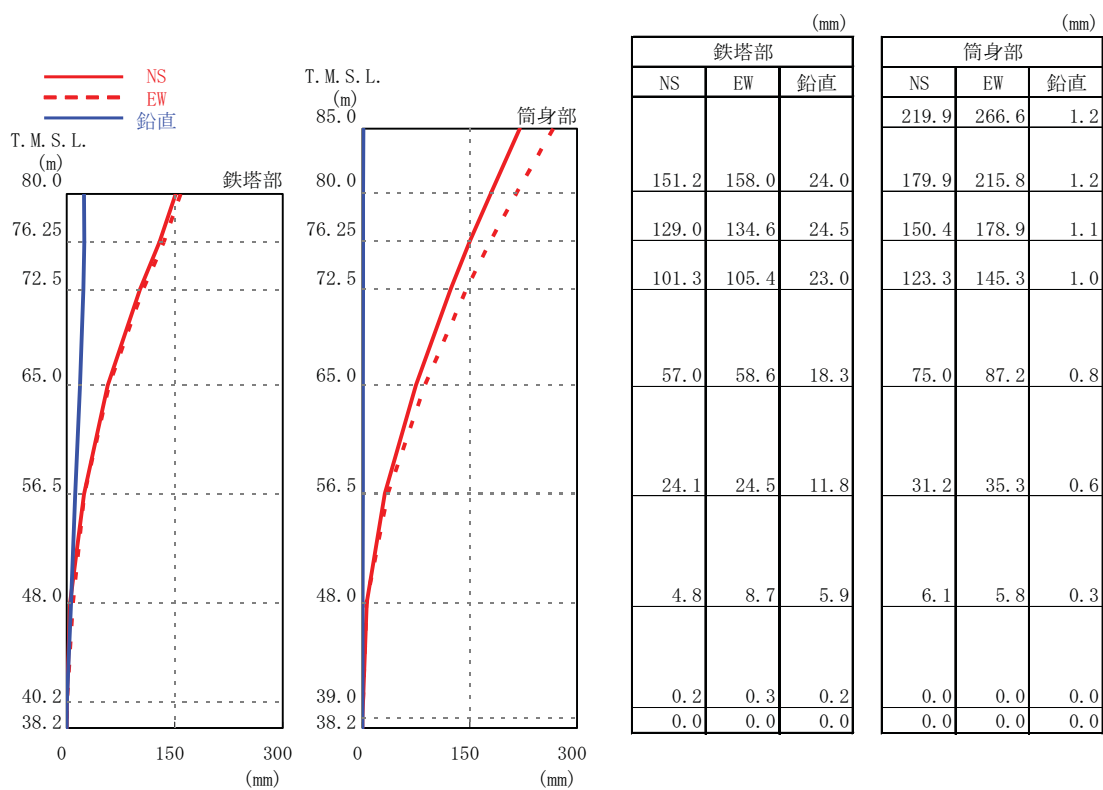
第 6.4.1-7 図(3) 最大応答軸力 (Ss-1)



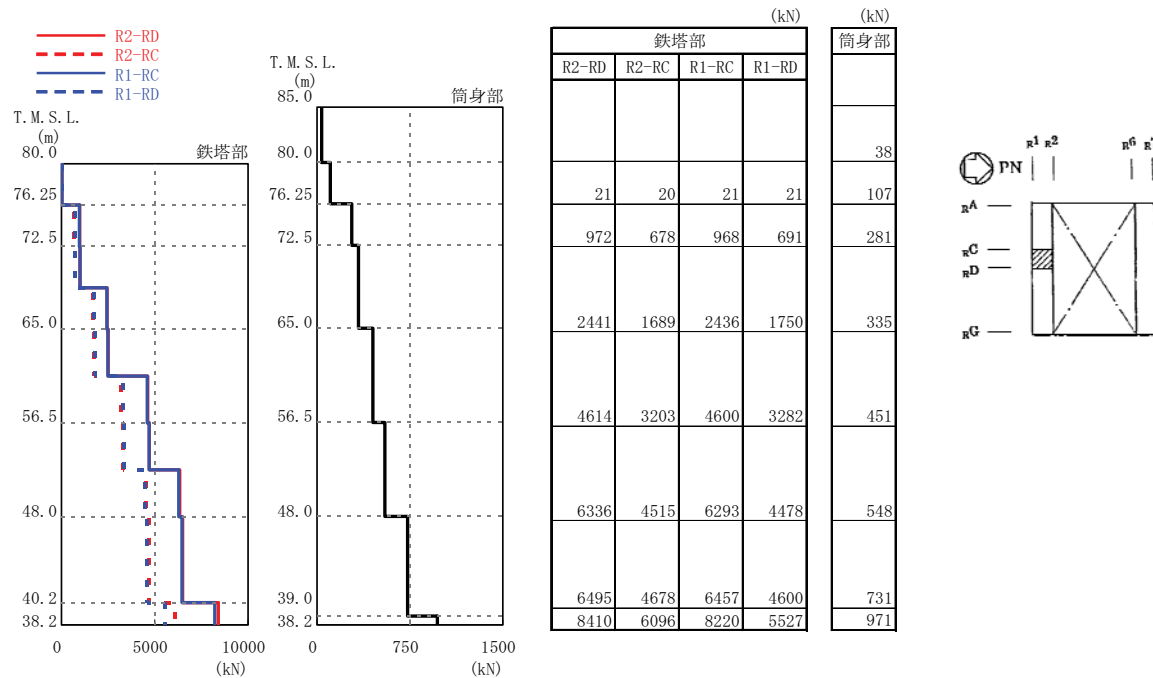
第 6.4.1-7 図(4) 最大応答曲げモーメント (Ss-1)



第 6.4.1-8 図(1) 最大応答加速度 (Ss-2)

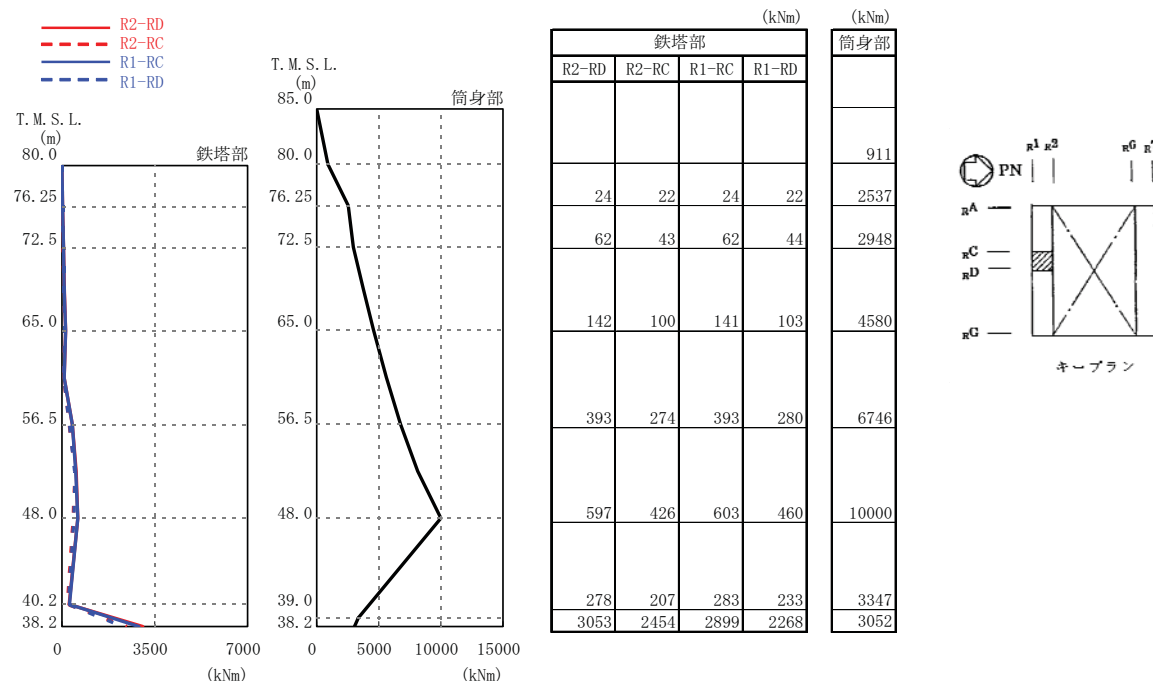


第 6.4.1-8 図(2) 最大応答変位 (Ss-2)



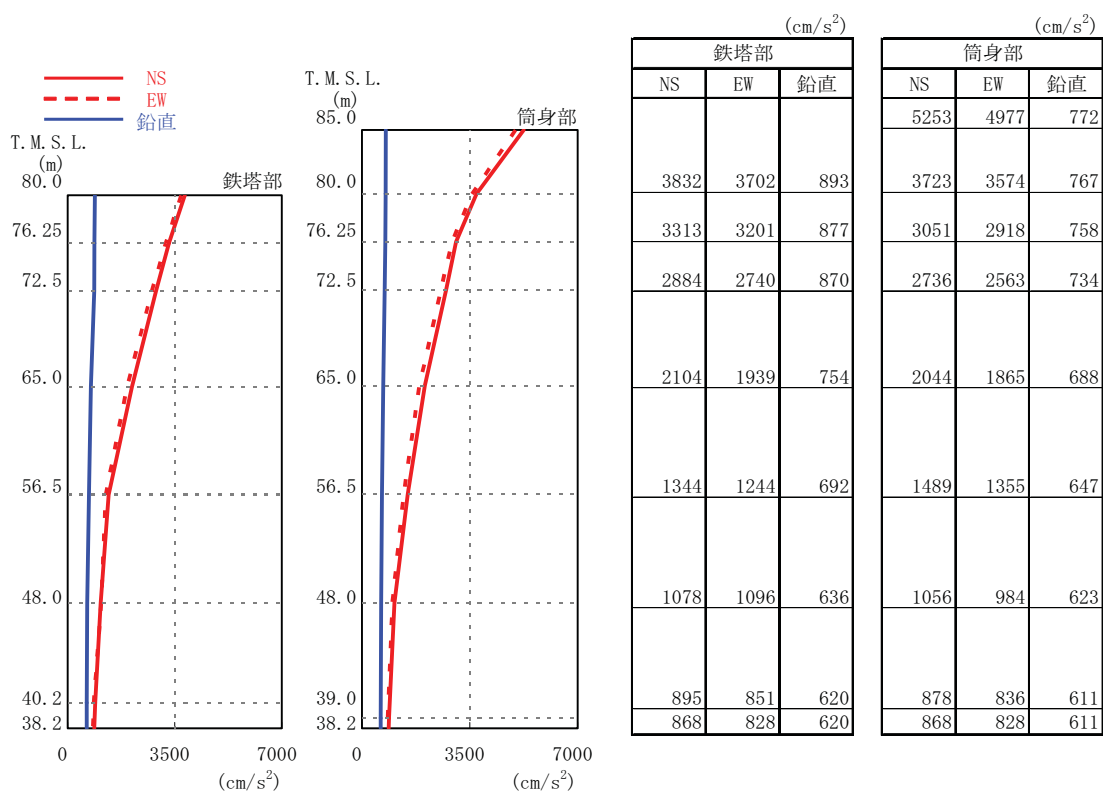
注：凡例の R1-RC とは、原子炉建屋の R1 通りと RC 通りの交点に位置する主柱材を示す。(他も同様)

第 6.4.1-8 図(3) 最大応答軸力 (Ss-2)

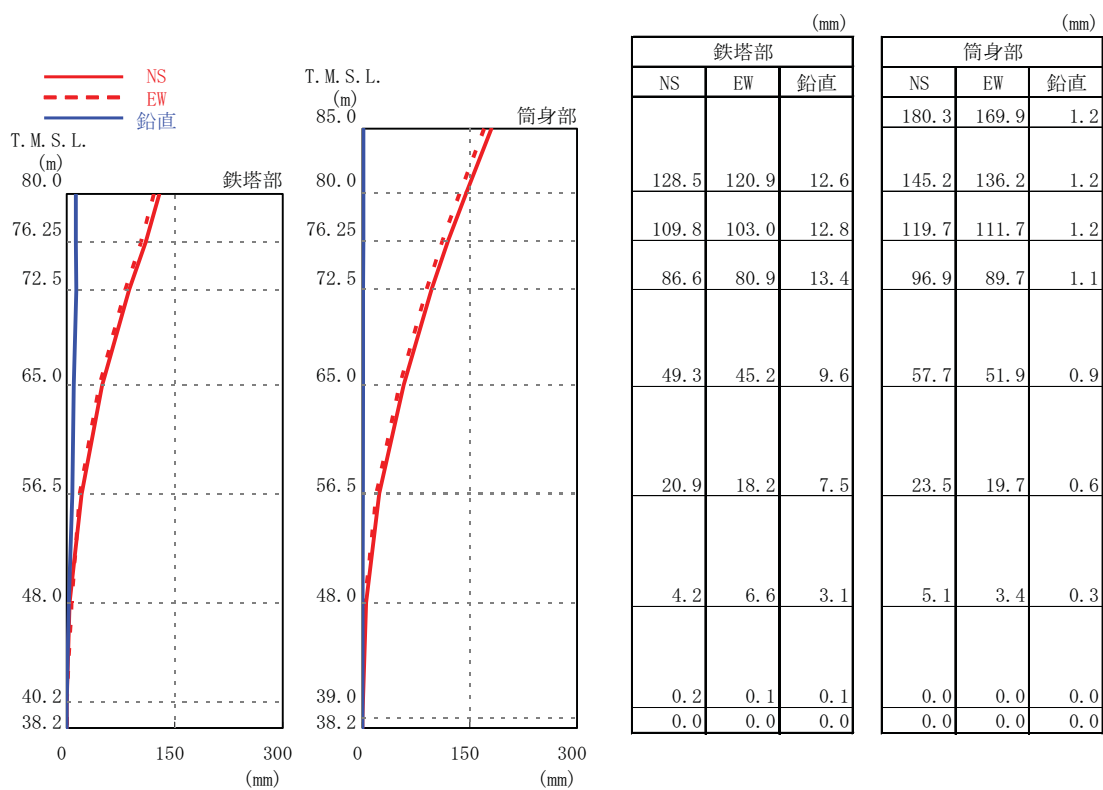


注：凡例の R1-RC とは、原子炉建屋の R1 通りと RC 通りの交点に位置する主柱材を示す。(他も同様)

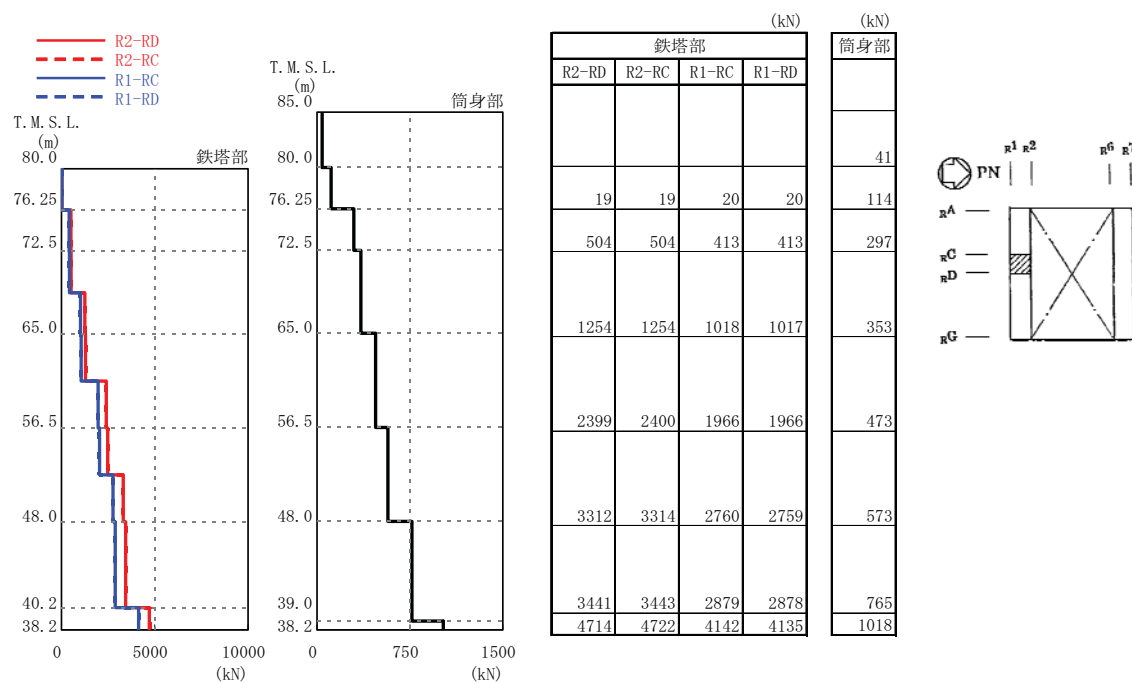
第 6.4.1-8 図(4) 最大応答曲げモーメント (Ss-2)



第 6.4.1-9 図(1) 最大応答加速度 (Ss-3)

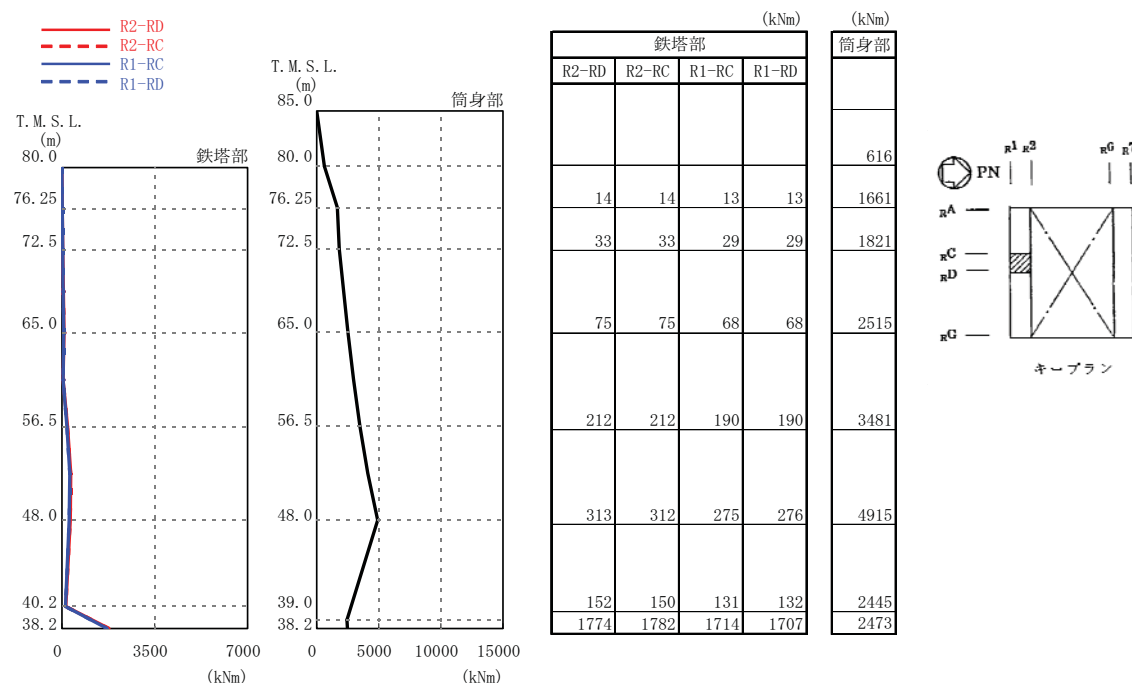


第 6.4.1-9 図(2) 最大応答変位 (Ss-3)



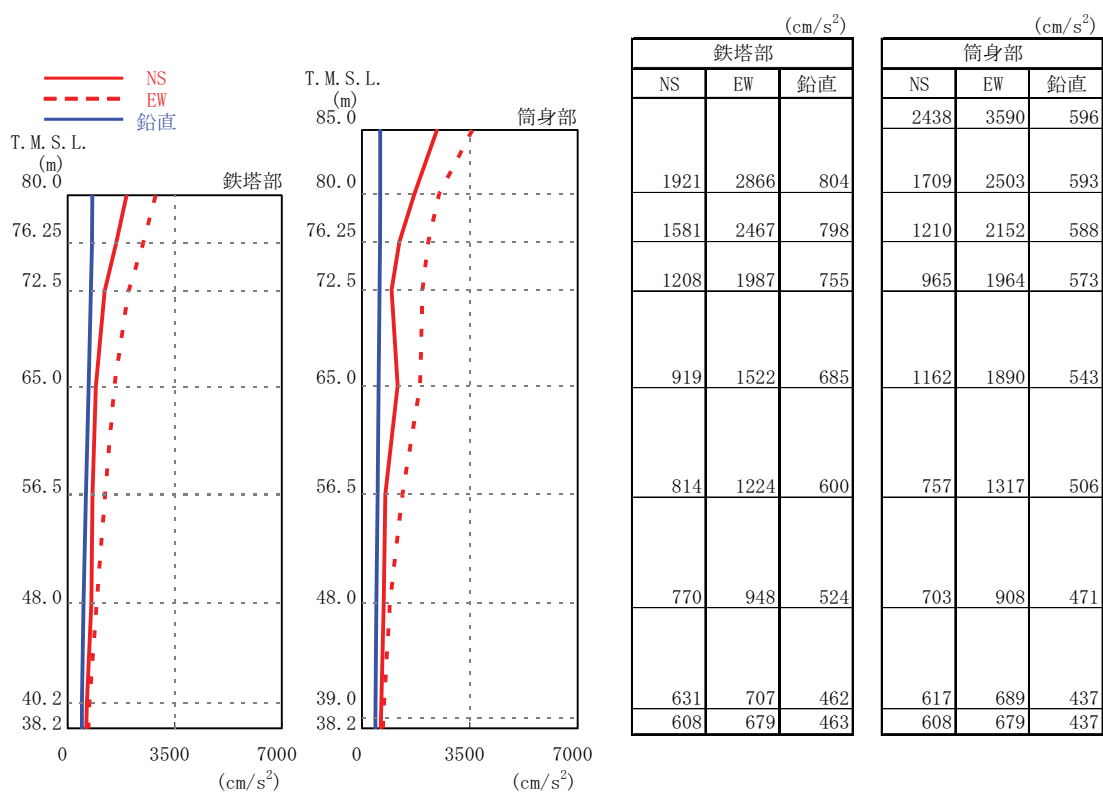
注：凡例の R1-RC とは、原子炉建屋の R1 通りと RC 通りの交点に位置する主柱材を示す。(他も同様)

第 6.4.1-9 図(3) 最大応答軸力 (Ss-3)

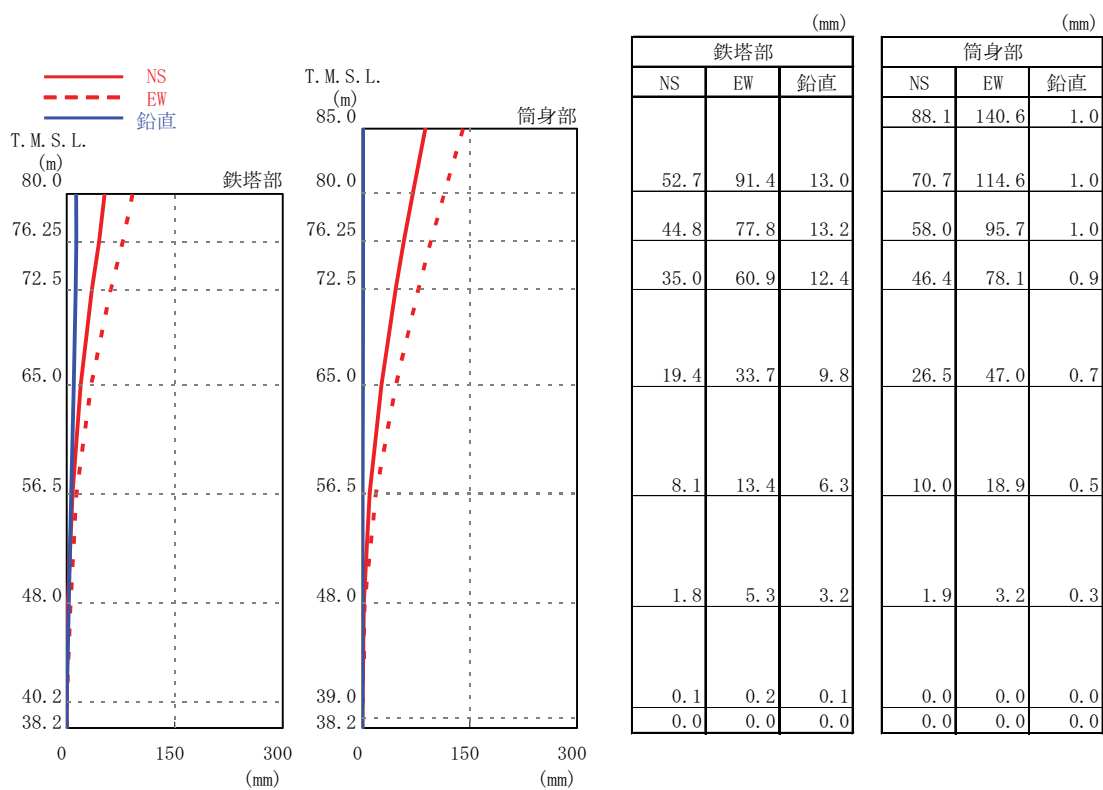


注：凡例の R1-RC とは、原子炉建屋の R1 通りと RC 通りの交点に位置する主柱材を示す。(他も同様)

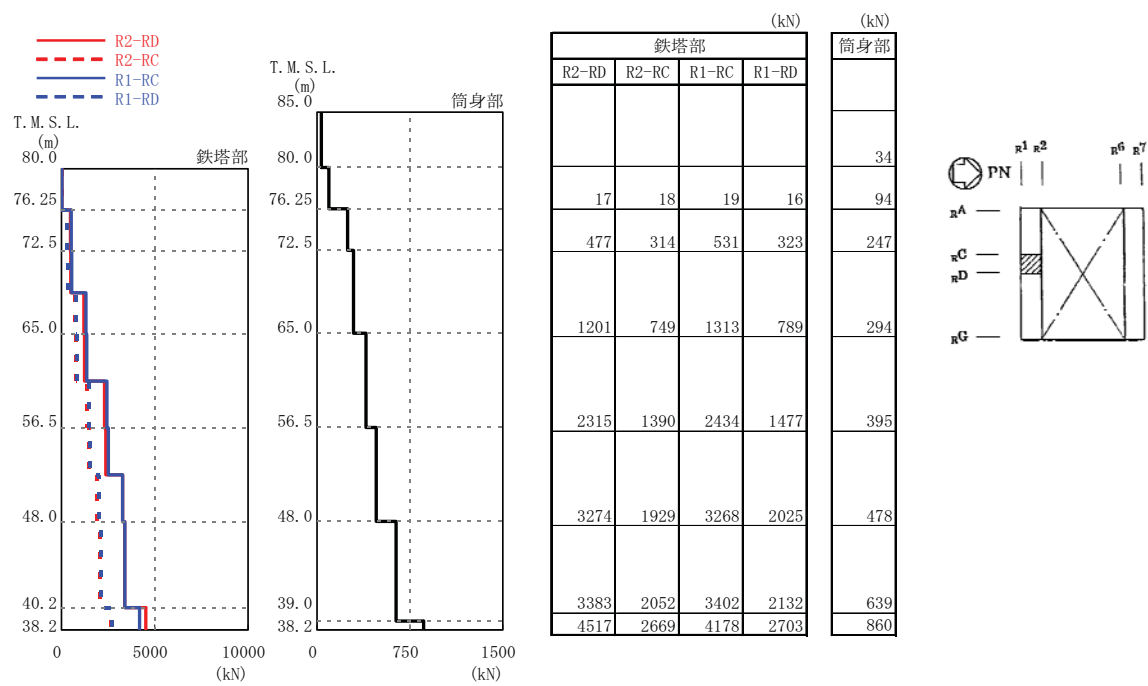
第 6.4.1-9 図(4) 最大応答曲げモーメント (Ss-3)



第 6.4.1-10 図(1) 最大応答加速度 (S_{s-4})

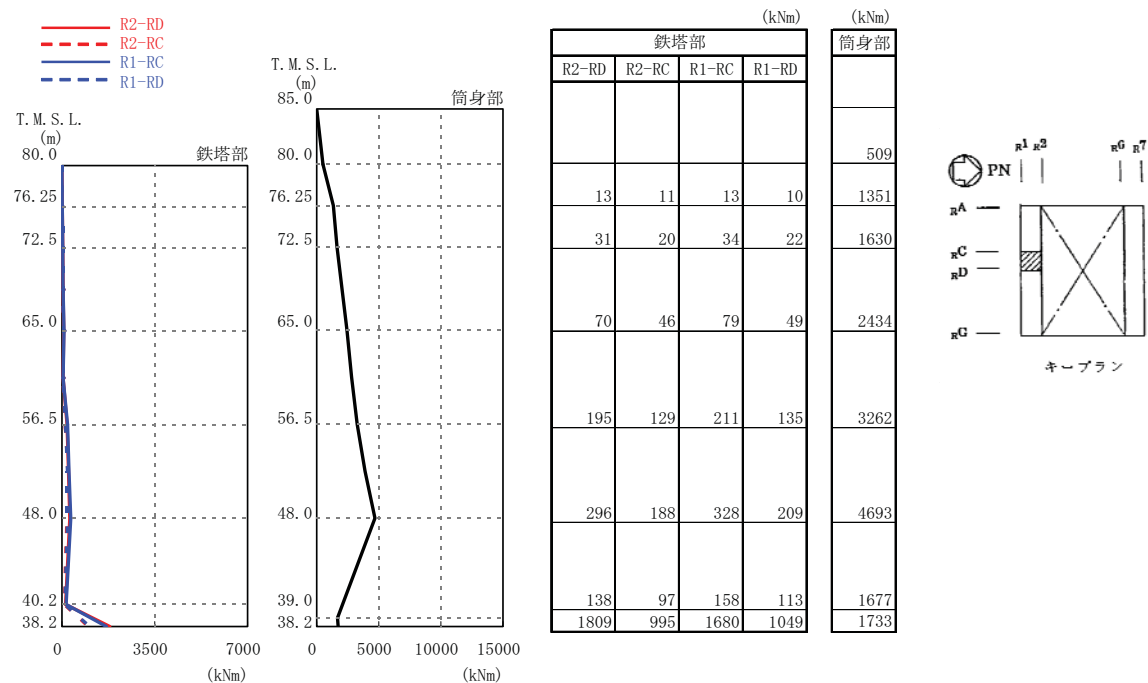


第 6.4.1-10 図(2) 最大応答変位 (S_{s-4})



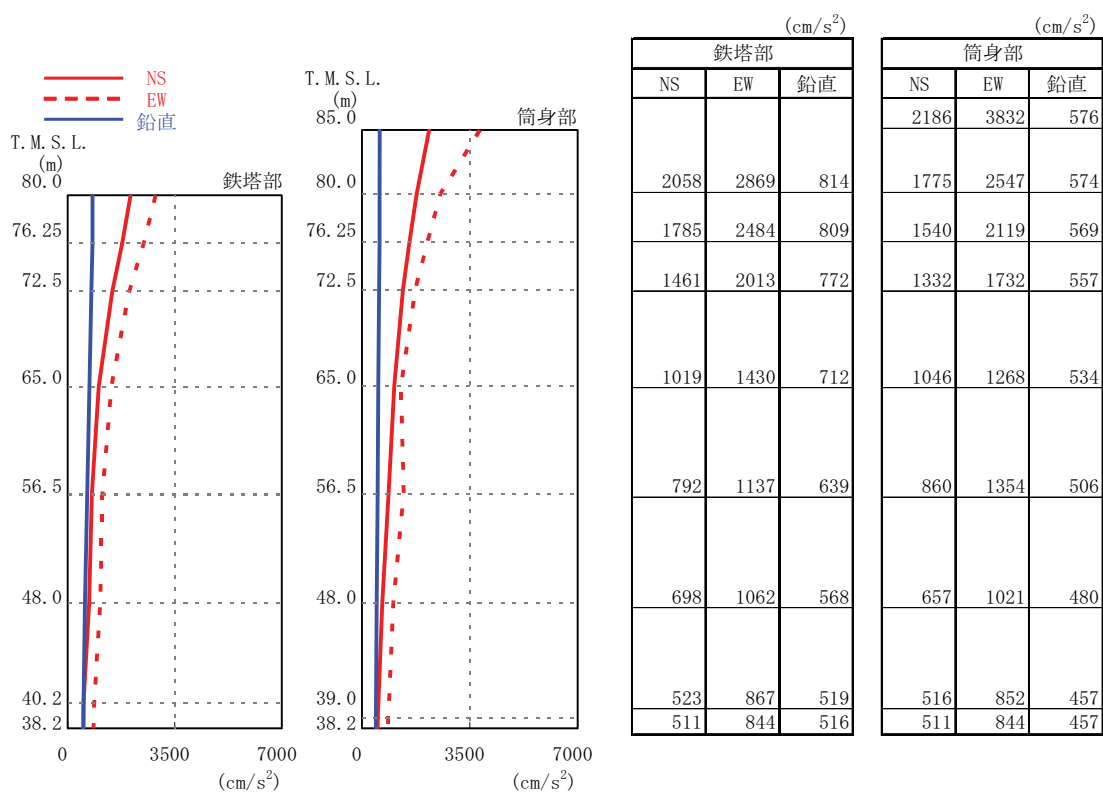
注：凡例の R1-RC とは、原子炉建屋の r_1 通りと r_C 通りの交点に位置する主柱材を示す。(他も同様)

第 6.4.1-10 図(3) 最大応答軸力 (Ss-4)

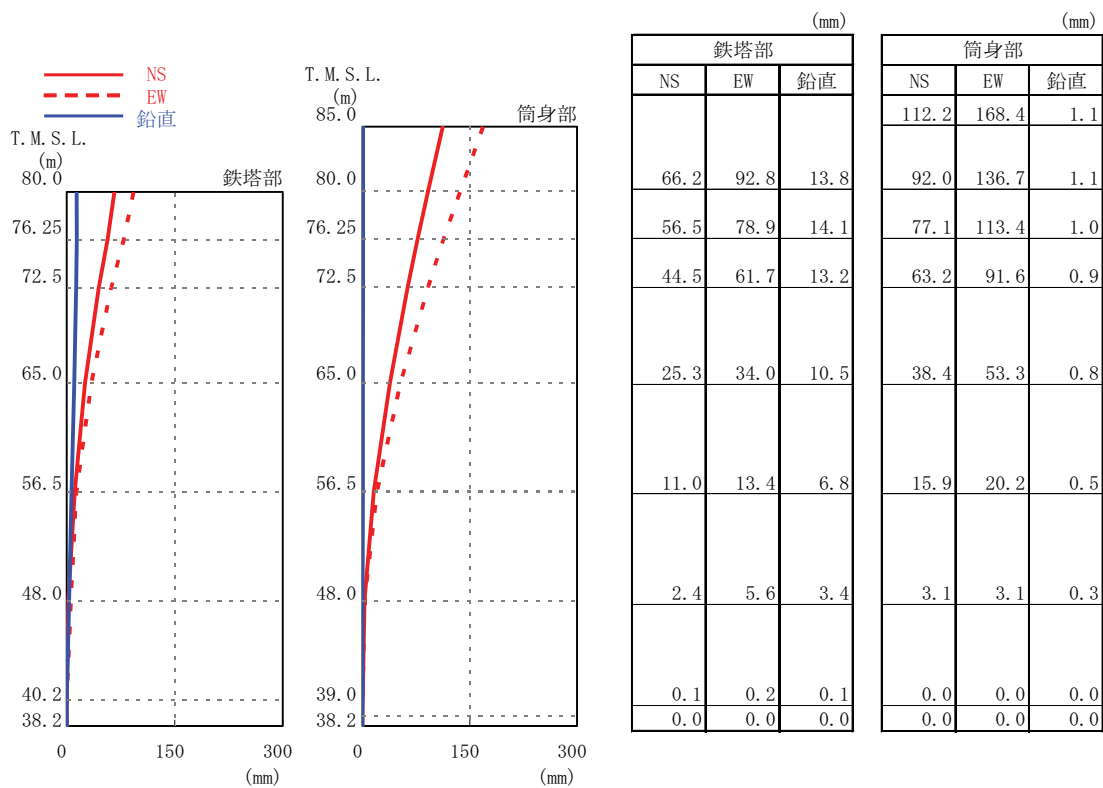


注：凡例の R1-RC とは、原子炉建屋の r_1 通りと r_C 通りの交点に位置する主柱材を示す。(他も同様)

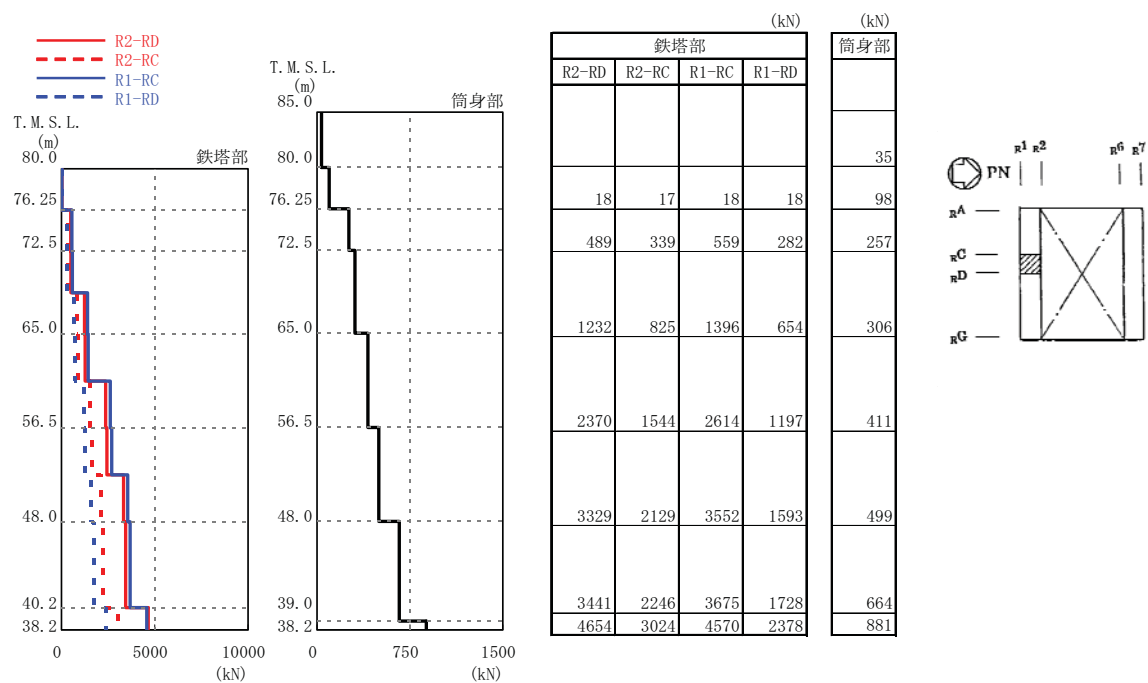
第 6.4.1-10 図(4) 最大応答曲げモーメント (Ss-4)



第 6.4.1-11 図(1) 最大応答加速度 (Ss-5)

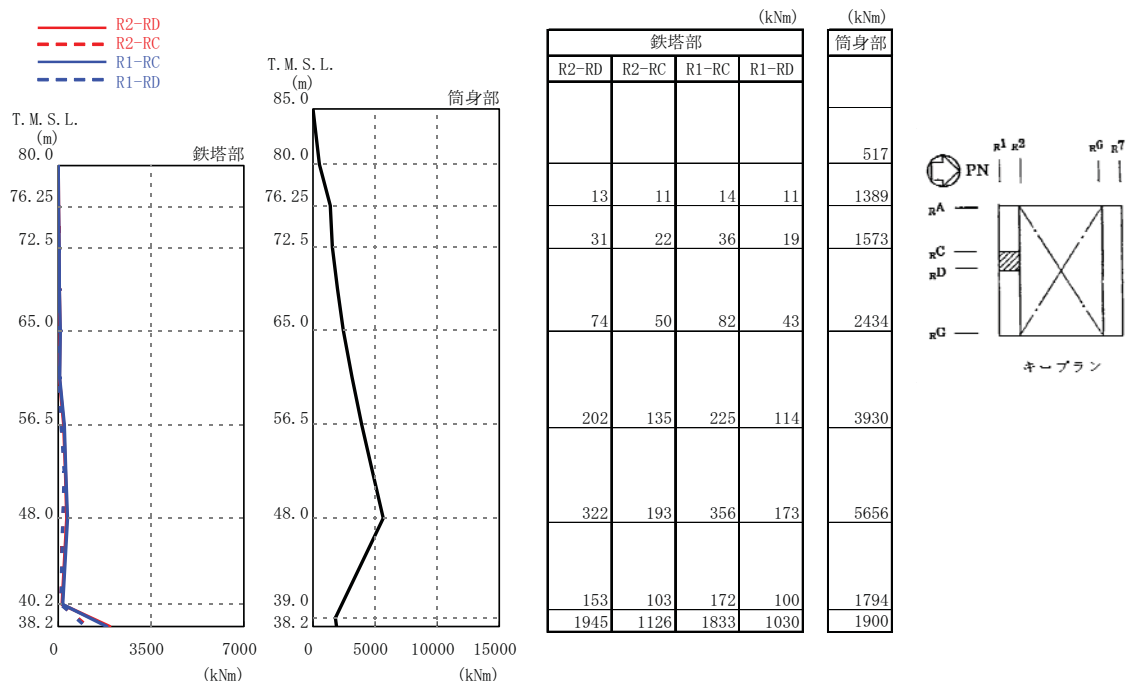


第 6.4.1-11 図(2) 最大応答変位 (Ss-5)



注：凡例の R1-RC とは、原子炉建屋の r_1 通りと r_C 通りの交点に位置する主柱材を示す。(他も同様)

第 6.4.1-11 図(3) 最大応答軸力 (Ss-5)



注：凡例の R1-RC とは、原子炉建屋の r_1 通りと r_C 通りの交点に位置する主柱材を示す。(他も同様)

第 6.4.1-11 図(4) 最大応答曲げモーメント (Ss-5)

6.4.2. 耐震安全性評価結果

6.4.2.1. 鉄塔部および筒身部

3 次元モデルの時刻歴地震応答解析により生じる各部材応力が評価基準値以下であることを確認する（日本建築学会「鋼構造設計規準 - 許容応力度設計法 - 」に準拠）。

鉄塔部の主柱材、斜材、水平材および筒身部材を対象として、地震時に生じる軸力および曲げモーメントより評価基準値に対する断面検定について、下式を用いて行う。

(圧縮)

$$\frac{s\sigma_N}{sf_c} + \frac{s\sigma_b}{sf_b} \leq 1.0$$

ここに, $s\sigma_N$: 地震時における部材の軸応力

$s\sigma_b$: 地震時における部材の曲げ応力

sf_c : 圧縮応力に対する許容値^{※1}

(座屈の影響を考慮して細長比等により求めた数値)

sf_b : 曲げ応力に対する許容値^{※1}

(引張)

$$\frac{s\sigma_N}{sf_t} + \frac{s\sigma_b}{sf_b} \leq 1.0$$

ここに, $s\sigma_N$: 地震時における部材の軸応力

$s\sigma_b$: 地震時における部材の曲げ応力

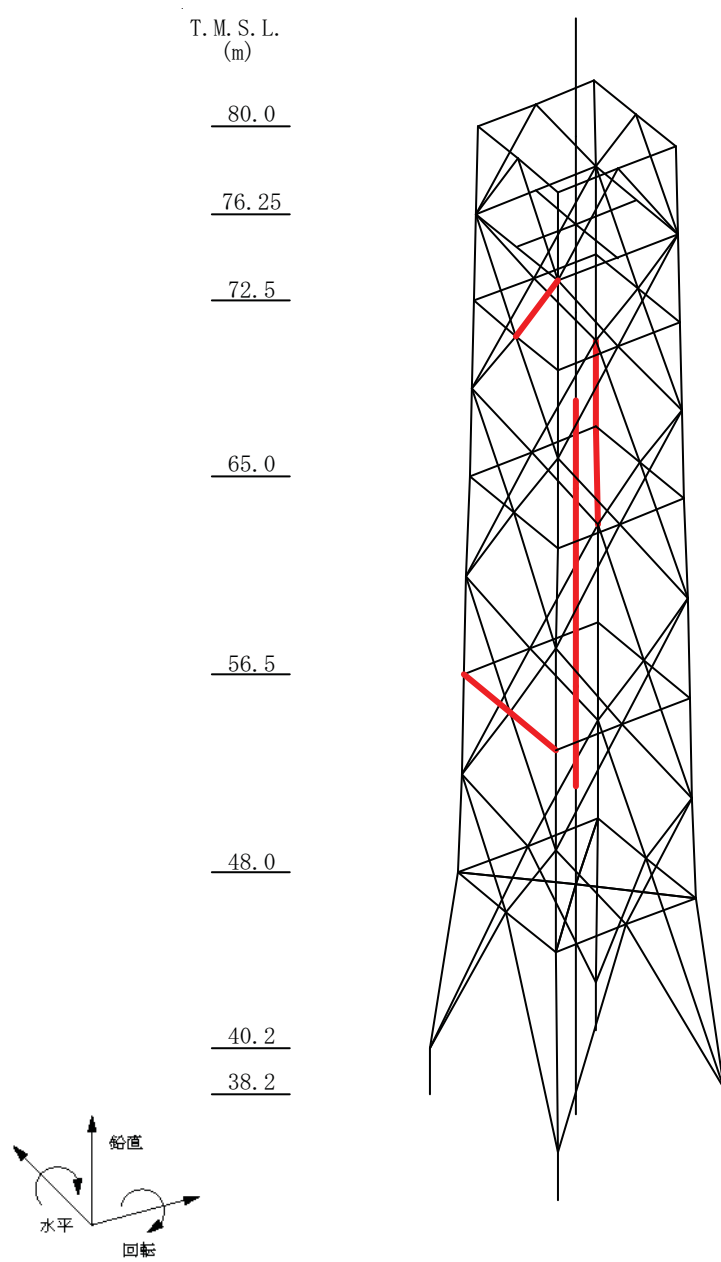
sf_t : 引張応力に対する許容値^{※1}

sf_b : 曲げ応力に対する許容値^{※1}

※1 建築基準法に基づく鋼材の材料強度
(F値の1.1倍) による許容値

基準地震動 Ss による各部材の評価結果のうち、発生応力と評価基準値の比（発生応力／評価基準値）が最も大きい部材について、評価部位を第 6.4.2-1 図に、評価結果を第 6.4.2-1 表に示す。

排気筒について各部材の発生応力は、評価基準値以下であり、耐震安全性は確保されている。



—：最大応力比発生位置を示す。

第 6.4.2-1 図 評価部位

第 6.4.2-1 表 鉄塔部および筒身部における評価結果

箇所	部材	N (kN)	M (kNm)	A ($\times 10^2 \text{mm}^2$)	Z ($\times 10^3 \text{mm}^3$)	σ_c (N/mm ²)	σ_b (N/mm ²)	f _c (N/mm ²)	f _b (N/mm ²)	$\frac{\sigma_c}{f_c} + \frac{\sigma_b}{f_b}$
鉄塔	主柱材	2495	142	124.1	1530	201.1	92.9	339	357	0.86
	斜材	650	—	29.94	—	217.2	—	255	—	0.86
	水平材	293	—	58.91	—	49.8	—	216	—	0.24
筒身	—	344	6457	529	37000	6.6	174.6	183	199	0.92

記号の説明 N : 軸力 (圧縮を正とする。)

M : 曲げモーメント

A : 断面積

Z : 断面係数

σ_c : 圧縮応力 (N/A)

σ_b : 曲げ応力 (M/Z)

f_c : 圧縮応力に対する許容値 (日本建築学会「鋼構造設計規準 - 許容応力度設計法 - 」および「煙突構造設計指針」に準拠)

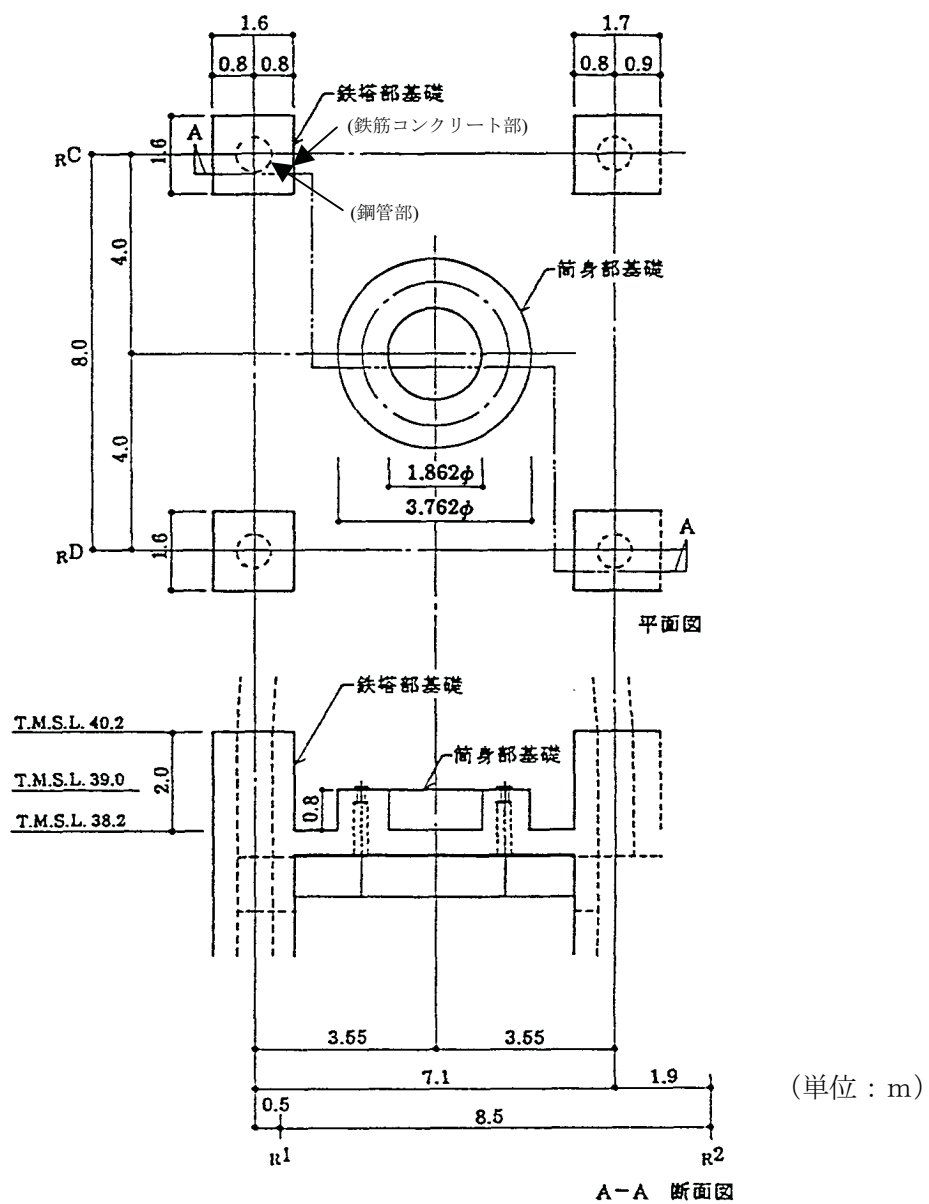
f_b : 曲げ応力に対する許容値 (日本建築学会「鋼構造設計規準 - 許容応力度設計法 - 」および「煙突構造設計指針」に準拠)

6.4.2.2. 基礎

排気筒の基礎の概要を第 6.4.2-2 図に示す。

鉄塔部および筒身部の基礎のボルト、鉄筋コンクリート部および鋼管について、各部位の評価結果を第 6.4.2-2 表に示す。

排気筒基礎について各部位の発生応力は、評価基準値以下であり、耐震安全性は確保されている。



第 6.4.2-2 図 排気筒の基礎の概要

第 6.4.2-2 表 基礎における評価結果

箇所	部材	発生応力 (N/mm ²)		評価基準値 (N/mm ²)	発生応力／ 評価基準値
鉄塔部 基礎	基礎 アンカーボルト	(引張)	160.9	236 *1	0.69
		(せん断)	31.7	136 *2	0.24
	基礎 コンクリート	(曲げ)	298.4	379 *3	0.79
		(せん断)	0.80	1.47 *4	0.55
	鋼管	(圧縮)	176.6	357 *5	0.50
筒身部 基礎	基礎 アンカーボルト	(引張)	129.7	258 *1	0.51

- 注記 *1 : ボルトの引張応力に対する許容値を示す（日本建築学会「鋼構造設計規準 - 許容応力度設計法 - 」に準拠）。
- *2 : ボルトのせん断応力に対する許容値を示す（日本建築学会「鋼構造設計規準 - 許容応力度設計法 - 」に準拠）。
- *3 : 鉄筋の引張応力に対する許容値を示す（日本建築学会「鉄筋コンクリート構造計算規準・同解説 - 許容応力度設計法 - 」に準拠）。
- *4 : コンクリートのせん断応力に対する許容値（実強度）を示す（日本建築学会「鉄筋コンクリート構造計算規準・同解説 - 許容応力度設計法 - 」に準拠）。
- *5 : 鋼管の圧縮応力に対する許容値を示す（日本建築学会「鋼構造設計規準 - 許容応力度設計法 - 」に準拠）。

6.4.2.3. 非常用ガス処理系用排気筒

(a) 筒身部

SGTS 用排気筒は熱による変形を考慮し、上下方向は拘束せず、水平方向のみ拘束し、筒身の変形に追従する支持構造となっている。筒身内部の支持点位置を第 6.4.2-3 図に示す。SGTS 用排気筒の剛性は筒身の剛性に比べて小さい。これらのことから、SGTS 用排気筒の変形は筒身の変形に追従する。したがって、筒身の変位を SGTS 用排気筒に強制的に与えることにより応力を算出し、最大応力で耐震安全性を評価する。

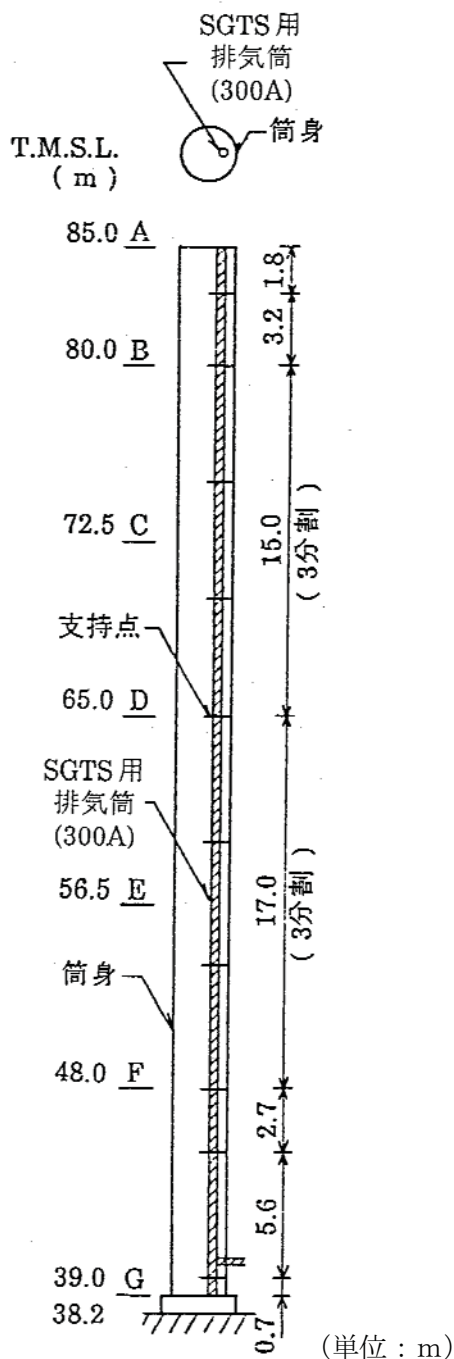
第 6.4.2-3 表に筒身の変位を、第 6.4.2-3 図に排気筒筒身部および SGTS 用排気筒概要を、第 6.4.2-4 表および第 6.4.2-5 表に SGTS 用排気筒応力および評価結果を示す。

SGTS 用排気筒の発生応力は評価基準値以下であり、耐震安全性は確保されている。

第 6.4.2-3 表 筒身の変位

支持点	標高 T. M. S. L. (m)	最大応答変位(mm)				
		Ss-1	Ss-2	Ss-3	Ss-4	Ss-5
A	85.0	261.3	266.6	180.3	140.6	168.4
B	80.0	213.6	215.8	145.2	114.6	136.7
制震装置支持部	76.25	179.1	178.9	119.7	95.7	113.4
C	72.5	147.8	145.3	96.9	78.1	91.6
D	65.0	91.7	87.2	57.7	47.0	53.3
E	56.5	39.0	35.3	23.5	18.9	20.2
F	48.0	7.4	5.8	5.1	3.2	3.1

第 6.4.2-4 表 SGTS 用排気筒応力表



部材間	鉛直荷重 N (kN)	曲げモーメント M (kNm)
A-B	8.7	2.4
B-C	17.6	5.8
C-D	26.4	4.7
D-E	36.2	7.3
E-F	46.0	10.0
F-G	58.5	10.0

第 6.4.2-3 図
排気筒筒身部および
SGTS 用排気筒概要

第 6.4.2-5 表 SGTS 用排気筒筒身部における評価結果

部材間	部材長 (m)	A ($\times 10^2 \text{mm}^2$)	Z ($\times 10^3 \text{mm}^3$)	σ_c (N/mm ²)	σ_b (N/mm ²)	f _c (N/mm ²)	f _b (N/mm ²)	$\frac{\sigma_c}{f_c} + \frac{\sigma_b}{f_b}$
A-B	3.20	80.9	611	1.1	4.0	232	245	0.03
B-C	5.00			2.2	9.5	216		0.05
C-D	5.00			3.3	7.7	216		0.05
D-E	5.67			4.5	12.0	207		0.08
E-F	5.67			5.7	16.4	207		0.10
F-G	5.60			7.3	16.4	208		0.11

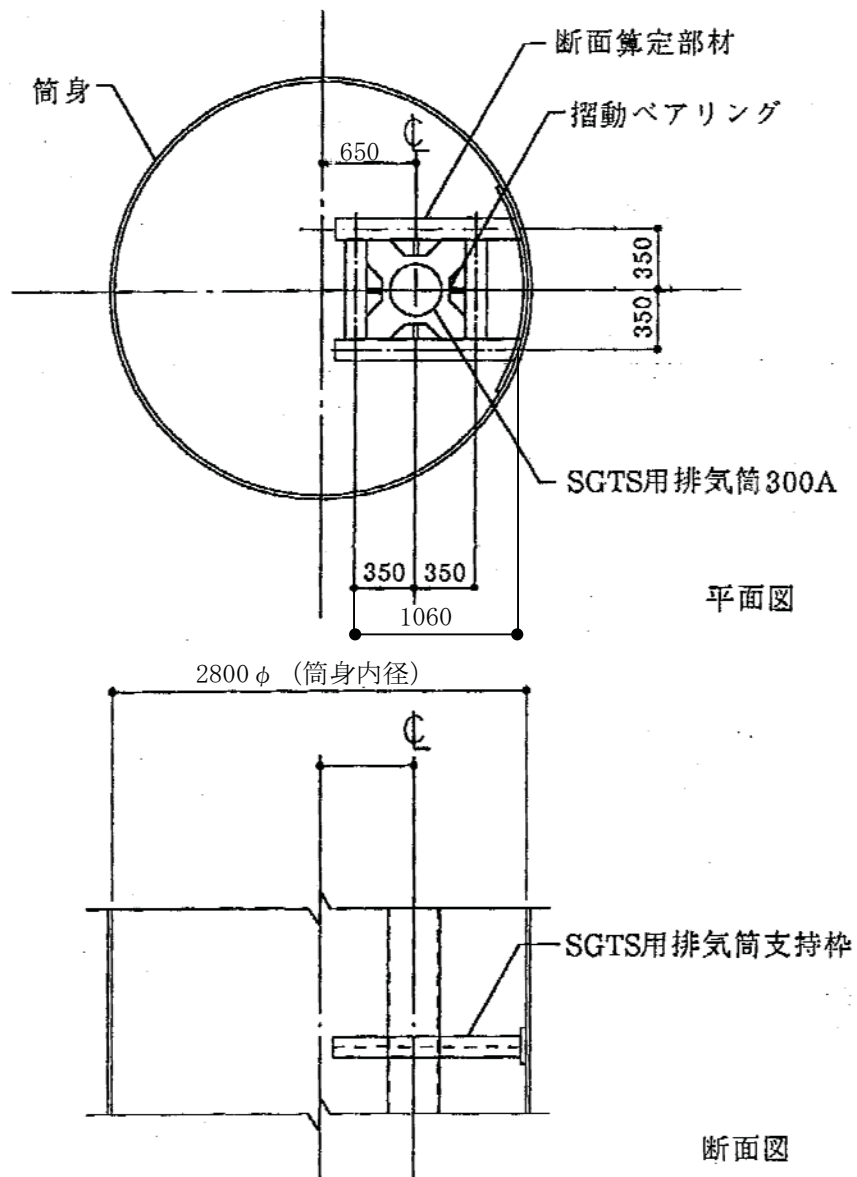
記号の説明 A : 断面積
 Z : 断面係数
 σ_c : 圧縮応力 (N/A)
 σ_b : 曲げ応力 (M/Z)
 f_c : 圧縮応力に対する許容値 (日本建築学会「鋼構造設計規準 - 許容応力度設計法 - 」に準拠)
 f_b : 曲げ応力に対する許容値 (日本建築学会「鋼構造設計規準 - 許容応力度設計法 - 」に準拠)

(b) 支持部

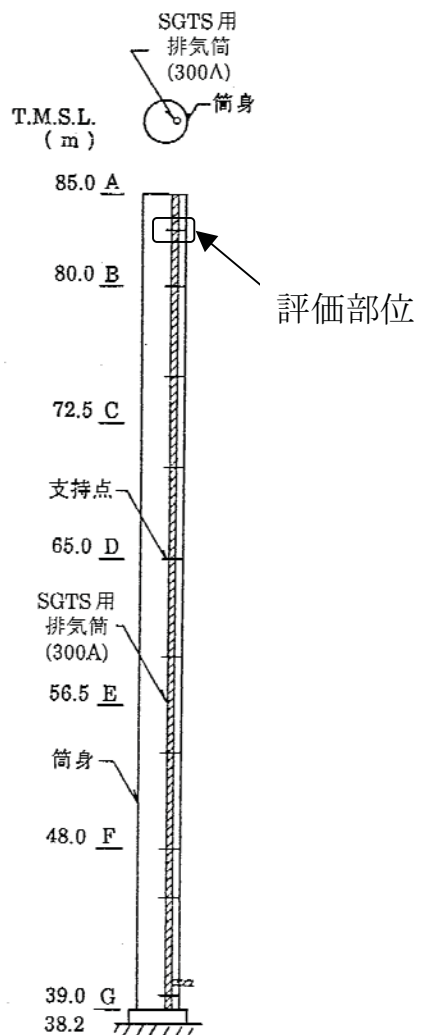
SGTS 用排気筒の支持部は第 6.4.2-4 図に示すとおり、筒身に SGTS 用排気筒を水平方向に支持する構造である。

支持部の評価に用いる応力としては、支持部に発生する最大水平力を考慮する。応力が最大となる部材を第 6.4.2-5 図に示し、評価結果を第 6.4.2-6 表に示す。

支持部に発生する応力は、評価基準値以下であり、耐震安全性は確保されている。



第 6.4.2-4 図 支持部の概要 (単位 : mm)



第 6.4.2-5 図 応力が最大となる部材 (単位 : m)

第 6.4.2-6 表 SGTS 用排気筒支持部における評価結果

部材長 (m)	σ_c (N/mm ²)	σ_b (N/mm ²)	f_c (N/mm ²)	f_b (N/mm ²)	$\frac{\sigma_c + \sigma_b}{f_c + f_b}$
1.06	0.0	92.0	142	258	0.36

記号の説明

- σ_c : 圧縮応力 (N/A)
- σ_b : 曲げ応力 (M/Z)
- f_c : 圧縮応力に対する許容値 (日本建築学会「鋼構造設計規準 - 許容応力度設計法 - 」に準拠)
- f_b : 曲げ応力に対する許容値 (日本建築学会「鋼構造設計規準 - 許容応力度設計法 - 」に準拠)

6.4.2.4. 制震装置（オイルダンパー）

オイルダンパーの最大応答速度および最大応答変位をそれぞれ許容値と比較した結果を第 6.4.2-7 表に示す。応答速度および応答変位は、ともに許容値以下である。

第 6.4.2-7 表 オイルダンパーの評価結果

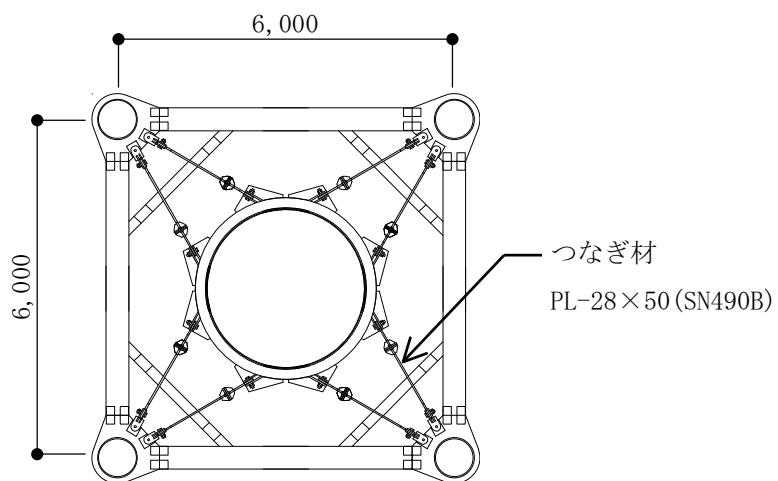
△	最大応答値					許容値
	Ss-1	Ss-2	Ss-3	Ss-4	Ss-5	
速度 (m/s)	2.03	1.85	1.44	1.07	1.11	2.60
変位 (mm)	136	141	92	77	91	175

6.4.2.5. つなぎ材（第一支持点）

筒身部は、制震装置（オイルダンパー）と、第 6.4.2-6 図に示すとおり、T.M.S.L. 48.0m で 8 本のつなぎ材で鉄塔部に支持されている。

つなぎ材の評価は、つなぎ材に発生する最大引張力に対して行う。評価結果を第 6.4.2-8 表に示す。

つなぎ材に発生する応力は、評価基準値以下であり、耐震安全性は確保されている。



第 6.4.2-6 図 第一支持点の概要（単位 : mm）

第 6.4.2-8 表 つなぎ材の評価結果

N (kN)	A ($\times 10^2 \text{mm}^2$)	σt (N/mm 2)	f _t (N/mm 2)	$\frac{\sigma t}{f_t}$
305	14.0	217.9	357	0.62

記号の説明

N : 引張軸力

A : 断面積

σt : 引張応力 (N/A)

f_t : 引張応力に対する許容値（日本建築学会「鋼構造設計規準 - 許容応力度設計法 - 」に準拠）

6.5. 原子炉格納容器の耐震安全性評価

6.5.1. 原子炉格納容器の構造概要

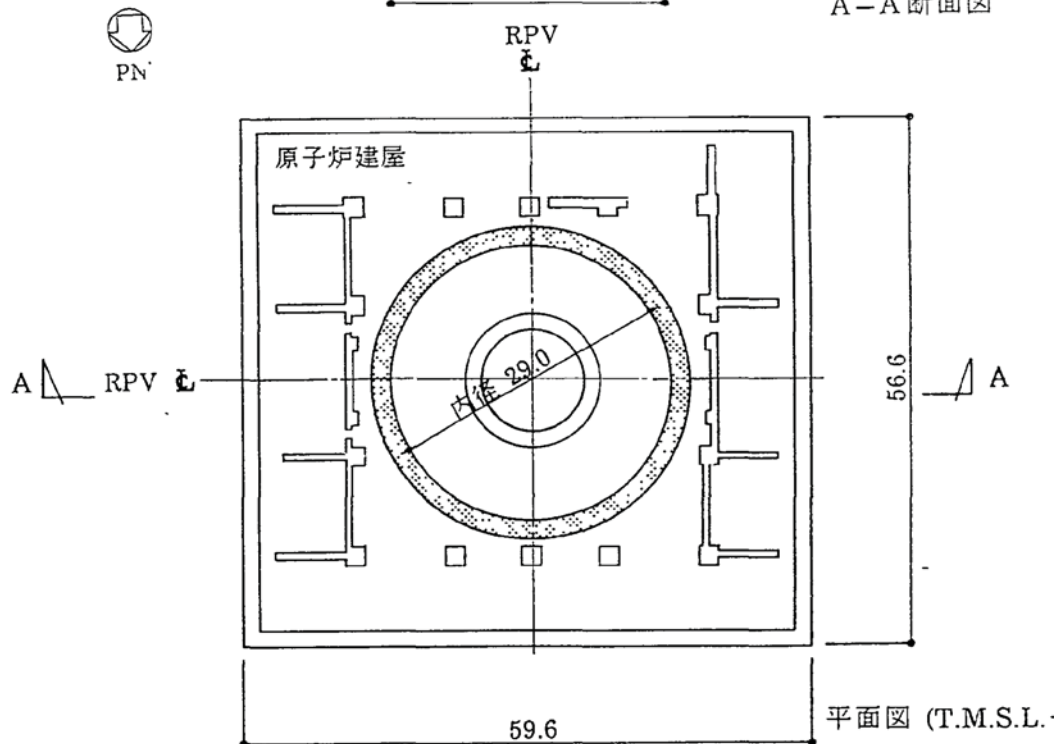
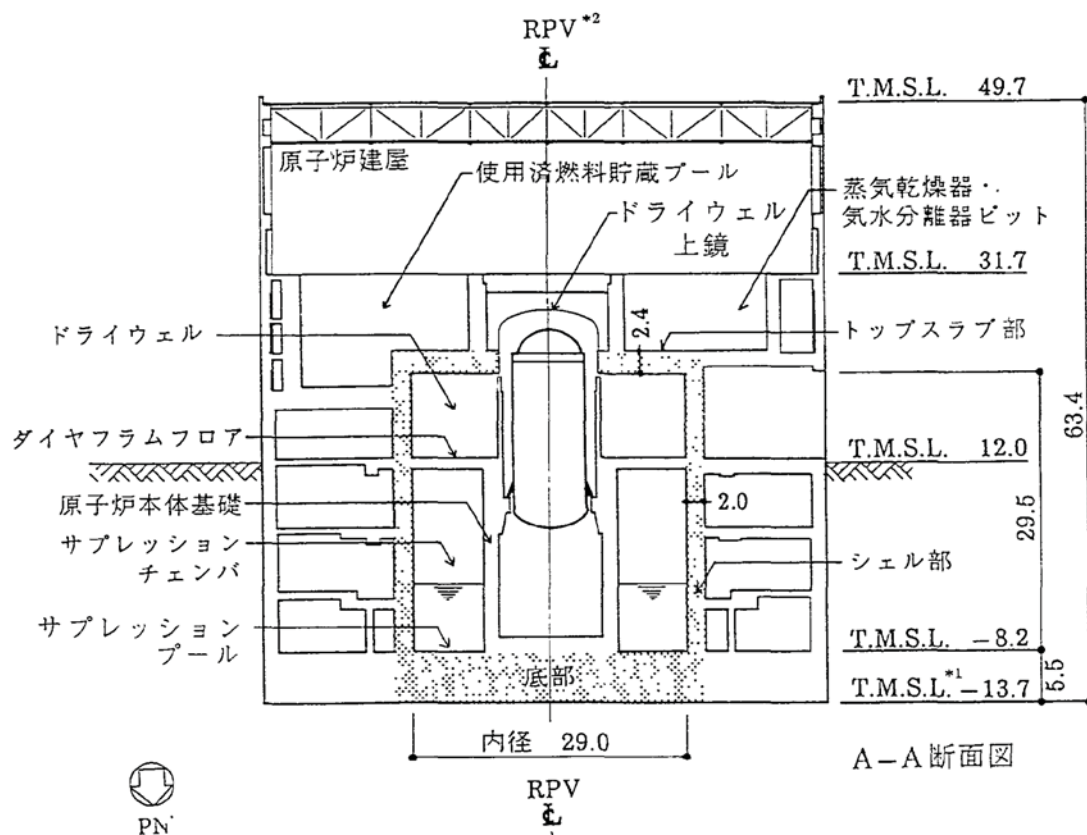
原子炉格納容器は、コンクリート部が耐圧、耐震およびしゃへいの機能を有し、コンクリート部に内張りした鋼板であるライナプレートが漏えい防止の機能を有する鉄筋コンクリート製原子炉格納容器（以下、「RCCV」という）である。

コンクリート部は、シェル部、トップスラブ部および底部から構成され、シェル部は、原子炉建屋の床と接合されている。また、トップスラブ部の一部は、使用済燃料貯蔵プール、蒸気乾燥器・気水分離器ピット等を兼ねる構造となっている。底部は、RCCV およびこれをとり囲む原子炉建屋の共通の基礎となっている鉄筋コンクリート造の基礎スラブであり、平面の形状は、56.6m (NS 方向) × 59.6m (EW 方向) の矩形である。

RCCV の内径は 29.0m、底部上端からトップスラブ部下端までの高さは 29.5m、ドライウェル上鏡を含めた全体高さは約 36m である。また、シェル部の厚さは 2.0m、トップスラブ部の厚さは 2.2m (一部 2.4m)、底部の厚さは 5.5m である。RCCV の概要を第 6.5.1-1 図に示す。

RCCV の内部は、ダイヤフラムフロアおよび原子炉本体基礎によりドライウェルとサプレッションチェンバに区分されている。

基礎スラブは、RCCV の底部となっている部分（以下、「RCCV 底部」という）とそれ以外の部分より構成され、特に RCCV 底部は、圧力バウンダリを構成するように設計されている。また、その上面には、漏えい防止の機能を有するライナプレートが設けられている。



注記 *1: 東京湾平均海面(以下、「T.M.S.L.」と略す。)

*2: 原子炉圧力容器(以下、「RPV」と略す。)

注: [] 部分は、原子炉格納容器を示す。

(単位: m)

第 6.5.1-1 図 RCCV の概要

6.5.2. RCCV の耐震安全性評価

6.5.2.1. 検討概要

RCCV の構造の検討は、社団法人日本機械学会「発電用原子力設備規格 コンクリート製原子炉格納容器規格 JSME S NE1-2003」（以下、「CCV 規格」という）の規定に従って行う。

原設計時からの変更がない死荷重および活荷重、運転時荷重、異常時荷重に、今回新たに算定する地震荷重を組み合せた荷重時に対して、基準地震動 S_s による地震荷重については鉄筋コンクリート部材の塑性化を考慮した弾塑性解析を行い、また、弹性設計用地震動 S_d による地震荷重については部材の弹性剛性に立脚した弹性解析を行い、各荷重時の発生応力を算定する。

基準地震動 S_s および弹性設計用地震動 S_d による地震荷重については、第 6.5.2-1 表に示す組合せを考慮する。水平地震動と鉛直地震動の荷重の組合せは、組合せ係数法（組合せ係数 0.4）により評価する。

第 6.5.2-1 表 地震時荷重の組合せ

荷重状態	荷重時名称	荷重の組合せ
III	地震時(1)	$DL_1 + P_1 + T_{11} + H_1 + K_1 + R_{41}$
	地震時(2)	$DL_2 + T_{12} + K_1 + R_{41}$
	(異常+地震)時	$DL_1 + P_{25} + T_{25} + K_1 + R_{41}$
IV	地震時(3)	$DL_1 + P_1 + H_1 + K_2 + R_{42}$
	地震時(4)	$DL_2 + K_2 + R_{42}$

ここに, DL_1 : 死荷重および活荷重 (運転時)

DL_2 : 死荷重および活荷重 (燃料交換時)

P_1 : 運転時圧力

P_{25} : 異常時圧力 (720 時間後)

T_{11} : 運転時温度荷重

T_{12} : 燃料交換時温度荷重

T_{25} : 異常時温度荷重 (720 時間後)

H_1 : 逃がし安全弁作動時荷重

K_1 : Sd 地震荷重

K_2 : Ss 地震荷重

R_{41} : Sd 地震時配管荷重

R_{42} : Ss 地震時配管荷重

構造の検討は、シェル部およびトップスラブ部について行うこととし、各々の部分において設定した設計配筋に対し、各荷重状態において生ずる部材の応力およびひずみが、「CCV 規格」に示される各荷重状態の評価基準値以内であることを確認する。

6.5.2.2. 応力解析

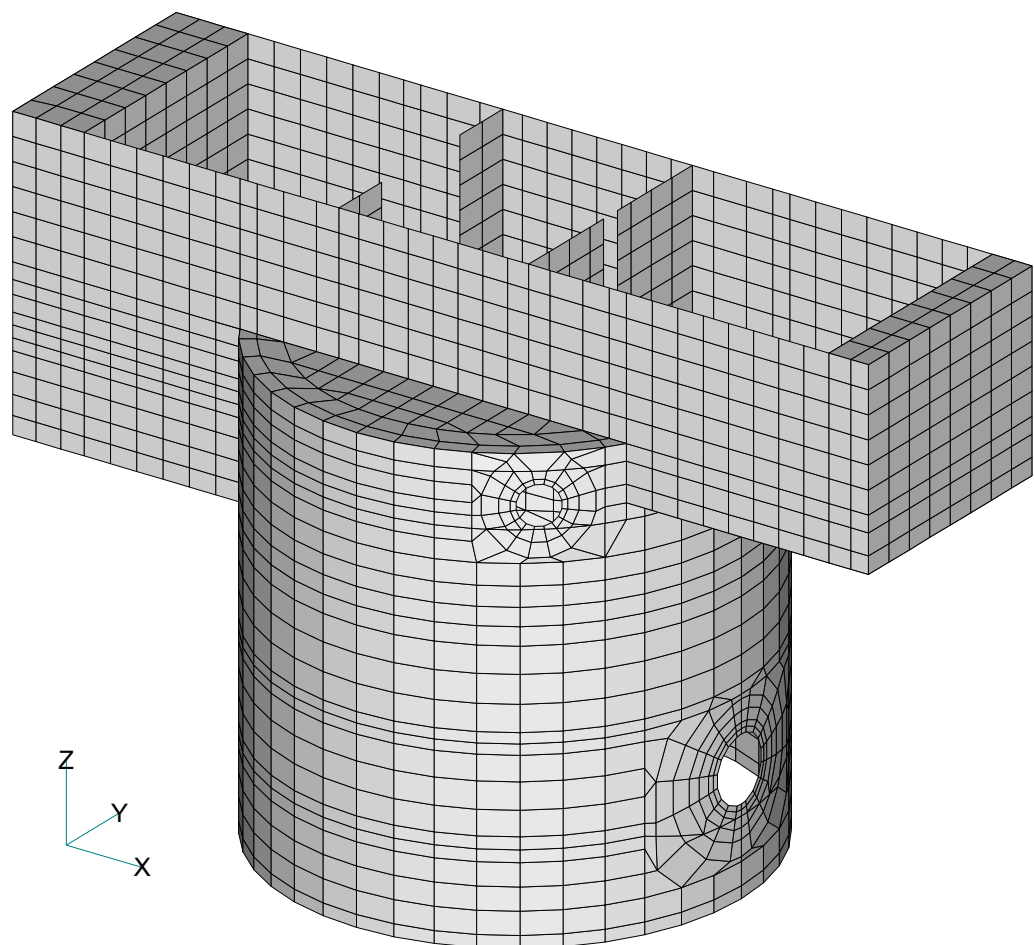
(a) 弹塑性解析

基準地震動 Ss により求まる地震荷重に対しては、弾塑性解析により RCCV の応力を評価する。弾塑性解析は、シェル部およびトップスラブ部を積層シェル要素の集合体としてモデル化し、有限要素法により行う。使用する要素は四辺形および三角形で、この要素は鉄筋層をモデル化した異方性材料による積層シェル要素である。各要素には、板の曲げと膜応力を同時に考えるが、板の曲げには面外せん断変形の影響も考慮する。使用計算機コードは「ABAQUS」である。

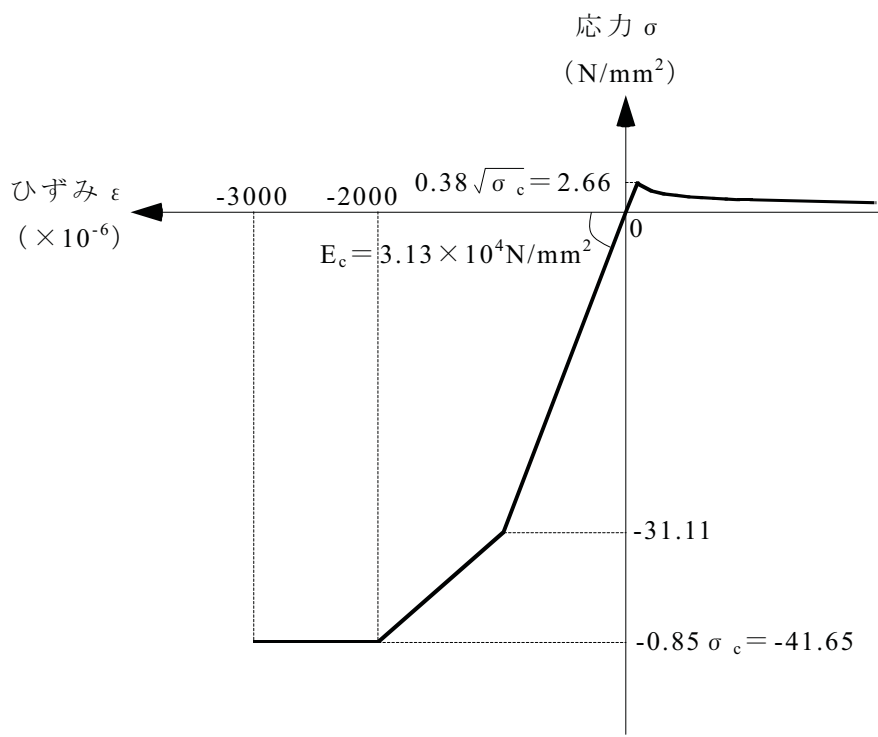
解析モデル概要図を第 6.5.2-1 図に、コンクリートと鉄筋の構成則を第 6.5.2-2 図に、解析モデルの境界条件を第 6.5.2-3 図に、トップスラブ部およびシェル部の応力成分を第 6.5.2-4 図に示す。

解析モデルは、RCCV に対する拘束効果および RCCV との荷重のやりとりを考慮するため、使用済燃料貯蔵プール、蒸気乾燥器・気水分離器ピットおよびダイヤフラムフロアも含めて有限要素でモデル化し、床スラブは等価な線材に置換してモデル化する。また、シェル部では大開口および中開口をモデル化する。

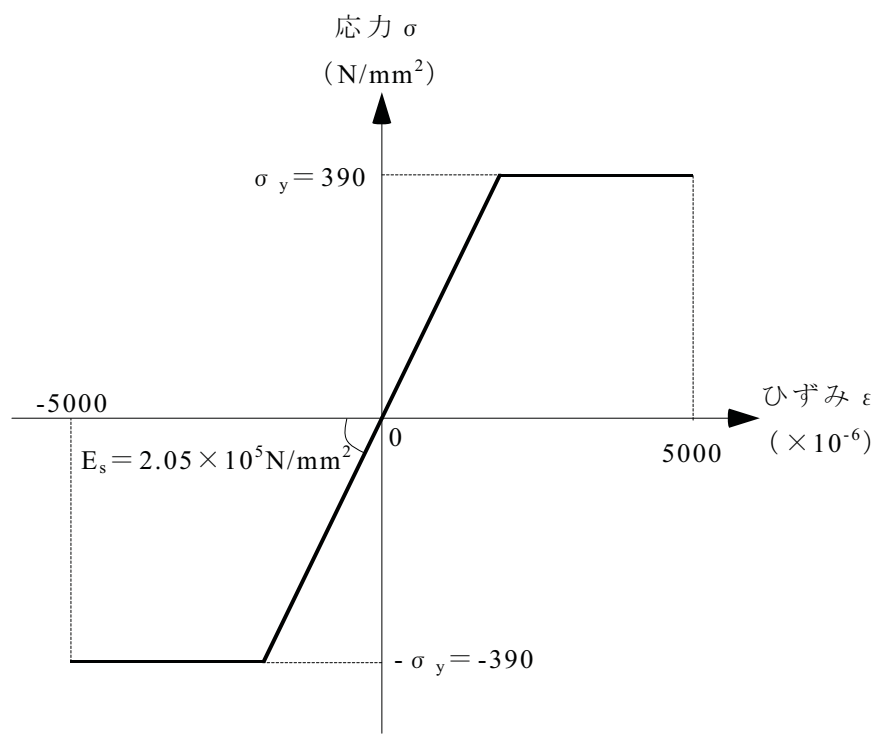
解析モデルは、コンクリートのひび割れ発生による円筒壁全体の中立軸位置の移動を考慮するために、全体モデルとした。シェル部は基礎スラブの上端で固定とする。



第 6.5.2-1 図 解析モデル概要図（弾塑性解析）



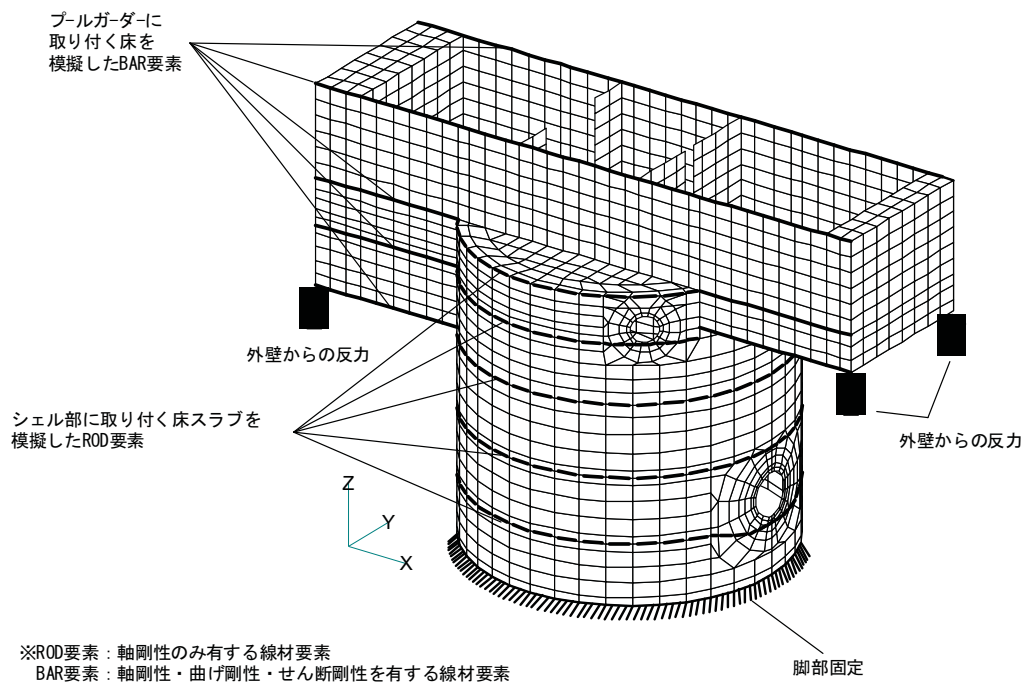
(a) コンクリートの応力－ひずみ関係
(コンクリート強度 $\sigma_c = 49 \text{ N/mm}^2$ の場合)



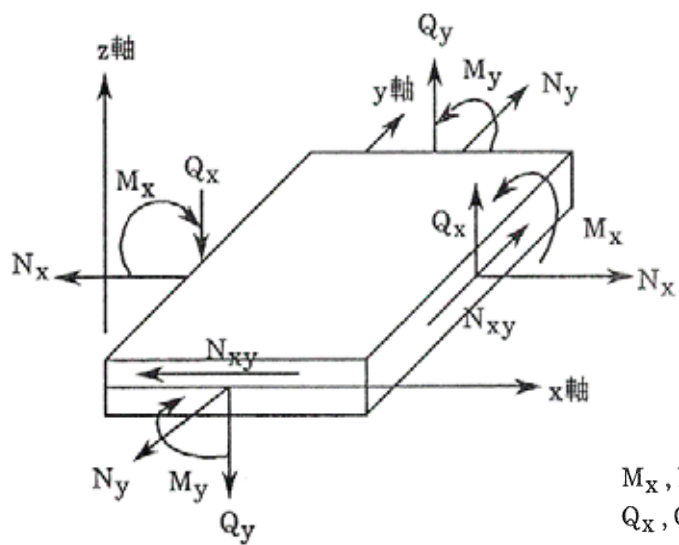
(b) 鉄筋の応力－ひずみ関係

(鉄筋降伏点 $\sigma_y = 390 \text{ N/mm}^2$ の場合)

第 6.5.2-2 図 コンクリートと鉄筋の構成則



第 6.5.2-3 図 解析モデルの境界条件

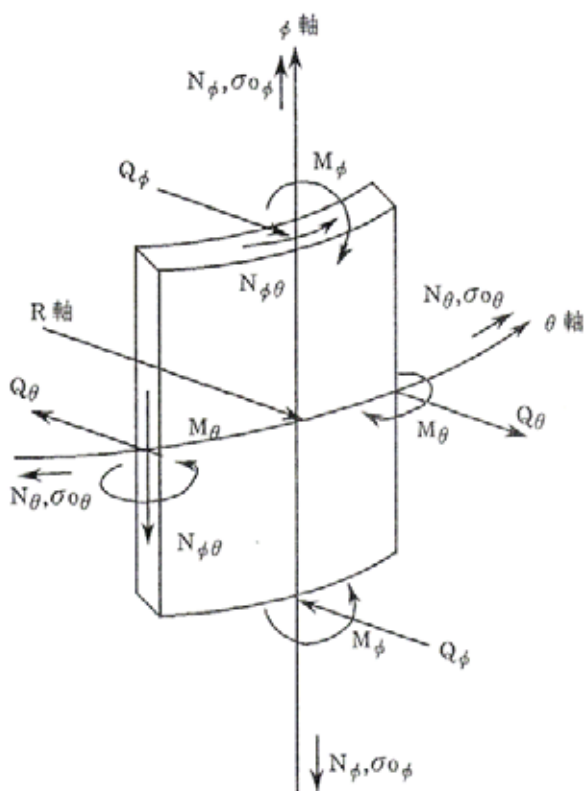


M_x, M_y : 曲げモーメント kNm/m
 Q_x, Q_y : 面外せん断力 kN/m

N_x, N_y : 軸力 kN/m
 N_{xy} : 面内せん断力 kN/m

応力の符号(矢印の方向を正とする。)

(a) トップスラブ部



M_ϕ, M_θ : 曲げモーメント kNm/m

Q_ϕ, Q_θ : 面外せん断力 kN/m

N_ϕ, N_θ : 膜力 kN/m

$N_{\phi\theta}$: 面内せん断力 kN/m

応力の符号(矢印の方向を正とする。)

(b) シェル部

第 6.5.2-4 図 トップスラブ部およびシェル部の応力成分

(b) 弹性解析

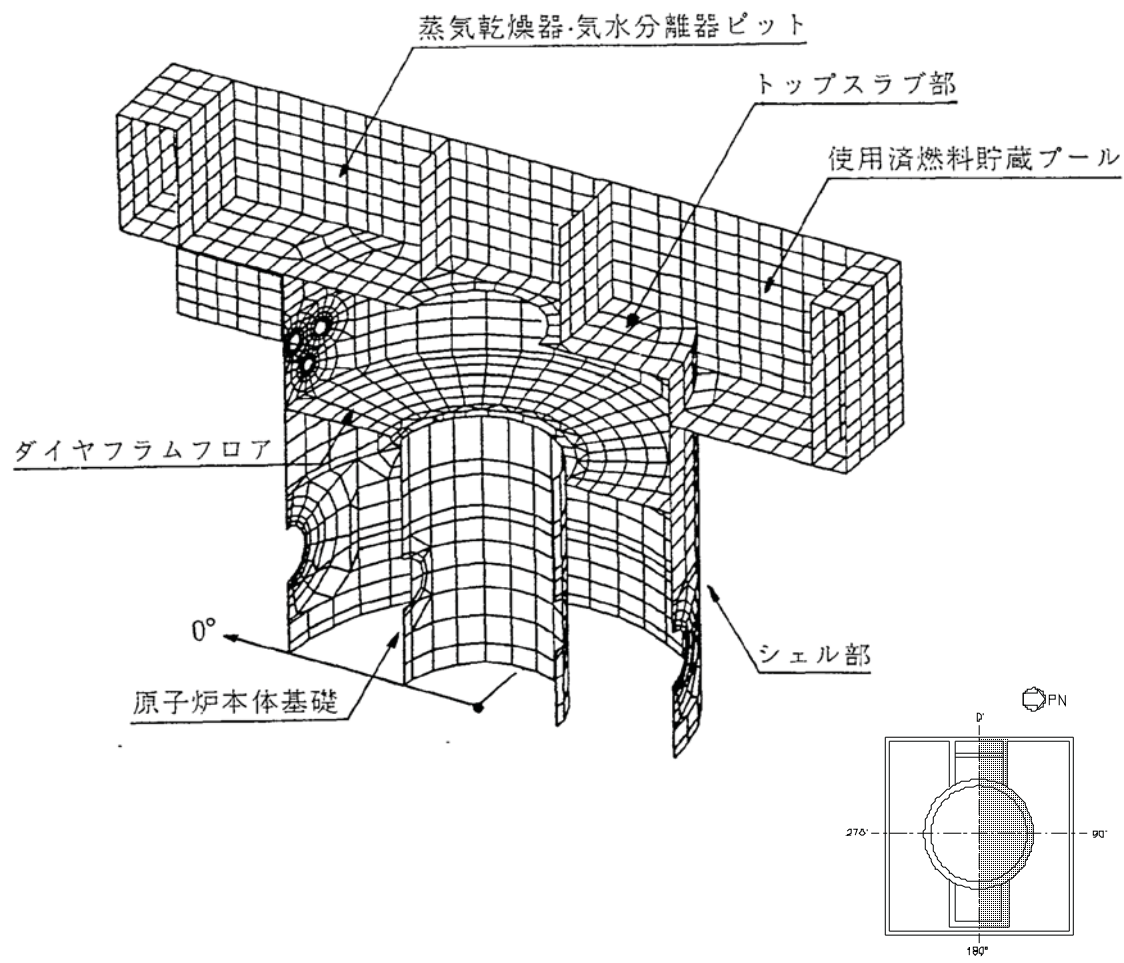
弹性設計用地震動 S_d により求まる地震荷重に対しては、原設計時と同様に、弹性解析により RCCV の応力を評価する。弹性解析は、シェル部およびトップスラブ部を板要素の集合体としてモデル化し、有限要素法により行う。使用する要素は四辺形および三角形で、この要素は均質等方性材料による板要素である。各要素には、板の曲げと膜応力を同時に考えるが、板の曲げには面外せん断変形の影響も考慮する。使用計算機コードは「NASTRAN」である。

RCCV は構造的にはほぼ対称であるので、東西軸に対して北半分をモデル化し、南半分を対称条件として解析する以外は、弾塑性解析で用いている全体モデルと同じ要素分割およびモデル化の考え方を採用している。

解析モデル概要図を第 6.5.2-5 図に示す。

解析に用いる材料の物性値は、次のとおりとする。

- ・コンクリートのヤング係数 …… $E = 3.13 \times 10^4 \text{ N/mm}^2$
- ・コンクリートのポアソン比 ……………… $\nu = 0.2$
- ・コンクリートの線膨張係数 ……… $\alpha = 1.0 \times 10^{-5} / ^\circ\text{C}$



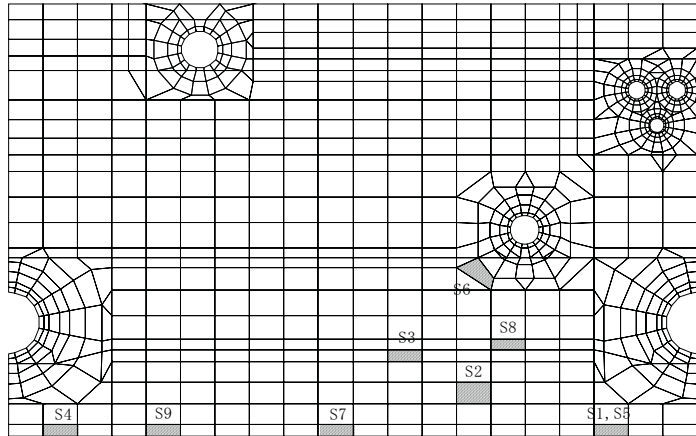
第 6.5.2-5 図 解析モデル概要図（弾性解析）

6.5.2.3. 評価基準

(a) シェル部

設計配筋等より定まる断面諸元に基づいてシェル部の構造検討を行い、耐震安全性について評価する。評価は、応力解析の結果より求まる発生応力およびひずみに対して、評価基準値を超えないことを確認する（「CCV 規格」に準拠）。

検討箇所および検討用断面諸元を第 6.5.2-6 図に示す。



180°
(東) ϕ
 θ

90°
(北)

0°
(西)

子午線方向		円周方向	
設計配筋 ^{*1}	主筋の 鉄筋比 ^{*2} $p_{t\phi} (\%)$	設計配筋 ^{*1}	主筋の 鉄筋比 ^{*2} $p_{t\theta} (\%)$
T.M.S.L. 21 300			
3×320-D51	1.99	2-D51@300	1.35
T.M.S.L. 17 700		3-D51@300	2.02
T.M.S.L. 11 000			
T.M.S.L. 8 700		2-D51@300 + 1-D41@300	1.79
T.M.S.L. 4 500			
2×320-D51 + 1×320-D41	1.77	2-D51@300 + 1-D41@600	1.57
T.M.S.L. -8 200			

注記 *1 : 内側及び外側共、同一配筋とする。

*2 : 全断面に対する鉄筋比を示す。

注1 : 断面の全せいは 200cm とする。

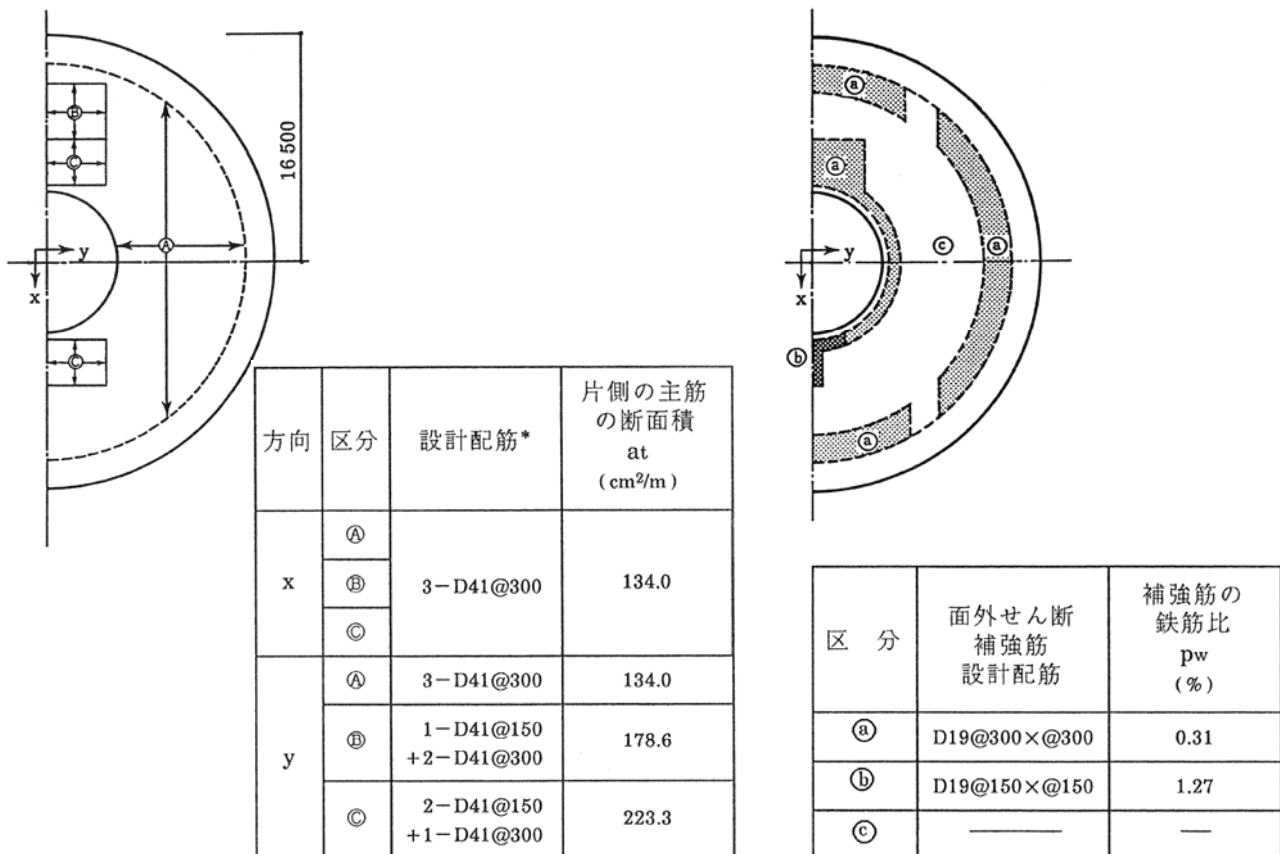
注2 : 主筋のかぶり厚さは、内側 16cm、外側 11cm とする。

第 6.5.2-6 図 シェル部の検討箇所および検討用断面諸元

(b) トップスラブ部

設計配筋等より定まる断面諸元に基づいてトップスラブ部の構造検討を行い、耐震安全性について評価する。評価は、応力解析の結果より求まる発生応力およびひずみに対して、評価基準値を超えないことを確認する（「CCV 規格」に準拠）。

検討箇所および検討用断面諸元を第 6.5.2-7 図に示す。

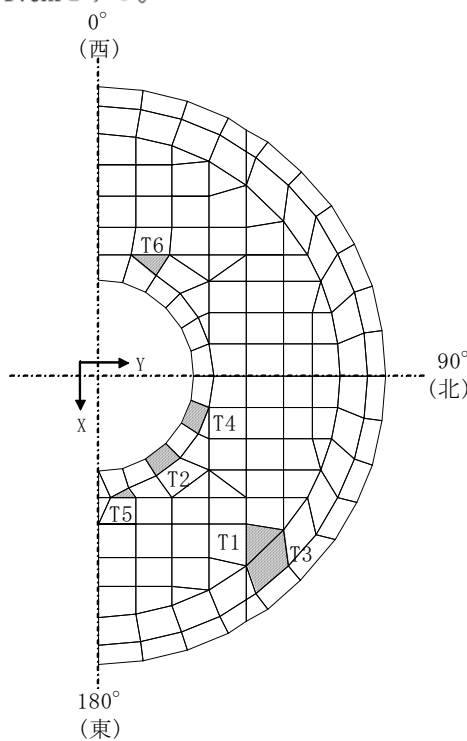


注記 * : 上ば筋及び下ば筋共、同一配筋とする。

注1 : 断面の全せいは 220cm とする。

注2 : 区分(B)及び(C)におけるy方向については、鉄筋の定着長さを差し引いた領域を示す。

注3 : 主筋のかぶり厚さは、上ば筋9cm、下ば筋17cmとする。



第 6.5.2-7 図 トップスラブ部の検討箇所および検討用断面諸元

6.5.2.4. 耐震安全性評価結果

(a) シェル部

基準地震動 S_s による地震荷重時に対する評価結果として、膜力と曲げ応力によって生ずる鉄筋のひずみの検討結果を第 6.5.2-2 表に、膜力によるコンクリートの圧縮応力の検討結果を第 6.5.2-3 表に、面内せん断応力の検討結果を第 6.5.2-4 表に、面外せん断応力の検討結果を第 6.5.2-5 表に示す。

弾性設計用地震動 S_d による地震荷重時に対する評価結果として、膜力と曲げ応力によって生ずるコンクリートおよび鉄筋の応力の検討結果を第 6.5.2-6 表に、面内せん断応力の検討結果を第 6.5.2-7 表に、面外せん断応力の検討結果を第 6.5.2-8 表に示す。

シェル部についての発生応力およびひずみは、評価基準値以内であり、耐震安全性は確保されている。

第 6.5.2-2 表～第 6.5.2-8 表に用いる記号の説明

N : 膜力

$N_{\phi\theta}$: 面内せん断力

Q : 面外せん断力

b, D : 断面の幅および全せい

$c\sigma_c$: コンクリートの圧縮応力

$s\sigma_c, s\sigma_t$: 鉄筋の圧縮応力および引張応力

$c\varepsilon_c$: コンクリートの圧縮ひずみ

$s\varepsilon_c, s\varepsilon_t$: 鉄筋の圧縮ひずみおよび引張ひずみ

(引張側を正として表記)

第 6.5.2-2 表(1) 膜力と曲げ応力によるコンクリートおよび鉄筋のひずみの検討結果 (Ss 地震荷重 : 子午線方向)

箇所名	検討ひずみ	荷重時名称	発生ひずみ ($\times 10^{-6}$)	評価基準値 ($\times 10^{-6}$)	判定
S5	_c ε_c	地震時(3)	-217	-3000	可
	_s ε_c	地震時(3)	-161	-5000	可
	_s ε_t	地震時(3)	884	5000	可

第 6.5.2-2 表(2) 膜力と曲げ応力によるコンクリートおよび鉄筋のひずみの検討結果 (Ss 地震荷重 : 円周方向)

箇所名	検討ひずみ	荷重時名称	発生ひずみ ($\times 10^{-6}$)	評価基準値 ($\times 10^{-6}$)	判定
S6	_c ε_c	地震時(3)	-20	-3000	可
	_s ε_c	地震時(3)	-13	-5000	可
	_s ε_t	地震時(4)	106	5000	可

第 6.5.2-3 表 膜力によるコンクリートの圧縮応力の検討結果
(Ss 地震荷重)

箇所名	荷重時名称	発生応力 N/bD (N/mm ²)	評価基準値 (N/mm ²)	判定
S7	地震時(3)	-11.93	-32.67	可

第 6.5.2-4 表 面内せん断応力の検討結果 (Ss 地震荷重)

箇所名	荷重時名称	発生応力 $N_{\phi\theta}/bD$ (N/mm ²)	評価基準値 (N/mm ²)	判定
S8	地震時(3)	4.69	6.51	可

第 6.5.2-5 表 面外せん断応力の検討結果 (Ss 地震荷重)

箇所名	荷重時名称	発生応力 Q/bD (N/mm ²)	評価基準値 (N/mm ²)	判定
S9	地震時(3)	1.37	2.21	可

第 6.5.2-6 表(1) 膜力と曲げ応力によるコンクリートおよび鉄筋の応力の検討結果 (Sd 地震荷重 : 子午線方向)

箇所名	検討応力	荷重時名称	発生応力 (N/mm ²)	評価基準値 (N/mm ²)	判定
S1	_c σ _c	(異常+地震)時	-8.5	-36.8	可
	_s σ _c	(異常+地震)時	-30.6	-390.0	可
	_s σ _t	(異常+地震)時	313.5	390.0	可

第 6.5.2-6 表(2) 膜力と曲げ応力によるコンクリートおよび鉄筋の応力の検討結果 (Sd 地震荷重 : 円周方向)

箇所名	検討応力	荷重時名称	発生応力 (N/mm ²)	評価基準値 (N/mm ²)	判定
S2	_c σ _c	(異常+地震)時	-5.0	-36.8	可
	_s σ _c	(異常+地震)時	-26.8	-390.0	可
	_s σ _t	地震時(1)	192.7	390.0	可

第 6.5.2-7 表 面内せん断応力の検討結果 (Sd 地震荷重)

箇所名	荷重時名称	発生応力 $N_{\phi \theta} / bD$ (N/mm ²)	評価基準値 (N/mm ²)	判定
S3	地震時(1)	2.12	4.88	可

第 6.5.2-8 表 面外せん断応力の検討結果 (Sd 地震荷重)

箇所名	荷重時名称	発生応力 Q/bD (N/mm ²)	評価基準値 (N/mm ²)	判定
S4	地震時(1)	1.03	1.91	可

(b) トップスラブ部

基準地震動 S_s による地震荷重時に対する評価結果として、軸力と曲げ応力によって生ずる鉄筋のひずみの検討結果を第 6.5.2-9 表に、面外せん断力の検討結果を第 6.5.2-10 表に示す。

弾性設計用地震動 S_d による地震荷重時に対する評価結果として、軸力と曲げ応力によって生ずるコンクリートおよび鉄筋の応力の検討結果を第 6.5.2-11 表に、面外せん断力の検討結果を第 6.5.2-12 表に示す。

トップスラブ部についての発生応力およびひずみは、評価基準値以内であり、耐震安全性は確保されている。

第 6.5.2-9 表～第 6.5.2-12 表に用いる記号の説明

Q : 面外せん断力

$c\sigma_c$: コンクリートの圧縮応力

$s\sigma_c, s\sigma_t$: 鉄筋の圧縮応力および引張応力

$c\varepsilon_c$: コンクリートの圧縮ひずみ

$s\varepsilon_c, s\varepsilon_t$: 鉄筋の圧縮ひずみおよび引張ひずみ

(引張側を正として表記)

第 6.5.2-9 表(1) 軸力と曲げ応力によるコンクリートおよび鉄筋のひずみの検討結果 (Ss 地震荷重 : x 方向)

箇所名	検討ひずみ	荷重時名称	発生ひずみ ($\times 10^{-6}$)	評価基準値 ($\times 10^{-6}$)	判定
T4	_c ε_c	地震時(4)	-1	-3000	可
	_s ε_c	地震時(4)	10	-5000	可
	_s ε_t	地震時(4)	203	5000	可

第 6.5.2-9 表(2) 軸力と曲げ応力によるコンクリートおよび鉄筋のひずみの検討結果 (Ss 地震荷重 : y 方向)

箇所名	検討ひずみ	荷重時名称	発生ひずみ ($\times 10^{-6}$)	評価基準値 ($\times 10^{-6}$)	判定
T5	_c ε_c	地震時(4)	-277	-3000	可
	_s ε_c	地震時(4)	-130	-5000	可
	_s ε_t	地震時(4)	244	5000	可

第 6.5.2-10 表 面外せん断力の検討結果 (Ss 地震荷重)

箇所名	荷重時名称	発生応力 Q (N/mm)	評価基準値 (N/mm)	判定
T6	地震時(4)	2821	4701	可

第 6.5.2-11 表(1) 軸力と曲げ応力によるコンクリートおよび鉄筋の応力の検討結果 (Sd 地震荷重 : x 方向)

箇所名	検討応力	荷重時名称	発生応力 (N/mm ²)	評価基準値 (N/mm ²)	判定
T1	_c σ _c	(異常+地震)時	-3.8	-36.8	可
	_s σ _c	(異常+地震)時	-3.3	-390.0	可
	_s σ _t	地震時(2)	208.9	390.0	可

第 6.5.2-11 表(2) 軸力と曲げ応力によるコンクリートおよび鉄筋の応力の検討結果 (Sd 地震荷重 : y 方向)

箇所名	検討応力	荷重時名称	発生応力 (N/mm ²)	評価基準値 (N/mm ²)	判定
T2	_c σ _c	地震時(2)	-3.4	-36.8	可
	_s σ _c	地震時(1)	-11.3	-390.0	可
	_s σ _t	地震時(2)	208.6	390.0	可

第 6.5.2-12 表 面外せん断力の検討結果 (Sd 地震荷重)

箇所名	荷重時名称	発生応力 Q (N/mm)	評価基準値 (N/mm)	判定
T3	地震時(2)	1946	4701	可

6.5.3. RCCV 底部の耐震安全性評価

6.5.3.1. 検討概要

RCCV 底部の構造の検討は、「CCV 規格」の規定に従って行う。

原設計時からの変更がない死荷重および活荷重、運転時荷重、異常時荷重に、今回新たに算定する地震荷重を組み合せた荷重時に対して、基準地震動 S_s による地震荷重については鉄筋コンクリート部材の塑性化を考慮した弾塑性解析を行い、また、弹性設計用地震動 S_d による地震荷重については部材の弹性剛性に立脚した弹性解析を行い、各荷重時の発生応力を算定する。

基準地震動 S_s および弹性設計用地震動 S_d による地震荷重については、第 6.5.3-1 表に示す組合せを考慮する。水平地震動と鉛直地震動の荷重の組合せは、組合せ係数法（組合せ係数 0.4）により評価する。

第 6.5.3-1 表 地震時荷重の組合せ

荷重状態	荷重時名称	荷重の組合せ
III	地震時(1)	$DL+P_1+T_1+H_1+K_1$
	(異常+地震)時	$DL+P_{25}+T_{25}+K_1$
IV	地震時(2)	$DL+P_1+H_1+K_2$
	地震時(3)	$DL+K_2$

ここに、
 DL : 死荷重および活荷重
 P_1 : 運転時圧力
 P_{25} : 異常時圧力 (720 時間後)
 T_1 : 運転時温度荷重
 T_{25} : 異常時温度荷重 (720 時間後)
 H_1 : 逃がし安全弁作動時荷重
 K_1 : Sd 地震荷重
 K_2 : Ss 地震荷重

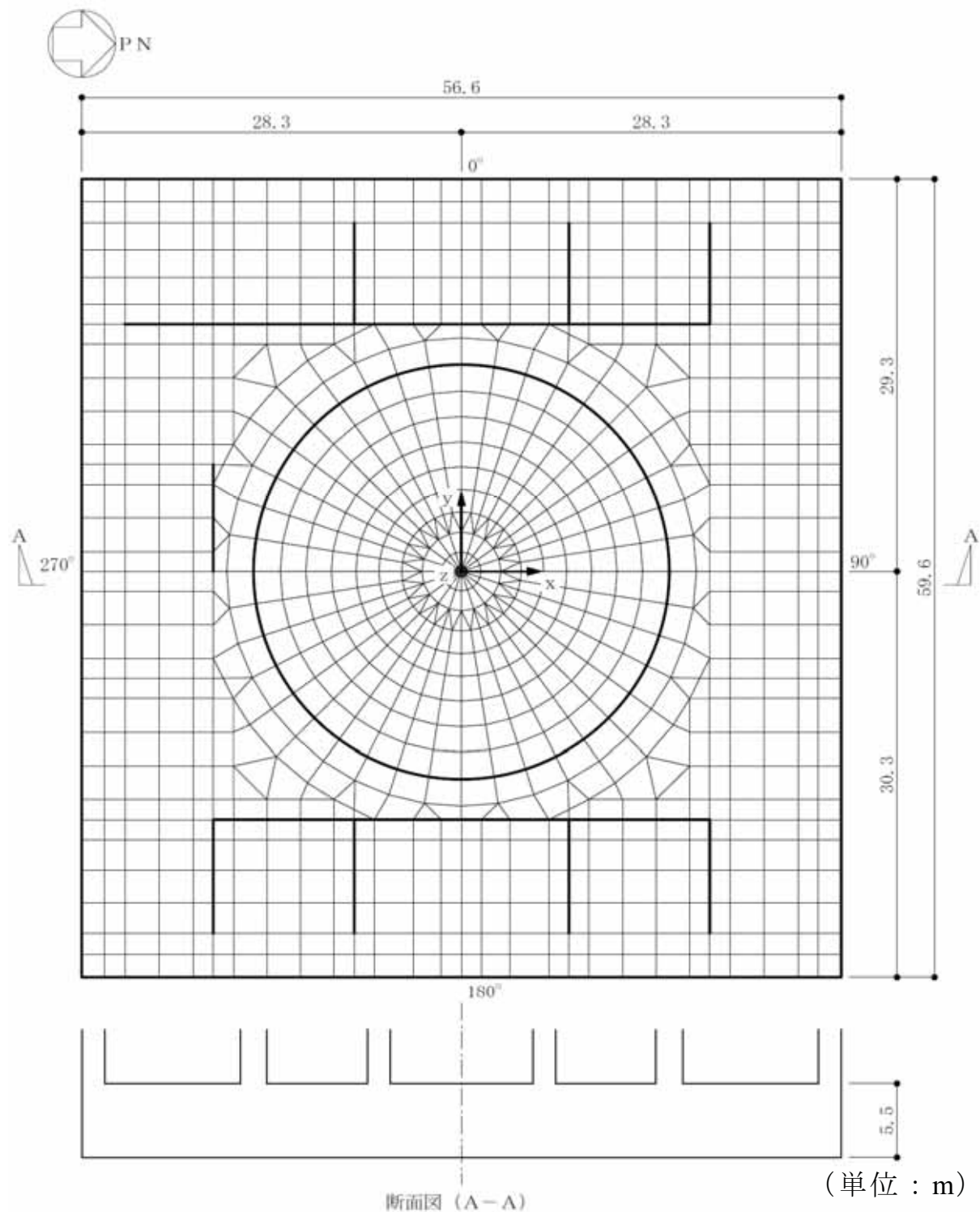
構造の検討は、設定した設計配筋に対し、各荷重組合せにおいて生ずる部材の応力およびひずみが、「CCV 規格」に示される各荷重状態の評価基準値以内であることを確認する。

6.5.3.2. 応力解析

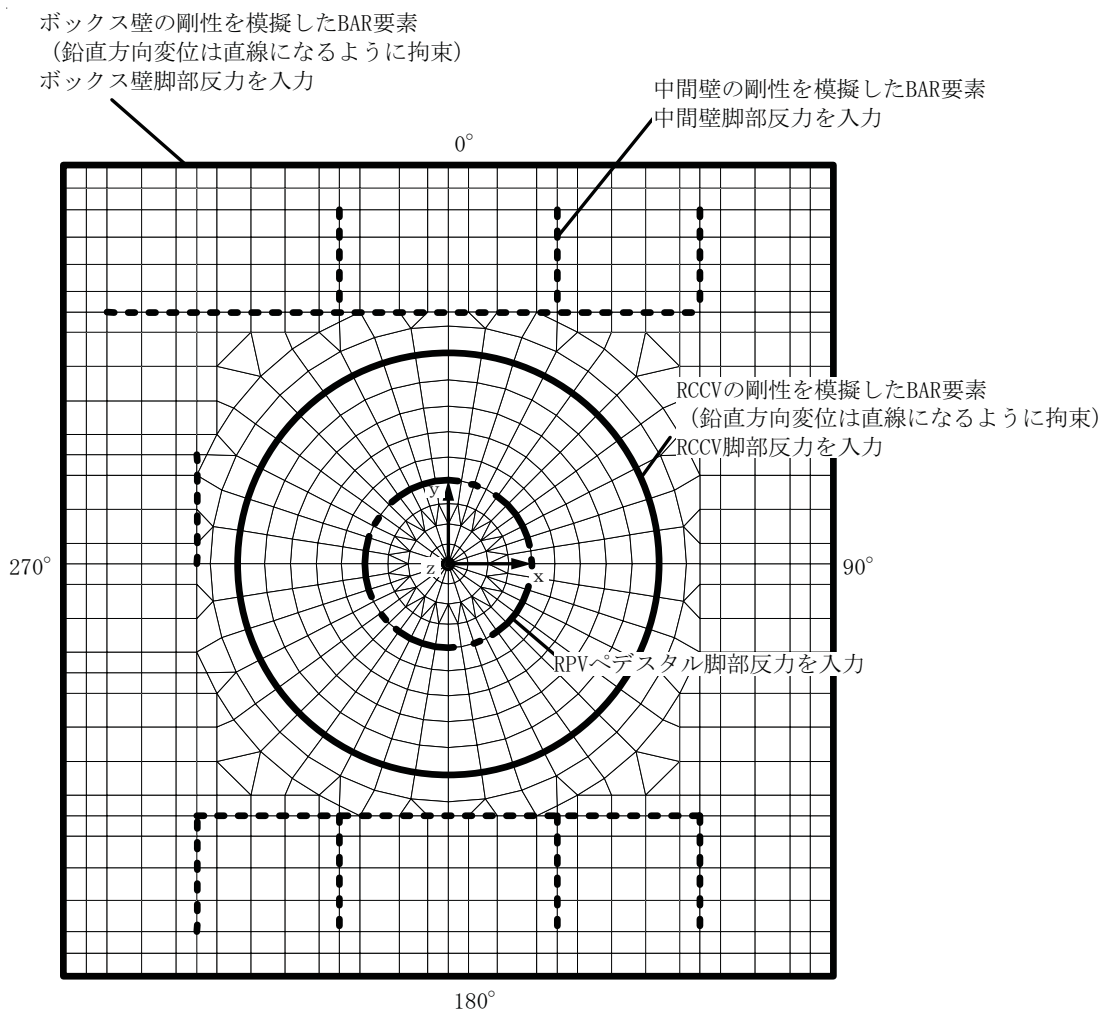
(a) 弹塑性解析

基準地震動 Ss により求まる地震荷重に対しては、弾塑性解析により RCCV 底部の応力を評価する。弾塑性解析は、基礎スラブを積層シェル要素の集合体としてモデル化し、有限要素法により行う。要素分割、基礎スラブより立ち上がっている耐震壁のモデル化および支持地盤のモデル化等については、弾性解析で用いているモデルと同じ考え方を採用している。使用する要素は四辺形および三角形で、この要素は鉄筋層をモデル化した異方性材料による積層シェル要素である。各要素には、板の曲げと膜応力を同時に考えるが、板の曲げには面外せん断変形の影響も考慮する。使用計算機コードは「ABAQUS」である。また、基礎スラブより立ち上がっている耐震壁の剛性を考慮して、ボックス壁および RCCV の部分の鉛直方向変位は直線になるものとしてモデル化する。支持地盤は、これと等価な弾性ばねとしてモデル化するが、支持地盤と基礎スラブの構造的性質を考慮して、このばねには引張力は作用させないものとする。また、ライナプレートについては、剛性が基礎スラブに比べて小さいので、解析モデルには考慮しない。

解析モデル概要図を第 6.5.3-1 図に、RCCV 底部の境界条件を第 6.5.3-2 図に、RCCV 底部の応力成分を第 6.5.3-3 図に示す。

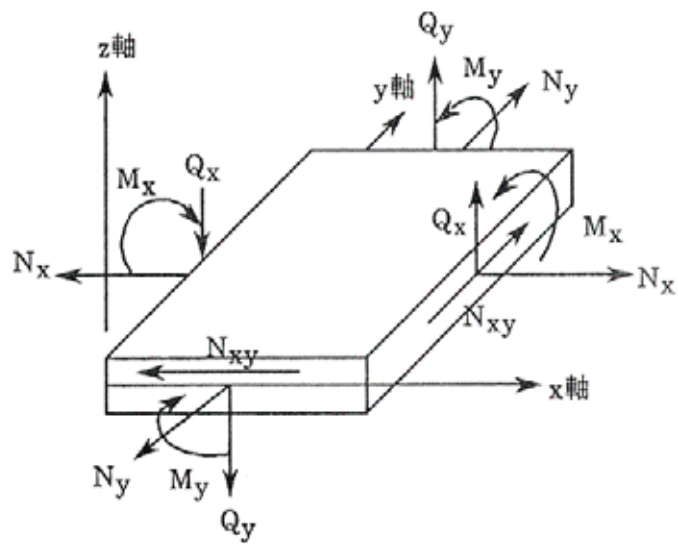


第 6.5.3-1 図 解析モデル概要図



※支持地盤および側方地盤は、等価な弾性ばねとしてモデル化する。
支持地盤については、浮き上がりを考慮した接触ばね要素とする。

第 6.5.3-2 図 RCCV 底部の境界条件



M_x, M_y	: 曲げモーメント	kNm/m
Q_x, Q_y	: 面外せん断力	kN/m
N_x, N_y	: 軸 力	kN/m
N_{xy}	: 面内せん断力	kN/m

応力の符号(矢印の方向を正とする。)

第 6.5.3-3 図 RCCV 底部の応力成分

(b) 弹性解析

弹性設計用地震動 S_d により求まる地震荷重に対しては、原設計時と同様に、弹性解析により RCCV 底部の応力を評価する。弹性解析は、基礎スラブを板要素の集合体としてモデル化し、弹性地盤上に支持された版として有限要素法により行う。使用する要素は四辺形および三角形で、この要素は均質等方性材料による板要素である。各要素には、板の曲げと膜応力を同時に考えるが、板の曲げには面外せん断変形の影響も考慮する。使用計算機コードは「NASTRAN」である。また、ライナプレートについては、剛性が基礎スラブに比べて小さいので、弾塑性解析モデルと同様に考慮しない。

解析に用いる材料の物性値は、次のとおりとする。

- ・コンクリートのヤング係数 $E = 2.90 \times 10^4 \text{ N/mm}^2$
- ・コンクリートのポアソン比 $\nu = 0.2$
- ・コンクリートの線膨張係数 $\alpha = 1.0 \times 10^{-5} / {}^\circ\text{C}$

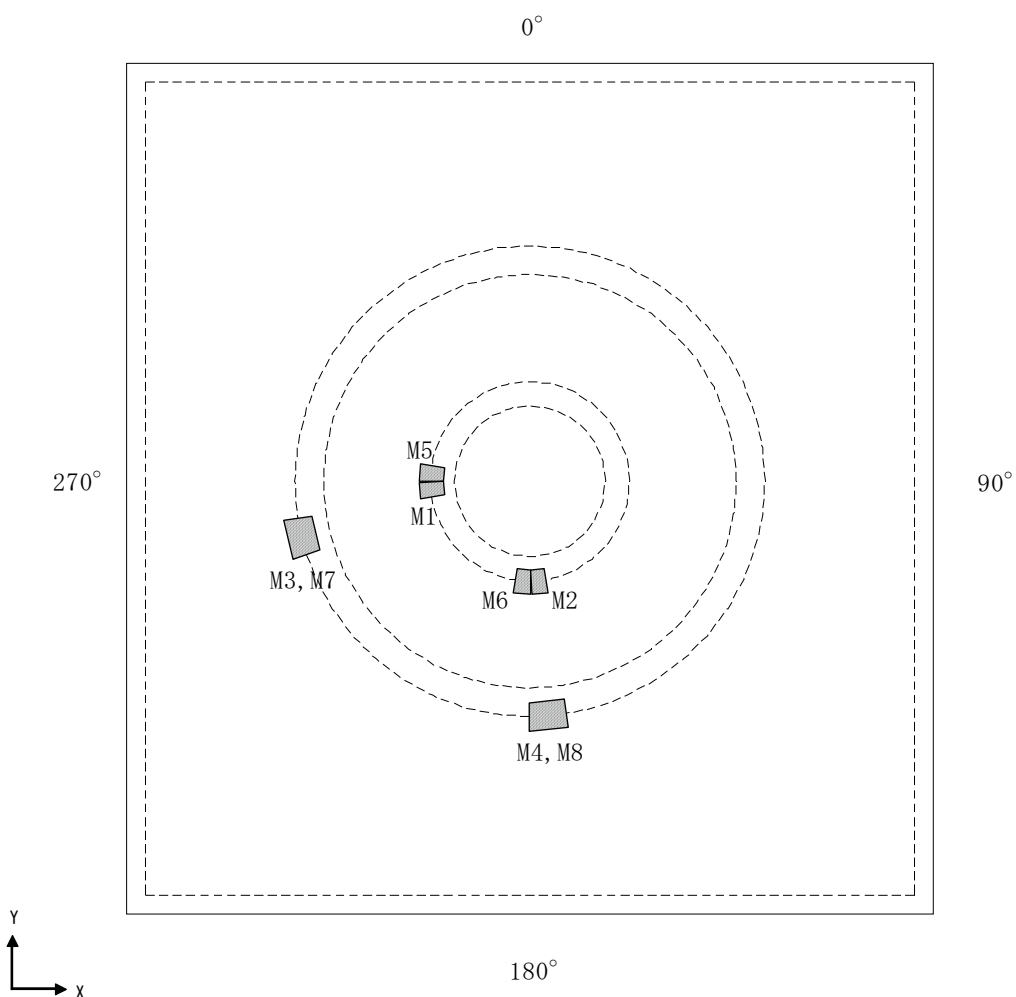
6.5.3.3. 評価基準

設計配筋等より定まる断面諸元に基づいて RCCV 底部の構造検討を行い、耐震安全性について評価する。評価は、応力解析の結果より求まる発生応力およびひずみに対して、評価基準値を超えないことを確認する（「CCV 規格」に準拠）。

検討箇所および検討用断面諸元を第 6.5.3-4 図に示す。

方向	位置	上ば筋		下ば筋		主筋断面積(cm ² /m)	
		放射方向筋	円周方向筋	x,y 方向筋	x,y 方向筋	上ば筋	下ば筋
x	M1	5 × 160-D38	2-D38@200+3-D38@400	x,y 方向共 5-D38@200	x,y 方向筋	184.9	285.0
y	M2					184.9	285.0
x	M5					184.9	285.0
y	M6					184.9	285.0

位置	せん断補強筋	せん断補強筋比(%)
M3	D35@400 × @400	0.59
M4		
M7		
M8		



第 6.5.3-4 図 RCCV 底部の検討箇所および検討用断面諸元

6.5.3.4. 耐震安全性評価結果

基準地震動 S_s による地震荷重時に対する評価結果として、軸力と曲げ応力によって生ずる鉄筋のひずみの検討結果を第 6.5.3-2 表に、面外せん断力の検討結果を第 6.5.3-3 表に示す。

弾性設計用地震動 S_d による地震荷重時に対する評価結果として、軸力と曲げ応力によって生ずるコンクリートおよび鉄筋の応力の検討結果を第 6.5.3-4 表に、面外せん断力の検討結果を第 6.5.3-5 表に示す。

RCCV 底部についての発生応力およびひずみは、評価基準値以内であり、耐震安全性は確保されている。

第 6.5.3-2 表～第 6.5.3-5 表に用いる記号の説明

Q_x, Q_y : x 方向および y 方向の面外せん断力

$c\sigma_c$: コンクリートの圧縮応力

$s\sigma_c, s\sigma_t$: 鉄筋の圧縮応力および引張応力

$c\varepsilon_c$: コンクリートの圧縮ひずみ

$s\varepsilon_c, s\varepsilon_t$: 鉄筋の圧縮ひずみおよび引張ひずみ

(引張側を正として表記)

第 6.5.3-2 表(1) 軸力と曲げ応力によるコンクリートおよび鉄筋のひずみの検討結果 (Ss 地震荷重 : x 方向)

箇所名	検討ひずみ	荷重時名称	発生ひずみ ($\times 10^{-6}$)	評価基準値 ($\times 10^{-6}$)	判定
M5	_c ε_c	地震時(2)	-332	-3000	可
	_s ε_c	地震時(2)	-163	-5000	可
	_s ε_t	地震時(2)	286	5000	可

第 6.5.3-2 表(2) 軸力と曲げ応力によるコンクリートおよび鉄筋のひずみの検討結果 (Ss 地震荷重 : y 方向)

箇所名	検討ひずみ	荷重時名称	発生ひずみ ($\times 10^{-6}$)	評価基準値 ($\times 10^{-6}$)	判定
M6	_c ε_c	地震時(2)	-319	-3000	可
	_s ε_c	地震時(2)	-159	-5000	可
	_s ε_t	地震時(2)	266	5000	可

第 6.5.3-3 表(1) 面外せん断力の検討結果 (Ss 地震荷重 : x 方向)

箇所名	荷重時名称	発生応力 Q_x (N/mm)	評価基準値 (N/mm)	判定
M7	地震時(2)	9719	12787	可

第 6.5.3-3 表(2) 面外せん断力の検討結果 (Ss 地震荷重 : y 方向)

箇所名	荷重時名称	発生応力 Q_y (N/mm)	評価基準値 (N/mm)	判定
M8	地震時(2)	10691	12787	可

第 6.5.3-4 表(1) 軸力と曲げ応力によるコンクリートおよび鉄筋の応力の検討結果 (Sd 地震荷重 : x 方向)

箇所名	検討応力	荷重時名称	発生応力 (N/mm ²)	評価基準値 (N/mm ²)	判定
M1	_c σ _c	地震時(1)	-11.6	-33.1	可
	_s σ _c	(異常+地震)時	-68.0	-345.0	可
	_s σ _t	地震時(1)	253.8	345.0	可

第 6.5.3-4 表(2) 軸力と曲げ応力によるコンクリートおよび鉄筋の応力の検討結果 (Sd 地震荷重 : y 方向)

箇所名	検討応力	荷重時名称	発生応力 (N/mm ²)	評価基準値 (N/mm ²)	判定
M2	_c σ _c	(異常+地震)時	-11.6	-33.1	可
	_s σ _c	(異常+地震)時	-68.4	-345.0	可
	_s σ _t	(異常+地震)時	253.4	345.0	可

第 6.5.3-5 表(1) 面外せん断力の検討結果 (Sd 地震荷重 : x 方向)

箇所名	荷重時名称	発生応力 Qx (N/mm)	評価基準値 (N/mm)	判定
M3	地震時(1)	5652	12787	可

第 6.5.3-5 表(2) 面外せん断力の検討結果 (Sd 地震荷重 : y 方向)

箇所名	荷重時名称	発生応力 Qy (N/mm)	評価基準値 (N/mm)	判定
M4	地震時(1)	7140	12787	可

6.6. 使用済燃料貯蔵プールの耐震安全性評価

6.6.1. 使用済燃料貯蔵プールの構造概要

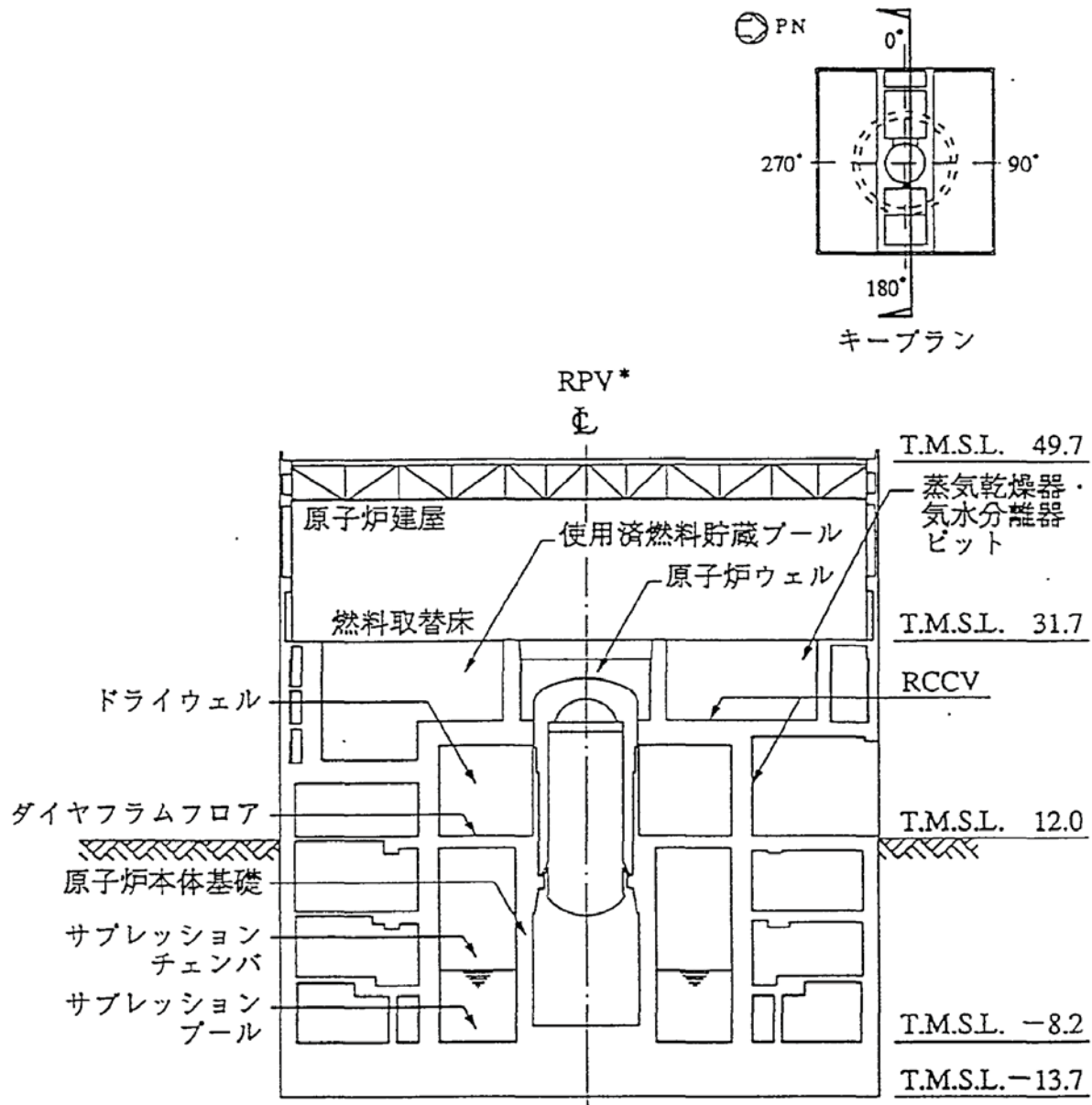
使用済燃料貯蔵プールは原子炉建屋の燃料取替床（T.M.S.L. 31.7m）付近に位置する鉄筋コンクリート構造物で、使用済燃料、制御棒および使用済燃料輸送容器が収容される。

使用済燃料貯蔵プール内には、収容される機器のしゃへいおよび冷却のため常時水が張られている。使用済燃料貯蔵プール内面はステンレス鋼でライニングされており、漏水を防ぐと共に、保守、点検についても考慮されている。

また、原子炉ウェルをはさんで使用済燃料貯蔵プールの反対側には、燃料交換時に蒸気乾燥器と気水分離器を仮置きする蒸気乾燥器・気水分離器ピットがある（以下、使用済燃料貯蔵プールおよび蒸気乾燥器・気水分離器ピットの両方を示す場合は、これを「プール」という）。

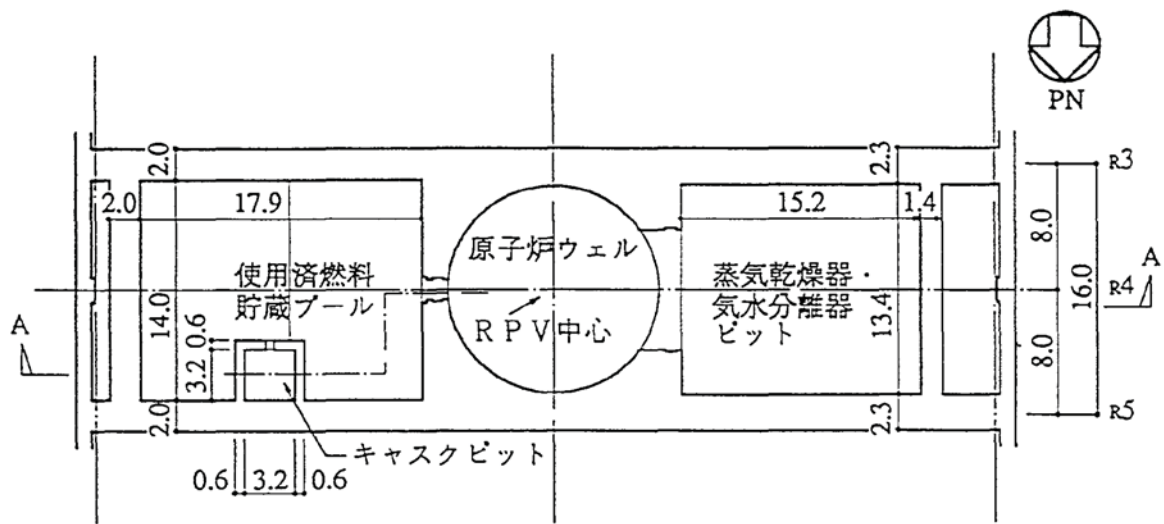
プールの配置図を第 6.6.1-1 図に、平面図および断面図を第 6.6.1-2 図に示す。

使用済燃料貯蔵プールの大きさは、内面寸法で平面 17.9 m × 14.0m、深さ 11.82m、壁厚 2.0m、底面スラブ厚 2.3m である。

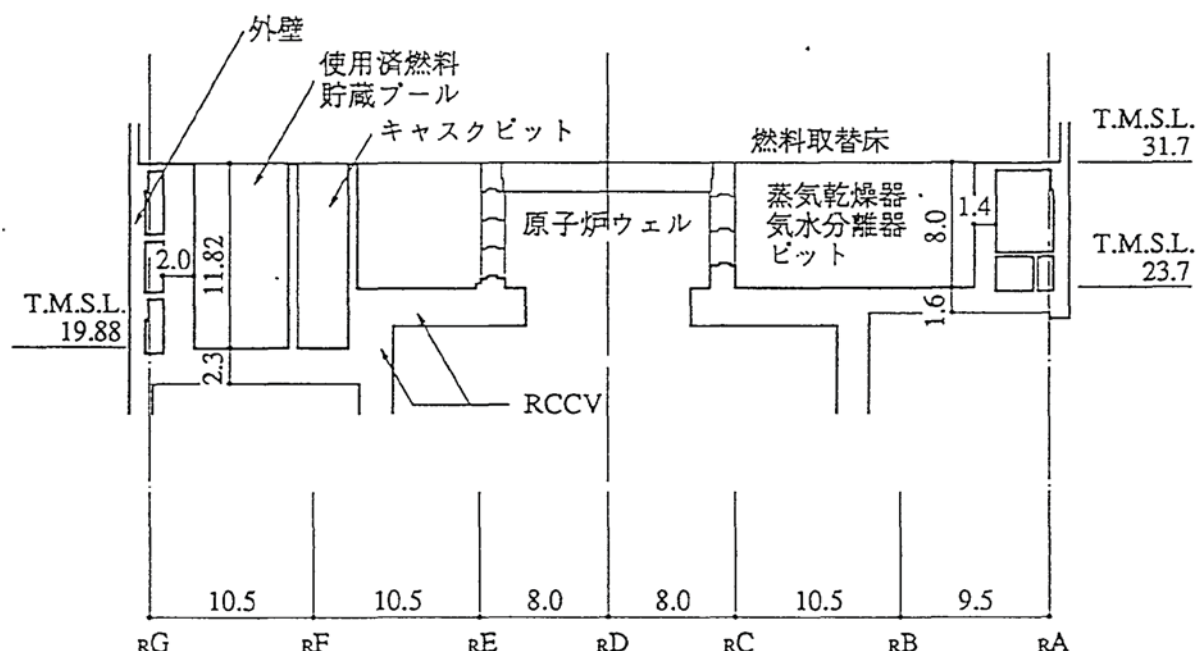


注記 * : 原子炉圧力容器 (以下、「RPV」と略す。) (単位 : m)

第 6.6.1-1 図 プールの配置図



平面図



A-A 断面図

(単位: m)

第 6.6.1-2 図 プールの平面図および断面図

6.6.2. 検討概要

原設計時からの変更がない死荷重および活荷重、運転時荷重に、今回新たに算定する基準地震動 Ss による地震荷重を組み合せた荷重に対して、鉄筋コンクリート部材の塑性化を考慮した弾塑性解析を行い、各荷重時の発生応力を算定する。

基準地震動 Ss による地震荷重については、第 6.6.2-1 表に示す組合せを考慮する。水平地震動と鉛直地震動の荷重の組合せは、組合せ係数法（組合せ係数 0.4）により評価する。

第 6.6.2-1 表 地震時荷重の組合せ

荷重状態	荷重時名称	荷重の組合せ
IV	地震時	$DL_1 + P_1 + H_1 + K_2 + KH_2 + R_{42}$

ここに、 DL_1 : 死荷重および活荷重（運転時）

P_1 : 運転時圧力

H_1 : 逃がし安全弁作動時荷重

K_2 : Ss 地震荷重

KH_2 : Ss 地震時動水圧

R_{42} : Ss 地震時配管荷重

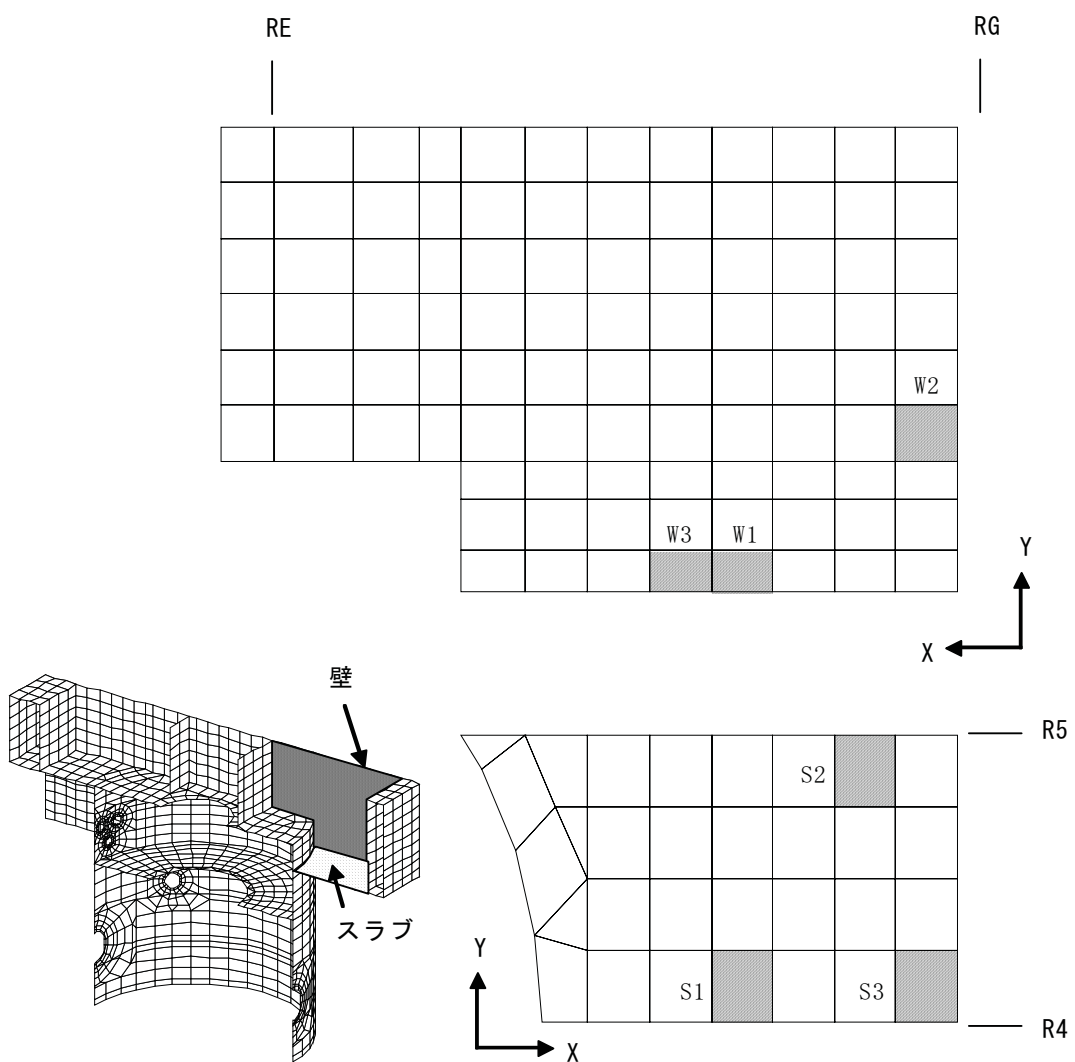
6.6.3. 応力解析

基準地震動 S_s により求まる地震荷重に対しては、弾塑性解析により使用済燃料貯蔵プールの応力を評価する。解析モデルは、「6.5.2.2. 応力解析」に記載している原子炉格納容器を含めた一体モデルとする。

6.6.4. 評価基準

設計配筋等より定まる断面諸元に基づいて使用済燃料貯蔵プールの構造検討を行い、耐震安全性について評価する。評価は、応力解析の結果より求まる発生応力およびひずみに対して、評価基準値を超えないことを確認する（「CCV 規格」に準拠）。

検討箇所および検討用断面諸元を第 6.6.4-1 図に示す。



位置	内側筋		外側筋		せん断 補強筋
	x 方向	y 方向	x 方向	y 方向	
W1					
W2	3-D38@200	3-D38@200	3-D38@200	3-D38@200	—
W3					

位置	上ば筋		下ば筋		せん断 補強筋
	x 方向	y 方向	x 方向	y 方向	
S1					
S2	4-D38@200	3-D38@200	4-D38@200	3-D38@200	—
S3					

第 6.6.4-1 図 使用済燃料貯蔵プールの検討箇所および検討用断面諸元

6.6.5. 耐震安全性評価結果

基準地震動 Ss による地震荷重時に対する評価結果として、軸力と曲げ応力によって生ずるコンクリートおよび鉄筋のひずみの検討結果を第 6.6.5-1 表に、面内せん断力の検討結果を第 6.6.5-2 表に、面外せん断力の検討結果を第 6.6.5-3 表に示す。なお、使用済燃料貯蔵プールの耐震安全性は、構造的にはコンクリート部のみで担保できるように設計されている。また、漏えい防止機能については、内貼りされた鋼製ライナにより担保できるように設計されている。

評価結果より、使用済燃料貯蔵プールについての発生応力およびひずみは、評価基準値以内であり、耐震安全性は確保されている。なお、コンクリート表面のひずみは大きくないことから、ライナの耐震安全性も確保されている。

第 6.6.5-1 表～第 6.6.5-3 表に用いる記号の説明

N_{xy} : 面内せん断力

Q : 面外せん断力

$c \varepsilon_c$: コンクリートの圧縮ひずみ

$s \varepsilon_c, s \varepsilon_t$: 鉄筋の圧縮ひずみおよび引張ひずみ

(引張側を正として表記)

第 6.6.5-1 表(1) 軸力と曲げ応力によるコンクリートおよび鉄筋のひずみの検討結果 (Ss 地震荷重 : 壁部)

箇所名	検討ひずみ	荷重時名称	発生ひずみ($\times 10^{-6}$)	評価基準値($\times 10^{-6}$)	判定
W1	_c ε_c	地震時	-102	-3000	可
	_s ε_c	地震時	-31	-5000	可
	_s ε_t	地震時	249	5000	可

第 6.6.5-1 表(2) 軸力と曲げ応力によるコンクリートおよび鉄筋のひずみの検討結果 (Ss 地震荷重 : スラブ部)

箇所名	検討ひずみ	荷重時名称	発生ひずみ($\times 10^{-6}$)	評価基準値($\times 10^{-6}$)	判定
S1	_c ε_c	地震時	-132	-3000	可
	_s ε_c	地震時	-52	-5000	可
	_s ε_t	地震時	270	5000	可

第 6.6.5-2 表(1) 面内せん断力の検討結果 (Ss 地震荷重 : 壁部)

箇所名	荷重時名称	発生応力 N_{xy} (N/mm)	評価基準値 (N/mm)	判定
W2	地震時	4451	11799	可

第 6.6.5-2 表(2) 面内せん断力の検討結果 (Ss 地震荷重 : スラブ部)

箇所名	荷重時名称	発生応力 N_{xy} (N/mm)	評価基準値 (N/mm)	判定
S2	地震時	1709	11758	可

第 6.6.5-3 表(1) 面外せん断力の検討結果 (Ss 地震荷重 : 壁部)

箇所名	荷重時名称	発生応力 Q (N/mm)	評価基準値 (N/mm)	判定
W3	地震時	1481	2058	可

第 6.6.5-3 表(2) 面外せん断力の検討結果 (Ss 地震荷重 : スラブ部)

箇所名	荷重時名称	発生応力 Q (N/mm)	評価基準値 (N/mm)	判定
S3	地震時	1835	2109	可

6.7. コントロール建屋の耐震安全性評価

柏崎刈羽原子力発電所 7 号機 「発電用原子炉施設に関する耐震設計審査指針」の改訂に伴う耐震安全性評価結果 報告書（改訂 1）（原管発官 20 第 441 号 平成 21 年 1 月 9 日付け、原管発官 21 第 40 号 平成 21 年 4 月 24 日付けで「柏崎刈羽原子力発電所 7 号機 タービン建屋の地震応答解析における耐震壁及び補助壁の取扱いの不適合」に伴う再評価結果等を反映）に示すとおり。

6.8. 参考文献

- [1] Novak, M., Nogami, T., and Aboul-Ella, F., "Dynamic Soil Reactions For Plane Strain Case" ASCE, EM4, 1987, 953-959

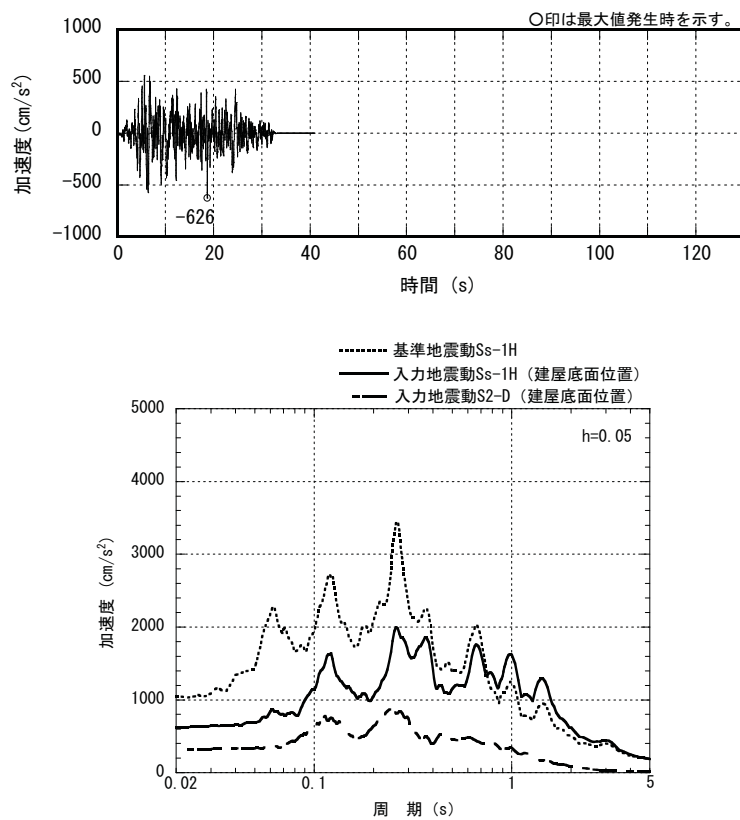
6号機原子炉建屋の入力地震動に関する検討資料

基準地震動 S_s による入力地震動の時刻歴波形及び加速度応答スペクトルの比較を以下に示す。

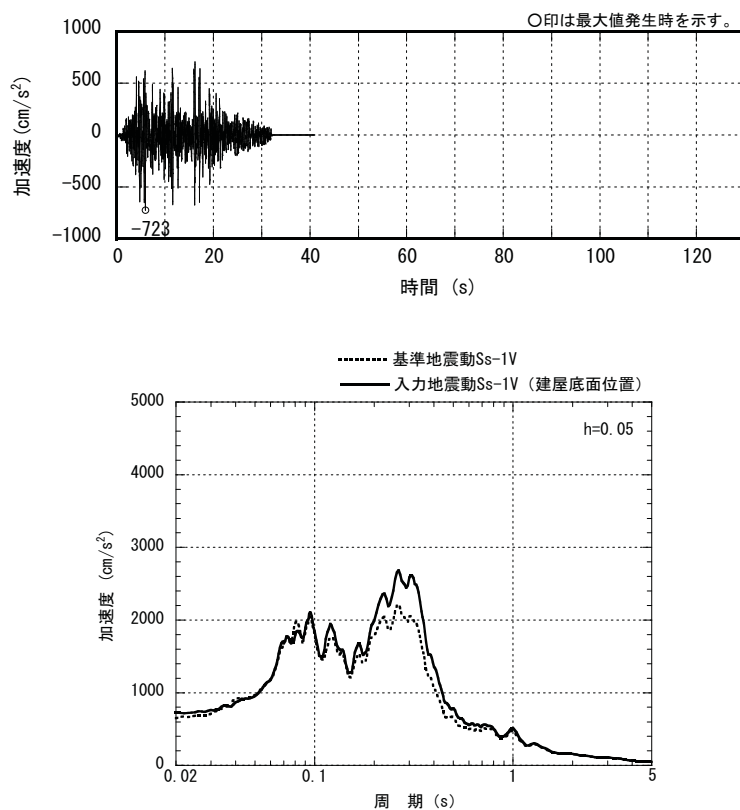
水平方向の入力地震動は、解放基盤表面で定義される基準地震動 S_s (2E) を用いて、一次元波動論により算定した建屋側面及び底面位置での応答波 (E+F) とする。

鉛直方向の入力地震動は、解放基盤表面で定義される基準地震動 S_s (鉛直動, 2E) を用いて、一次元波動論により算定した建屋底面位置での応答波 (2E) とする。

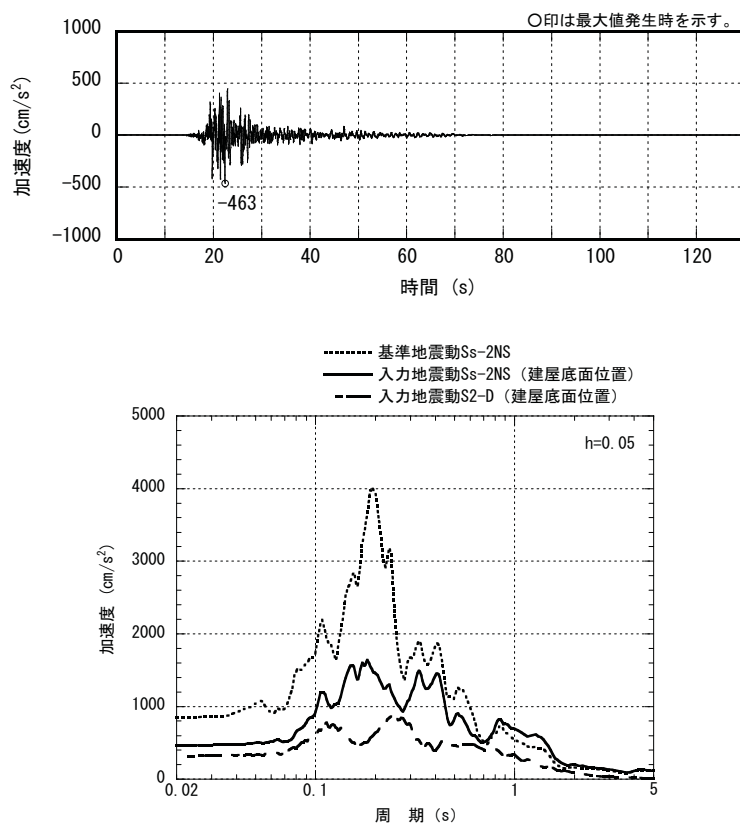
水平及び鉛直方向の建屋底面位置における入力地震動の時刻歴波形及び加速度応答スペクトルを添図-1～添図-5 に示す。加速度応答スペクトルについては基準地震動 S_s と比較して示す。



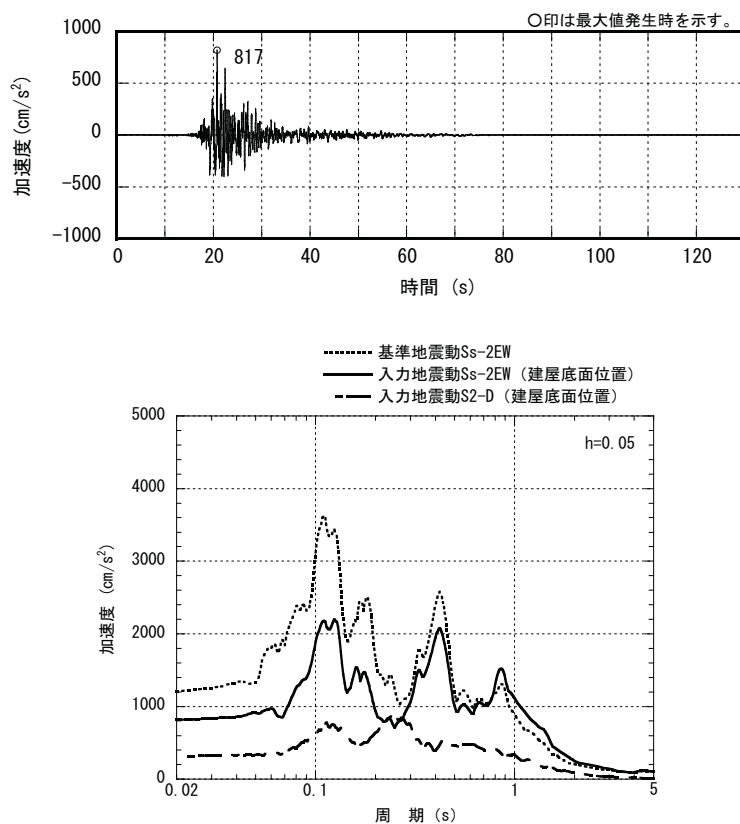
添図-1(a) 水平方向入力地震動の時刻歴波形と加速度応答スペクトル (Ss-1H)



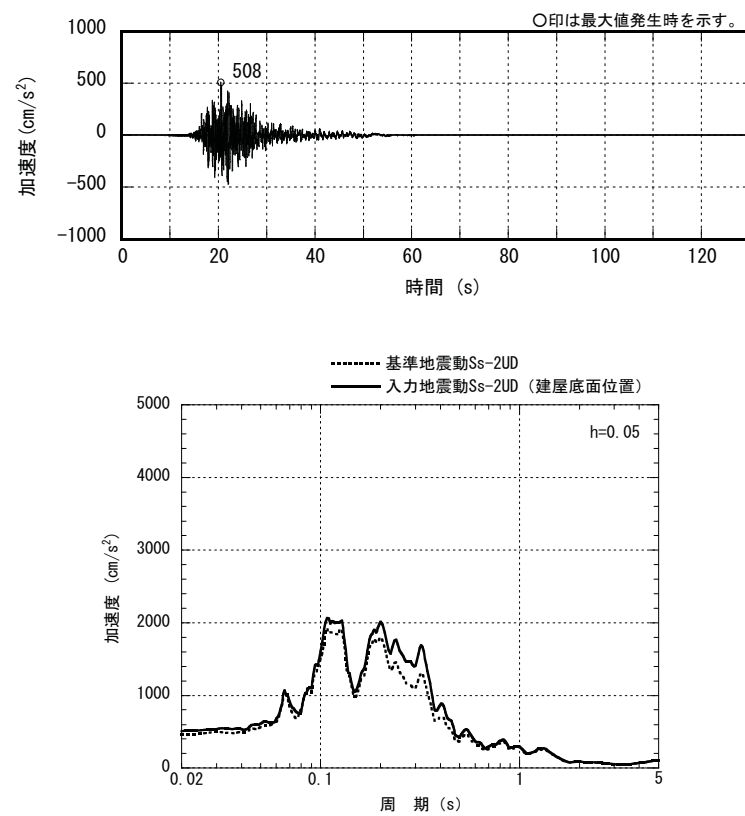
添図-1(b) 鉛直方向入力地震動の時刻歴波形と加速度応答スペクトル (Ss-1V)



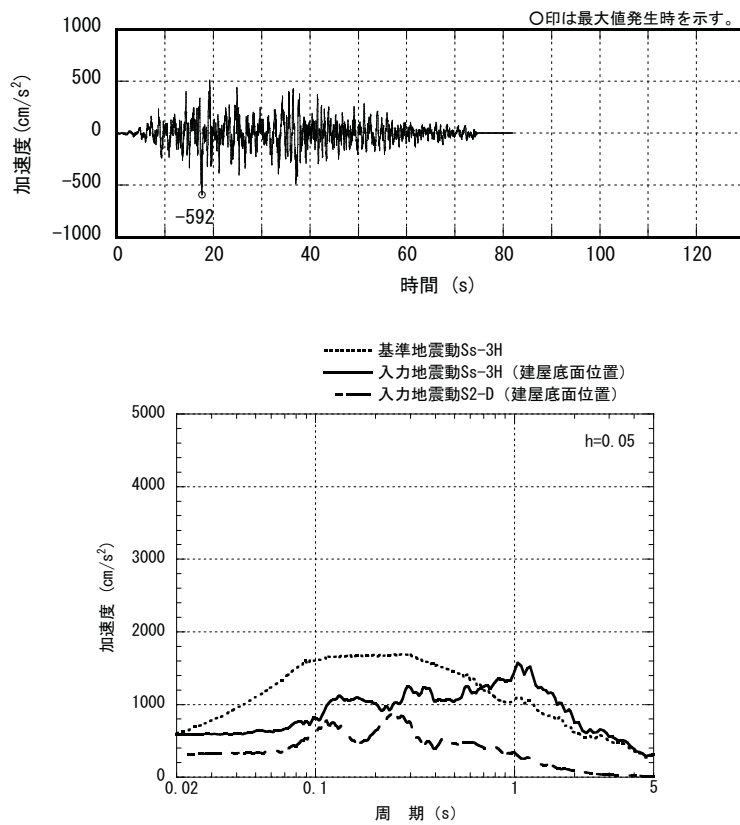
添図-2(a) 水平方向入力地震動の時刻歴波形と加速度応答スペクトル (Ss-2NS)



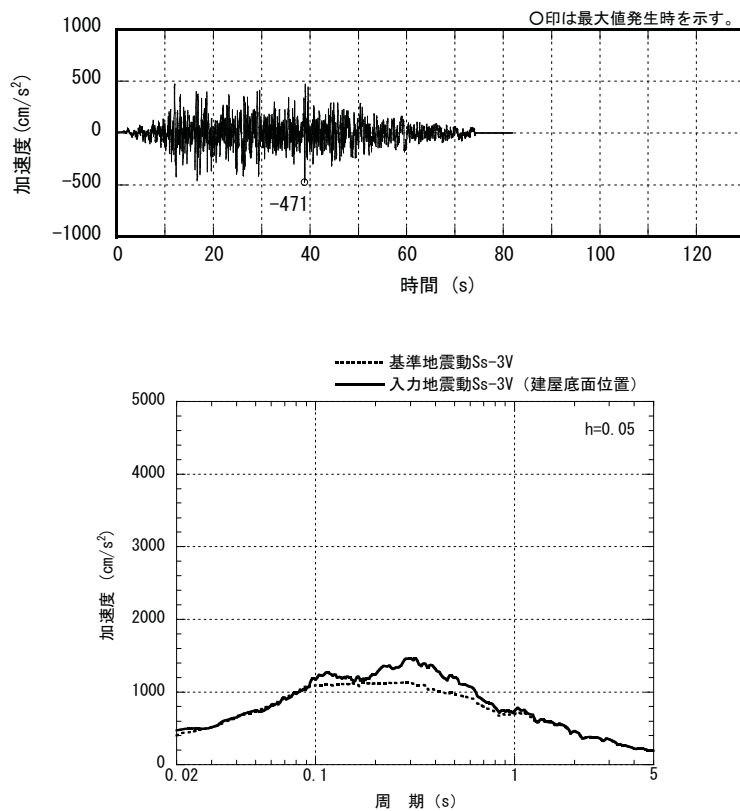
添図-2(b) 水平方向入力地震動の時刻歴波形と加速度応答スペクトル (Ss-2EW)



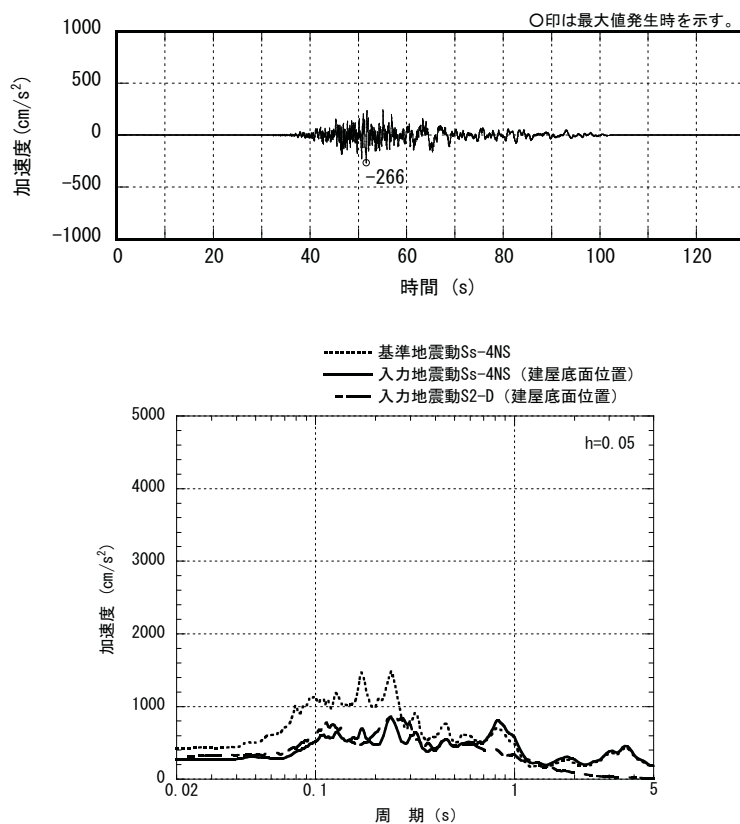
添図-2(c) 鉛直方向入力地震動の時刻歴波形と加速度応答スペクトル (Ss-2UD)



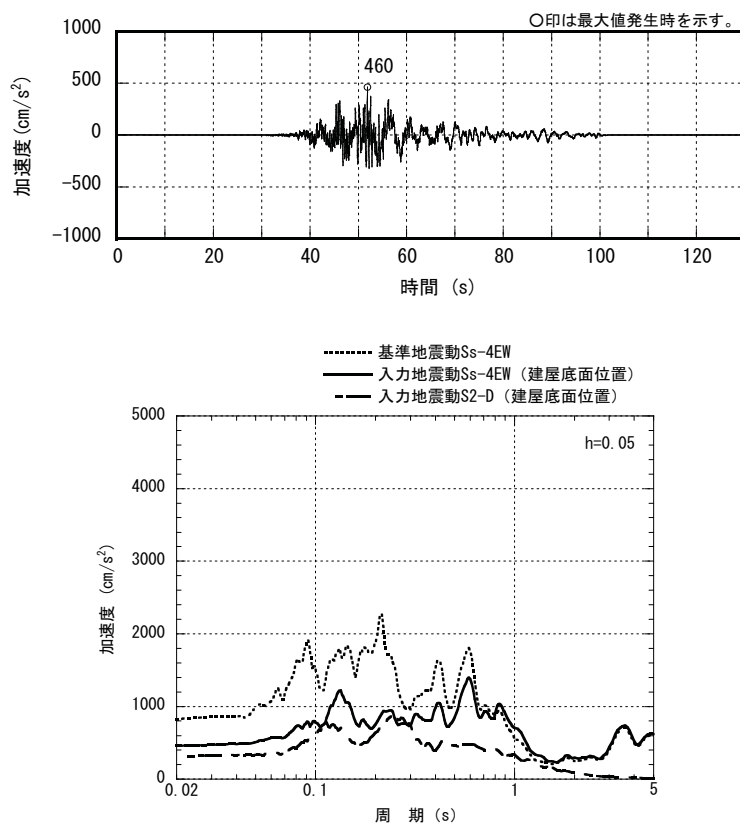
添図-3(a) 水平方向入力地震動の時刻歴波形と加速度応答スペクトル (Ss-3H)



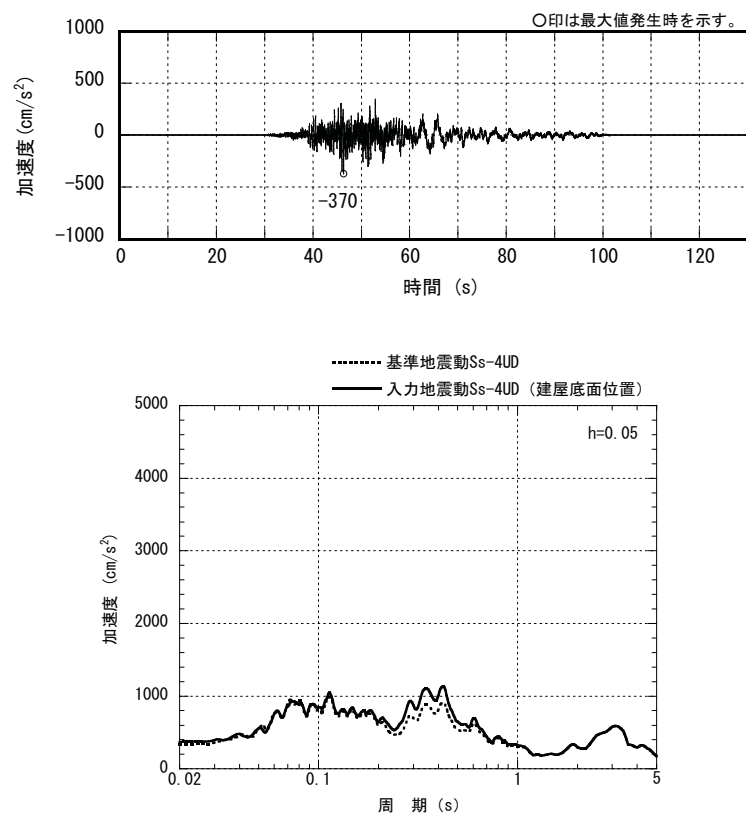
添図-3(b) 鉛直方向入力地震動の時刻歴波形と加速度応答スペクトル (Ss-3V)



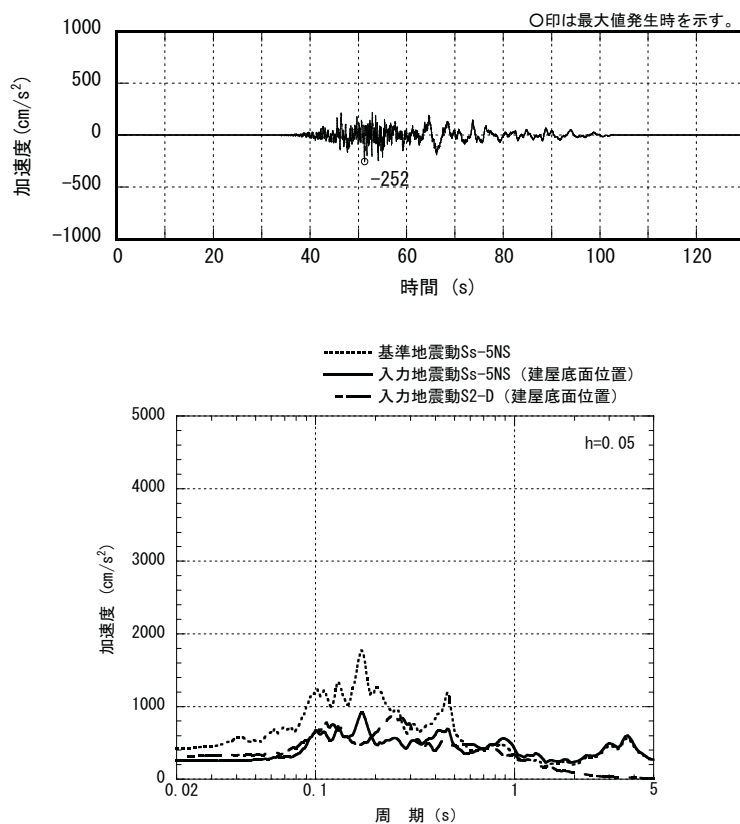
添図-4(a) 水平方向入力地震動の時刻歴波形と加速度応答スペクトル (Ss-4NS)



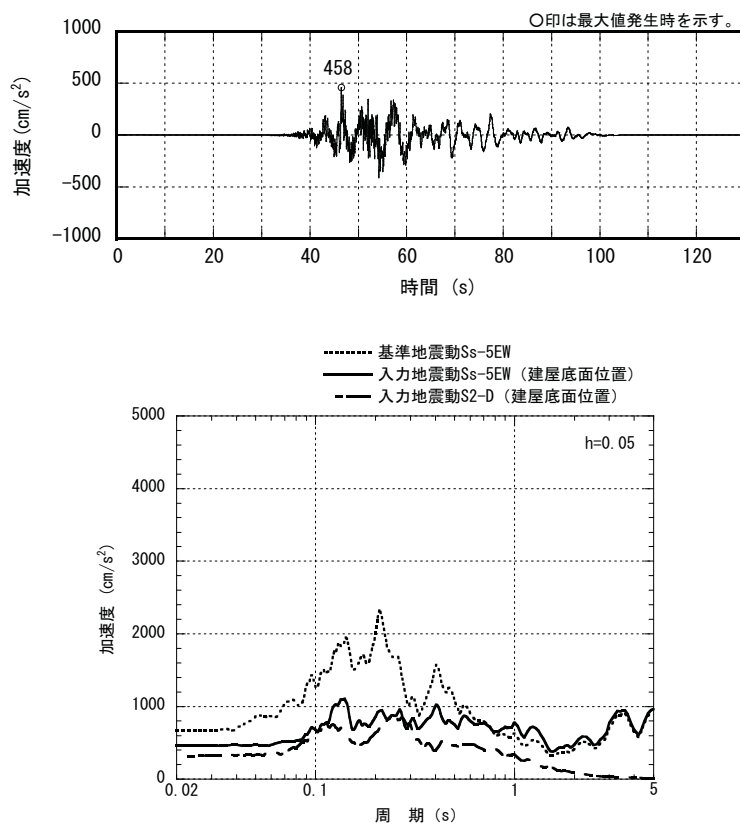
添図-4(b) 水平方向入力地震動の時刻歴波形と加速度応答スペクトル (Ss-4EW)



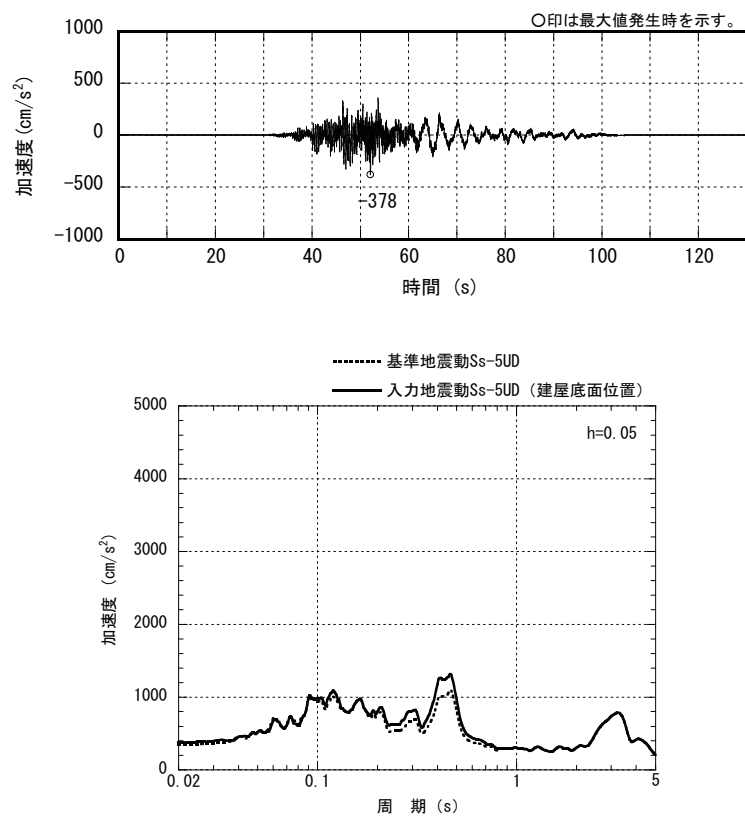
添図-4(c) 鉛直方向入力地震動の時刻歴波形と加速度応答スペクトル (Ss-4UD)



添図-5(a) 水平方向入力地震動の時刻歴波形と加速度応答スペクトル (Ss-5NS)



添図-5(b) 水平方向入力地震動の時刻歴波形と加速度応答スペクトル (Ss-5EW)



添図-5(c) 鉛直方向入力地震動の時刻歴波形と加速度応答スペクトル (Ss-5UD)

参考資料 6.1 原子炉建屋 補助壁の評価について

(1) 耐震壁の規定と補助壁として考慮した壁の選定条件

原子力施設における耐震壁の一般的な規定としては、以下に示すとおりである。

日本建築学会 RC-N 規準*における耐震壁の規定（算定外の規定）

- 壁厚 200mm 以上、かつ、壁板の内法寸法の 1/30 以上
- せん断補強筋は、0.25%以上（直交する 2 方向それぞれ）
(付帯ラーメンのない場合のせん断補強筋比は、壁筋の許容引張応力度に対するコンクリートの許容せん断応力度との比以上を確保)
- 壁筋は複筋配置とする
- 壁筋は D13 以上の異形鉄筋を用いる
(壁の見付け面に対する間隔は 300mm 以下)
- 開口補強筋は D13 以上、かつ、壁筋と同径以上の異形鉄筋を用いる
- 付帯ラーメンがある場合には、その柱・梁に適切な韌性を確保させる

*原子力施設鉄筋コンクリート構造計算規準・同解説（2005）

一方、柏崎刈羽原子力発電所において設計モデルに採用している耐震壁は、参図-6.1.1～参図-6.1.4 に示すとおりである。また、今回の解析に採用した補助壁の判断基準についても参表-6.1.1 に合わせて示す。

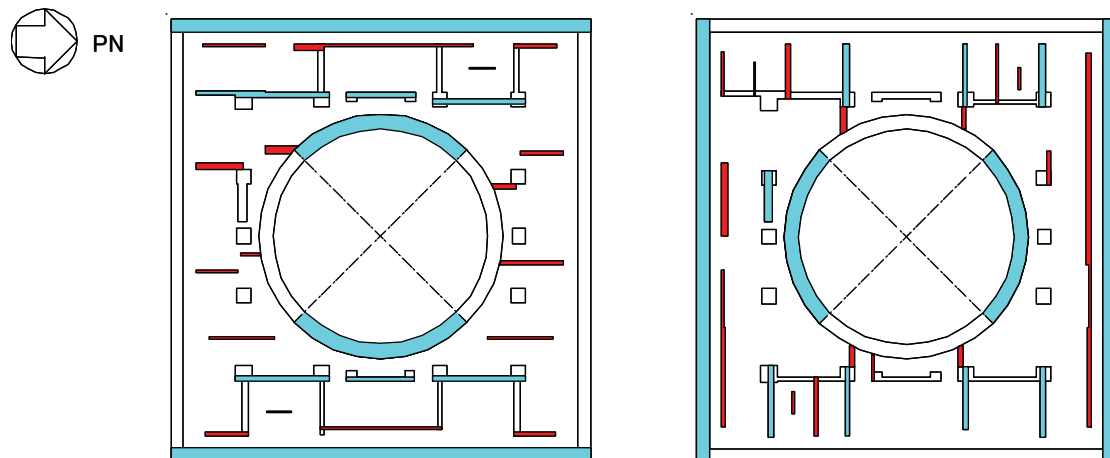
参表-6.1.1 解析に採用した耐震壁と補助壁の選定条件

耐震壁	補助壁
・壁の厚さは 300mm 以上, かつ壁の内法高さの 1/30 以上	同左
・壁のせん断補強筋比は, 直交する各方向に 関し, それぞれ 0.6%以上	・壁のせん断補強筋比は, 直交する各方向に 関し, それぞれ 0.25%以上
・基礎スラブから連続して立ち上がっている 壁	・下階まで壁が連続している, もしくは床ス ラブを介して壁に生じるせん断力を下階 の耐震壁に伝達できる壁
・フレーム構面内 (柱, 梁間) の壁	・フレーム構面外でも上記を満たす壁

なお, 補助壁は, 耐震壁と同等の品質管理を行った上で同時期に施工しており,
今後も継続的に耐震壁と同等の保守管理を行っていく予定である。

(2) 補助壁として考慮した壁の範囲

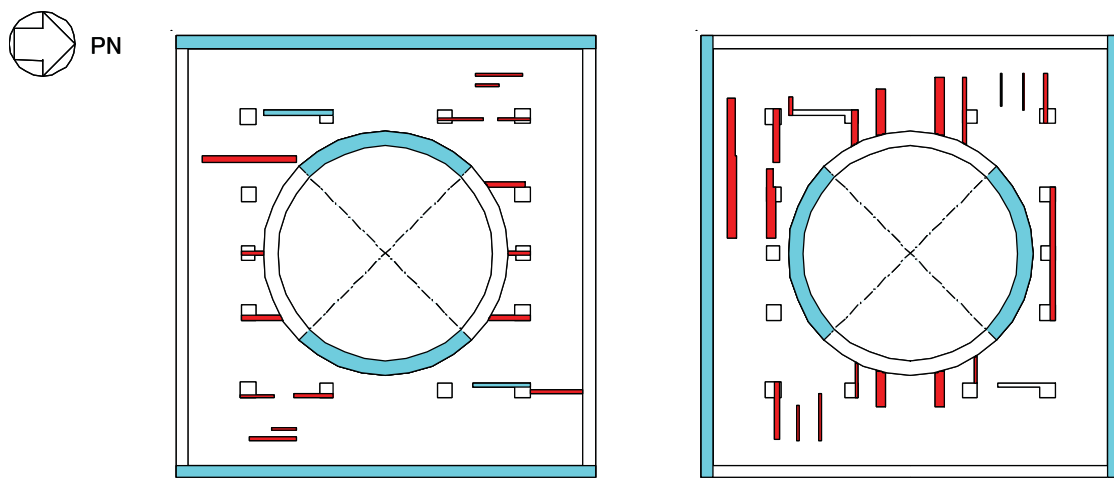
原子炉建屋の地震応答解析時に剛性を評価する範囲を以下に示す。



NS 方向

EW 方向

B3F(T.M.S.L.-8.2m~T.M.S.L.-1.7m)



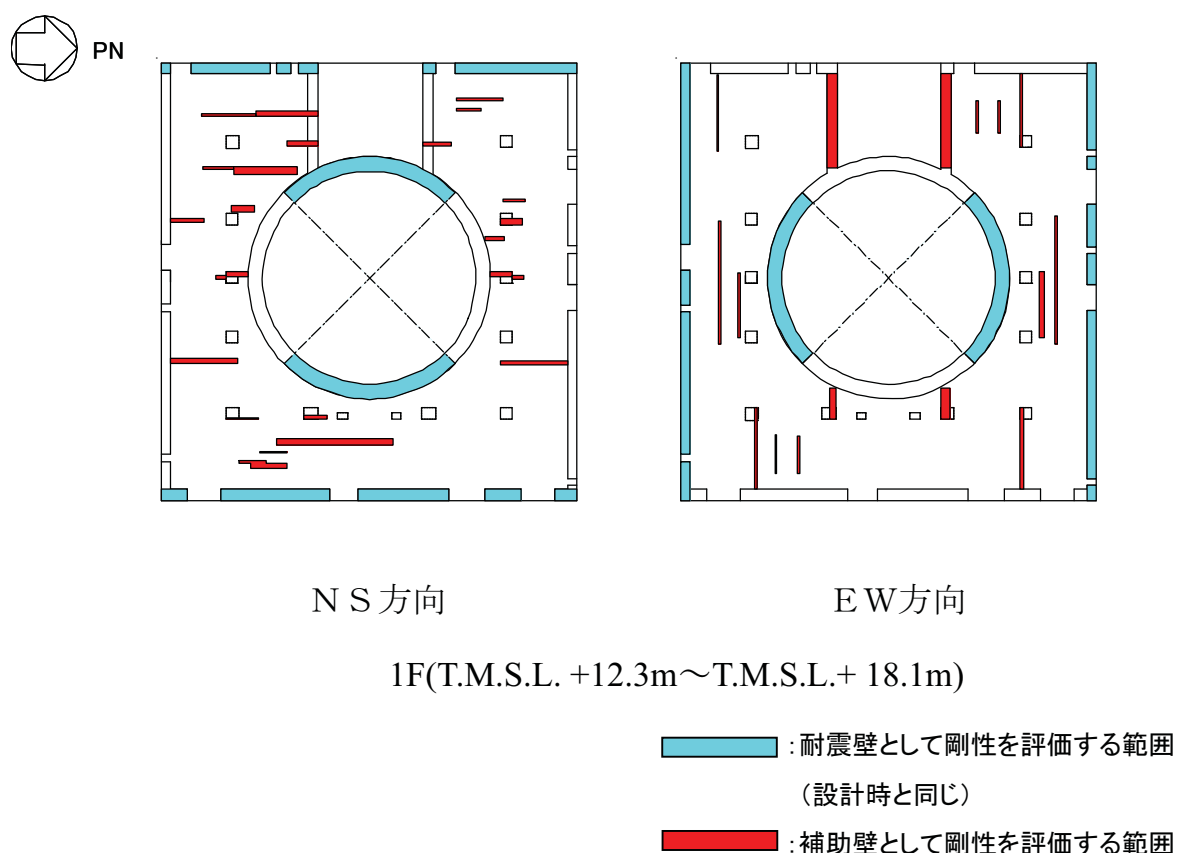
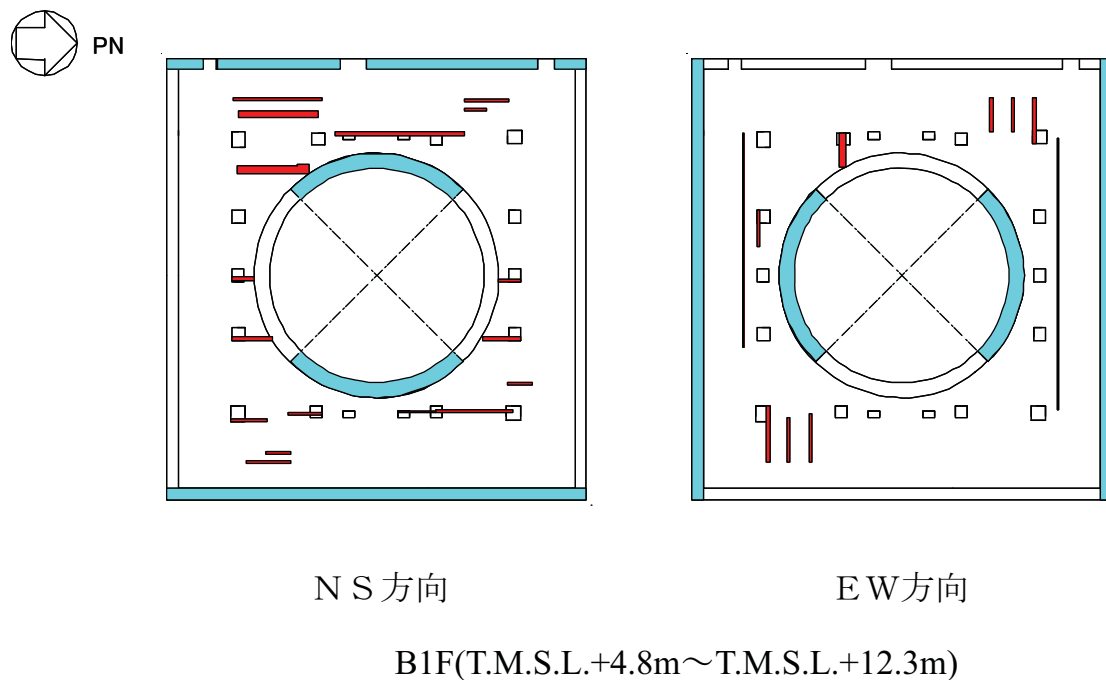
NS 方向

EW 方向

B2F(T.M.S.L.-1.7m~T.M.S.L.+4.8m)

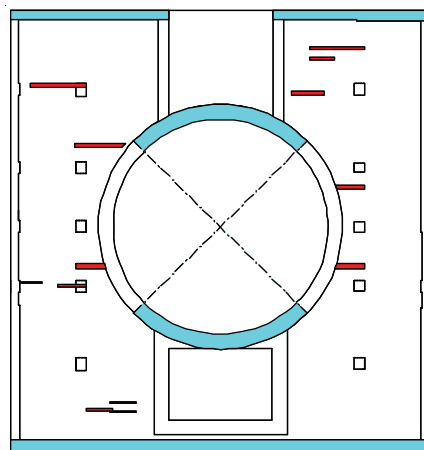
■ : 耐震壁として剛性を評価する範囲
(設計時と同じ)
■ : 補助壁として剛性を評価する範囲

参図-6.1.1 剛性を評価する壁の範囲

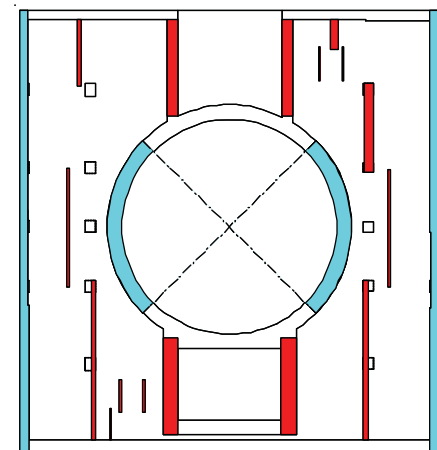


参図-6.1.2 剛性を評価する壁の範囲

PN



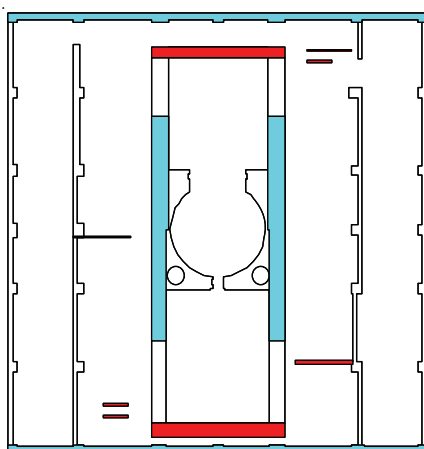
N S 方向



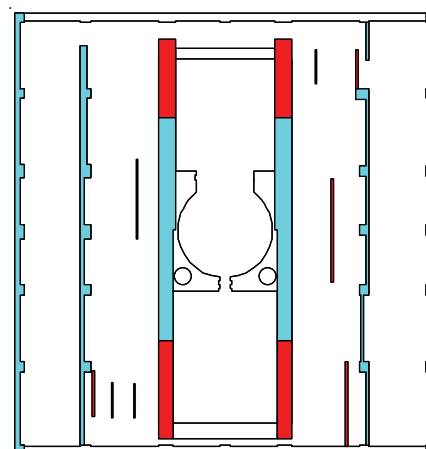
E W 方向

2F(T.M.S.L.+18.1m~T.M.S.L.+23.5m)

PN



N S 方向



E W 方向

3F(T.M.S.L.+23.5m~T.M.S.L.+31.7m)

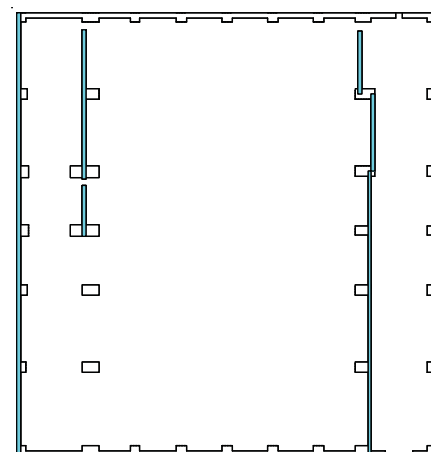
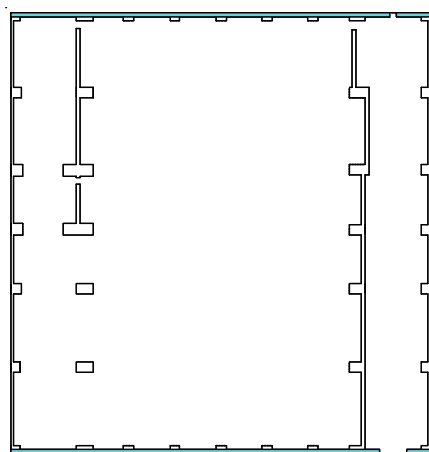
: 耐震壁として剛性を評価する範囲
(設計時と同じ)

: 助壁として剛性を評価する範囲

参図-6.1.3 剛性を評価する壁の範囲



PN



補助壁該当なし

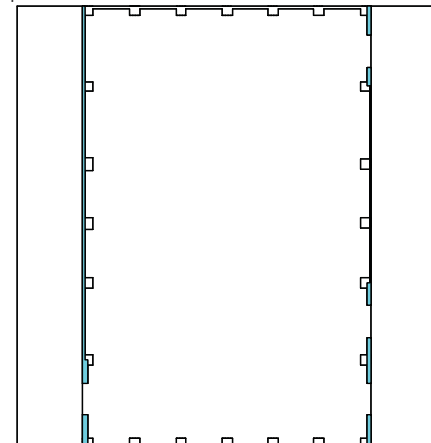
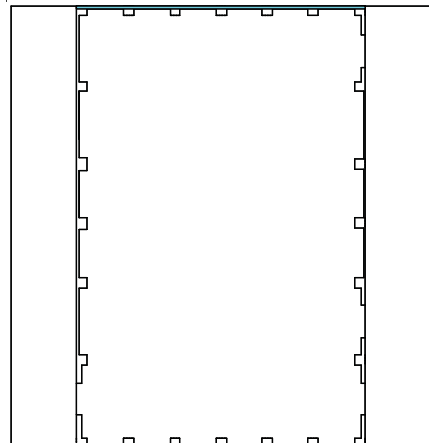
NS方向

EW方向

4F(T.M.S.L.+31.7m～T.M.S.L. +38.2m)



PN



補助壁該当なし

NS方向

EW方向

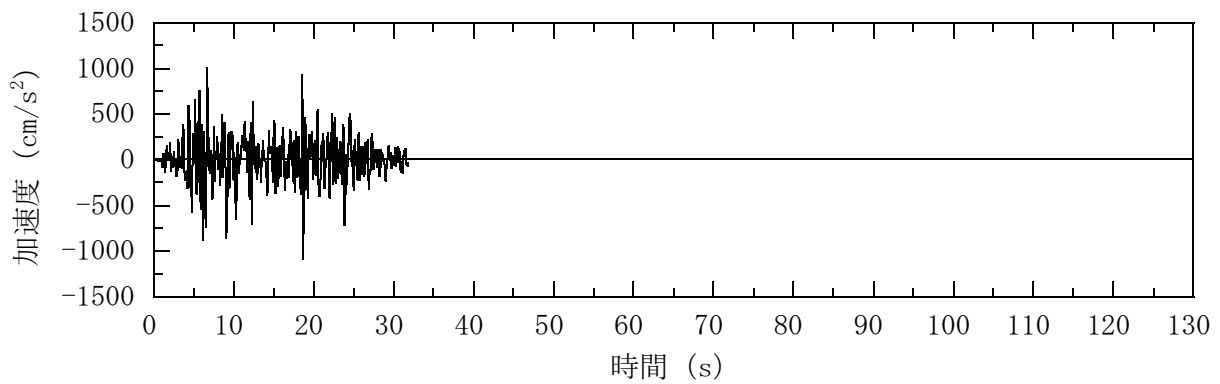
CRF(T.M.S.L. +38.2m～T.M.S.L.+49.7m)

■ : 耐震壁として剛性を評価する範囲
(設計時と同じ)

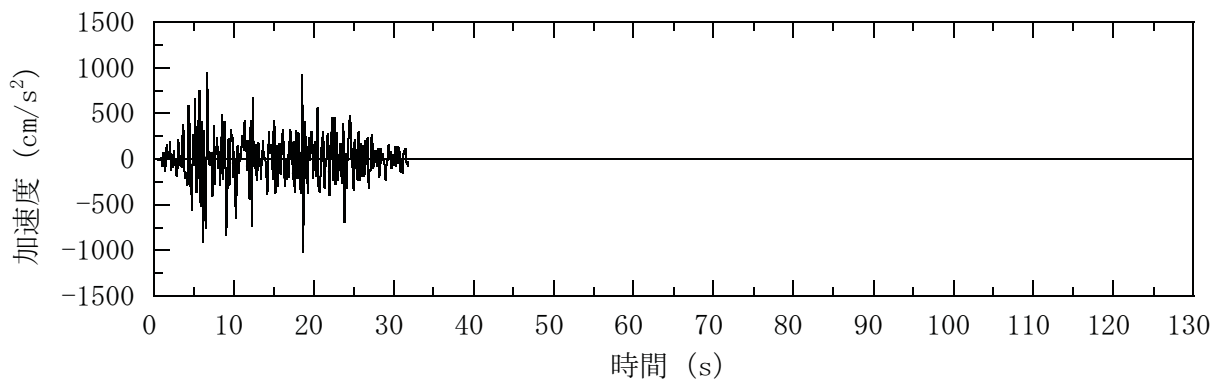
参図-6.1.4 剛性を評価する壁の範囲

参考資料6.2 屋根トラス・排気筒の解析に用いる原子炉建屋の 応答波形

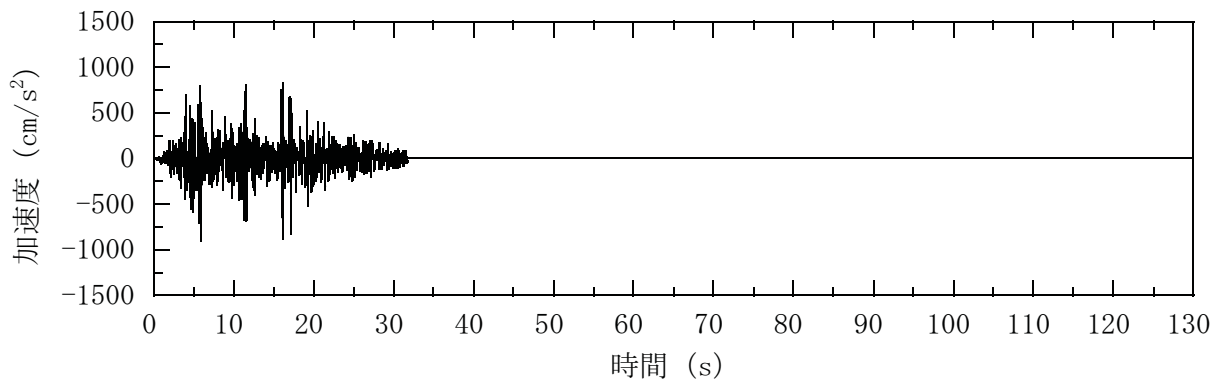
屋根トラスおよび排気筒の地震応答解析に用いる基準地震動 Ss に基づくオペフロレベル (T.M.S.L.31.7m) および屋上レベル (T.M.S.L.38.2m) の原子炉建屋の応答波について、参図-6.2.1～参図-6.2.10 に示す。



(a) NS 方向 (水平)

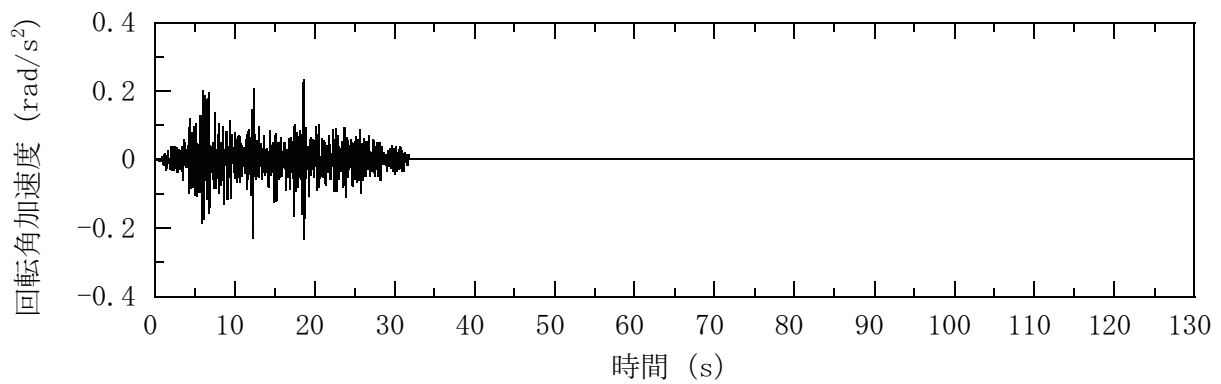


(b) EW 方向 (水平)

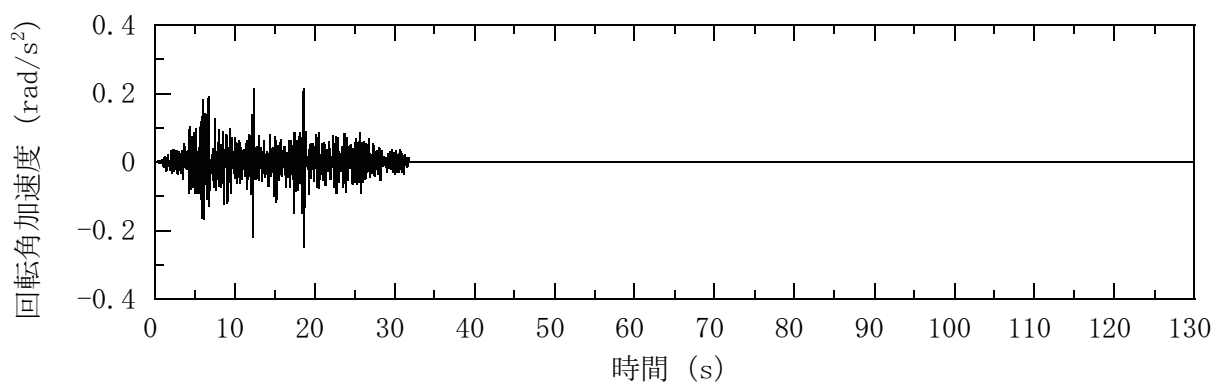


(c) 鉛直方向

参図-6.2.1(a) オペフロ レベル (T.M.S.L.31.7m) の加速度波形
(Ss-1, 水平, 鉛直成分)

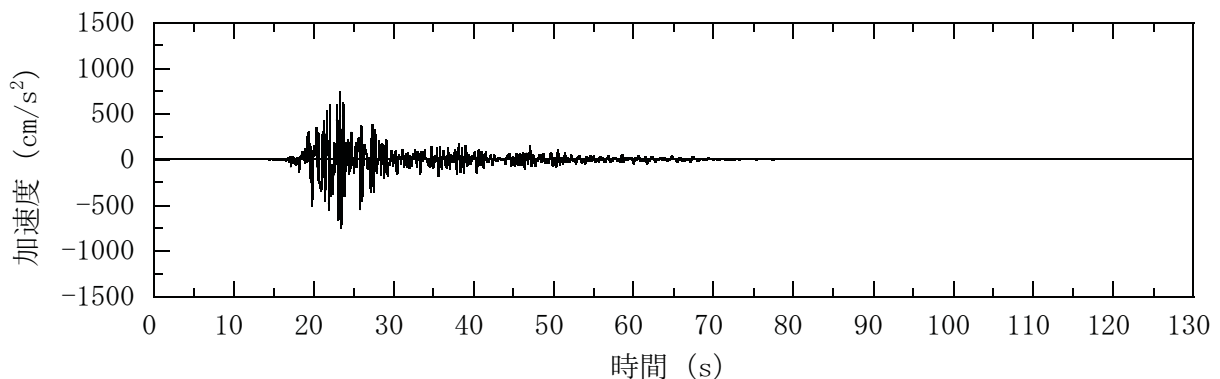


(d) NS 方向 (回転)

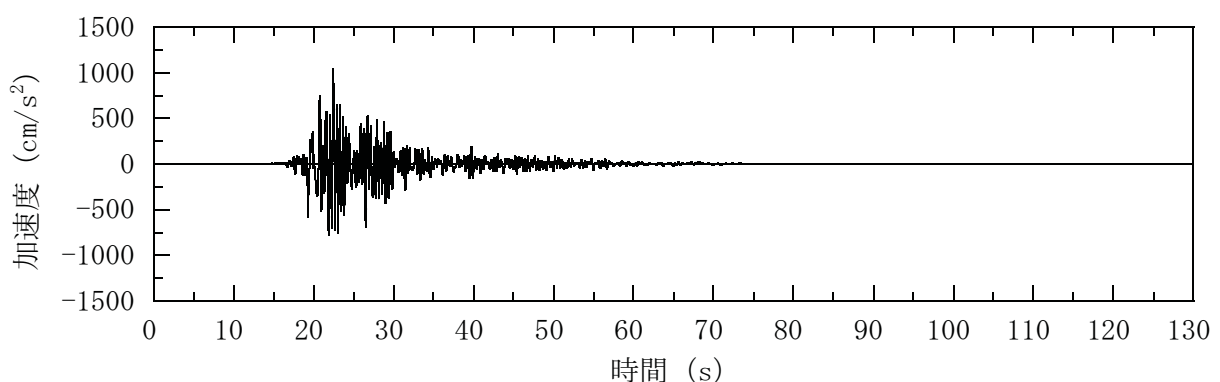


(e) EW 方向 (回転)

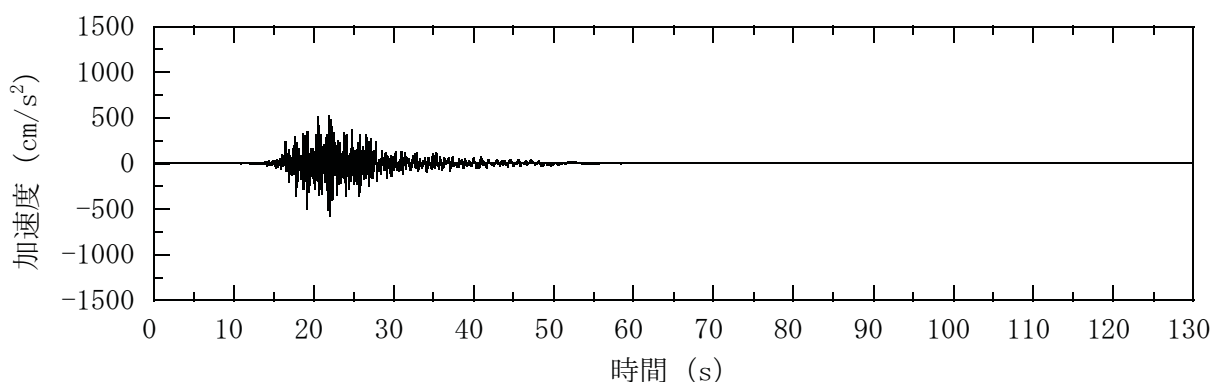
参図-6.2.1(b) オペフロ レベル (T.M.S.L.31.7m) の加速度波形
(Ss-1, 回転成分)



(a) NS 方向（水平）

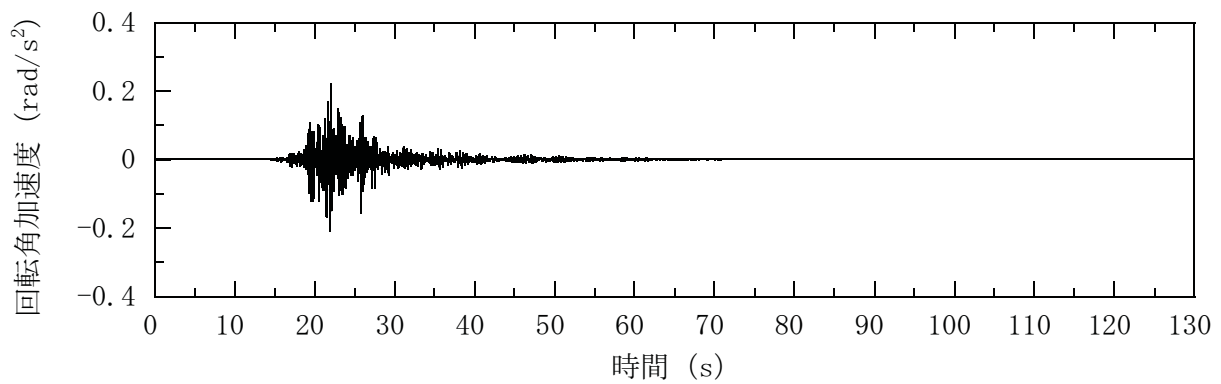


(b) EW 方向（水平）

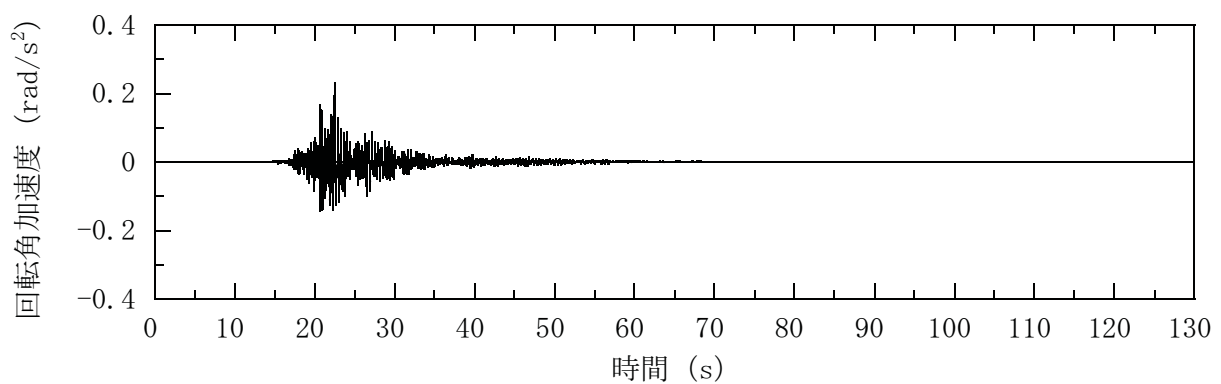


(c) 鉛直方向

参図-6.2.2(a) オペフロ レベル (T.M.S.L.31.7m) の加速度波形
(Ss-2, 水平, 鉛直成分)

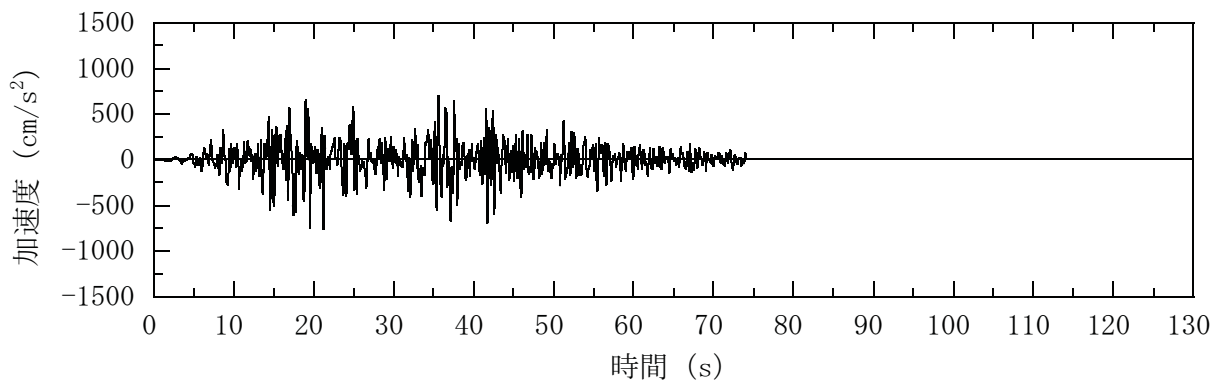


(d) NS 方向 (回転)

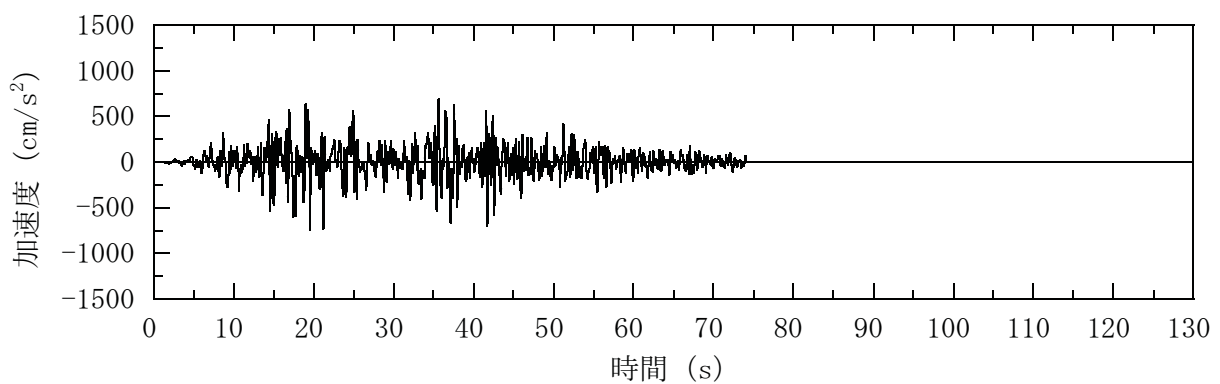


(e) EW 方向 (回転)

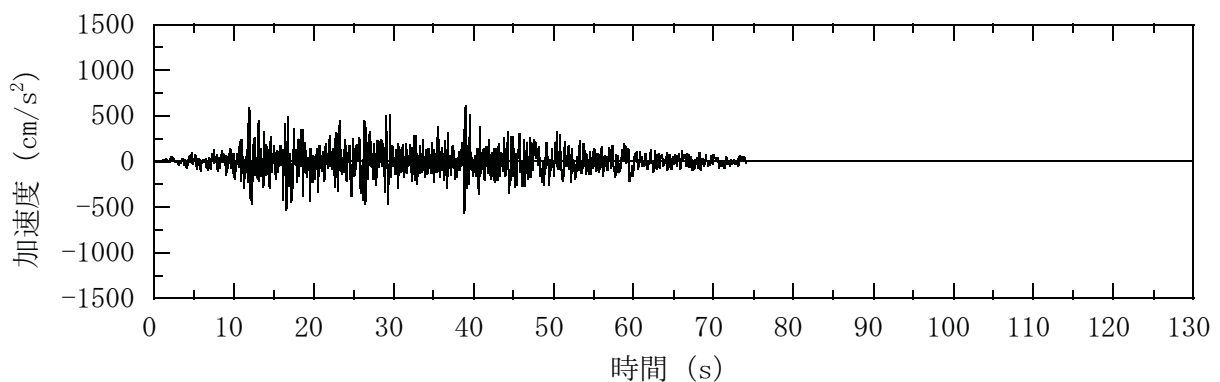
参図-6.2.2(b) オペフロ レベル (T.M.S.L.31.7m) の加速度波形
(Ss-2, 回転成分)



(a) NS 方向 (水平)

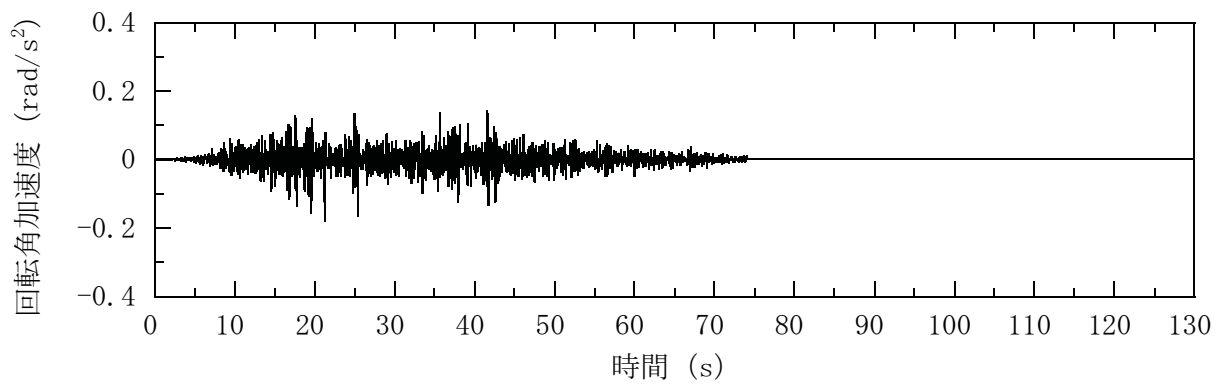


(b) EW 方向 (水平)

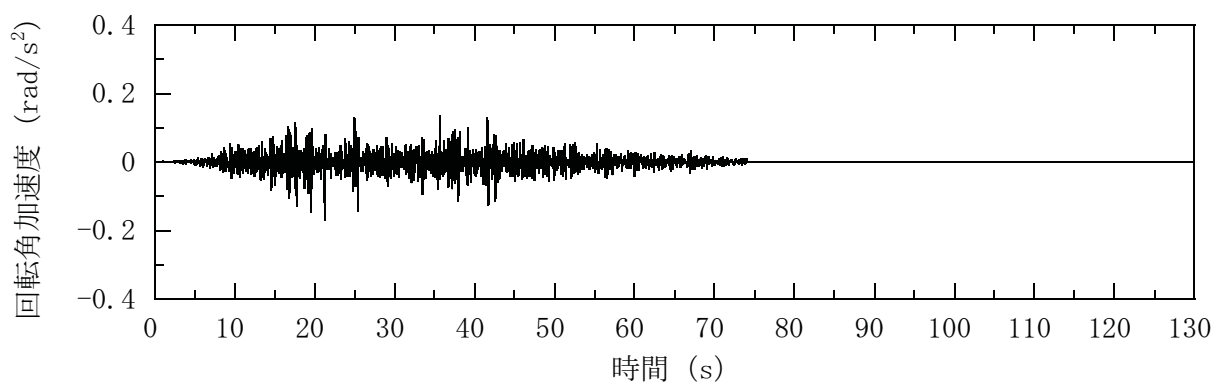


(c) 鉛直方向

参図-6.2.3(a) オペフロ レベル (T.M.S.L.31.7m) の加速度波形
(Ss-3, 水平, 鉛直成分)

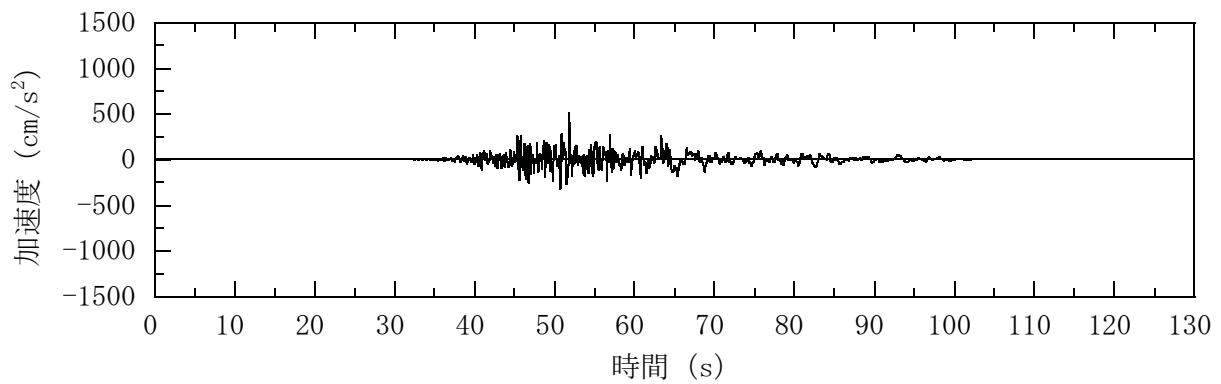


(d) NS 方向 (回転)

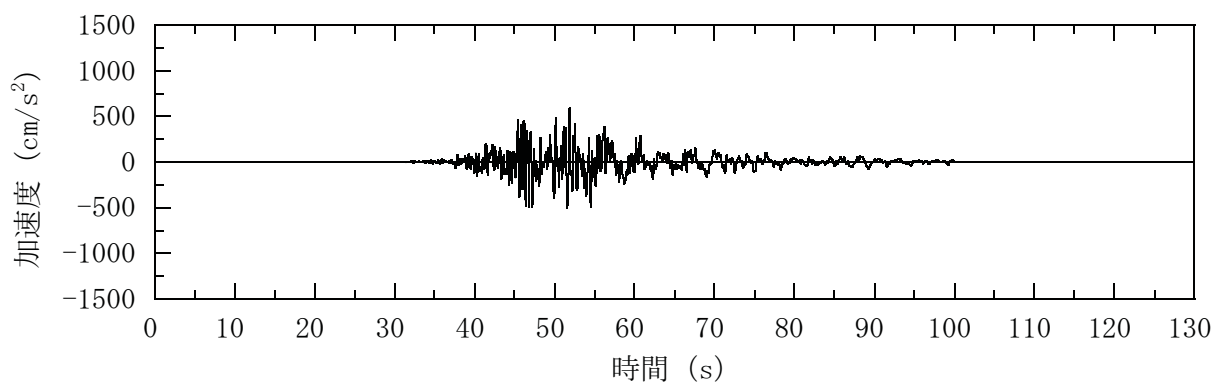


(e) EW 方向 (回転)

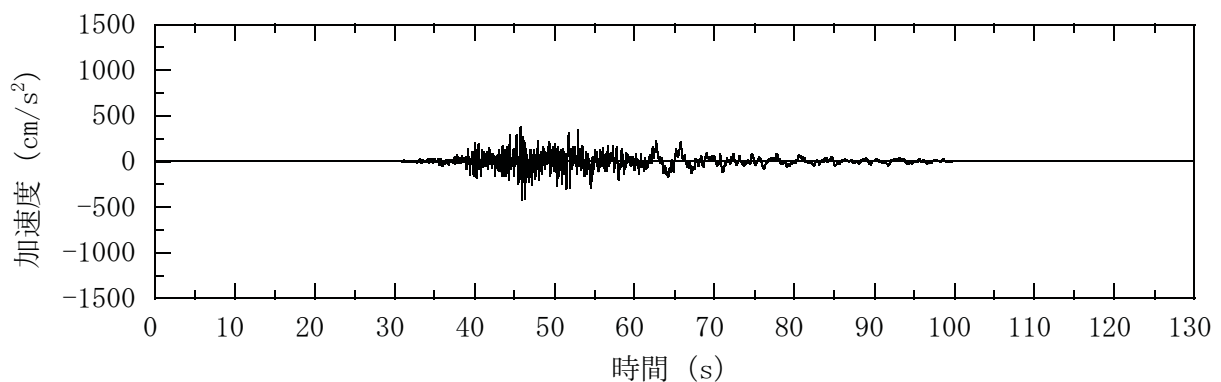
参図-6.2.3(b) オペフロ レベル (T.M.S.L.31.7m) の 加速度 波形
(Ss-3, 回転成分)



(a) NS 方向（水平）

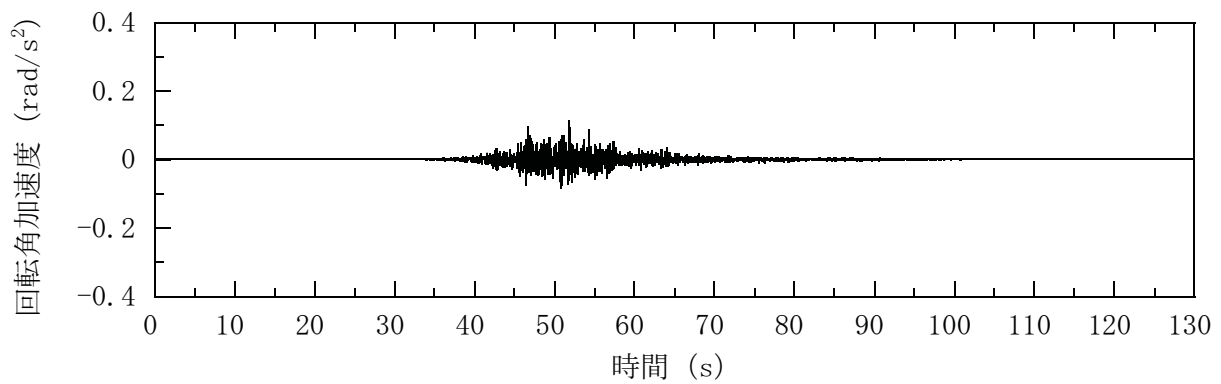


(b) EW 方向（水平）

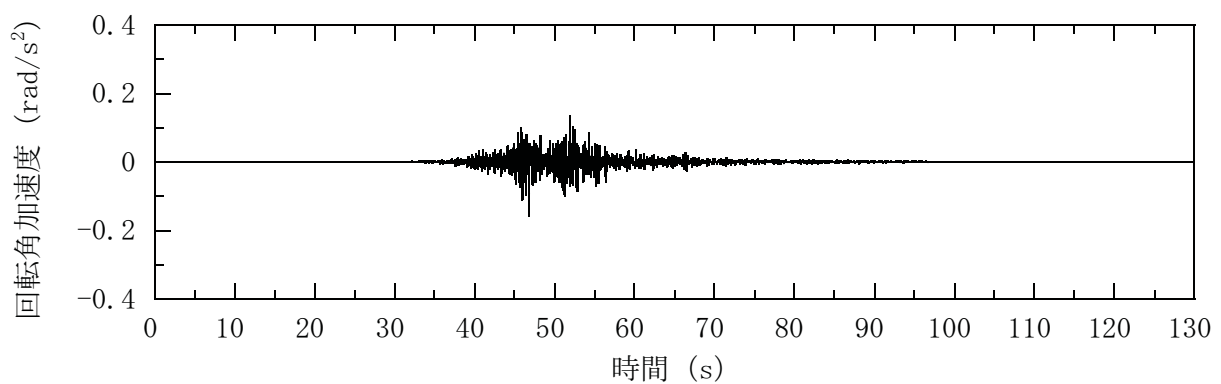


(c) 鉛直方向

参図-6.2.4(a) オペフロレベル (T.M.S.L.31.7m) の加速度波形
(Ss-4, 水平, 鉛直成分)

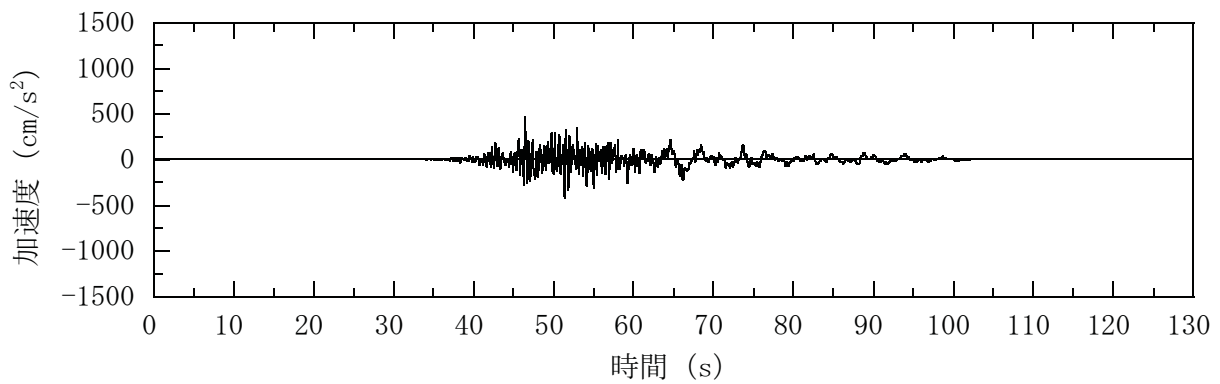


(d) NS 方向 (回転)

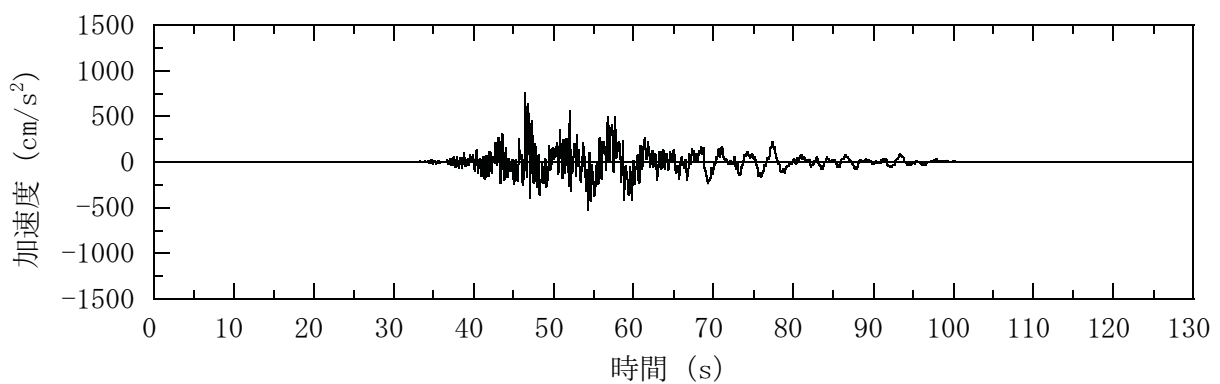


(e) EW 方向 (回転)

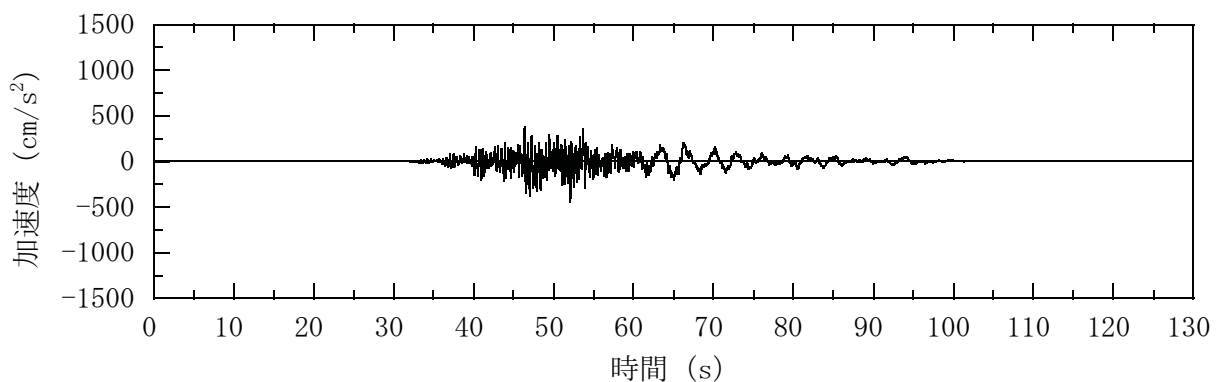
参図-6.2.4(b) オペフロ レベル (T.M.S.L.31.7m) の加速度波形
(Ss-4, 回転成分)



(a) NS 方向（水平）

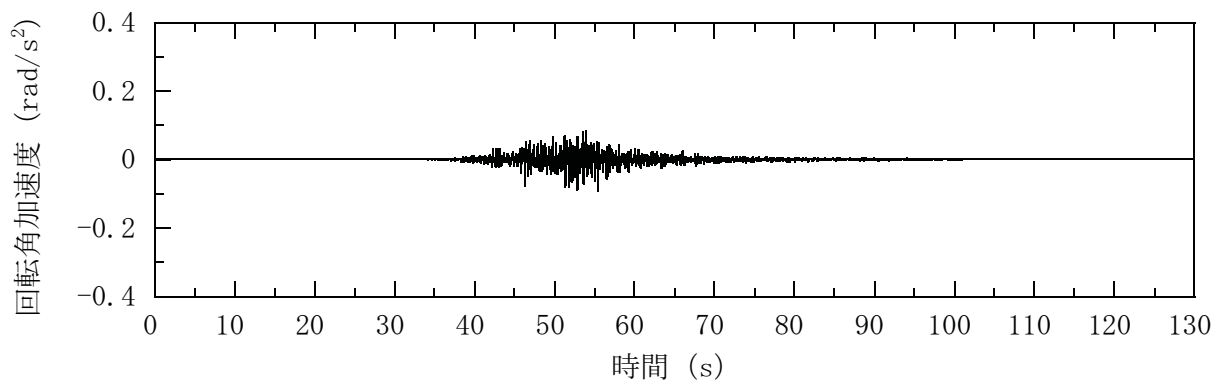


(b) EW 方向（水平）

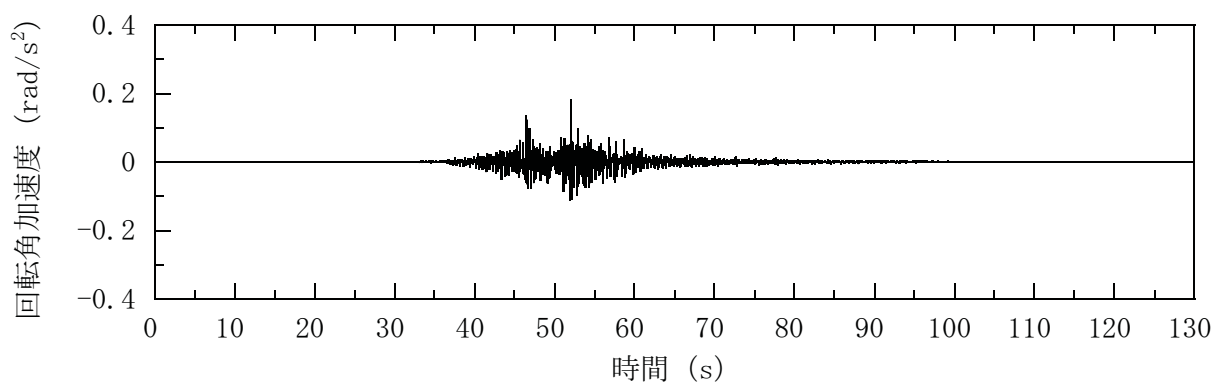


(c) 鉛直方向

参図-6.2.5(a) オペフロレベル (T.M.S.L.31.7m) の加速度波形
(Ss-5, 水平, 鉛直成分)

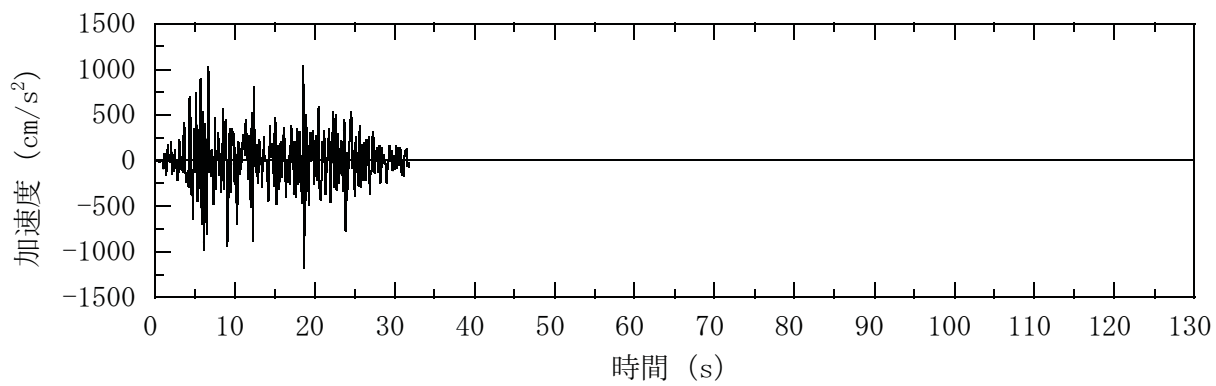


(d) NS 方向 (回転)

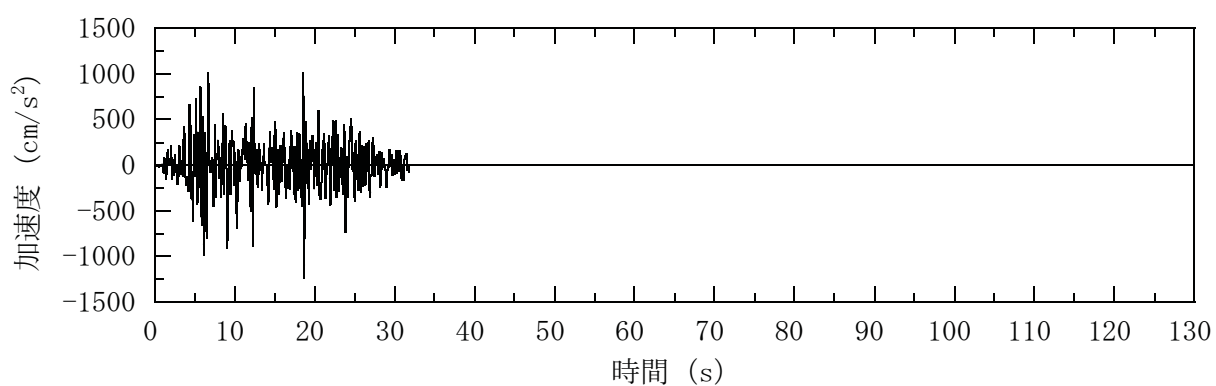


(e) EW 方向 (回転)

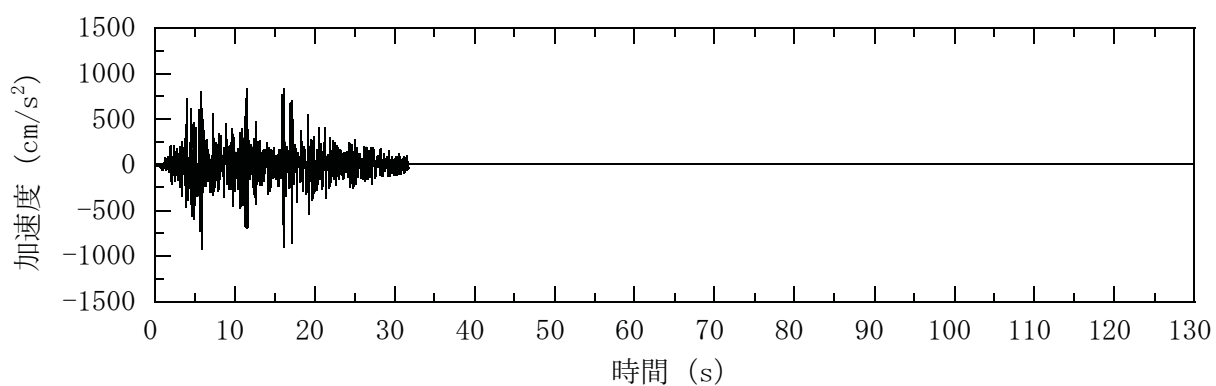
参図-6.2.5(b) オペフロ レベル (T.M.S.L.31.7m) の加速度波形
(Ss-5, 回転成分)



(a) NS 方向（水平）

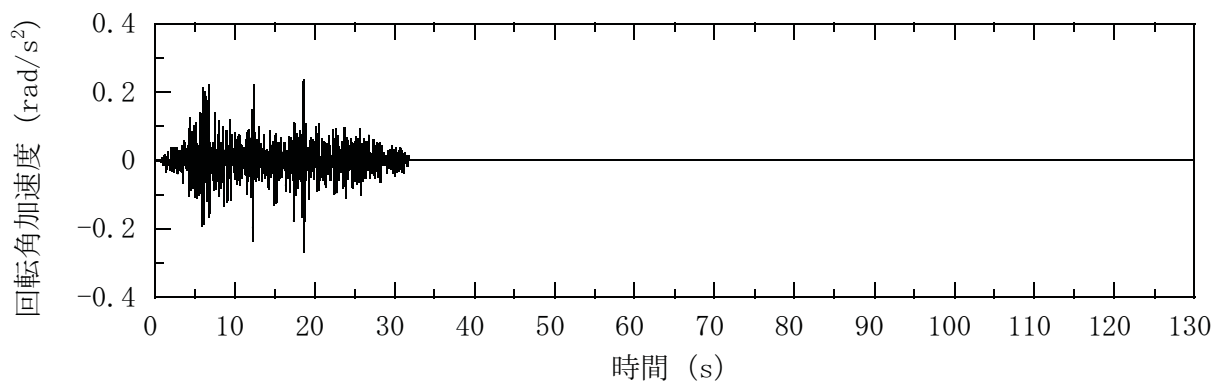


(b) EW 方向（水平）

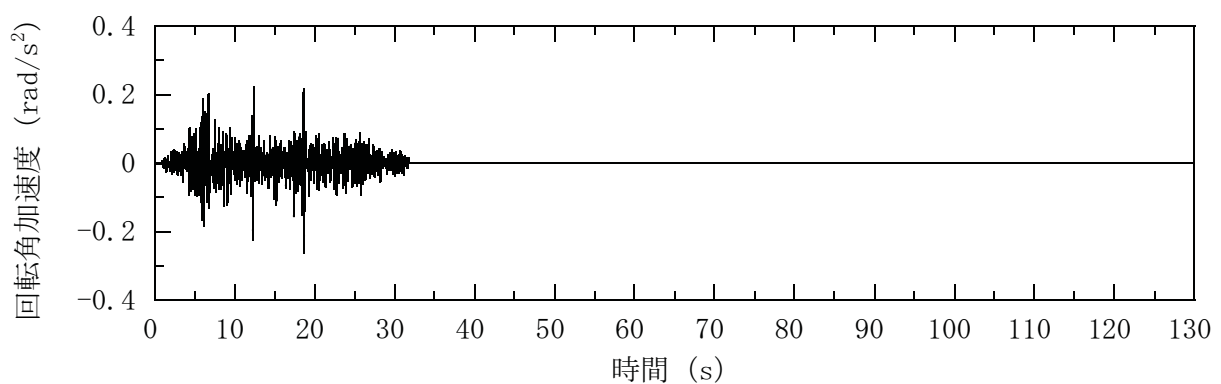


(c) 鉛直方向

参図-6.2.6(a) 屋上レベル (T.M.S.L.38.2m) の加速度波形
(Ss-1, 水平, 鉛直成分)

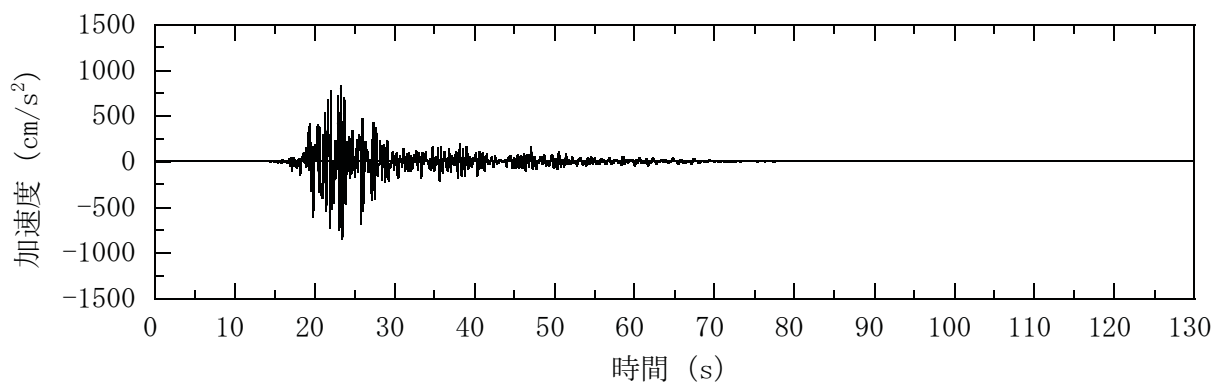


(d) NS 方向 (回転)

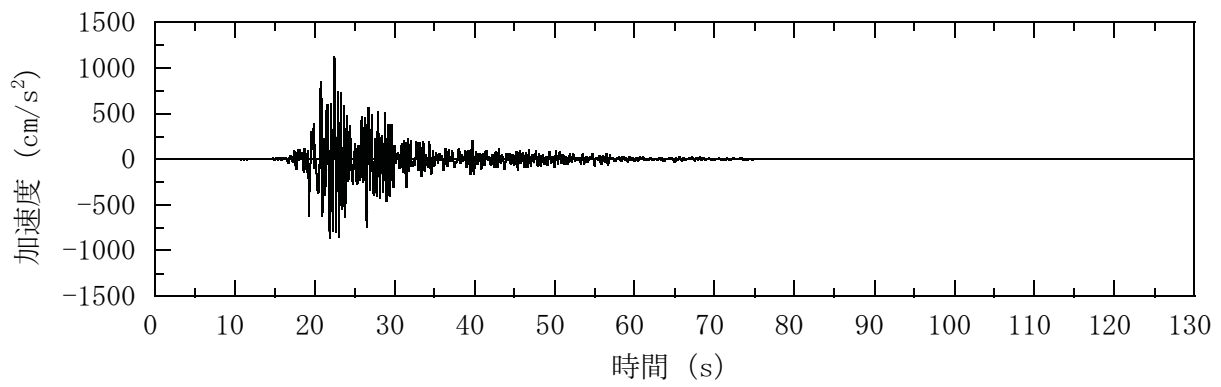


(e) EW 方向 (回転)

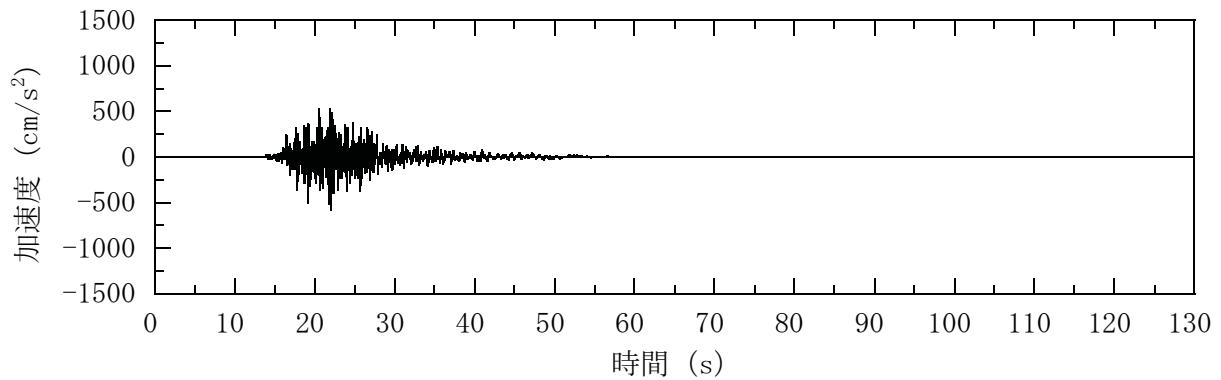
参図-6.2.6(b) 屋上レベル (T.M.S.L.38.2m) の加速度波形
(Ss-1, 回転成分)



(a) NS 方向（水平）

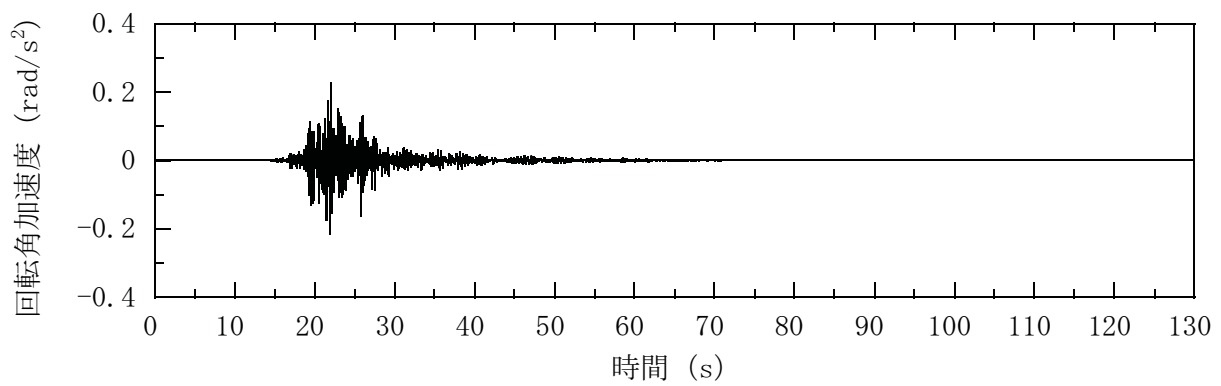


(b) EW 方向（水平）

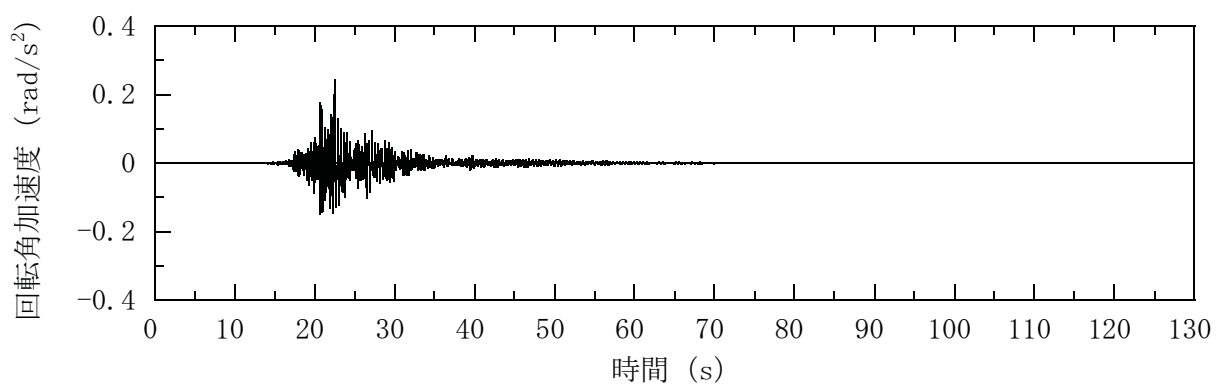


(c) 鉛直方向

参図-6.2.7(a) 屋上レベル (T.M.S.L.38.2m) の加速度波形
(Ss-2, 水平, 鉛直成分)

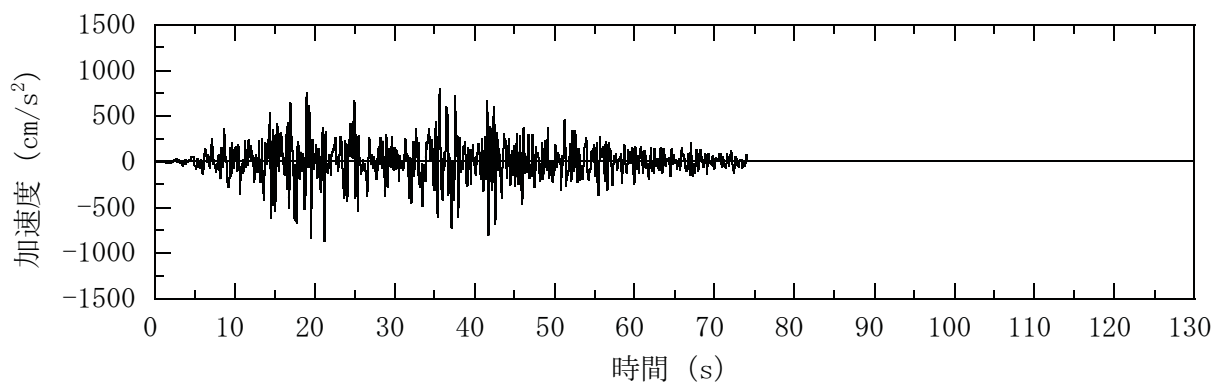


(d) NS 方向 (回転)

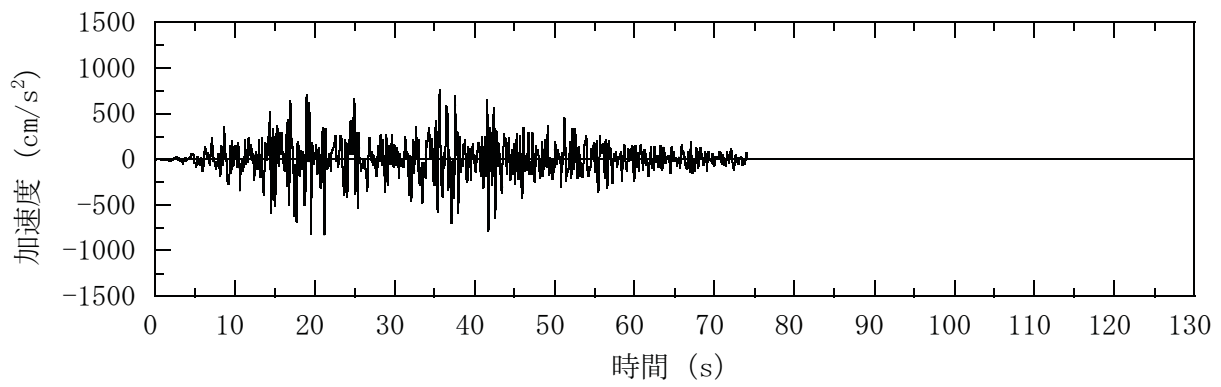


(e) EW 方向 (回転)

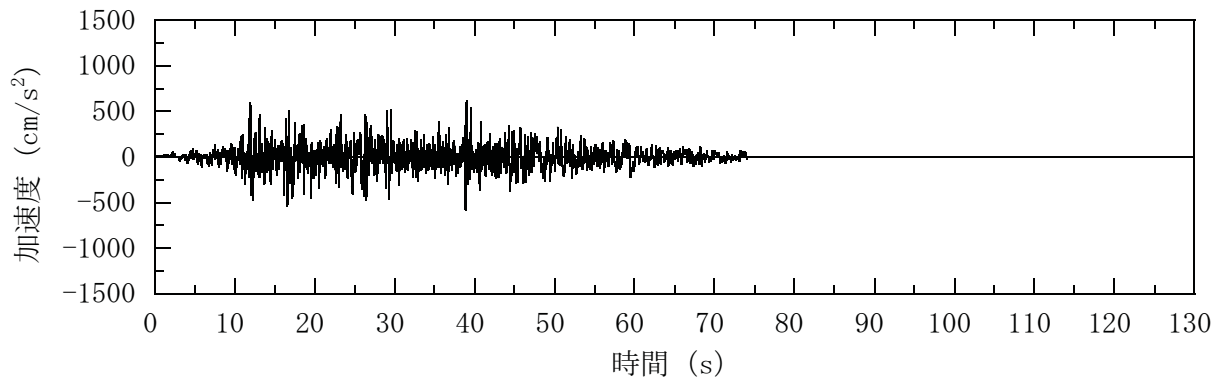
参図-6.2.7(b) 屋上レベル (T.M.S.L.38.2m) の加速度波形
(Ss-2, 回転成分)



(a) NS 方向（水平）

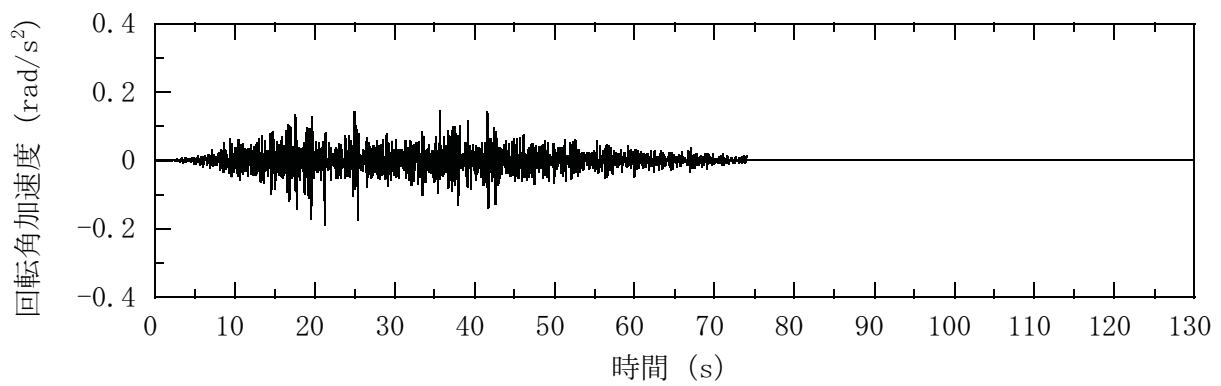


(b) EW 方向（水平）

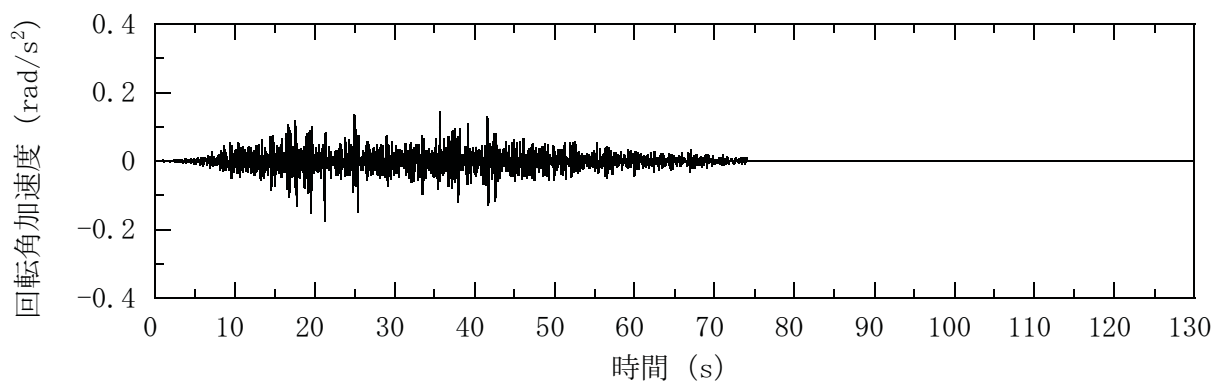


(c) 鉛直方向

参図-6.2.8(a) 屋上レベル (T.M.S.L.38.2m) の加速度波形
(Ss-3, 水平, 鉛直成分)

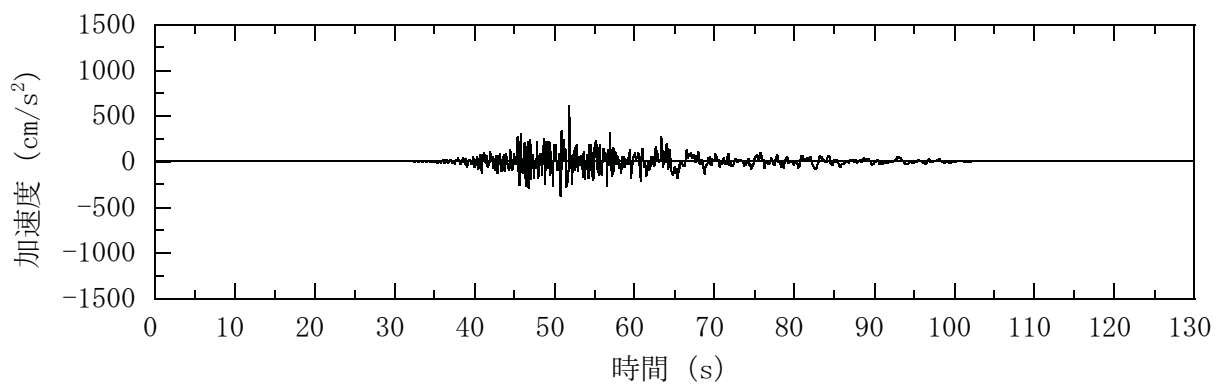


(d) NS 方向 (回転)

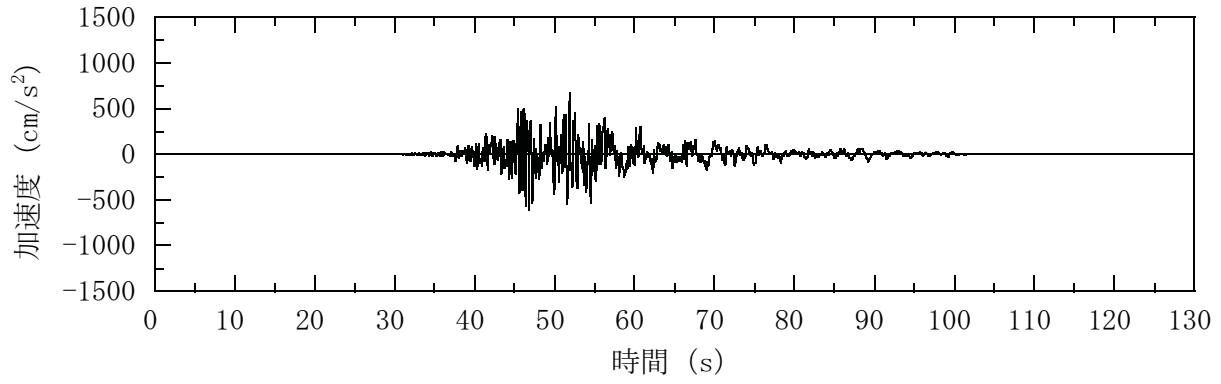


(e) EW 方向 (回転)

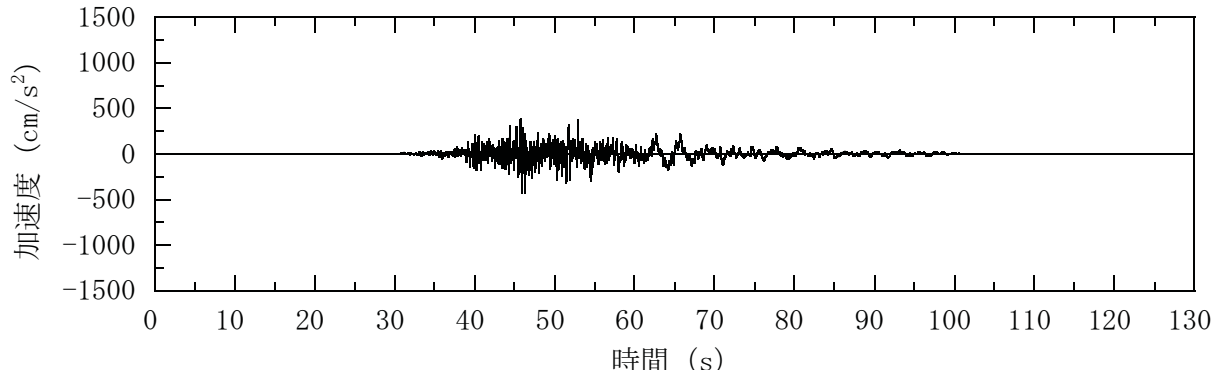
参図-6.2.8(b) 屋上レベル (T.M.S.L.38.2m) の加速度波形
(Ss-3, 回転成分)



(a) NS 方向 (水平)

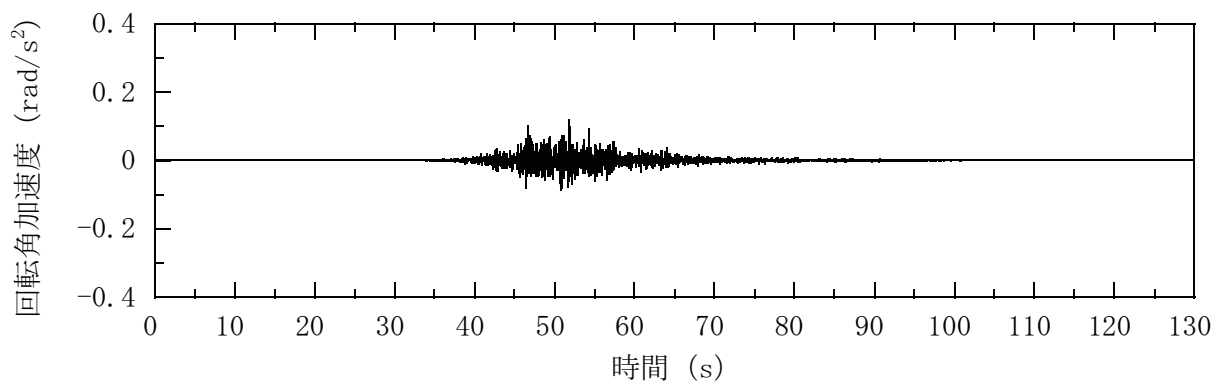


(b) EW 方向 (水平)

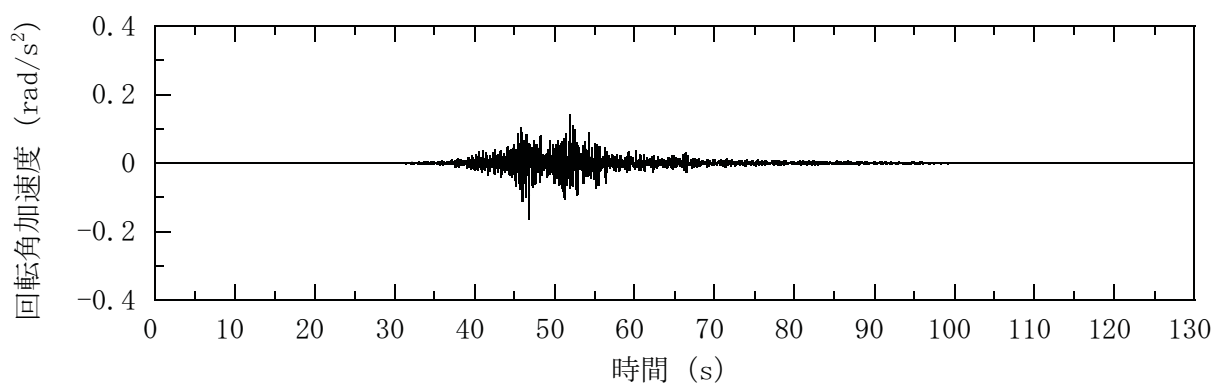


(c) 鉛直方向

参図-6.2.9(a) 屋上レベル (T.M.S.L.38.2m) の加速度波形
(Ss-4, 水平, 鉛直成分)

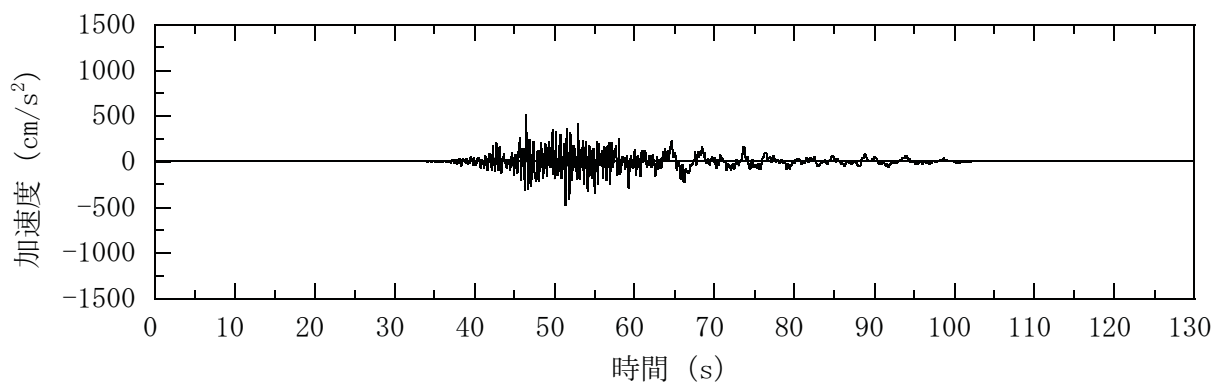


(d) NS 方向 (回転)

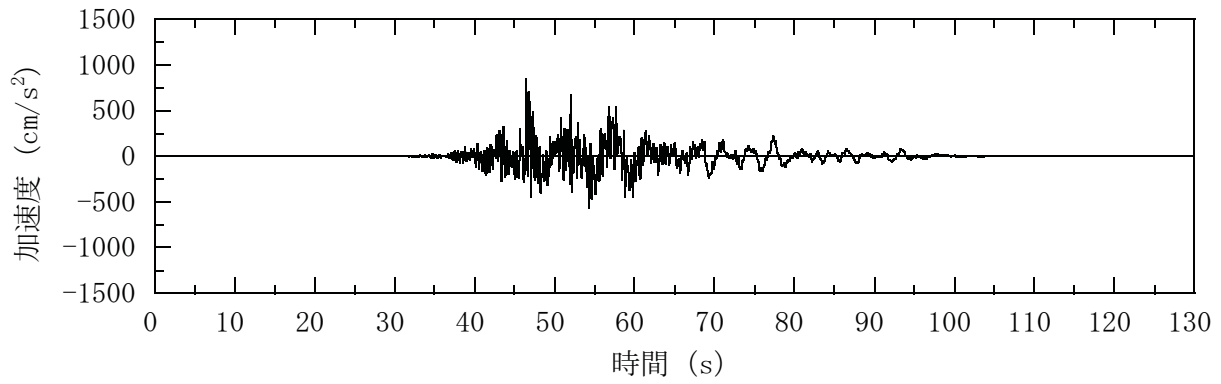


(e) EW 方向 (回転)

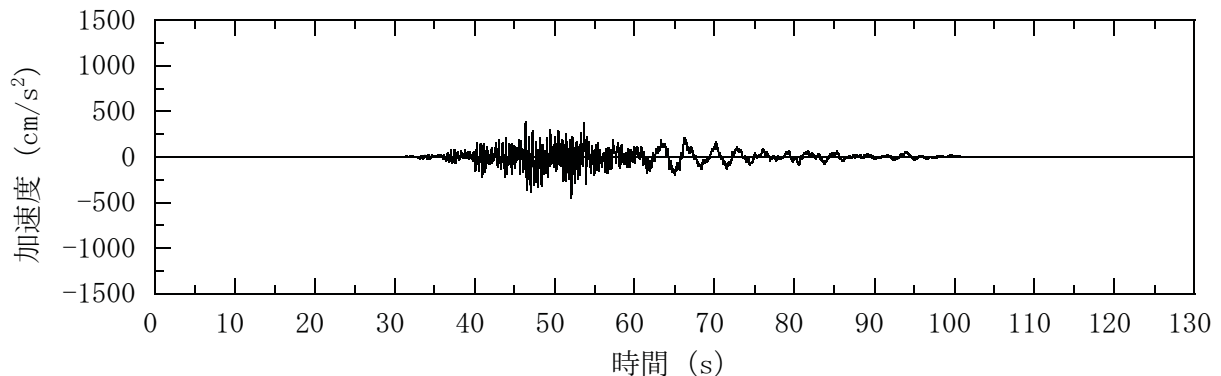
参図-6.2.9(b) 屋上レベル (T.M.S.L.38.2m) の加速度波形
(Ss-4, 回転成分)



(a) NS 方向（水平）

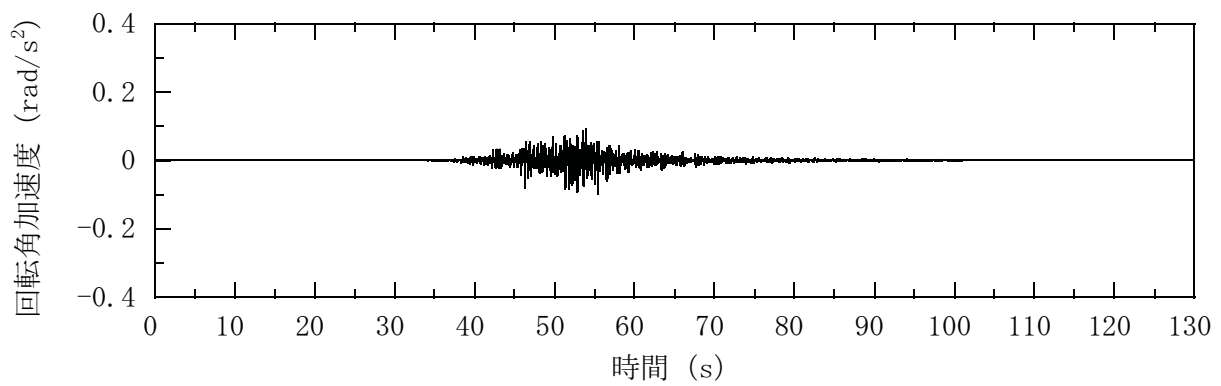


(b) EW 方向（水平）

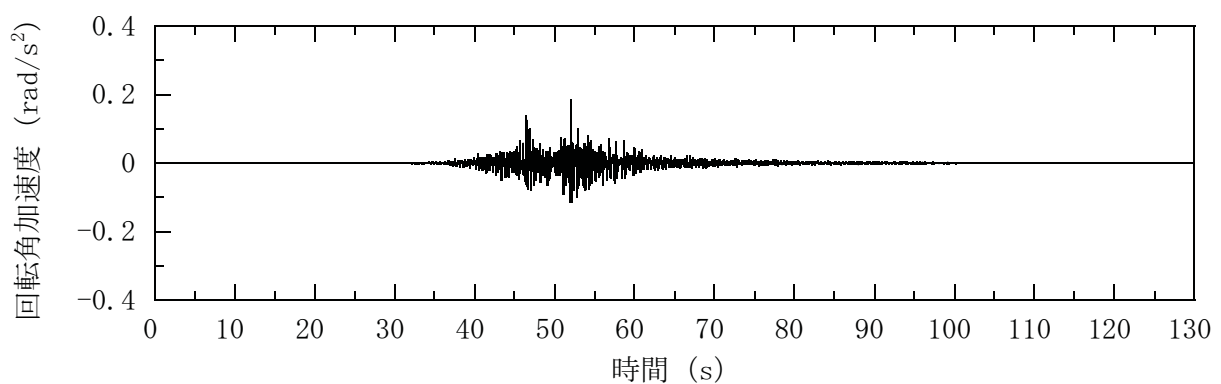


(c) 鉛直方向

参図-6.2.10(a) 屋上レベル (T.M.S.L.38.2m) の加速度波形
(Ss-5, 水平, 鉛直成分)



(d) NS 方向 (回転)

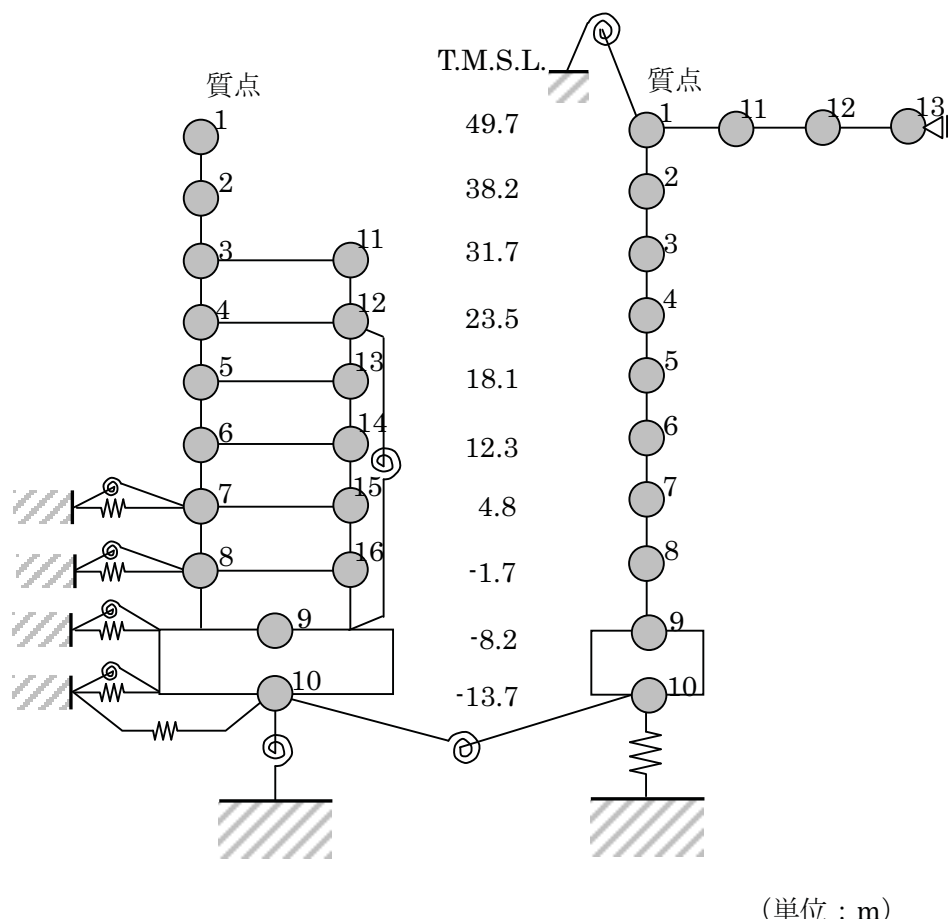


(e) EW 方向 (回転)

参図-6.2.10(b) 屋上レベル (T.M.S.L.38.2m) の加速度波形
(Ss-5, 回転成分)

参考資料 6.3 原子炉建屋 誘発上下動を考慮した影響検討

基準地震動 Ss-2 の EW 方向に対する原子炉建屋の接地率は 64.8% であり、「JEAG-4601-1991」に記載される基礎浮き上がり非線形の評価式の適用範囲 65% を下回っている。参図-6.3.1 に示す誘発上下動を考慮した 解析モデルを用いて地震応答解析を実施し、誘発上下動を無視した場合の応答値との比較を行う。



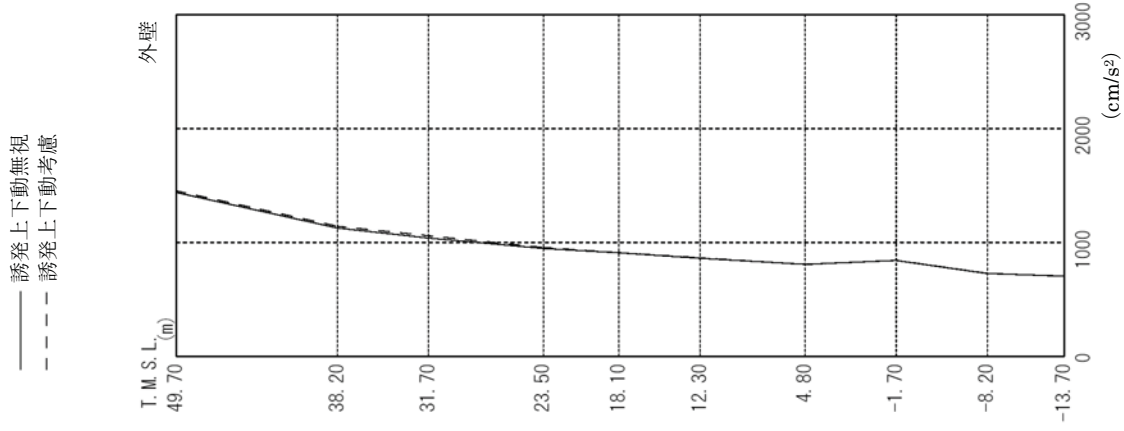
参図-6.3.1 誘発上下動を考慮した解析モデル

(1) 最大応答値

地震応答解析結果のうち、誘発上下動の有無による最大応答加速度、最大応答せん断力および最大応答曲げモーメントの比較を参図-6.3.2～参図-6.3.4に示す。接地率および耐震壁に生じる最大応答せん断ひずみの最大値の比較を参表-6.3.1に示す。誘発上下動の有無が最大応答値に与える影響は小さい。

参表-6.3.1 接地率および最大応答せん断ひずみ

地震波	方向	誘発上下動 の有無	接地率	最大応答せん断ひずみ ($\times 10^{-3}$)
Ss-2	EW	無視	64.8%	0.40
		考慮	66.4%	0.40



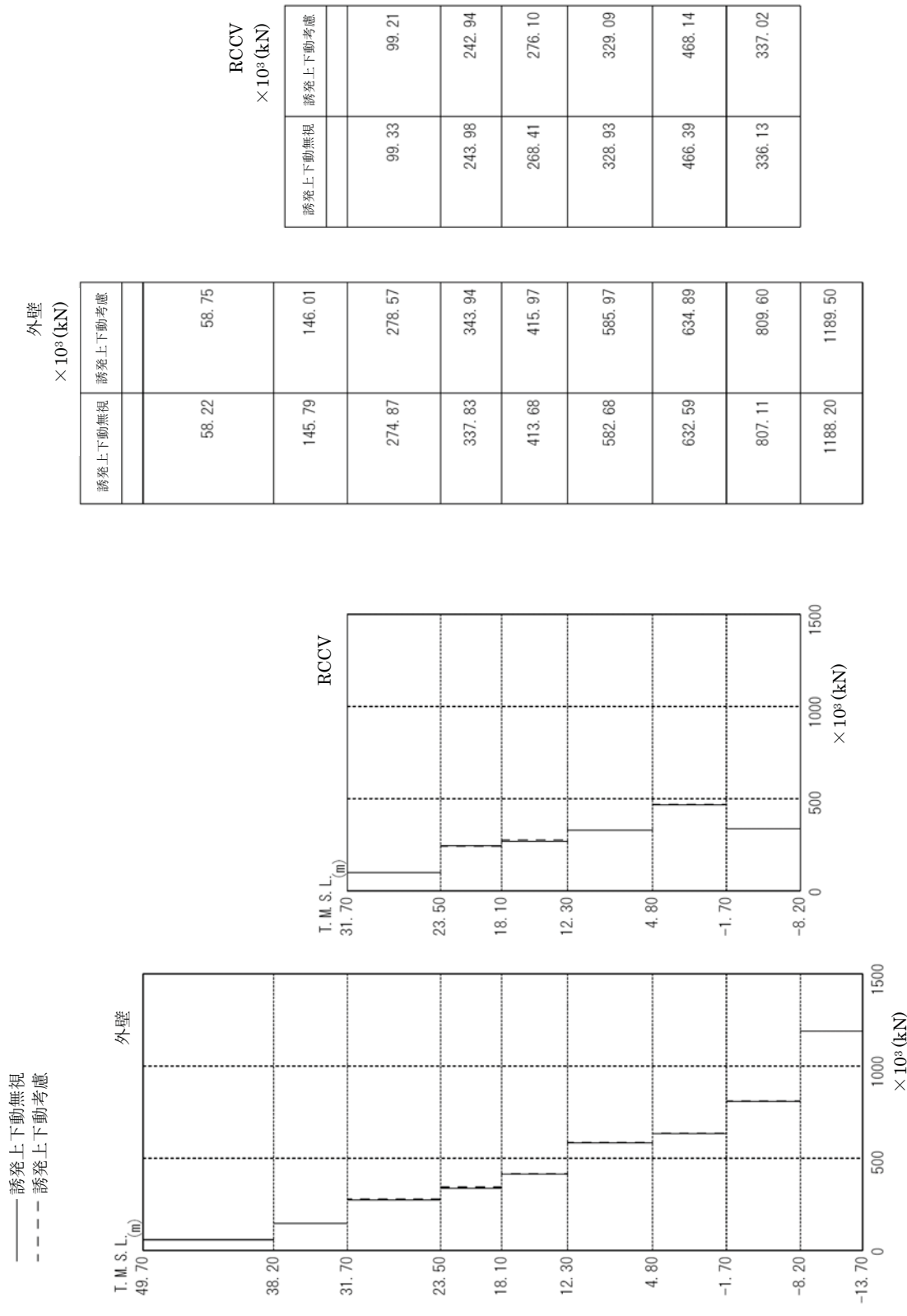
外壁
(cm/s^2)

—— 誘發上下動無視
- - - 誘發上下動考慮

RCCV (cm/s^2)	誘發上下動無視	誘發上下動考慮
1439	1453	
1128	1143	
1039	1060	
948	956	
910	911	911
862	866	866
809	807	807
843	844	844
728	730	730
705	703	703

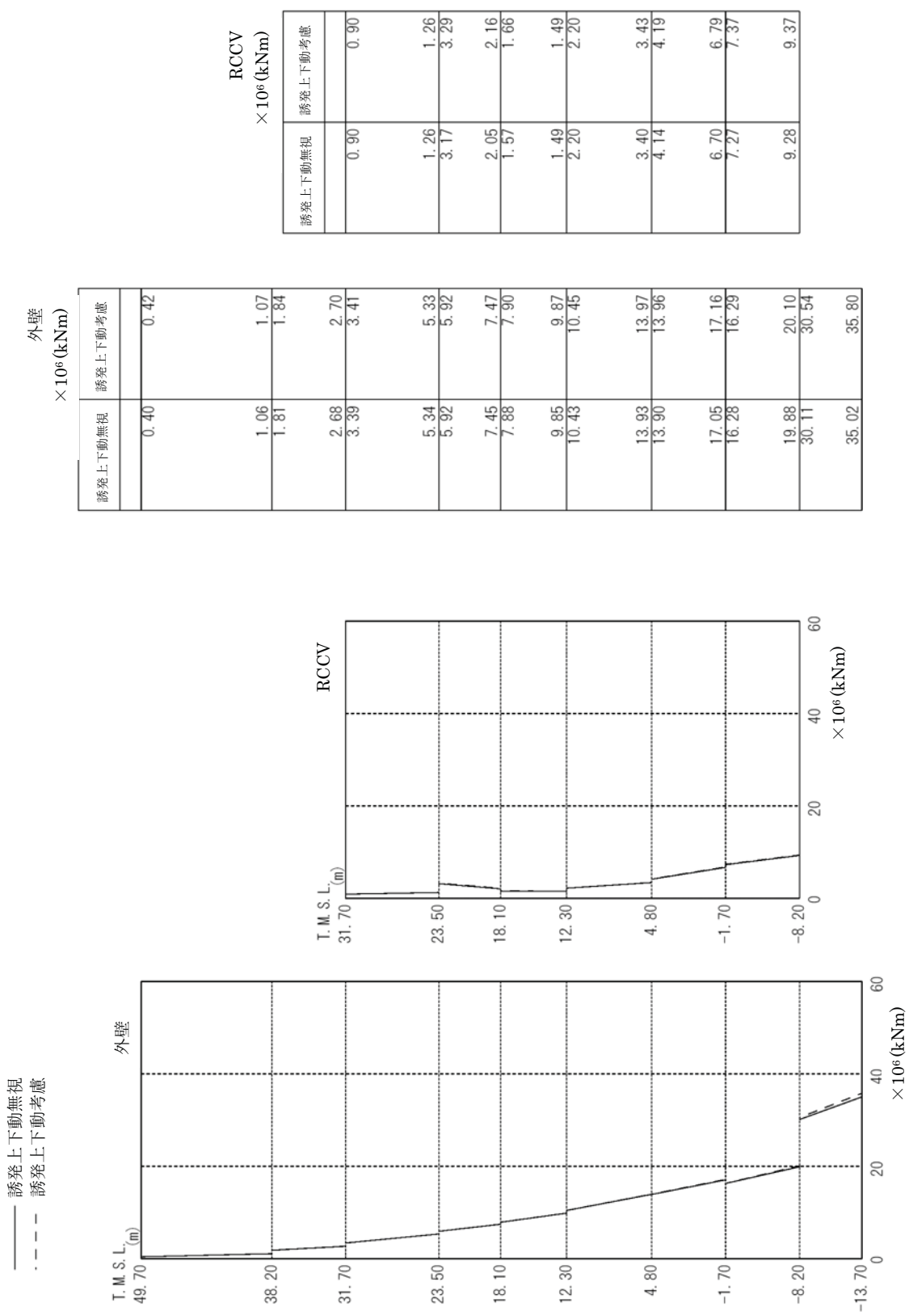
RCCV (cm/s^2)	誘發上下動無視	誘發上下動考慮
1060		
1039		
948		
910		
862		
809		
843		
728		
705		

参図-6.3.2 最大応答加速度 (Ss-2, EW 方向)



参 6.3-4

参図-6.3.3 最大応答せん断力 (Ss-2, EW 方向)

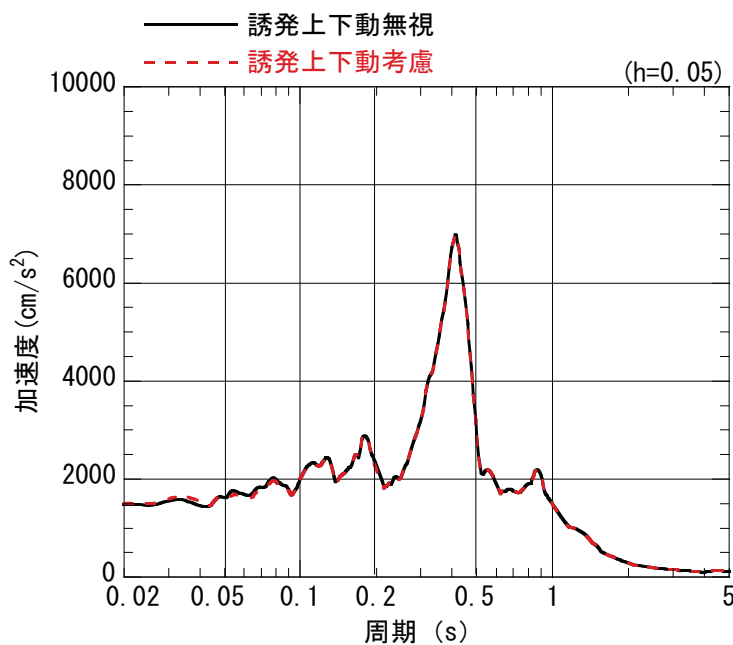


参 6.3-5

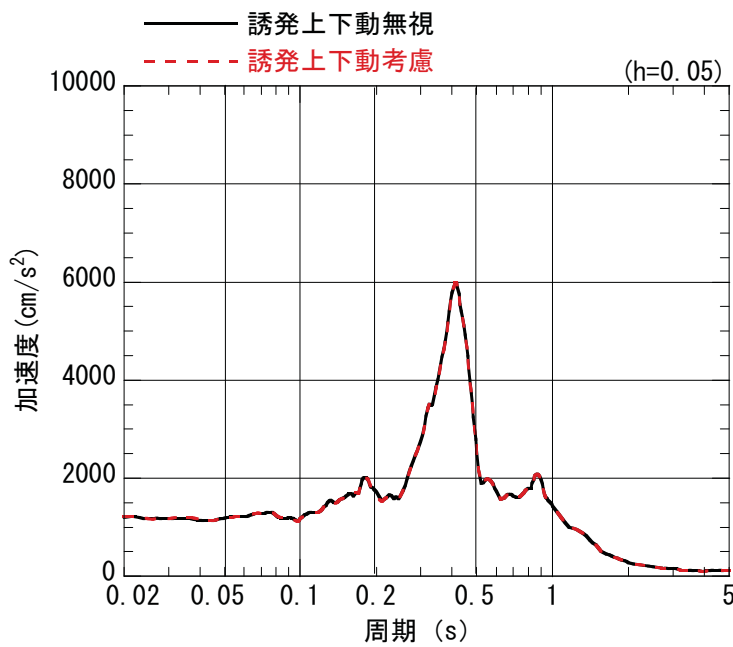
参図-6.3.4 最大応答曲げモーメント (Ss-2, EW 方向)

(2) 床応答スペクトル

機器側への影響を把握するために、誘発上下動の有無による加速度応答スペクトルの比較を、EW 方向に対して参図-6.3.5～参図-6.3.9 に、鉛直方向に対して参図-6.3.10～参図-6.3.14 に示す。誘発上下動考慮の有無が水平方向および鉛直方向の加速度応答スペクトルに与える影響は小さい。

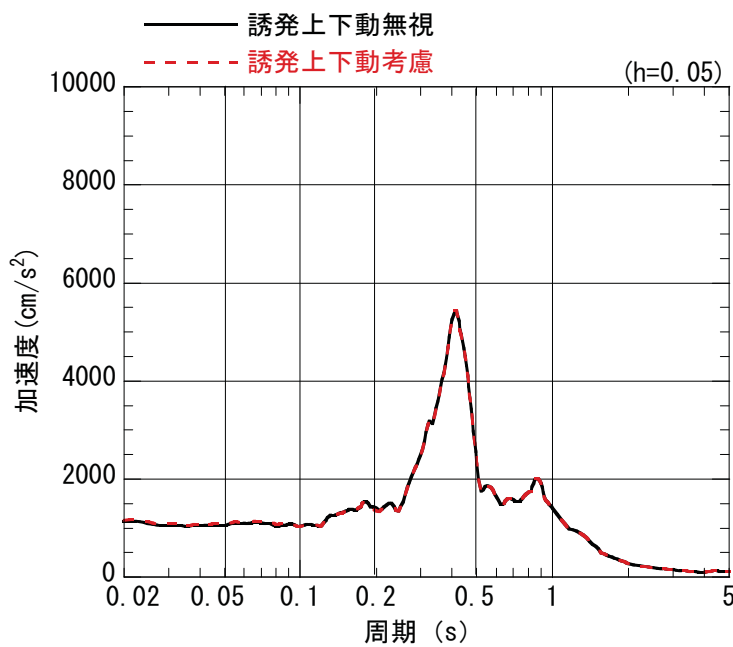


(a) T.M.S.L.49.7m

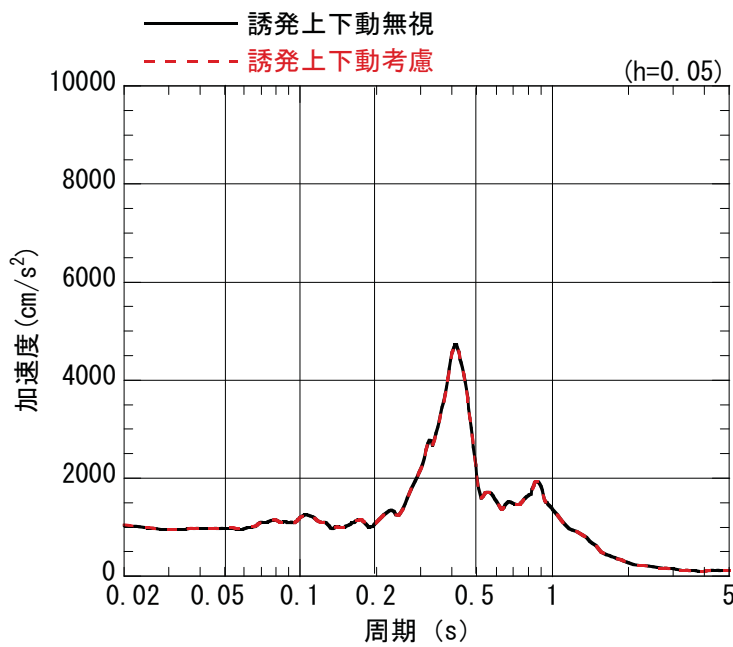


(b) T.M.S.L.38.2m

参図-6.3.5 加速度応答スペクトルの比較 (Ss-2, EW 方向)

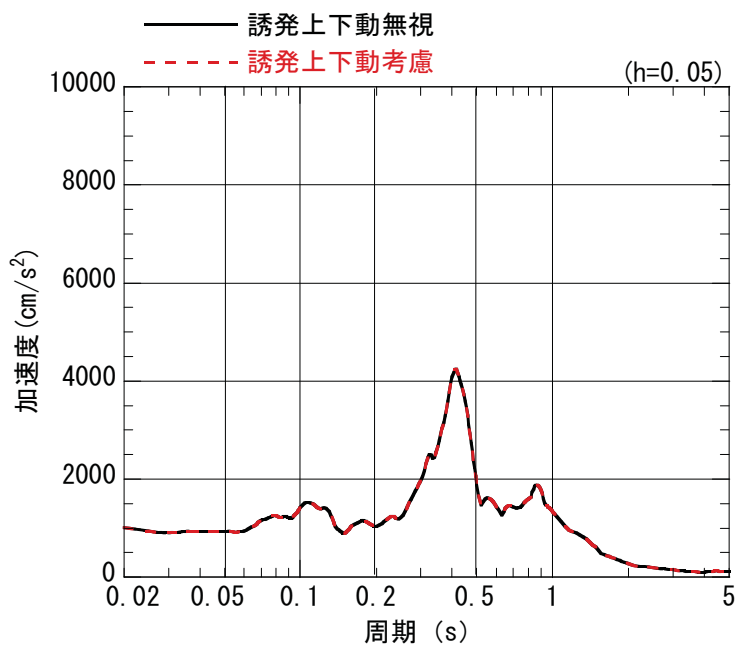


(a) T.M.S.L.31.7m

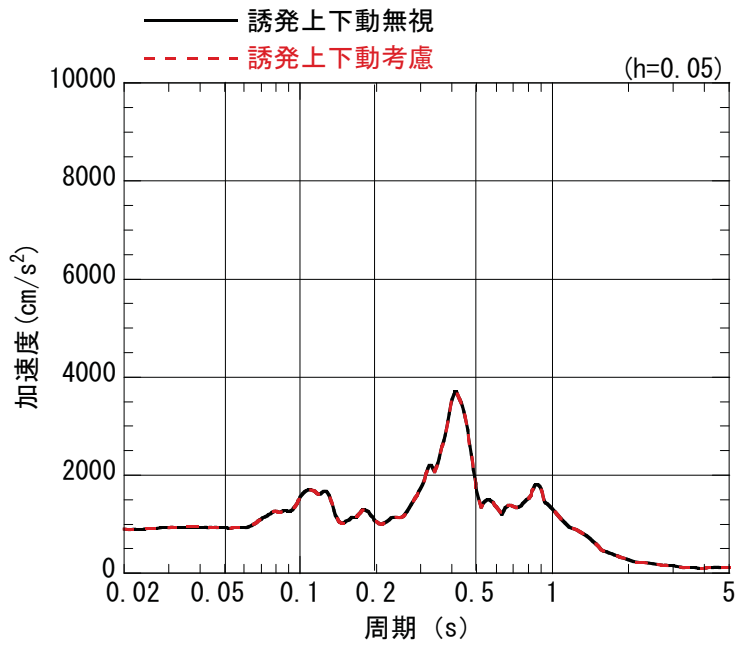


(b) T.M.S.L.23.5m

参図-6.3.6 加速度応答スペクトルの比較 (Ss-2, EW 方向)

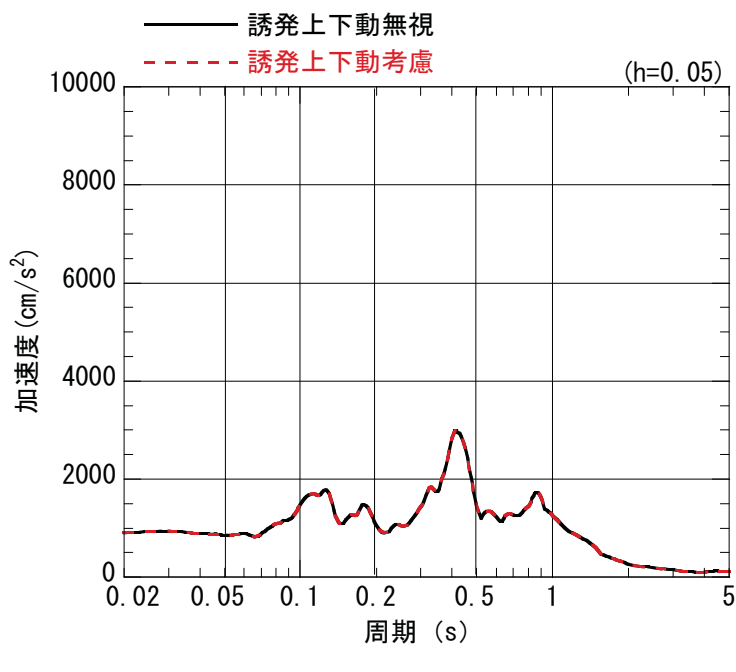


(a) T.M.S.L.18.1m

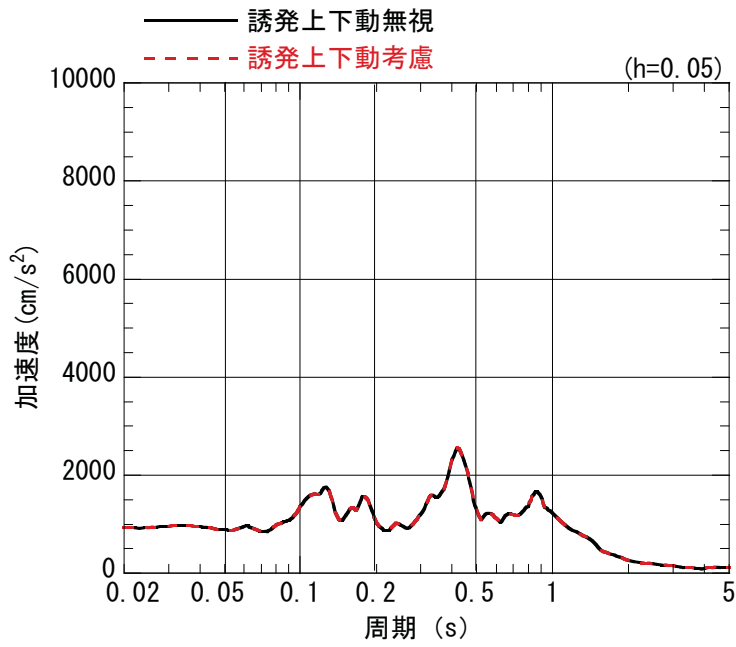


(b) T.M.S.L.12.3m

参図-6.3.7 加速度応答スペクトルの比較 (Ss-2, EW 方向)

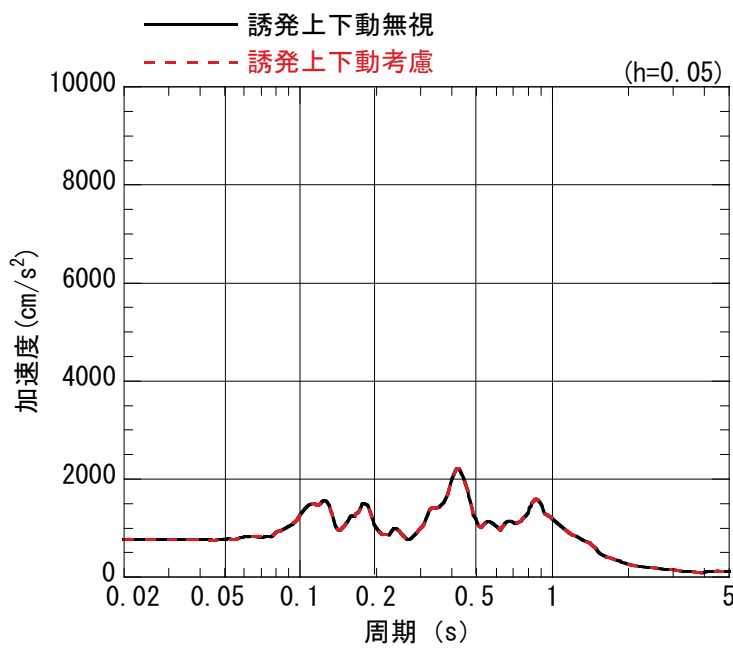


(a) T.M.S.L. 4.8m

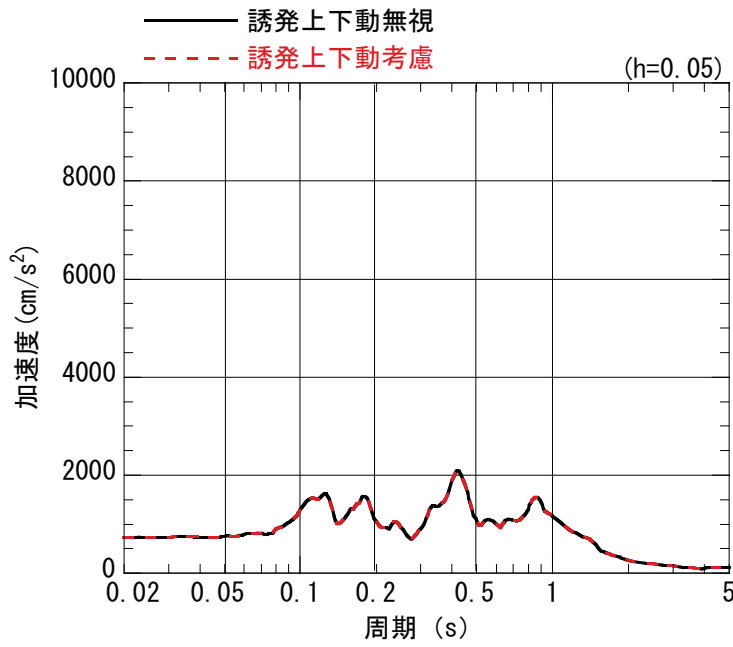


(b) T.M.S.L.- 1.7m

参図-6.3.8 加速度応答スペクトルの比較 (Ss-2, EW 方向)

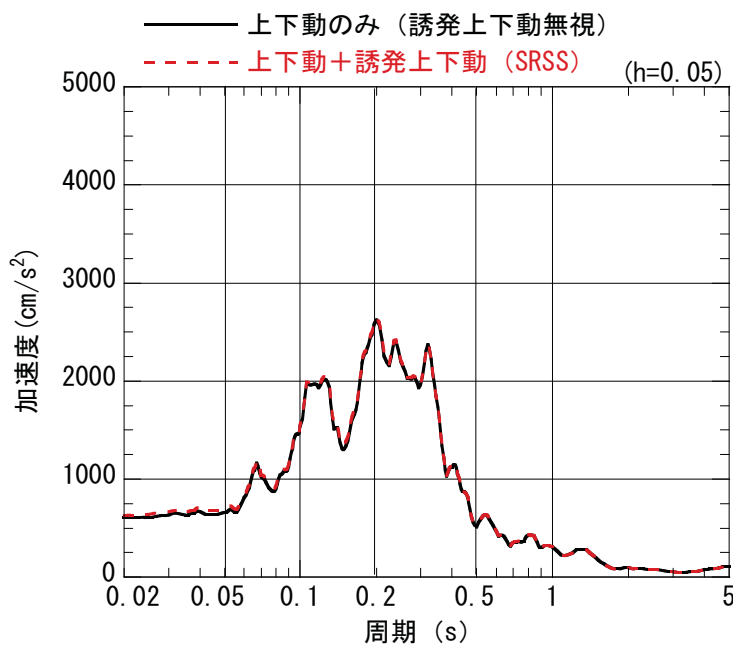


(a) T.M.S.L.- 8.2m

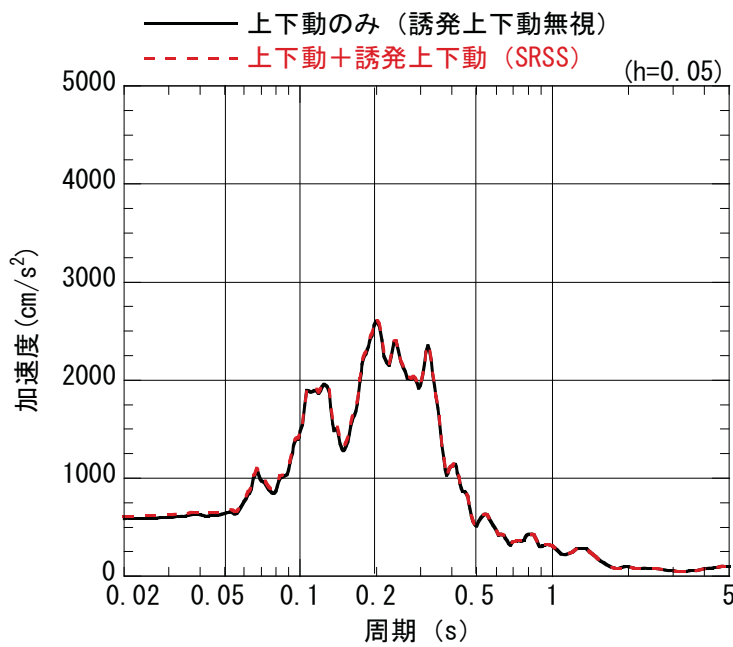


(b) T.M.S.L.-13.7m

参図-6.3.9 加速度応答スペクトルの比較 (Ss-2, EW 方向)

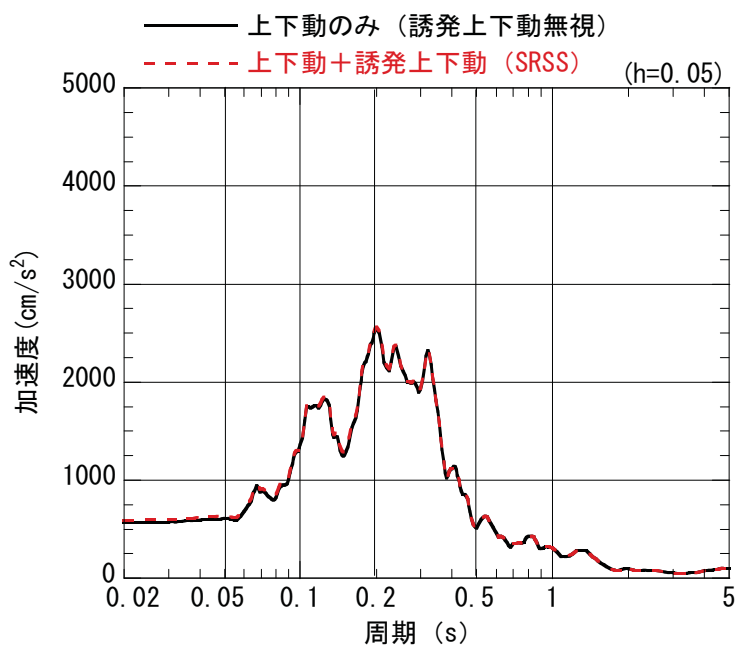
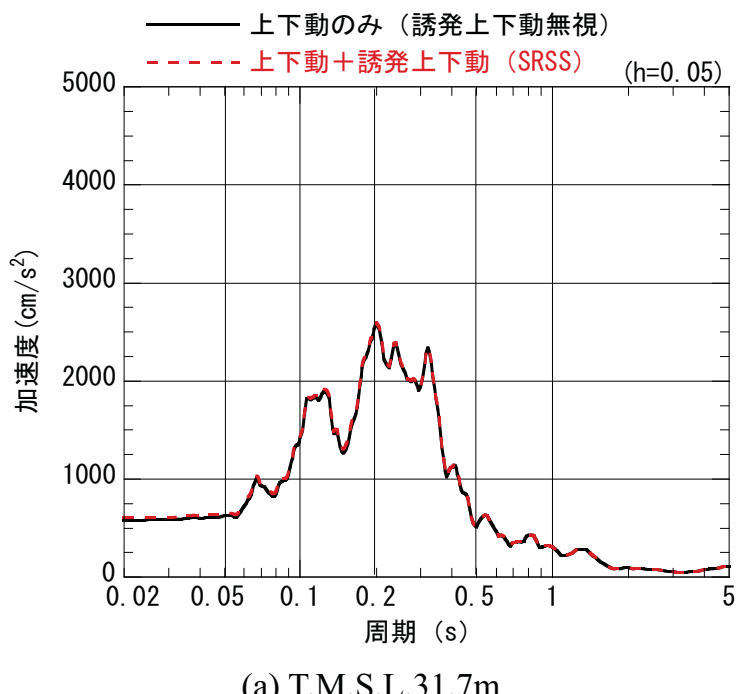


(a) T.M.S.L.49.7m (質点 1)



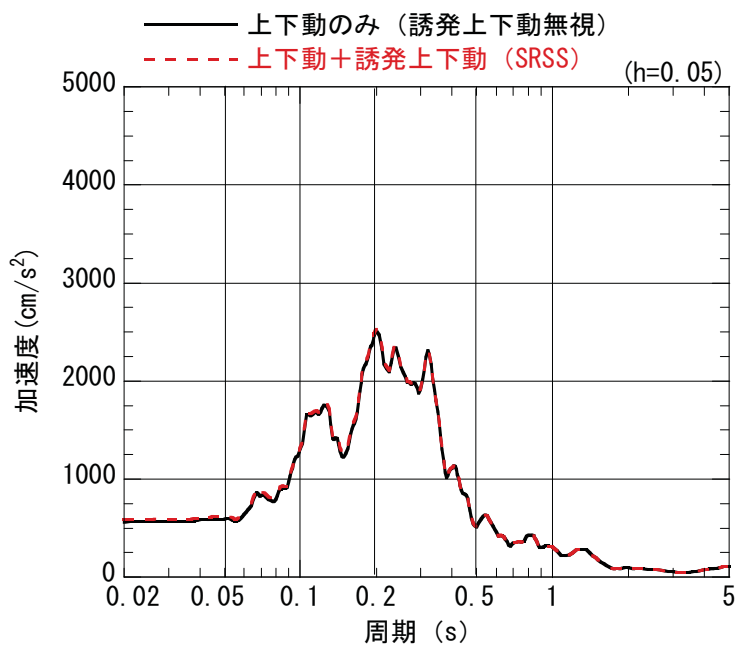
(b) T.M.S.L.38.2m

参図-6.3.10 加速度応答スペクトルの比較 (Ss-2, 鉛直方向)

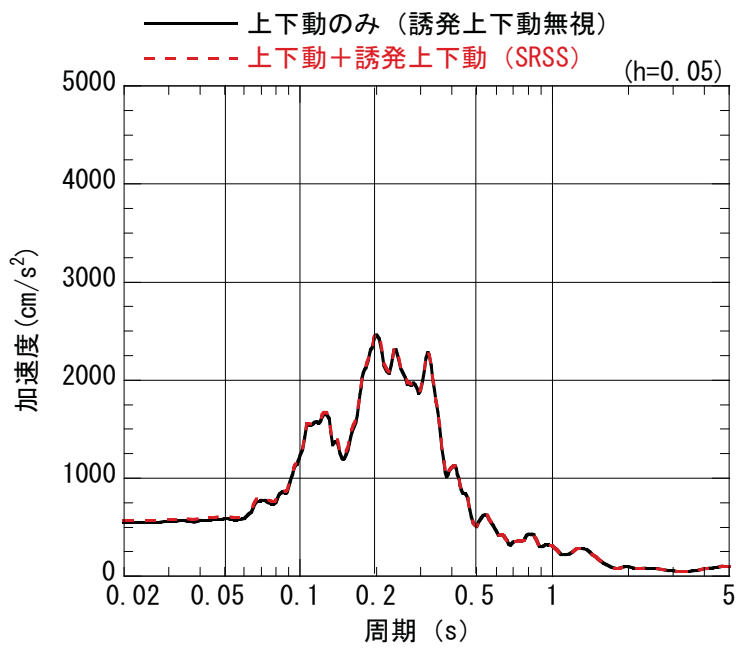


(b) T.M.S.L.23.5m

参図-6.3.11 加速度応答スペクトルの比較 (Ss-2, 鉛直方向)

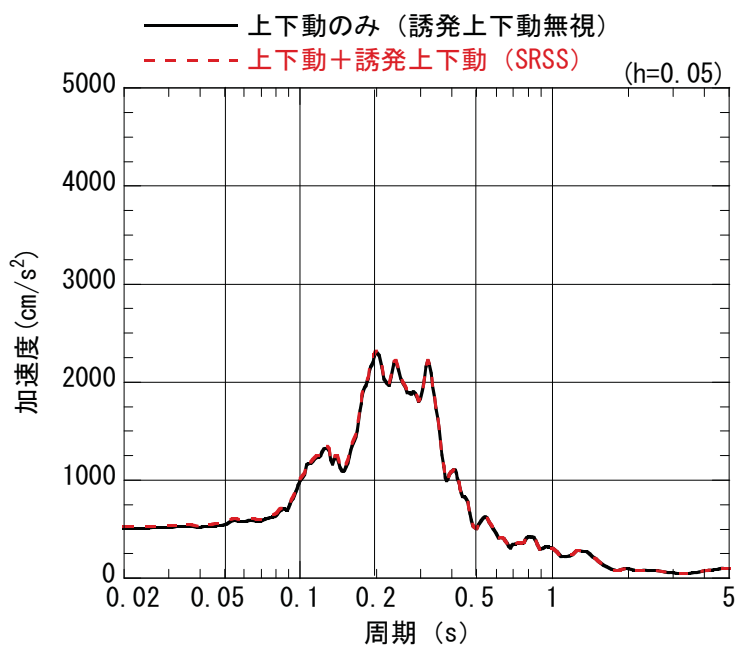
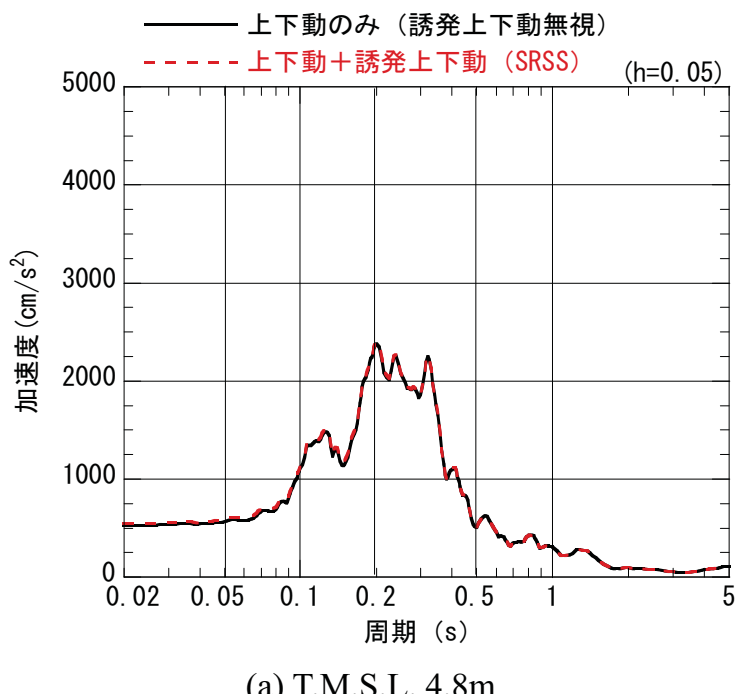


(a) T.M.S.L.18.1m

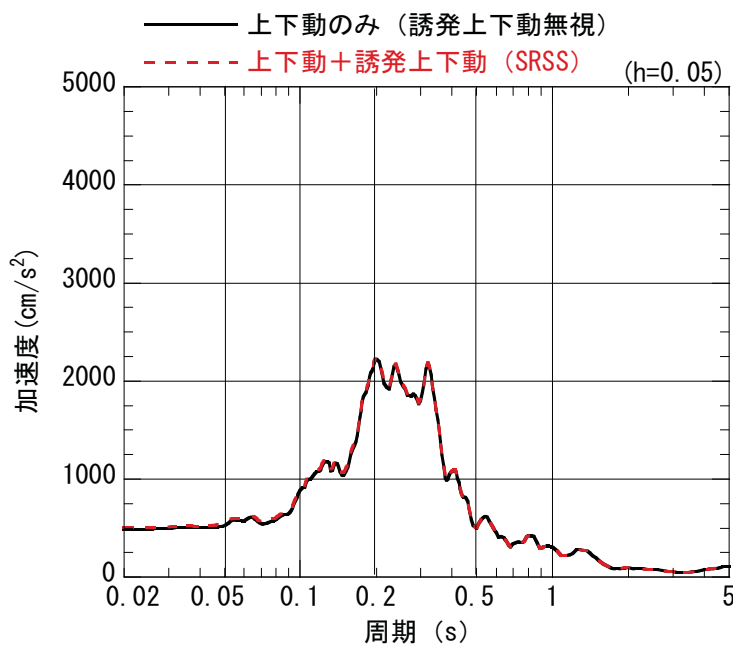


(b) T.M.S.L.12.3m

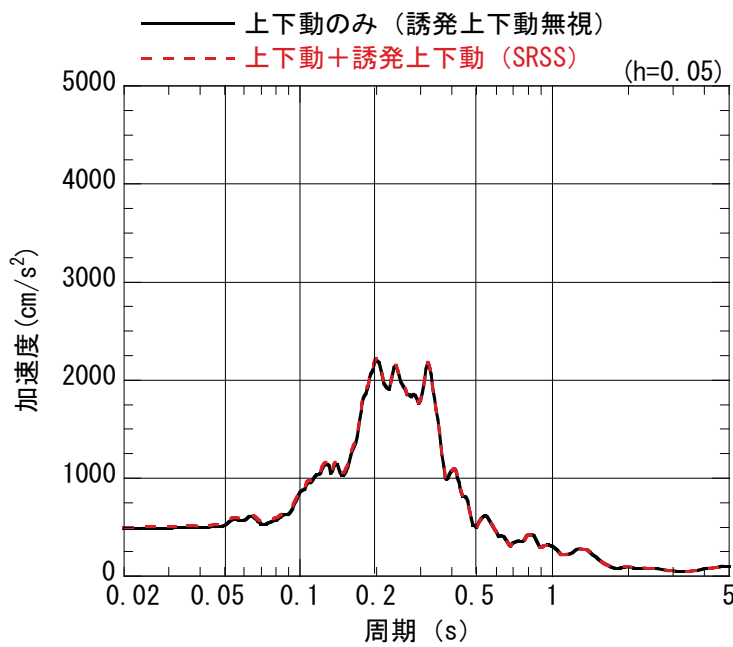
参図-6.3.12 加速度応答スペクトルの比較 (Ss-2, 鉛直方向)



参図-6.3.13 加速度応答スペクトルの比較 (Ss-2, 鉛直方向)



(a) T.M.S.L.- 8.2m



(b) T.M.S.L.-13.7m

参図-6.3.14 加速度応答スペクトルの比較 (Ss-2, 鉛直方向)